

# 波动过程光学核物理学

A.A. 吕楚林 著  
万山 莘译

# 波动过程、光学、核物理学

〔苏联〕 A. A. 齐楚林 著  
万 山 苏耀中 譯

上海科学技术出版社

## 内 容 提 要

本書是根据 A. A. 齐楚林所著“Волновые Процессы Оптика Ядерная Физика”而译出。書中阐述波动过程、声学、电磁振荡、光学和原子物理以及原子核物理学基础。

本書为苏联高等学校物理教程的第三部分，可供高等学校学生作教科书、教学参考用书，或工程技术人员进阶物理学之用。

### 波动过程、光学、核物理学

ВОЛНОВЫЕ ПРОЦЕССЫ ОПТИКА  
ЯДЕРНАЯ ФИЗИКА

原著者〔苏联〕 A. A. Чечулин

原出版者 Гостехиздат 1954 年 版

译 者 万 山 苏 烨 中

上海科学技木出版社出版

(上海瑞金二路 450 号)

上海市书刊出版业营业登记证 051 号

新华书店上海发行所发行 各地新华书店经售

上海市印刷五厂印刷

开本 850×1168 1/32 印张 11 28/32 字数 293,000

1959 年 3 月第 1 版 1961 年 5 月第 4 次印刷

印数 9,001—13,000

统一书号：13119 · 261

定 价：(十二)1.60 元

## 采用的符号

$A$ —功	$\hbar = 6.62 \times 10^{-27}$ 尔格·秒—
$A, a$ —振幅	普朗克恒量
$a_{\lambda r}$ —吸收系数	$I$ —发光强度
$\text{\AA}$ —埃 $= 10^{-8}$ 厘米	$J$ —声强
$B$ —声音的响度 (以分贝 尔为单位)	$I_v$ —單色辐射本领
$\beta$ —初周相	$I_0$ —绝对黑体的單色辐射 本领①
$C$ —电容	$J$ —轉动慣量
$c$ —振动的傳播速度	$k = 1.38 \times 10^{-16}$ 尔格/度
$c$ —光速	—玻耳茲曼恒量
$\delta$ —阻尼系数	$k$ —任意整数
$E$ —照度	$k, k_1$ —絶位移模量
$E$ —伸長彈性模量	$k_2$ —角位移模量
$e = 4.8025 \times 10^{-10}$ CGSE <sub>q</sub>	$\chi$ —电極化率
电子的电荷	$\lambda$ —波長
$e$ —自然对数的底	$\lambda_0$ —对应于固有振动频率 的波長
$\text{eV}$ —电子伏	$\lambda$ —放射衰变恒量
$\epsilon$ —介电恒量	$M$ —旋轉矩
$F, f$ —力	$m$ —質量
$\varphi$ —电場的电势	

① 这里原書將  $I_0$  誤為  $I_1$ , 依 §14,  $I_0$  系絕對黑体的积分辐射本领。一般物体的积分辐射本领以  $I$  表示。——譯者。

$m_0 = 9.1 \times 10^{-28}$ 克 - 电子	$t$ - 时间
的静止质量	$q$ - 电量
$n$ - 折射率	$r$ - 电阻
$n$ - 任意整数	$U$ - 电势, 电压
$\nu$ - 振动的频率	$U_e$ - 电离电势
$N = \frac{1}{\lambda}$ - 波数	$v$ - 速度
$P$ - 功率	$w$ - 加速度
$P_s$ - 有效声压	$W$ - 能量
$\rho$ - 媒质密度	$W_{pot}$ - 势能, 位能
$S$ - 乌莫夫-坡印亭矢量	$W_{kin}$ - 动能
$T$ - 振动的周期	$\omega$ - 角频率
$T$ - 绝对温度	

CGSE 下注一角码——电学量在 CGSE 单位制中的单位。下注的角码为相应物理量的符号。例如，电量在 CGSE 制中的单位用 CGSE<sub>q</sub> 来表示。

CGSM 下注一角码——电学量在 CGSM 单位制中的单位。

不带角码的化学元素符号表示天然的混有各种同位素的元素。在带有角码时，上边的角码表示所述同位素的质量数，即与该同位素的原子量相近的整数；下边的角码表示元素的原子序数。

# 目 录

## 采用的符号

<b>第一章 波动过程</b>	.....	1
§ 1. 谐振荡	.....	1
§ 2. 阻尼振荡	.....	12
§ 3. 受迫振动、共振和自动 振动的概念	.....	15
§ 4. 弹性振动沿着直线的传 播	.....	20
A. 振动传播的一般情形	.....	
B. 波长与振动传播速度	22	
B. 波在空间中的传播	.....	31
A. 惠更斯原理	.....	31
B. 波的反射与折射定律	.....	33
B. 波的直线传播	.....	37
C. 多普勒现象与多普勒 原理	.....	41
<b>第二章 声学</b>	.....	43
§ 6. 声振动的分类和声波 的传播速度	.....	43
§ 7. 声强和音色	.....	47
§ 8. 声音在大气中及在房屋 内的传播、超声	.....	58
<b>第三章 电磁振荡</b>	.....	63
§ 9. 电磁振荡以及电磁波的激 发、传播与接收	.....	63
§ 10. 电磁波谱	.....	92
<b>第四章 光学</b>	.....	96
§ 11. 光学发展史概述	.....	96
§ 12. 光速的测定方法	.....	106
§ 13. 光的色散和吸收	.....	113
§ 14. 辐射	.....	121
A. 连续光谱与辐射定律	.....	
B. 热辐射的应用	.....	133
C. 光学量及其单位	.....	134
§ 15. 光的反射和光压	.....	136
§ 16. 几何光学(或光线光学)	.....	142
§ 17. 光的干涉	.....	165

A. 楊格实验	165	八. 纓射对光学仪器的分 辨本领的影响	209
B. 相干性与菲涅耳双镜 和双棱镜中的干涉	167	§ 19. 光的偏振	207
B. 薄膜中的干涉。等厚 条纹	169	A. 天然光与偏振光	207
C. 等倾条纹与干涉仪	176	B. 利用反射与折射获得 偏振光	210
§ 18. 光的纓射	186	C. 光的双折射	213
A. 会聚光的纓射	186	D. 偏振棱镜。转动检偏 器时光强的变化	217
B. 平行光的單鏡纓射	189	E. 偏振光的干涉与克尔 现象	219
B. 纓射光柵	192	F. 偏振面的旋转	224
C. D. C. 罗日捷文斯基 关于研究反常色散的 实验	197	§ 20. 相对論概念	230
<b>第五章 原子物理和原子核物理基础</b>	<b>240</b>		
§ 21. 纓光谱的發生和氢原子 理論	240	A. 核物理中常用的一些 物理量的基本概念与 单位	294
§ 22. 倫琴射線	259	B. 原子核的人为轉变	296
§ 23. 能量交換的基本過程	269	C. 人为放射現象	301
A. 用电子撞击来激發原 子	269	D. 核的分裂与超铀元素	304
B. 細光和某些形式的微 光	271	E. 原子核的結構及其轉 变的机構。核能	306
B. 光的并合散射	273	F. 帶电粒子加速的方法	319
C. 光电效应	277	§ 26. 宇宙射線	330
D. 康普頓現象	283	§ 27. 粒子与波	336
§ 24. 放射性	285		
§ 25. 原子核的人为轉变与原 子核的結構	294		
<b>某些物理恒量的数值</b>	<b>351</b>		
<b>索引</b>	<b>363</b>		

# 第一章 波动过程

## § 1. 谐振动

在普通力学課程所研究的各种不同形式的运动中，对于闡明本書中所述的許多現象來說，谐振动是非常重要的一种。

我們先來回忆一下这种运动的一些定义，以及根据它的理論而导出的一些重要的結論。

質点、物体或物体系，在使它返回平衡位置的力的作用下所做的周期运动，如果力是和它离开平衡位置的距离成正比的話，叫做谐振动。属于这种力的，首先有彈性物体变形时所产生的力——彈性力，例如，变形了的彈簧、拉紧了的弦，以及弯曲了的小树枝等，都处于这种力的作用下。本質不是彈性力，但是也与振动物体离开平衡位置的距离成正比的力，称为“与彈性力等价的力”或准彈性力。

浮在水面上的立方形木塊，当它高于或低于它平衡的位置时，它所受的浮力与重力的合力，可以作为准彈性力的例子。

根据谐振动的定义和力学中众所周知的力、质量及加速度之間的关系式，可以得出下列的微分方程：

$$m \frac{d^2y}{dt^2} = -by, \quad (1-1)$$

式中  $y$  为离开平衡位置的距离， $m$  为振动物体（或質点、物体系）的质量， $t$  为時間， $b$  为位移模量，亦即力与对应于此力的位移的比值。量  $m$  与  $b$  都是恒量。

方程(1-1)的解描述谐振动，称为谐振动方程式，这一方程所

采取的形式視起始条件而定。

如果从物体沿着位移軸的正方向运动而达于平衡位置时开始計算时间, 則运动方程將具有下面的形式:

$$y = a \sin\left(\sqrt{\frac{k}{m}} \cdot t\right), \quad (1-2)$$

此处  $a$  为振动的振幅, 即离开平衡位置的最大距离;  $\sqrt{\frac{k}{m}} \cdot t$  为振动的周相。在一个振动周期  $T$  内, 亦即在运动准确地重复一次所經过的时间之内, 周相变化了  $2\pi$ 。由此可見:

$$\sqrt{\frac{k}{m}} T = 2\pi,$$

亦即:

$$T = 2\pi \sqrt{\frac{m}{k}}. \quad (1-3)$$

由公式(1-3)所确定的周期称为固有振动周期, 如果除了上面所說的力以外, 沒有别的力作用在物体(或質点、物体系)上, 則它將以此周期做諧振动。

如果在式(1-2)中將  $\sqrt{\frac{k}{m}}$  換為與其相等的  $\frac{2\pi}{T}$ , 則諧振动方程可以写为下列形式:

$$y = a \sin 2\pi \frac{t}{T}. \quad (1-4)$$

假如取任意的一个时刻做为計算時間的起点, 則方程式(1-1)的解將不再是(1-2)那样, 而是下面的形式:

$$y = a \sin\left(2\pi \frac{t}{T} + \beta\right). \quad (1-5)$$

在此情况下, 振动的周相將為  $\frac{2\pi t}{T} + \beta$ , 此处  $\beta$  为一恒量, 它决定振动在开始計算時間的时刻(即  $t=0$  时)的周相。量  $\beta$  叫做初周相。

在特殊情形下，如果取初周相等于  $\frac{\pi}{2}$ ，亦即从振动物体达于位移轴正向方面的最大距离时开始计算时间，则谐振动方程将成为

$$y = a \cos 2\pi \frac{t}{T} + \frac{\pi}{2} \quad (1-6)$$

根据公式(1-5)，可以推得确定谐振动其它各个物理量的方程如下：

确定速度的方程为：

$$v = \frac{dy}{dt} = -\frac{2\pi a}{T} \sin\left(2\pi \frac{t}{T} + \beta\right) \quad (1-7)$$

确定加速度的方程为：

$$w = \frac{dv}{dt} = -\frac{4\pi^2 a}{T^2} \cos\left(2\pi \frac{t}{T} + \beta\right) \quad (1-8)$$

或者，根据(1-5)，用  $y$  来代替  $a \sin\left(2\pi \frac{t}{T} + \beta\right)$ ，得：

$$w = -\frac{4\pi^2 a}{T^2} y \quad (1-9)$$

作用在谐振动着的物体上的力为：

$$f = mw = -m \frac{4\pi^2 a}{T^2} \cos\left(2\pi \frac{t}{T} + \beta\right) = -m \frac{4\pi^2 a}{T^2} y \quad (1-10)$$

位移、速度以及加速度随着时间的改变，可以用图1所示的图解很清楚地显示出来；先看左边的图：这里从坐标原点引出了三个矢量： $y = a$ ， $v = -\frac{2\pi a}{T}$  和  $w = -\frac{4\pi^2 a}{T^2}$ ，它们的长短以某种比例尺（每

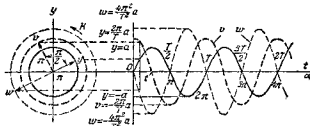


图1. 位移、速度与加速度的矢量和图解曲线

个矢量有它自己的比例尺)相应地确定位移、速度以及加速度的最大值。矢量  $y$  与  $X$  轴正向所夹的角, 等于对应于某一时刻  $t$  之振动的周相  $2\pi \frac{t}{T} + \beta$  (或者, 当  $\beta=0$  时, 等于  $2\pi \frac{t}{T}$ )。矢量  $v$ , 相对于矢量  $y$ , 在箭头  $K$  所示的方向上转过了  $\frac{\pi}{2}$ , 矢量  $w$  转过了  $\pi$ 。如果想像这些矢量一起沿着箭头  $K$  所示的方向, 以周期  $T$  绕坐标原点旋转, 则它们在  $Y$  轴上的投影可以依次由方程 (1-5), (1-7) 和 (1-8) 确定。这就是说, 它们给出了位移、速度与加速度随着时间变化的图示。

在图 1 的右边, 表示出上述各量依赖于时间  $t$ , 或周相  $\alpha = 2\pi \frac{t}{T}$  的图线。

做谐振动的物体的位能, 等于将物体从平衡位置移到指定位置所需耗費的功, 亦即由与力  $f$  大小相等、方向相反的力所做的功来确定。因而,

$$\begin{aligned} W_{\text{pot}} &= \int_0^y -f \, dy = \int_0^y m \cdot \frac{4\pi^2}{T^2} y \, dy = m \cdot \frac{2\pi^2 y^2}{T^2} = \\ &= m \cdot \frac{2\pi^2 a^2}{T^2} \sin^2 \left( 2\pi \frac{t}{T} + \beta \right). \end{aligned} \quad (1-11)$$

动能等于:

$$W_{\text{kem}} = m \cdot \frac{2\pi^2 a^2}{T^2} \cos^2 \left( 2\pi \frac{t}{T} + \beta \right). \quad (1-12)$$

总能量为:

$$\begin{aligned} W &= W_{\text{pot}} + W_{\text{kem}} = m \cdot \frac{2\pi^2 a^2}{T^2} \left[ \sin^2 \left( 2\pi \frac{t}{T} + \beta \right) + \right. \\ &\quad \left. + \cos^2 \left( 2\pi \frac{t}{T} + \beta \right) \right] = m \cdot \frac{2\pi^2 a^2}{T^2}. \end{aligned} \quad (1-13)$$

从式中可以明显地看到: 做谐振动的物体(质点或物体系)的总能量, 与振幅的平方成正比, 而与时间无关。

在图 2 上画出了位能(黑线)和动能(虚线)随着时间变化的曲

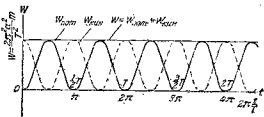


图 2. 位能、动能与总能量的圖解曲綫

綫。从圖解中可以清楚地看到，这些量变化的周期等于諧振动周期的二分之一。圖中的細綫表示出总能量。

总而言之，諧振动的特征表現为：位移、速度、加速度和力，都由相应的公式来确定，这些公式的每一个，都等于与其相應的量的最大值（亦即，一个恒量）与一个角（周相）的正弦或余弦的乘积，而这个角綫性地依赖于时间。

以后我們会看到：某些非力学的量，也按照这个規律变化。做为这种量的例子，可以举出电流强度、电压、密度、压力等。在这样的情况下，我們也把这些量的振动称为諧振动。

不論是那一个上述的量振动时，我們都可以設想，它的振动不是由一个，而是由若干个原因引起的，其中的每一个原因都單独地引起諧振动。在任何时刻，振动着的量將等于諸分量的几何和，如果此量是矢量的話；倘若是标量，將等于諸分量的代数和。这就是“叠加原理”的內容。

現在我們利用叠加原理來研究下述問題：若質点同时参与兩個周期相等，且方向沿着同一直綫的諧振动时，此質点的合位移方程如何？

設所述二分振动由下列方程

$$y_1 = a_1 \sin\left(2\pi \frac{t}{T} + \beta_1\right), \quad y_2 = a_2 \sin\left(2\pi \frac{t}{T} + \beta_2\right) \quad (1-14)$$

給定。

由坐标原点  $O$  引出兩個矢量  $OD$  及  $OE$ （圖 3），使它們与  $OX$

軸的夾角分別為二分振動的初相  $\beta_1$  及  $\beta_2$ ，並使它們的長短，按照

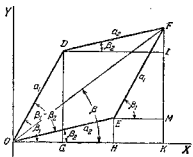


圖 8. 諧振動合成的矢量方法

某種比例尺，依次等於二分振動的振幅： $OD = a_1$ ,  $OE = a_2$ ，當此二矢量以周期  $T$  繼  $O$  點旋轉時，它們的相對位置保持不變，二者間的夾角始終等於兩個分振動的初相之差  $\beta_1 - \beta_2$ 。二分振動之振幅在垂直軸上的投影的代數

和，將等於以  $OD$  和  $OE$  為鄰邊所做之平行四邊形的對角線  $OF$  在此軸上的投影。由此可見，質點的合成運動仍是諧振動，其周期與分振動相同，振幅  $A = OF$ ，初相  $\beta$  等於矢量  $OF$  與  $OX$  軸的夾角。從圖 3 中可以明顯地看到， $OF^2 = OE^2 + EF^2 - 2 \cdot OE \cdot EF \cos[\pi - (\beta_1 - \beta_2)]$ ，或者：

$$A^2 = a_1^2 + a_2^2 + 2a_1a_2 \cos(\beta_1 - \beta_2) \quad (1-15)$$

還有：

$$\tan FOK = \frac{FK}{OK} = \frac{LK + FL}{OG + GK} = \frac{a_1 \sin \beta_1 + a_2 \sin \beta_2}{a_1 \cos \beta_1 + a_2 \cos \beta_2} \quad (1-16)$$

由(1-15)式可知：當二分振動的初相差為  $\pi$  的偶數倍時，亦即當  $\beta_1 - \beta_2 = 2k\pi$  (二分振動周相相同)時，合振動的振幅等於二分振動振幅之和；而當二者初相差為  $\pi$  的奇數倍時，亦即  $\beta_1 - \beta_2 = (2k+1)\pi$  (二分振動周相相反)時，合振動的振幅等於二分振動振幅之差。在後一種情形下，如果二分振動之振幅相等，則合振動的振幅將等於零，這就是說，二分諧振動中一個抵銷了另一個。從這裡可以知道：兩個周期及振幅相等，而周相相反的諧振動在疊加時將互相抵銷，如果二者的方向是沿着同一直線的話。

矢量法可以應用於任意多少個諧振動的合成，只要它們周期相等，方向沿着同一直線。

对于两个方向沿着同一直线，但周期不相等的谐振动的合成，必须对各个时刻求出离开平衡位置的位移之和。在图解上，这表现为对应于同一时刻的坐标的相加。在此情况下，合成的运动将是振动，但已不是谐振动了。

然而，如果分振动的周期可通约的话，则此运动将为周期性的。其周期  $T$  等于分振动周期的最小公倍数。设  $T = kT_1 = nT_2$ ，此处  $k$  与  $n$  为整数，则在时间  $T$  内，第一个振动经过  $k$  个完整的周期，第二个振动经过  $n$  个完整的周期。这样，每经过  $T$  秒钟，同时参与两个振动的质点之运动，将完全重复一次。

因为分振动的周相差随着时间連續地改变，所以这种合振动的图线有时具有非常奇怪的形状。要想确定同时参与两个谐振动的质点的位移，可以利用图 3 所示的矢量图：质点的位移等于矢量  $OF$  在  $Y$  轴上的投影。当两个分振动的周期一样的时候，由于二者之周相差（即角  $\beta_1 - \beta_2$ ）保持一定，故矢量  $OF$  的长度不随时间改变。如果分振动的周期不一样，则矢量  $OD$  与  $OE$  以不同的速度旋转，周相差  $(\beta_1 - \beta_2)$  連續地改变，因而，矢量  $OF$  的长度也将随时而变。作为一个例子，我们在图 4 上输出了两个谐振动  $y_1 =$

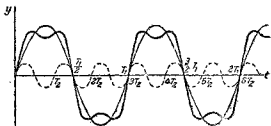


图 4. 周期分别为  $T$  与  $3T$  的两个分振动相合成时所得到的图解

$a_1 \sin 2\pi \frac{t}{T_1}$  (虚线) 与  $y_2 = a_2 \sin 2\pi \frac{t}{T_2}$  (细黑线)，以及它们的和 (粗黑线) 的图线。其中第二个分振动的振幅  $a_2 = 0.25a_1$ ，周期  $T_2 = \frac{1}{3} T_1$ 。

如果两个分振动的周期  $T_1$  与  $T_2$  彼此相差很少，则当二者相合成时，周相差，亦即角  $\left(\frac{2\pi t}{T_1} + \beta_1\right) - \left(\frac{2\pi t}{T_2} + \beta_2\right)$ （图3）将极慢地改变，因而每转一周矢量  $OF$  的长度将变得很少。在此情况下，合振动与谐振动的区别将在乎：其振幅已不再保持恒定，而将很慢地、周期性地改变。振幅的这种周期性变化称为拍。由此可见，分振动彼此间的周相差相对地来说很慢的，周期性的改变乃是形成拍的原因。

如果在某一时刻，被叠加的振动的矢量彼此间的相对位置以及对  $Y$  轴的相对位置都与图3符合，则再经过一段时间  $\theta$  后，各矢量就又回到这些位置上；在时间  $\theta$  内，一个矢量在周相上比另一个落后了  $2\pi$  ①。这一段时间  $\theta$  就是拍的周期。在这段时间内，一个矢量比另一个矢量多转了一周。由此可见：

$$\frac{\theta}{T_1} = \frac{\theta}{T_2} + 1,$$

亦即：

$$\frac{1}{T_1} - \frac{1}{T_2} = \frac{1}{\theta}, \text{ 或者 } \nu_1 - \nu_2 = \nu, \quad (1-17)$$

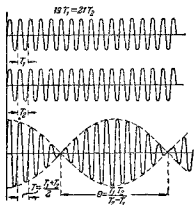


图5. 拍的图解

此处  $\nu$  为拍的周期的倒数，叫做拍的频率，等于1秒鐘內所形成的拍的数目。由此可知，拍的频率等于二分振动的频率之差，而拍的周期为：

$$\theta = \frac{T_1 \cdot T_2}{T_2 - T_1}. \quad (1-18)$$

在图5上画出了两个振幅相等、周期相差很少的谐振动的图解，下面的曲线为合成振动的图解。

① 这里的意思是：“在这一段时间  $\theta$  内，一个矢量比另一个矢量多转了一周”，即二者之周相差由  $\beta_1 - \beta_2$  变为  $\beta_1 - \beta_2 \pm 2\pi$ 。并不是说二振动的周相差为  $2\pi$ ——译者。

設有由下列二方程

$$x = a_x \sin\left(\frac{2\pi}{T} t + \beta_x\right),$$

$$y = a_y \sin\left(\frac{2\pi}{T} t + \beta_y\right)$$

所描述的兩個相互垂直的諧振動，其周期相等，振幅為  $a_x$  與  $a_y$ 。當此二振動合成時，合成運動的軌迹應當在側邊長為  $2a_x$  及  $2a_y$  的矩形之內（圖 6）。

從分振動的方程消去變量  $\frac{2\pi t}{T}$ ，就得到這一軌迹的方程：

$$\frac{x^2}{a_x^2} + \frac{y^2}{a_y^2} - \frac{2xy}{a_x a_y} \cos(\beta_x - \beta_y) = \sin^2(\beta_x - \beta_y) \quad (1-19)$$

由解析幾何知道，這個方程在一般情況下，是一個以坐标原點為心的橢圓的方程。當  $\beta_x - \beta_y$  為某些數值時，這個方程變為一直線方程。由此可見，如果質點同時參與兩個周期相等且相互垂直的諧振動，則它將或者沿着橢圓，或者沿着圓，或者沿着直線而運動。

現在我們利用方程 (1-19) 到幾個特殊情況上，這些情況對我們今后是有用的。

1) 如果周相差  $\beta_x - \beta_y$  等於  $\pi$  的偶數倍，亦即如果周相相同，則點  $P$  的軌迹將為圖 6 上的矩形  $FCDE$  的對角線  $FD$ 。

2) 如果周相差等於  $\pi$  的奇數倍，亦即如果  $\beta_x - \beta_y = (2k+1)\pi$ ，因而周相相反的話，則點  $P$  將沿着圖 6 上矩形  $CDEF$  的對角線  $CE$  運動。

3) 如果周相差等於  $\frac{\pi}{2}$  的奇數倍，亦即如果  $\beta_x - \beta_y = (2k+1)\frac{\pi}{2}$  的話，則點  $P$  將沿着以坐标原點為心，而軸與坐标軸重合的橢圓運動。

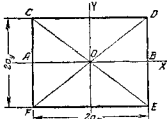


圖 6. 周相差等於  $k\pi$  的相互垂直的振動的合成

在最后一种情况中, 当分振动的振幅相等时, 质点将沿着圆运动。由此可见, 两个周期相同、振幅相等、周相差为  $\frac{\pi}{2}$  的奇数倍的谐振动, 彼此叠加时给出圆运动。这一运动将是匀速的, 因合成速度

$$v = \sqrt{v_x^2 + v_y^2} = \frac{2\pi a}{T}$$

为一恒量。

这一运动的方向取决于周相差的符号, 或者说, 取决于那一个振动超前: 是沿着  $x$  轴的还是沿着  $y$  轴的。

设在某一时刻, 点  $P$  沿逆时针方向循圆周运动到图 7 所示的位置上。速度在  $x$  轴上的投影  $v_x$  表明: 此时沿  $x$  轴的运动对应于第二个四分之一周期。速度在  $y$  轴上的投影  $v_y$  对应于沿  $y$  轴之振动的第一个四分之一周期。由此可见: 周相差  $\beta_x - \beta_y > 0$ 。如果点  $P$  是沿顺时针方向运动像第 8 图所示的那样, 则经同样的讨论可知, 在给定的时刻, 沿  $x$  轴的运动尚在第一个四分之一周期, 而沿  $y$  轴的运动已达第二个四分之一周期。因而, 周相差  $\beta_x - \beta_y < 0$ 。

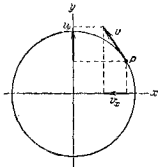


图 7. 周相差为  $\frac{\pi}{2}$  的两个相互垂直的振动之合成

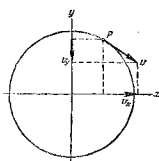


图 8. 周相差为  $-\frac{\pi}{2}$  的两个相互垂直的振动之合成

由此可見，如果周相差為正的，則質點將沿逆時針方向運動，如果周相差為負的，則質點將沿順時針方向運動。

為了表示出彼此疊加的兩個相互垂直的振動的周相差對軌跡的影響，在圖9上繪出了當周相差  $\beta_x - \beta_y$  從0變到  $2\pi$  時，每隔  $\frac{\pi}{6}$  的合運動軌跡；這裡還有一個條件，就是分振動的振幅相等，亦即， $a_1 = a_2 = a_0$ 。

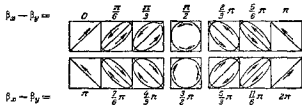


圖9. 同時參與兩個周期相同、振幅相等，且相互垂直的振動的點的軌跡

如果質點同時參與兩個具有不同周期的、相互垂直的諧振動，則一般說來，質點的運動軌跡將非常複雜；分振動的周期之比愈為簡單的數，質點的運動軌跡就愈簡單。

在圖10中表示出了兩個振幅相等的振動彼此疊加時合運動的軌跡，二者周期之比為：a)  $2:1$ , b)  $3:2$ , c)  $6:5$ ；周相差為  $0$ ， $\frac{\pi}{4}$ ,  $\frac{\pi}{2}$ ,  $\frac{3}{4}\pi$ , 和  $\pi$ 。

這些圖形叫做“利薩如圖形”。

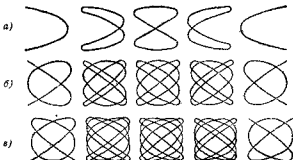


圖10. 同時參與兩個具有不同周期的、相互垂直的諧振動之質點的軌跡

## § 2. 阻尼振动

在前一节中，我們所研究的是無阻尼振动，这种振动沒有消耗在克服摩擦和介質阻力上的能量損失，因而具有一定的振幅。要激發起这样的振动，只要將物体从平衡位置引开一次，給它一些能量儲存就可以了。如果沒有摩擦和介質阻力所引起的損耗，此能量在全部振动時間內都保持一定。在实际的情况中，振动时总伴有能量的不断耗散。在帶有重錘的时鐘的摆振动时，能量的这种損耗依靠提起了的重錘的勢能来补充；在有彈簧發条的鐘里，这种能量損耗靠变形了的發条的能量来补充，等等。如果能量的耗散得不到补偿，则振动物体的能量將逐漸減少，因而其振动的振幅也要减小。这样的振动称为阻尼振动。

在大多数实际情况下，当运动的速度不大，阻力又很小时，可以認為，在运动物体上作用着一个指向与速度相反的力，其大小与速度的数值成正比：

$$f = -bv = -b \frac{dy}{dt}, \quad (2-1)$$

此处  $b$  为阻力系数。

做諧振动的物体的总能量，与振幅的平方成正比。由于阻力的存在，这一能量不断减少，因而振幅也不断减小，經過一个周期后能量的减少等于周期开始时与終了时的能量之差：

$$\Delta W = \frac{m2\pi^2a_0^2}{T^2} - \frac{m2\pi^2a_1^2}{T^2}. \quad (2-2)$$

从另一方面看，这一能量的减少應該等于阻力在一个周期內所做的功，亦即应有：

$$\Delta W = \int_0^T -fv dt = \int_0^T bv^2 dt = -\frac{bv_0^2}{2} T = -\frac{b2\pi^2a_0^2}{T^2} T, \quad (2-3)$$

所以能得到这个結果，是因为当阻力很小时，可以采用下式：

$$v = \frac{2\pi a_0}{T} \cos 2\pi \frac{t}{T} = v_0 \cos 2\pi \frac{t}{T}$$

比較(2-2)式与(2-3)式，可以导出一个周期起始与末了时振幅之間的相互关系：

$$\frac{m2\pi^2 a_0^2}{T^2} - \frac{m2\pi^2 a_1^2}{T^2} = b \frac{2\pi^2 a_0^2}{T^2} T, a_0^2 - a_1^2 = -\frac{ba_0^2 T}{m};$$

$$a_1^2 = a_0^2 \left(1 - \frac{bT}{m}\right);$$

$$a_1 = a_0 \sqrt{1 - \frac{bT}{m}} \approx a_0 \left(1 - \frac{bT}{2m}\right) \quad (2-4)$$

这样改写实际上不引起什么误差，因为根号內的第二項比1小得多。

由(2-4)式可以求出在一个周期內振幅的相对减小为：

$$\frac{a_1}{a_0} = 1 - \frac{bT}{2m}; \frac{a_1 - a_0}{a_0} = -\frac{bT}{2m} \text{ 或 } -\frac{\Delta a}{a} = \frac{bT}{2m}. \quad (2-5)$$

考慮到由于阻力而引起的能量損失和振幅減小過程是連續進行的，我們用下列微分方程

$$-\frac{da}{a} = \delta dt \quad (2-6)$$

来代替式(2-5)。这里引入了一个符号：

$$\delta = \frac{b}{2m}. \quad (2-7)$$

數 $\delta$ 稱為阻尼系数，它表示出振幅在單位時間內減小了百分之几。由(2-7)顯然可見，阻尼系数的數值，取決于阻力系数 $b$  [參看(2-1)]與運動物体的質量。

將方程(2-6)積分，我們得到：

$$\int \frac{da}{a} = \delta \int -dt = -\delta t + \ln C, \quad (2-8)$$

此处 $\ln C$ 為某一常数。由此可見：

$$\ln a = -\delta t + \ln C,$$

故有：

$$\ln \frac{a}{C} = -\delta t, \text{ 或 } \frac{a}{C} = e^{-\delta t}。 \quad (2-9)$$

此处  $e$  为自然对数的底。

设振幅  $a$  在  $t=0$  时等于  $a_0$ , 以  $a=a_0$  代入方程(2-9), 即可求得常数  $C$  的值, 并得到:

$$a_t = a_0 e^{-\delta t}。 \quad (2-10)$$

通常用相隔一个全周期的二振幅的比值的对数来表征阻尼, 亦即用数

$$\ln \frac{a_t}{a_{t+T}} = \ln \frac{a_0 e^{-\delta t}}{a_0 e^{-\delta(t+T)}} = \ln e^{\delta T} = \delta T \quad (2-11)$$

来表征阻尼。这个数称为阻尼对数减缩。

由(2-11)可知, 经过相等的时间间隔  $T$  的振幅之比是一个常数, 等于  $e^{\delta T}$ , 这就是说, 阻尼振动的振幅按指数律减小。对数减缩表征一个振动周期  $T$  内的阻尼, 而阻尼系数  $\delta$  表征单位时间内的阻尼。

根据以上所述, 对阻尼谐振动, 我们有:

$$y = a_0 e^{-\delta t} \sin \left( 2\pi \frac{t}{T} + \beta \right) \text{①}。 \quad (2-12)$$

阻尼振动的固有周期  $T_0$ , 亦即运动物体连续两次以同一方向通过平衡位置所需的时间间隔, 与阻尼系数有关系, 因为摩擦和媒质阻力将减慢物体的运动。这一个周期  $T_0$ , 将比同一物体在无阻尼时的振动周期  $T$  为大。理论给出, 当阻尼系数为  $\delta$  时, 固有振动周期  $T_0$  的表示式如下:

$$T_0 = \sqrt{\frac{2\pi}{4\pi^2 - (\delta T)^2}} T。 \quad (2-13)$$

我们顺便指出: 当阻力太大时, 分母中根号内为一负数, 而周期  $T_0$  成为虚数, 这表示: 被引离稳定平衡位置的物体将不振动。在这种情况下, 物体的运动为非周期性运动。

① 原文误排为  $y = a_0 e^{-\delta t} \sin \left( 2\pi \frac{t}{T} + \beta \right)$  ——译者。

举例來說，放在粘滯性很大的媒質中的摆，如果被引离平衡位置，其运动就是这样的。

### § 3. 受迫振动、共振和自动振动的概念

現在我們來研究物体除彈性力和阻力外，还連續地受到以某一周期  $T$  按正弦律变化着的外力作用时的情形①。在此情况下，物体將以外力的周期  $T$  做受迫振动。振动的周相与振幅將取决于固有振动和受迫振动的周期以及阻尼系数。在振动剛开始时，亦即在所謂变定周期时，物体的振动將不是諧振动；因为在这个时候，物体的振动是受迫振动叠加于固有振动的結果，受迫振动是無阻尼的，其周期为  $T$ ，角频率为  $\omega = \frac{2\pi}{T}$ ；固有振动是阻尼的，具有另一个周期  $T_0$  和角频率  $\omega_0 = \frac{2\pi}{T_0}$ 。在变定期間，固有振动阻尼而停止，仅剩下周期为  $T$  的受迫振动。

这一振动的振幅和周相，取决于周期（或角频率）与阻尼系数；它們之間的关系可以根据下面的考慮求出：在受迫振动变定以后的任何时刻，物体都受有下列諸力的作用：

#### 1. 按正弦律变化的外來激發力

$$F_1 = F_m \sin 2\pi \frac{t}{T} = F_m \sin \omega t, \quad (3-1)$$

式中  $F_m$  为外力的最大值。

2. 阻止物体运动的力，它与物体运动速度有关，且指向永远与速度相反。

我們來研究下述的最簡單的情况[（參看（2-1）】，这时，阻力在实际上可以足够正确地視為与速度的一次方成正比。

这样一来，有

$$F_2 = -bv = -b \frac{dy}{dt}, \quad (3-2)$$

① 此句中“除彈性力和阻力外，还……”为译者所加。

此处  $b$  为阻力系数, 在数值上它等于速度为一个单位时的阻力。

我們已經知道[ 參看 (2-6) 与 (2-8)], 这个系数与阻尼系数  $\delta$  以及振动物体的質量  $m$  之間有下列关系:

$$\delta = \frac{b}{2m}。 \quad (3-3)$$

### 3. 力圖使振动物体返回平衡位置的弹性恢复力

$$F_3 = -ky, \quad (3-4)$$

这里  $k$  是綫位移模量, 数值上等于位移为一个单位时的恢复力。

这三个力的合力使物体得到加速度  $\frac{d^2y}{dt^2}$ , 因而有下列运动方程:

$$F_1 + F_2 + F_3 = m \cdot \frac{d^2y}{dt^2}。$$

將(3-1)、(3-2)和(3-4)所示的力的值代入, 得:

$$F_u \sin \omega t - b \frac{dy}{dt} - ky = m \cdot \frac{d^2y}{dt^2}。 \quad (3-5)$$

对振动已定的特殊情况解此微分方程的结果, 得出:

$$y = A \sin (\omega t + \varphi)。 \quad (3-6)$$

这一运动的參量——振幅  $A$  和初相  $\varphi$ , 由下列公式确定:

$$A = \sqrt{\frac{F_u}{(m\omega^2 - k)^2 + b^2\omega^2}}, \quad (3-7)$$

$$\operatorname{tg} \varphi = \frac{2\delta\omega}{\omega^2 - \omega_0^2}。 \quad (3-8)$$

当作用为靜定的时候, 驱力  $F_u$  引起的位移为  $L$ , 由于力  $F_u$  应与弹性力相平衡, 故有①

$$F_u = kL。$$

將这一数值代入(3-7), 并将  $m$  提出于根号外面, 再以  $L$  除等式兩端, 就得到:

① 这里欲原文直译为: 当作用为静定作用的时候, 力  $F_u$  在任何时刻都与弹性力相平衡, 因而它引起由式  $F_u = kL$  所决定的位移  $L$ 。

$$\frac{A}{L} = \frac{k}{m \sqrt{\left(\omega^2 - \frac{k}{m}\right)^2 + \frac{b^2}{m^2} \omega^2}}. \quad (3-9)$$

将阻尼系数  $\delta = \frac{b}{2m}$  和角频率  $\omega_0$

$$\omega_0 = \frac{2\pi}{T_0} = \sqrt{\frac{k}{m}}, \quad \frac{k}{m} = \omega_0^2, \quad (3-10)$$

代入式(3-9)得出：

$$\frac{A}{L} = \frac{1}{\sqrt{\left[\left(\frac{\omega}{\omega_0}\right)^2 - 1\right]^2 + 4\delta^2 \left(\frac{\omega}{\omega_0}\right)^2 \frac{1}{\omega_0^2}}}. \quad (3-11)$$

这一等式的左边是已定的振动的振幅与激力最大值所能够引起的静定位移之比。

分析这个公式，可以看到受迫振动的振幅，与受迫振动和固有振动的角频率以及阻尼系数，有着什么样的关系。对于  $\omega < \omega_0$  的情况来说，从公式(3-11)可以明显地看到，当激力的频率  $\omega$  很小，亦即  $T$  很大时，振幅  $A$  与  $L$  相差不多。 $\omega$  增大时，振幅  $A$  随着增大。当

$$\frac{\omega}{\omega_0} = \sqrt{1 - \frac{2\delta^2}{\omega_0^2}} \quad (3-12)$$

时达到最大值。

$\frac{A}{L}$  的最大值为：

$$\left(\frac{A}{L}\right)_{\max} = \frac{1}{\frac{2\delta}{\omega_0} \sqrt{1 - \frac{2\delta^2}{\omega_0^2}}}. \quad (3-13)$$

在阻尼很小时，振幅  $A$  可以达到非常大的值，而当  $\delta = 0$  时，依(3-13)公式，振幅应该是无穷大；当然，实际上不存在这种情况。

受迫振动振幅的这种当外力频率接近固有振动频率时的剧烈增长，就是共振现象。阻尼系数愈小，共振现象就表现得愈显著。图 11 上按照(3-11)公式，繪出了对应于不同的阻尼系数  $\delta$  的曲

线，其横坐标为  $\frac{\omega}{\omega_0}$  的值，纵坐标为量  $\frac{A}{L}$ 。

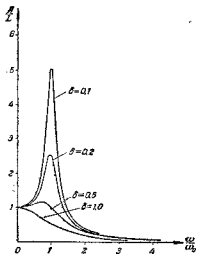


图 11. 受迫振动振幅与阻尼系数  
以及激振力的关系圖解

从圖解及公式(3-13)显

然可見，当  $\delta=0.1$ ,  $\frac{\omega}{\omega_0}=1$  及  $\omega_0=1$  时，受迫振动的振幅最大值，比外力在靜定作用时所引起的位移超过五倍之多。

由此可见，当頻率接近于共振頻率时，受迫振动的最大振幅，近似地与固有振动的角频率成正比，而与阻尼系数成反比。

外力的頻率进一步增加时，受迫振动的振幅减小，逐渐趋向于零，从公式(3-11)和圖 11 上的圖解中可以清楚地看到这一点。

方程(3-5)的解的分析导至下述結論：角  $\varphi$  在任何情况下都限于从 0 到  $-\pi$  的范围之内。当  $\omega > \omega_0$  的时候，受迫振动在周相上比外力落后一个角度，从  $\frac{\pi}{2}$  到  $\pi$ 。当外力的角频率趋向無穷大时，落后角趋向于  $\pi$ ，而振动与外力周相相反。在其振的情况下，亦即当  $\omega \approx \omega_0$  时，周相的落后近于  $\frac{\pi}{2}$ 。在外力的角频率非常小的时候，振动的周相將与外力的周相相近，亦即  $\varphi \approx 0$ 。

在圖 12 中，对于不同的阻尼系数的值，表示出了周相相差的角度与外力频率对固有振动频率的比值之间的关系。从公式(3-8)和圖 12 中可以明显地看到，阻尼系数愈小和固有振动的角频率愈大，曲綫通过共振頻率时就愈陡峭。

共振时的最大振幅并不能一下子建立起来，因为在这种情形

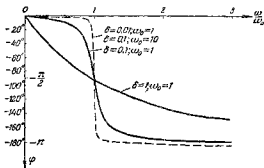


图 12. 周相的差角与阻尼系数, 以及激振力和固有振动频率之比值间的关系

下, 能量是以不大的一分分地传递过去的。共振物体的最大振幅愈大, 为达到最大可能的能量储存, 物体所须完成的振动次数就愈多。

共振现象在许多物理过程和技术应用中占着重要的地位。在某些情况下, 共振现象是有害的。例如, 如果由于装在船只上的任何一个平衡得不好的机器的工作而引起的振动频率, 与固结船体的任一根梁的固有振动频率相符合的话, 则因为发生共振, 这个梁的结合处的应力可能超过许可数值而开始损坏。在每一次振动中, 梁得到不大的一分能量, 但因为这些能量是按固有振动的节拍传递过去的, 所以后者的振幅和能量可以达到非常大的数值, 以至引起破坏。

公元 1904 年, 一队骑兵从埃及式的链桥上通过彼得堡的一道小河, 结果桥陷落了。事后知道, 这件惨案的发生是因为马蹄对于桥的敲击恰恰和桥的固有振动合了拍, 由于共振, 使得桥的振幅增大到了破坏桥的程度。从这件惨案发生以后, 在军事条例上就增订了一条: 军队在通过桥的时候不走“齐步”。

工程师们都知道, 在初次开动涡轮机时, 由于涡轮机转动的频率与某些零件的固有频率之间的共振, 可能引起毁坏。现代在设计强力的装置时, 都要考虑到这种共振。在开动涡轮机时, 要使它

尽可能快地通过可以引起这种共振的频率，它等于在这方面有危险的涡轮机零件的固有振动频率。

在§1中我們研究了無阻尼振动，那里我們認為在振动过程中沒有能量的損耗。再進一步我們知道，任何振动的物体都要消耗能量在克服摩擦上面。但無阻尼振动还是可以得到的，只要由另外的能源补充所损耗的能量就可以了。例如，假若按照摆的固有振动的节拍不停地对摆加以冲击，摆就可以做無阻尼振动。

可以設想一种機構，其中外來作用是依靠一个稳定的能源来进行的。例如，在古式时鐘里，利用一个悬起的重錘的势能作为这种能源；在演奏提琴时，用琴弓均匀地摩擦琴弦，这个运动着的弓就是能源。如果振动物体本身能够調節傳入的能量和傳給它能量的时间，則这种振动就称为自动振动。这种振动不是諧振动。表征这种振动的量彼此間的数学关系是非線性的微分方程，比起——例如——方程(3-1)來說，要复杂得多。

自動振动在自然界很难看到。在近代的技术中，特別是在無線电技术中，这种振动具有極重大的意义。

鐘表可以作为自動振动系統的例子。鐘表的運轉由摆（或摆輪）來調節，其能源是悬起的重錘或旋緊了的發条。

#### § 4. 彈性振动沿着直線的傳播

##### A. 振动傳播的一般情形

相互間有彈性力連系着的微粒所組成的媒質，叫做彈性媒質。这种媒質的任何一个質點如果离开了平衡位置，就發生使它回到平衡位置的力；因而質點將做諧振动。因为在这个質點与其鄰近的質點間有相互作用力連系着，所以它的振动將傳遞給与之相鄰的質點，使此質點也發生振动；然后，振动又傳給下一質點，如此類推。这样一来，在媒質中一点所引起的振动，將沿着各个方向傳播开去。

振动传播的速度与媒質的性質有关，因而，当振动从一种媒質傳入另一种媒質时，速度將發生改变。

媒質的各个質点以不同的周相做同样的振动的过程，称为波动過程。波，就是振动在媒質中的傳播。显然，振动傳播的速度同时也就是波的傳播速度。振动沿着它而傳播的空間中的綫，我們称之为射綫。

質点的振动可能沿着射綫的方向，也可能与射綫的方向垂直。前一种叫做縱振动，后一种叫做橫振动。縱振动在固体、液体和气体中都可以傳播，因为这些媒質在压缩或扩张形变时都产生企圖恢复原形的彈性力。

橫的机械振动只能夠發生在固体中，因为要激發橫振动，必須存在彈性的切变形。在液体和气体中，当一层相对于另一层發生平移(切变)时，并不产生企圖消除这一切变的彈性力。因此，在气体中和液体内部，不能發生橫振动。

順便指出，液体表面上的波，并不是由于彈性力产生的，这种波的产生是由于重力。在液面的凸出部分上，作用着重力(即突出部分液体的重量)；而在液面的凹入部分上，作用着浮力(即指向向上，大小等于液面凹入部分所排开的液体重量的力)。当液体表面發生的波紋非常微弱时，起主要作用的不再是重力，而是表面張力。

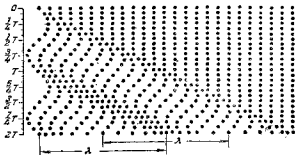


圖 18. 傳播縱波的質点的位置

現在我們來考察一下：當在彈性媒質中某一點激發起來振動時，在振動傳播的直線上，各質點的位置分布如何，前面已經說過，我們將這一直線稱為射線。

圖 13 中繪出了縱波的傳播情形。從圖中可以清楚地看到，密集區域與稀疏區域沿着射線交替地排列着。圖中就二十個不同時刻，從點  $O$  開始振動的時刻  $t=0$  到時刻  $t=2T$ ，表示出了各質點的位置分布。

圖 14 上表明了在橫波情況下，每經過  $1/2$  周期，各質點的位置分布情形。由圖中顯然可見，沿着射線，交替地排列着質點上移的區域和下移的區域，也就是說，交替地排列着峰和谷。在這兩個圖中，振動傳播的速度是這樣選取的：在這個速度下，每一個周期內振動傳播的距離，十二倍於二相鄰質點間之間隔。

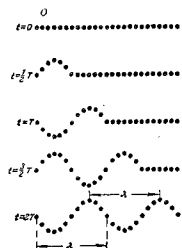


圖 14. 傳播橫波的質點的位置  
B. 波長與振動傳播速度

振動在一個周期中所傳播的距離，叫做波長。波長通常用  $\lambda$  表示，它與振動的周期  $T$  以及振動的傳播速度  $c$ ，有著下列關係：

$$cT = \lambda_0 \quad (4-1)$$

因而與振動的頻率  $\nu = \frac{1}{T}$  之間的關係為：

$$\nu\lambda = c \quad (4-2)$$

波長還可以定義為任何兩個以相同的周相振動的，相鄰近的質點間的距離。在特殊情況下，當波為縱波時，可以說波長就是二相鄰密集中心或者二相鄰稀疏中心間的距離。當波為橫波時，可以說波長就是二相鄰波峰（或波谷）間的距離。

显然，由周期相同的振动所形成的波，在不同的媒質中，將具有不同的波長，而且，波長与振动的傳播速度成正比。

正如前面已經講过的，振动的傳播速度，亦即波的傳播速度，只与媒質的性質有关。在縱波傳播时，密集和稀疏以波的傳播速度移动；在橫波傳播时，峰和谷以波的速度移动。此速度与媒質質点的振动的速度、頻率以及振幅都沒有关系。由此可見，質点繞着它而振动的中心在波的射綫方向上的位置，始終都不改变。也就是说，在射綫方向上的質点的平均位置保持恒定。

振动的傳播速度取决于媒質的密度和彈性：对于縱振动來說，取决于伸張或者压缩彈性模量；对于橫振动來說，取决于切变彈性模量。

縱振动沿着無限長的、粗細均匀的棒的傳播速度，可以根据下面的考慮推算出来。

假定棒的一端受到一个槌子的打击，結果，棒上靠近打击的地方就被压緊，产生彈性的压缩形变；这时出現力圖恢复原来密度的彈性力，又引起鄰近区域的压缩。这样下去，被压緊的部位將沿着棒以某一速度  $c$  傳播，我們所要确定的就是这个速度。

棒所受到的冲量  $(ft)$ ，應該等于  $F \cdot \Delta t$ ，即  $(ft) = F \cdot \Delta t$ ，而引起棒彈性形变的力  $F$ ，依賴于相对形变  $\frac{\Delta L}{L}$ ，压缩彈性模量  $E$ ，以及棒的横截面面积  $S$ 。我們將認為面积  $S$  在棒發生形变时保持一定。按照胡克定律，有下列等式：

$$F = E \frac{\Delta L}{L} S.$$

在时间  $\Delta t$  内，变形傳播的距离为  $c \cdot \Delta t$ 。对应于这一距离的一小段棒的質量，由于密度增加了  $\Delta \rho$  而增加了  $\Delta m$ 。在棒的横截面不变时，密度的增加等于  $\Delta \rho = \frac{\Delta L}{L} \rho$ ，而質量的增加由量  $\Delta \rho$  与这一小段棒的体积的乘积来确定，亦即，

$$\Delta m = \Delta \rho S c \Delta t = \frac{\Delta L}{L} \rho S c \Delta t,$$

被压紧部分所得到的动量为

$$\Delta(mc) = \Delta m \cdot c = \frac{\Delta L}{L} \rho S c^2 \Delta t,$$

因为冲量等于动量的增量，故有

$$E \cdot \frac{\Delta L}{L} S \Delta t = \frac{\Delta L}{L} S \rho c^2 \Delta t;$$

从而得到：

$$c = \sqrt{\frac{E}{\rho}}. \quad (4-3)$$

由此可见，縱振动的傳播速度，等子綫性伸長（或壓縮）彈性模量與媒質密度的比值的平方根。

橫振动傳播速度的表示式也与此类似，为：

$$c = \sqrt{\frac{G}{\rho}}, \quad (4-4)$$

此处  $G$  为切变弹性模量。

在固体中，縱振动和橫振动都能够傳播，縱振动的傳播速度比橫振动大些，因为压縮或伸長彈性模量數值上要比切变彈性模量为大，亦即  $E > G$ 。

### B. 波动方程

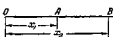
現在我們來推导描述波沿着射綫傳播的公式——所謂射綫方程或波动方程。这个方程确定在射綫方向上的任何一个振动質点，在任一时刻的位移。

設波以不变的振幅  $a$  沿着直線（圖 15），以速度  $c$  从  $O$  向  $N$  傳播；且在点  $O$ ，振动方程为

$$y_0 = a \sin 2\pi \frac{t}{T},$$

此处  $y_0$  是点  $O$  在时刻  $t$  的位移。这样，我們就是选了点  $O$  沿正方向运动通过平衡位置的时刻做为开始計算时间的起点。現在要問

的是：射线上距  $O$  点为  $x_1$  远的  $A$  点，振动方程如何？点  $A$  在



振动过程中要比点  $O$  迟一段时问  $\tau$ ，  
这段时间就是波从  $O$  传到  $A$  所需的

时间，因为  $A$  点到  $O$  点的距离为  $x_1$ ，而波的传播速度为  $c$ ，故  $\tau = \frac{x_1}{c}$ 。由此可見，从点  $A$  沿正方向通过平衡位置的时刻开始到时刻  $t$ ，所經时间为  $t - \tau = t - \frac{x_1}{c}$ ，故点  $A$  的振动方程为：

$$y_A = a \sin 2\pi \left( \frac{t - \tau}{T} \right) = a \sin 2\pi \left( \frac{t}{T} - \frac{x_1}{cT} \right).$$

依(4-1)式， $cT = \lambda$ ，故有

$$y_A = a \sin 2\pi \left( \frac{t}{T} - \frac{x_1}{\lambda} \right), \quad (4-5)$$

或者写为：

$$y_A = a \sin \left( 2\pi \frac{t}{T} - 2\pi \frac{x_1}{\lambda} \right). \quad (4-6)$$

可見，点  $A$  的振动方程与点  $O$  的振动方程，仅仅在初周相上有所不同。

利用同样的方法可以求得，位于距  $O$  点  $x_2$  远处的点  $B$ ，振动方程为：

$$y_B = a \sin 2\pi \left( \frac{t}{T} - \frac{x_2}{\lambda} \right) = a \sin \left( 2\pi \frac{t}{T} - 2\pi \frac{x_2}{\lambda} \right).$$

由此可见，在点  $A$  和点  $B$  的振动的区别也仅在于初周相不同。在点  $A$ ，初周相  $\beta_1 = -2\pi \frac{x_1}{\lambda}$ ；在点  $B$ ，初周相  $\beta_2 = -2\pi \frac{x_2}{\lambda}$ 。

二者之差为

$$\beta_1 - \beta_2 = 2\pi \frac{x_2 - x_1}{\lambda}. \quad (4-7)$$

如果在点  $A$  和点  $B$  的振动的周相之差为  $\pi$  的偶数倍，则这两个点在同一时刻向着同一侧运动，且同时改变运动方向，二者的运

动基本量——位移、速度、加速度等在时间上恰相符合。因而，在这种情形下，我們說在点  $A$  和点  $B$ ，振动的周相是同样的。

对于这种情况，有

$$\beta_1 - \beta_2 = 2\pi \frac{x_2 - x_1}{\lambda} = 2k\pi,$$

以及

$$x_2 - x_1 = 2k \frac{\lambda}{2}, \quad (4-8)$$

此处  $k$  为任意整数。

由此可见，如果点  $A$  与点  $B$  间的距离为半波長的偶数倍，则此二点将以相同的周相振动。

如果在点  $A$  和点  $B$  的振动周相之差为  $\pi$  的奇数倍，亦即，如果

$$\beta_1 - \beta_2 = 2\pi \frac{x_2 - x_1}{\lambda} = (2k+1)\pi,$$

则此二点间的距离将为

$$x_2 - x_1 = (2k+1) \frac{\lambda}{2},$$

亦即等于半波長的奇数倍。

在这种情形下，点  $A$  和点  $B$  的一切运动基本量数值虽然相同，但它们的符号却是相反的。举例來說，当振动为横振动时，如果在某一时刻，某一質点位移向上，则另一質点在同一时刻将向下位移同样的距离。在这种場合下，我們說，在点  $A$  和点  $B$  的振动周相相反。

如果振动源点  $O$  在兩种媒質的界面上，而振动传播速度在二者中不相等，则比較分別位于这兩种媒質中的点  $A$  与点  $B$  的振动时，應該以波数来表示点  $A$  和点  $B$  距  $O$  点的距离。若这两个波数之差为二分之一的偶数倍，则点  $A$  与点  $B$  以相同的周相振动；若二波数之差为二分之一的奇数倍，则兩点的振动周相相反。

在这時，应当注意到，按公式(4-1)，在不同的媒質中波長不相

等，它正比于波的傳播速度。

由此可見，如果

$$\frac{x_2}{\lambda_2} - \frac{x_1}{\lambda_1} = \frac{x_2}{c_2 T} - \frac{x_1}{c_1 T} = 2k \frac{1}{2}, \quad (4-9)$$

則點 A 與點 B 的振動周相相同。如果

$$\frac{x_2}{\lambda_2} - \frac{x_1}{\lambda_1} = \frac{x_2}{c_2 T} - \frac{x_1}{c_1 T} = (2k+1) \frac{1}{2}, \quad (4-10)$$

則點 A 與點 B 的振動周相相反。

从波动方程 (4-5) 中可以得出重要的关系：先求出位移  $y = a \sin 2\pi \left( \frac{t}{T} - \frac{x}{\lambda} \right)$  对于时间 t 的二级偏微商和对于坐标 x 的二级偏微商，再以后者除前者，并以  $\lambda = cT$  代入，就得到：

$$\frac{\partial^2 y}{\partial t^2} = -\frac{4\pi^2 a}{T^2} \sin 2\pi \left( \frac{t}{T} - \frac{x}{\lambda} \right), \quad (4-11)$$

$$\frac{\partial^2 y}{\partial x^2} = -\frac{4\pi^2 a}{c^2 T^2} \sin 2\pi \left( \frac{t}{T} - \frac{x}{\lambda} \right)$$

这就是說：位移对時間的二级偏微商与对坐标的二级偏微商之比，等于波的傳播速度的平方。

### F. 駐波

如果在均匀媒質中沿直線傳播着的波遇到了另一种媒質，且二媒質的交界面为垂直于射綫的平面，则波將部分地进入第二种媒質，部分从交界面反射回来；在完全反射时，形成入射波与反射波的振动的振幅保持不变。振动的周相反射时是否改变則視媒質的性質而定：如果波从密度較小的媒質反射回来（即如果波在这种媒質中的傳播速度比在第一种媒質中大时），則振动的周相保持不变。如果波从密度較大的媒質反射回来（即如果波在这种媒質中的傳播速度比在第一种媒質中小时），則振动的周相改变  $\pi$ 。这个結論是由彈性理論中推導出來的，并且已被實驗所証實。

現在我們來研究，当兩個周期相同的波以相反的方向同时沿着一条直線傳播时，綫上各点的振动如何。举个例子來說，由圖

16 的  $O$  点的無阻尼振动所激發起来的波沿着直線  $OC$  傳播时，情

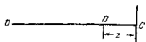


圖 16. 研究前进的波与反射波的叠加作用

形就是这样。在点  $C$ ，波从垂直于射线的平面（第二种媒質的界面）上反射回来，然后沿着同一直線傳播，但方向是从  $C$  到  $O$ 。在此情况下，直線  $OC$  上所有的点，將参与两个振动，一个是由  $O$  向  $C$  傳播的原来的波所引起的振动，一个是沿相反方向从  $C$  向  $O$  傳播的反射波所引起的振动。

假定：直線上各点的振动是在圖紙的平面內进行的；且無論是在原来的波中还是在反射波中，振动的振幅在直線  $OC$  的整个長度上都保持同样；并且在反射时，振动的周相不發生改变，亦即波是从較疏的媒質中反射回來的。現在要問，直線  $OC$  上的各个点的合振动振幅如何呢？這一個問題可以用下述方法得到解答：在直線  $OC$  上任选的一点  $D$ （圖 16），將兩個振动叠加起来。取点  $D$  至波源点  $O$  的距离等于  $x$ ，至反射点  $C$  的距离等于  $z$ 。这时，根据（4-6）式，原来的波在点  $D$  所引起的振动的方程式为

$$y_1 = a \sin\left(2\pi \frac{t}{T} - 2\pi \frac{x}{\lambda}\right),$$

而反射波在点  $D$  所引起的振动的方程式为

$$y_2 = a \sin\left(2\pi \frac{t}{T} - 2\pi \frac{x+2z}{\lambda}\right).$$

由此可見，二分振动的初周相將分別为  $\beta_1 = -2\pi \frac{x}{\lambda}$  与  $\beta_2 = -2\pi \frac{x+2z}{\lambda}$ 。引用（1-15）式和（4-7）式，我們得到：

$$\begin{aligned} A^2 &= 2a^2 + 2a^2 \cos\left(-2\pi \frac{x}{\lambda} + 2\pi \frac{x+2z}{\lambda}\right) = \\ &= 2a^2 \left(1 + \cos 2\pi \frac{2z}{\lambda}\right) = 4a^2 \cos^2 \frac{2\pi z}{\lambda}, \end{aligned}$$

故

$$A = 2a \cos 2\pi \frac{z}{\lambda} \quad (4-12)$$

利用公式(1-16)①, 可以求得在点 D 合振动的初周相:

$$\begin{aligned}\operatorname{tg} \beta &= \frac{a \sin\left(-2\pi \frac{x}{\lambda}\right) + a \sin\left(-2\pi \frac{x+2z}{\lambda}\right)}{a \cos\left(-2\pi \frac{x}{\lambda}\right) + a \cos\left(-2\pi \frac{x+2z}{\lambda}\right)} = \\ &= \operatorname{tg}\left(-2\pi \frac{x+z}{\lambda}\right),\end{aligned}$$

因而,

$$\beta = -2\pi \frac{x+z}{\lambda}. \quad (4-13)$$

由(4-12)显然可见, 在直线 OC 上的不同各点, 合振动的振幅互不相同。当  $\cos 2\pi \frac{z}{\lambda} = \pm 1$ , 或者说当  $2\pi \frac{z}{\lambda} = 2k \frac{\pi}{2}$ ,  $z = 2k \frac{\lambda}{4}$  时, 振幅将为最大值。也就是说, 在离开反射点的距离为四分之一波长的偶数倍那些点, 振幅最大。

在  $\cos 2\pi \frac{z}{\lambda} = 0$ , 或者说  $2\pi \frac{z}{\lambda} = (2k+1) \frac{\pi}{2}$ , 即  $z = (2k+1) \frac{\lambda}{4}$  的那些点, 亦即在离开点 C 的距离为四分之一波长的奇数倍那些点, 振动的振幅将等于零。对于这些点, 原来的波引起的位移, 在任何时候都为反射波引起的位移所抵消。

在一般情况下, 同周期的波的相互叠加称为波的干涉。在特殊情形下, 两个波沿相反方向传播, 这时发生的叠加现象称为驻波。在驻波中, 振幅最大的那些点叫做驻波的波腹, 振幅最小的那些点叫做驻波的波节。图 17 所表示的就是上述的驻波。图中给出了直线 OC 上各个点振动范围的边界。实线所示的极端位置经过半个周期, 就为虚线表示的位置所代替。在点 C 和诸点 P 处是波腹, 在各 Q 点处是波节。相邻两个波腹或相邻两个波节间的距离等于  $2 \cdot \frac{\lambda}{4} = \frac{\lambda}{2}$ , 亦即等于半波长。

① 原文缺印为(4-6)——译者。

依(4-18)式可知，驻波中所有各点，振动的初周相相同；这是

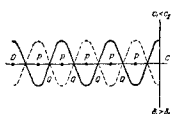


圖 17. 波從較疏的媒質中反射時所產生的駐波

因为  $x+z=OC$  是一个恒量。但是，就振幅來說，依照(4-12)式，对于直線  $OC$  上位于任一波节兩側的点，得到不同的符号。考慮到这个，应得出下述結論：在兩個波节之間的所有各点，振动的周相相同，而在由波节分开的兩個相鄰区段上，振动的周相相差  $\pi$ 。

以上所研究的驻波形成的例子对应于波从較疏媒質的界面上反射回到較密媒質中的情形。在这种情形下，振动的周相在反射时不發生改变。前面曾經說过，如果波是从較密的媒質反射回来的，则振动的周相在反射时改变数值  $\pi$ (圖 18)。在此情况下，原来的波在反射点(圖 18 中  $O$  点)所引起的位移，在任一时刻，都將被反射波所引起的，与其等值而反向的位移所抵銷。結果，在此点形成驻波的波节。圖 18 所表示的就是这种情形下的驻波圖象，它与圖 17 所示情形的不同仅仅是：波节与波腹在  $OC$  线上，相对于反射点(即点  $O$ )移动了四分之一波長。

在結束本节时我們指出，在彈性綫狀物体——例如彈性棒或彈性帶子中的某些点引起彈性压缩、伸長或切变的短暫的冲击，也要沿着物体傳播，在它后边留下的是已不再有形变的区域。

設圖 19 上的虛綫表示在上述綫上某点激起切变变形后的某一时刻  $t_1$  沿綫各質点的位置分布。如果形变依箭头所示方向向右傳播，则在以后的某一时刻  $t_2$ ，各点將占据圖中实綫所示的位置。在時間間隔  $t_2-t_1$  內，質点  $A$  以向上的某一速度  $v$  和动量  $mv$

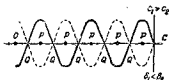


圖 18. 波從較密的媒質中反射回來時所形成的駐波

回到位置  $A_1$ 。这时，在点  $A$  上作用着从移到下面去了的点  $B$  那里来的力。此力的冲量使点  $A$  停止下来。在时刻  $t_1$  时静止着的质点  $C$ ，受到由已经移动了的点  $D$  那方面来的力  $f_1$  的作用，开始向上运动。

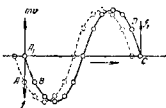


图 19. 单个脉冲所成的波过去后留下平滑的外表

## § 5. 波在空间中的传播

### A. 惠更斯原理

在所有各方向性质完全相同的媒质称为各向同性媒质。在不同方向性质不同的媒质称为各向异性媒质。

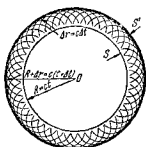


图 20. 按照惠更斯原理作出球面波的波阵面  
振动的各个点所联成的面，叫做波阵面或者波前。

现在我们来研究振动在各向同性的弹性媒质中的传播情形。设在图 20 上，点  $O$  为振动中心，亦即振动发源的点。由于媒质是弹性的，故振动将传给邻近的质点，然后再从这些质点一个接一个地传下去，这样，波就在空间中传播起来了。

由波所同时达到的各个点的几何位置所构成的面，或者说，以相同周相

显然，在各向同性媒质中，当波源为一点时，波阵面将为球面。其横断面为圆，如图 20 所示。在各向异性媒质中，由于波的传播速度与方向有关，波面将成为别的样子，比如说，成为椭球面。如果源点离开无穷远，则波阵面表现为平面；这时，波被称为平面波。在各向同性媒质中，波阵面在任何时候都与波的传播方向相垂直，也就是说，与射线相垂直。

位于波的路程上的所有各点都要振动，因而，它们中的任一个都可以看做是次级振动的中心。如果媒质是各向同性的，从它们那里传播出球面波；如果媒质是各向异性的，则传出其他样子的波。以这些次级振动中心为源点的波，我们将称其为次级波。

荷兰物理学家惠更斯从这样的想法出发，在十七世纪末叶，提出了一个方法，利用这个方法，可以根据前一时刻的一个波阵面，作出对应于任一时刻的波阵面。这一个方法是以所谓惠更斯原理为基础的。此原理可叙述如下：“波所传播到的每一个点，都可以看做是次级波的波源。如果这些点位于对某一时刻  $t$  所作出的波阵面  $S$  上，则以这些点为波源对于时间  $\Delta t$  所作出的波阵面的外包面，就是对应于时刻  $t + \Delta t$  的波阵面  $S'$ ”。

在图 20 上表明了怎样作出球面波的波阵面，在图 21 上表明



图 21. 按照惠更斯原理作出复杂形式的波的波阵面

了怎样作出复杂形状的波的波阵面。在这两个图中， $S$  为位置已知的波阵面， $S'$  为根据惠更斯的方法所作出的波阵面。

在根据惠更斯原理来作波阵面的时候，可以只画出球形次级波的一部分，即对于作出在原来的波传播的那一侧的包面为必需的那一部分。这一包面我们在前边曾称之为外包面。

惠更斯将光波看做假想媒质——宇宙以太中的弹性波，他曾利用自己的方法来解释光波的传播。又经过 150 年，菲涅耳对惠更斯原理做了补充，他指出：次级波彼此相互重叠而发生干涉，只有在它们的波阵面的外包面上，才能显现出来，而在其余的点，它们互相抵消。如果有障碍物阻止了次级波源所在的波阵面的一部分，破坏了波阵面的完整性，则在其几何阴影的边界附近各点，次级波重叠时也可能不相互抵消，而进入几何阴影区域之内。由此可见，波原来能够绕过障碍物，并不是沿着直线传播的。但是这种现象只有在波长可以与障碍物的尺寸相比较时才能显露出来。这

种現象叫做繞射。以后我們將熟悉光波的繞射現象。

### B. 波的反射与折射定律

惠更斯原理可以用来解释波的反射与折射定律。

設有以平行射綫  $AC$  及  $BD$  (圖 22) 为界限的平面波，以速度  $C$  在一种均匀媒質中傳播，行进途中遇到另一种媒質的界面，从那里反射回来。因为波是平面波，所以射綫束是平行的，且对任何时刻所作出的波陣面都是与射綫束相垂直的平面，对于射綫  $AC$  到达媒質分界面上点  $C$  的这一时刻的波陣面当然也是这样。在圖上以綫段  $CE$  表示此波陣面。

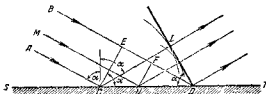


圖 22. 根據惠更斯原理推導反射定律

为了确定波在反射以后的傳播方向，只需对任一时刻，作出反射綫束的波陣面来。我們選擇邊上的射綫  $BD$  到達點  $D$  的时刻來作这个波陣面，这时綫束中全部射綫都已發生反射。对于这一时刻的波陣面是諸次級半球形波的包迹，这些次級波是从相应于綫束中諸射綫的反射点作出的。因为波是以一个角度射到媒質分界面( $ST$  平面)上的，故各射綫不能同时反射，因而，上述諸半球形次級波的半徑互不相等。每一个半徑的長度，等于在相应的射綫反射时，入射波的波陣面离开  $D$  点的距离。对于邊緣上的射綫  $AC$ 來說，次級波的半徑等于  $ED$ 。对于另一边上的射綫  $BD$  来說，次級波的半徑等于零。对于中間的射綫，比如对  $MN$  来說，次級波的半徑将等于  $FD$ ，因为在射綫  $MN$  反射的时候，入射波的波陣面位于  $NF$  处。此二半球的球心  $C$  与  $N$  离  $D$  点的距离，正比于在射綫  $AC$  及  $MN$  反射时波陣面距点  $D$  的距离，也就是说，正

比于二半球的半徑。由此可見，过点  $D$  所引以  $C$  为心的半球的切面，將也是以  $N$  为心，或以各射綫的任一反射点为心的半球的切面。可見这一个切平面(在圖中，由直綫  $DL$  表示)就是諸次級波的包面，也就是反射后的平面波的波陣面。

入射綫与反射平面的法綫間的夾角称为射綫的入射角。在圖 22 中，显然，入射角等于入射平面波的波陣面与反射平面所夾的角  $\alpha$ ；并且(由于三角形  $CED$  与  $CLD$  全等)等于反射的平面波的波陣面与反射平面間的夾角。由此可見，反射角等于入射角。

如果波从一种媒質进入另一种媒質，则一般說來，其傳播方向要發生改变，也就是說，波發生折射。

設有由平行射綫  $AC$  与  $BD$  所范围的平面波(圖 23)，在第一

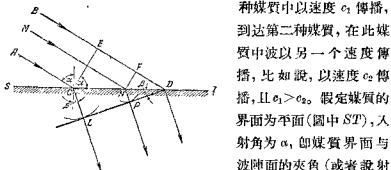


圖 23. 由惠更斯原理推导折射定律

种媒質中以速度  $c_1$  傳播，到达第二种媒質，在此媒質中波以另一个速度傳播，比如說，以速度  $c_2$  傳播，且  $c_1 > c_2$ 。假定媒質的界面为平面(圖中  $ST$ )，入射角为  $\alpha$ ，即媒質界面与波陣面的夾角(或者說射綫与界面在入射点的法綫間的夾角)为  $\alpha$ ， $\alpha$  不等于零。为了要确定波在第二种媒質中的傳播方向，我們再利用惠更斯的方法，对于射綫  $BD$  到达媒質界面 上点  $D$  的时刻，作出諸次級半球形波。

在前一时刻，当射綫的另一边綫  $AC$  到达点  $C$  时，波陣面位于位置  $CE$ ，距点  $D$  的距离为  $ED$ 。波在第一种媒質內以速度  $c_1$  通过这段距离，所需时间为  $\frac{ED}{c_1}$ 。在这一段时间内，从  $C$  点出發的次級波，以速度  $c_2$  在第二种媒質中傳播，形成半徑等于  $c_2 \frac{ED}{c_1}$  的半

球。由  $D$  点引至此半球的切面，与平面  $ST$  交成角  $\beta$ ，这个角由下式确定：

$$\sin \beta = \frac{CL}{CD} = \frac{c_2}{c_1} \cdot \frac{FD}{CD} = \frac{c_2}{c_1} \sin \alpha, \quad (5-1)$$

这是因为，根据图 23，比值  $\frac{FD}{CD}$  等于入射角的正弦。

由射线  $MN$  到达媒质界面之点  $N$  作同样的半球形波，可以看到，此半球的半径将为  $\frac{FD}{c_1} \cdot c_2$ ，而由点  $D$  引至此半球的切面与媒质界面间的夹角  $\beta$ （参看图 23），与 (5-1) 式所给出的角  $\beta$  数值相等：

$$\sin \beta = \frac{NP}{ND} = \frac{c_2}{c_1} \cdot \frac{FD}{ND} = \frac{c_2}{c_1} \sin \alpha,$$

故此比值  $\frac{FD}{ND}$  等于入射角的正弦。由此可见，以  $N$  为心的半球的切面  $PD$ ，与切面  $LD$  恰相重合，因而，这一切面就是诸次级波的包面。这样一来，在第二媒质中，波阵面就是平面  $LD$ ，波的传播方向就是这一平面的法线方向；也就是说，折射角为角  $\beta$ 。

根据 (5-1) 式，有下列等式：

$$\frac{\sin \alpha}{\sin \beta} = \frac{c_1}{c_2} = n, \quad (5-2)$$

这就是说：入射角正弦与折射角正弦之比，等于波在第一种媒质中的传播速度与波在第二种媒质中的传播速度之比。这一比值称为第二种媒质对第一种媒质的折射率。公式 (5-2) 就是波从一种均匀的各向同性媒质进入另一种均匀的各向同性媒质时的折射定律。

波的反射定律和折射定律也可以由另一个原理出发而推导出来。这一原理就是：“射线从一点传到另一点所循的路径是需要时间最少（或者，在某些特殊情况下，是最大的）的路径”。这个原理是费马在十七世纪时，作为几何光学的基本原理而提出的。

我們現在利用費馬原理來導出折射定律。設：在均匀的各向

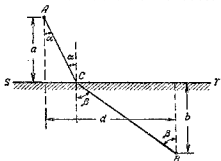


圖 24. 根據費馬原理來推導折射定律

同性媒質中的點  $A$  (圖 24) 激發起了波，波在這種媒質中的傳播速度為  $c_1$ 。此波傳播到位於另一種均勻的各向同性媒質中的  $B$  點，在這媒質中的波速為另一數值  $c_2$ 。媒質的界面為平面  $ST$ 。

$A$  與  $B$  到此平面的距離依次為  $a$  及  $b$ 。 $A$  和  $B$  在平面  $ST$  上的投影彼此距離為  $d$ 。

如果射線由  $A$  點出發，以入射角  $\alpha$  射入  $ST$  平面上的  $C$  點，然後射到  $B$  點，折射角為  $\beta$ ；則射線通過這一段路程  $ACB$  所需的時間應等於

$$t = \frac{AC}{c_1} + \frac{CB}{c_2} = \frac{a}{c_1 \cos \alpha} + \frac{b}{c_2 \cos \beta} \quad (5-3)$$

由圖 24 中可以清楚地看到，確定  $A$  點和  $B$  點位置的各個量，相互間有着下列關係：

$$a \tan \alpha + b \tan \beta = d \quad (5-4)$$

按照費馬原理，射線由  $A$  射入平面  $ST$  的入射角  $\alpha$  應該符合下述條件：在這一入射角下，時間  $t$  [式(5-3)] 為最小值（或者，在特殊情況下，為最大值）。當入射角  $\alpha$  的值能夠使

$$\frac{dt}{d\alpha} = 0$$

時，這一條件將可滿足。

將等式(5-3)對  $\alpha$  求微商，得：

$$\frac{a \sin \alpha}{c_1 \cos^2 \alpha} + \frac{b \sin \beta}{c_2 \cos^2 \beta} \cdot \frac{d\beta}{d\alpha} = 0 \quad (5-5)$$

將等式(5-4)對  $\alpha$  求微商，得：

$$\frac{a}{\cos^2 \alpha} + \frac{b}{\cos^2 \beta} \frac{d\beta}{d\alpha} = 0, \quad (5-6)$$

由(5-6)解出  $\frac{d\beta}{d\alpha}$ , 并将得到的值代入(5-5), 就得到:

$$\frac{a \sin \alpha}{c_1 \cos^2 \alpha} - \frac{b \sin \beta}{c_2 \cos^2 \beta} \cdot \frac{a \cos^2 \beta}{\cos^2 \alpha \cdot b} = 0,$$

再经过简单的化简, 就得出折射定律(5-2):

$$\frac{\sin \alpha}{\sin \beta} = \frac{c_1}{c_2} = n_a$$

### B. 波的直线传播

波在均匀的各向同性媒质中的直线传播, 也可以利用惠更斯原理来加以解释。这个解释是在十九世纪初期, 由菲涅耳以他自己的方法为基础所首先给出的。菲涅耳将波阵面分成许多“带”, 并计算由波阵面上的各个点(次级波的波源)所发出的次级波的周相、振幅和能量, 这些次级波在相互重叠时发生干涉。这种“分带法”不仅能够解释光波在均匀的各向同性媒质中直线传播, 而且使人有可能简单地解释各种各样的绕射现象。

设有从点源  $S$  向各个方向传播开来的一个球形波阵面  $PQ$ (图 25)。按照惠更斯原理, 这个波阵面上的每一个点, 都可以作为次级波的中心; 这些次级波彼此重叠, 只有在它们的球形波阵面的外包面上, 它们才相互加强, 而在空间中其它的点, 它们由于干涉而相互抵消。现在我们来考察所有这些次级波在点  $K$  彼此叠加的结果。首先我们将波阵面划分成许多所谓“菲涅耳”带: 以  $K$  为心, 并依次以  $d + \frac{\lambda}{2}, d + 2 \cdot \frac{\lambda}{2}, d + 3 \cdot \frac{\lambda}{2}, \dots$  等为半径在球形波阵面上划出一系列的圆, 这里  $d = KB$ 。这些圆将波阵面分割成一系列环形带状区域。由相邻的带上的相应各点传到点  $K$  的次级波, 周相将相差  $\pi$ , 这是因为这些点(次级波的中心)距点  $K$  的距离相差  $\frac{\lambda}{2}$ 。这里我们所说的相应的点是指那些相对于环带的边缘占

有同样位置的点。由半径最小的圆所范围起来的带(图25左边)称为第零个带，与其相鄰的称第一个带，再下去是第二个带，依此类推。可以証明，这些带的表面随着其排号的增大而减小，形成算术級数。因此可以認為：每一个带的面积等于与其相鄰的兩個帶的算术平均值。

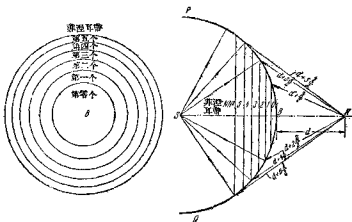


圖 25. 將球形波陣面分成布涅耳帶

每一个带上的每一个点，都有波傳至点  $K$ 。由任何一个带上的全部的点(次級波的中心)傳来的振动的振幅，与由其相鄰的带上的全部的点傳来的振动振幅不相等；因为，上面已經說过，帶的面积是随着帶的編号漸次減小的，而且点  $K$  距各个帶的距离也不相等，帶的編号愈大，这一距离就愈远。

由离开点  $K$  較近的帶上各点傳來的波，其能量与振幅要比較大些。而由离点  $K$  較远的帶，亦即由編号較高的帶上各点傳來的波，能量与振幅則比較小些。

我們來說明这点：如果在某一点有一个波源，则其能量將按球面平均分配給媒質中与其相联系的各个質点。随着时间的进行，波將愈傳愈远，球面愈来愈大，而單位面積上所得到的能量將愈来

愈小。若波源每單位時間發射出的能量為  $W$ <sup>①</sup>，則在與波源相距  $r_1$  遠的地方，1 厘米<sup>2</sup> 球面每單位時間所得到的能量將為  $E_1 = \frac{W}{4\pi r_1^2}$ ，而在距離  $r_2$  处，這一能量將為  $E_2 = \frac{W}{4\pi r_2^2}$ 。由此可見，單位面積在單位時間內所得到的能量，與該面積離開波源的距離平方成反比：

$$\frac{E_1}{E_2} = \frac{r_2^2}{r_1^2}。 \quad (5-7)$$

振動的能量與振幅的平方成正比，因而，

$$\frac{E_1}{E_2} = \frac{k a_1^2}{k a_2^2} = \frac{r_2^2}{r_1^2}, \quad \frac{a_1}{a_2} = \frac{r_2}{r_1}。 \quad (5-8)$$

也就是說：從波源向空間中傳播着的波的振幅，與波離開波源的距離成反比地減弱。從這裡可以知道，由次級波源傳到點  $K$  的波，在該點引起的振動振幅大小，要看該次級波源所在的那一個菲涅耳帶的排號而定；帶的排號愈大，它在  $K$  點引起的振動振幅就愈小。除此以外，帶的排號愈大，帶的表面的法綫與向點  $K$  傳播的波的傳播方向間的夾角就也愈大，因而，達到該點的波的振幅及能量也就愈小。

總之，由第  $n$  個菲涅耳帶上所有的點傳到點  $K$  的波，在該點引起的合振動的振幅，比由第  $n+1$  個帶上的點傳到  $K$  點的波在該點所引起的振動振幅要大些，而比起由第  $n-1$  個帶上的點傳來的波所引起的振動振幅要小一些。也就是說， $a_{n+1} > a_n > a_{n-1}$

由任何一個帶上所有的點傳到  $K$  點的波在該點所引起的振動的振幅，近似地說，可以認為等於由與其相鄰的兩個帶上的點傳來的波在該點所引起的振動振幅的算術平均值：

$$a_n = \frac{a_{n+1} + a_{n-1}}{2}。 \quad (5-9)$$

此外，因為由相鄰的帶上的點到點  $K$  的距離相差半個波長，故由相鄰二帶傳來的波在點  $K$  所引起的振動的周相將相差  $\pi$ 。

① “每單位時間發射出……”諸字為譯者所加，下同。

因此，要确定由波阵面  $PQ$  上全部的点传来的波在点  $K$  所引起的合振动的振幅，必须把由奇数带与偶数带传来的波所引起的振动的振幅，冠以不同的符号，然后求和。

这样，在点  $K$  的合振动的振幅将为

$$A = a_0 - a_1 + a_2 - a_3 + a_4 - a_5 + \dots$$

或者写成：

$$A = \frac{a_0}{2} + \frac{a_0}{2} - a_1 + \frac{a_2}{2} + \frac{a_2}{2} - a_3 + \frac{a_4}{2} + \frac{a_4}{2} - a_5 + \dots \quad (5-10)$$

然而根据公式(5-9)， $\frac{a_0}{2} - a_1 + \frac{a_2}{2} = 0$ ,  $\frac{a_2}{2} - a_3 + \frac{a_4}{2} = 0$ , 等等。

这就是說，所有(5-10)式右边的項，除第一項和末一項外，都被抵銷；而末一項的值与第一項比較起来，小得可以略而不計。

由此可見，如果波陣面的完整性不受到损坏，亦即如果在波的傳播途徑上沒有什麼障碍物的話，則在点  $K$  的合振动的振幅，將等于由第零个菲涅耳帶上各点傳到点  $K$  的波在此点所引起的振动振幅的一半，也就是說  $A = \frac{a_0}{2}$ 。由波陣面上其余各点來到  $K$  点的波相互抵銷。

分帶法按其本質來說是一種近似的方法，对于由次級波所形成的振动的周相，这一方法导至不正确的結論。从第零号帶的边缘附近各点傳到点  $K$  的波，与从其中心附近各点傳到点  $K$  的波，所經過的距离相差  $\frac{\lambda}{2}$ ，因而，它們所引起的振动周相相差  $\pi$ 。对于来自零号帶上所有各点的波所形成的合振动說来，周相將具有中間值，亦即，此合振动的周相將与由点  $B$  傳来的波（因而，或者说由点  $S$  傳来的直綫波也一样）所引起的振动周相相差  $\frac{\pi}{2}$ 。

这样，由于次級波相互干涉的結果，在点  $K$  看到的將只有从波陣面上非常小的一部分傳来的波，这一部分波陣面位于連接波源——点  $S$  与点  $K$  的直綫附近。这就是說，在均匀的各向同性媒

質中，波將直線傳播。在 § 5A 末曾提到過的與波的直線傳播不符的繞射現象，也可以利用波帶法加以解釋。

以上我們用來研究球面波的討論也可以應用於平面波（圖 26）。

### 「多普勒現象與多普勒原理」

布拉格的數學教授多普勒在 1842 年發現了一個原理，此原理後來被稱

為多普勒原理，可以敘述如下：如果波源或接收波的觀察者相對於傳播振動的媒質而運動，則觀察者所測出的頻率將不僅取決於波源所發出的振動的頻率，而且還取決於波源或觀察者運動速度的大小及方向。

現在我們就下述情況來研究這一現象的理論：設波源的速度  $v_1$  及觀察者的速度  $v_2$  的方向，都與振動的傳播方向在一條直線上。假若速度的方向彼此相迎着，我們將它算做正的。

如果觀察者與波源相對於傳播振動的媒質來說是靜止的，則顯然，觀察者所測得的振動頻率  $\nu'$  應與波源發出的振動頻率  $\nu$  相符，亦即  $\nu' = \nu$ 。

如果觀察者不動，而波源以速度  $v_1$  向著觀察者運動，則相鄰兩個以相同周相振動着的質點間的距離——亦即波長  $\lambda_1$ ，將比波源不動時的波長  $\lambda$  小了一個量  $A\lambda$ ，這一個量就是波源在一個周期中，亦即在時間  $T$  中所移動的距離。由此可見，

$$\lambda_1 = \lambda - A\lambda = \lambda - v_1 T = \lambda - \frac{v_1 \lambda}{c} = \lambda \left(1 - \frac{v_1}{c}\right),$$

蓋因

$$\lambda = cT.$$

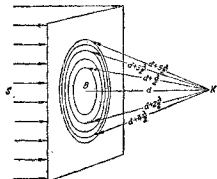


圖 26. 將平面波陣面分成非規律帶

其中  $c$  为振动在媒質中傳播的速度。

在此情况下，觀察者所測得的振动频率  $\nu_1$  应为：

$$\nu_1 = \frac{c}{\lambda_1} = \frac{c}{\lambda \left(1 - \frac{v_1}{c}\right)} = \frac{\nu}{1 - \frac{v_1}{c}} \quad (5-11)$$

此处  $\nu$  为波源所發出的振动的频率。

如果波源不动，而觀察者以速度  $v_2$  趋向于波源，则在 1 秒鐘內，越过觀察者的波，將不仅有波源在这一段时间中所發出的  $\nu$  个，还多出  $\Delta\nu$  个，这些波是位于觀察者在这一段时间所經過的路程上的。这样，觀察者在此情况下所測得的频率結果应为：

$$\nu_2 = \nu + \Delta\nu = \nu + \frac{v_2}{\lambda} = \nu + \frac{v_2 \nu}{c} = \nu \left(1 + \frac{v_2}{c}\right) \quad (5-12)$$

如果波源和觀察者同时对于媒質运动，其速度依次为  $v_1$  及  $v_2$ ，則觀察者所感覺到的以及所測得的频率將为：

$$\nu' = \nu \frac{1 + \frac{v_2}{c}}{1 - \frac{v_1}{c}}$$

用觀察者对波源的相对速度  $u = v_2 - v_1$  来代換  $v_1$  与  $v_2$  中的一个，就得到：

$$\nu' = \nu \left(1 + \frac{u}{c - v_1}\right) \text{ 或 } \nu' = \frac{\nu}{1 + \frac{u}{c + v_2}} \quad (5-13)$$

从这些公式中可以明显地看到，觀察者所測得的频率不仅有賴于觀察者与波源彼此的相对速度，而且还有賴于它們相对于傳波媒質的运动速度。

对于自然界中所遇到的各种各样的振动的觀察，已確証了多普勒現象的存在。振动频率在波源与觀察者相互趋近时的增大以及在二者相互离开时的减小，都和上面所导出的公式相符合。

## 第二章 声 学

### § 6. 声振动的分类和声波的传播速度

作机械振动的物体，在一般的情况下，将把振动传送给它周围的媒质（例如空气、水或者固态物质）的质点，然后振动又从这些质点传播开去，这样就形成声波。当振动传到我们的耳朵中时，如果振动的频率和能量在人耳所能感到的范围之内，我们就感觉到声音。媒质质点的机械振动也可以用各种专制的仪器来察知，这些仪器还可以觉察到人耳所不能听见的振动。因此，我们将把声振动了解为在媒质中传播着的机械振动，并认为媒质的质点与质点之间有弹性力相互连系着。

在本章中所讨论的，主要是人耳所能听到的振动。

我们将人耳所能听到的声音分为噪音和乐音两种，噪音是这样的声音，它含有非常多的各种各样的频率，在这些频率中选不出任何一个占绝对优势的。而或多或少明显表示出频率的声音，我们就称它为乐音。这种区分到某种程度上就成为有条件的，因为个别听觉发达的人能够在一般人认为是噪音的声音中区别出优势的音调。

声音的频率决定所谓音调的“高度”。频率愈大，音调就愈高。频率用“赫兹”作为单位，1赫兹就是每秒振动1次的频率。人耳所能听到的声音频率约为16~20000赫兹。这个数值只是中间数值，对于不同的人，可以听到的频率范围稍有不同。

频率大于20000赫兹的声振动，称为超声振动。频率低于16

赫茲的声振动，称为低声振动。

在人耳所能听到的频率范围内的声波，不论在固态、液态或气态媒质中的传播速度都与频率无关。

从实际的观点看来，最重要的是关于声波在气体，特别是空气和液体中传播的问题。这两种媒质只能够传递纵振动。

在 § 4, B 中，我們曾經导出了确定纵振动在固体棒中传播速度的公式 (4-3)。这个公式也可以用来计算声音在液体和气体中的传播速度，但需要用媒质的各向压缩弹性模量  $e$  来代替公式中的单向压缩弹性模量  $E$ 。这样，代替公式 (4-3)，我們得到：

$$c = \sqrt{\frac{e}{\rho}}. \quad (6-1)$$

各向压缩弹性模量就是压缩系数  $k$  的倒数。从分子物理学教科书中知道，压缩系数由下式所定义：

$$k = -\frac{dv}{dp} \frac{1}{v}. \quad (6-2)$$

对于气体来说，其体积和压强在过程为等温过程（即温度不变）时的关系由玻意耳-马略特定律来确定：

$$pv = \text{恒量}. \quad (6-3)$$

微分这一等式，就得到：

$$p \cdot dv + dp \cdot v = 0,$$

由此得：

$$-\frac{dv}{dp} \frac{1}{v} = \frac{1}{p} = k, \quad (6-4)$$

弹性模量  $e$  等于：

$$e = \frac{1}{k} = p. \quad (6-5)$$

由此可见，按照 (6-1) 式，声音在空气中的传播速度由下列公式确定：

$$c = \sqrt{\frac{e}{\rho}} = \sqrt{\frac{p}{\rho}}. \quad (6-6)$$

将这个公式叫做牛顿公式，将标准情况下的空气数据代入此式，就求得声音在空气中的速度为：

$$c = \sqrt{\frac{1.013 \times 10^6 \text{ 达因} \cdot \text{厘米}^3}{0.0018 \text{ 克} \cdot \text{厘米}^2}} = \\ = \sqrt{7.8 \times 10^8 \frac{\text{厘米}^2}{\text{秒}^2}} \approx 2.8 \times 10^4 \frac{\text{厘米}}{\text{秒}} = 280 \frac{\text{米}}{\text{秒}}。$$

实验所测得的声速数值为  $c = 331 \text{ 米}/\text{秒}$ 。如何来解释实验与理论的这个差别呢？

从分子物理学上知道，气体在迅速压缩时就要变热，而在迅速膨胀时就要变冷。因为当声音在空气中传播的时候，压缩过程和膨胀过程交替变化得非常快，所以空气中压缩区域和膨胀区域的温度来不及平衡。由此可见，这一过程不是等温过程而是绝热过程。显然，在这种情况下，压强和体积间的关系应该由泊松定律来确定：

$$pv^x = \text{恒量}, \quad (6-7)$$

此处  $x = 1.41$ ，为空气的定压热容量与定容热容量的比值。这里我们将空气看做是由 99% 的双原子分子组成的。

微分等式 (6-7)，我们得到：

$$pxv^{x-1}dv + v^x dp = 0. \quad (6-8)$$

约去  $v^{x-1}$ ，再变换一下，就得到过程为绝热过程时的压缩系数为

$$-\frac{dv}{dp} \cdot \frac{1}{v} = -\frac{1}{px} = k.$$

因此，当过程为绝热时，弹性模量应为

$$e = \frac{1}{k} = px, \quad (6-9)$$

故声音的速度不是由 (6-6) 式确定，而是由下式确定：

$$c = \sqrt{\frac{px}{\rho}}. \quad (6-10)$$

公式(6-10)是由拉普拉斯引入的。根据这一公式来计算标准情况下声音在空气中的传播速度，得到的数值为

$$c = \sqrt{\frac{1.013 \times 10^6 \times 1.41}{0.0013}} \frac{\text{厘米}^2}{\text{秒}^2} = 332 \frac{\text{米}}{\text{秒}}.$$

这个数值和实验很好的符合。这样，对于处在标准情况下的干燥空气来说，在人耳所能听到的频率范围内，声速的数值为332米/秒。对于频率低于1赫兹的低声波来说，传播速度将要小些，因为这时空气的膨胀和压缩将为多方过程，即遵守方程  $p v^m = \text{恒量}$  的过程，这里  $1 < m < x$ 。频率愈低，压缩和膨胀的交替变化就愈慢，多方指数  $m$  的值也就愈小。

对于高频率的超声波来说，波长将相当小，以至于相邻的密集和稀疏区域的温度能够趋向平衡。这里，最主要的原因就是这些区域间的距离太近。在这种情况下，超声波的传播速度也将比人耳所能听到的声波速度为小；因为这时空气的压缩和膨胀过程也是多方过程，而不是绝热过程。

当压强不变而温度升高时，声速的数值增加，根据气体密度与温度间的关系，声速的数值应等于

$$\begin{aligned} c_t &= \sqrt{\frac{px}{\rho_t}} = \sqrt{\frac{\frac{px}{\rho_0}}{1 + \frac{1}{273} t}} = \sqrt{\frac{px}{\rho_0} \left(1 + \frac{1}{273} t\right)} = \\ &= c_0 \sqrt{1 + \frac{1}{273} t} = c_0 \sqrt{\frac{T}{273}}, \end{aligned} \quad (6-11)$$

这里  $c_t$  代表声速， $\rho_t$  是空气在温度为  $t^\circ\text{C}$  时的密度， $\rho_0$  是空气在  $0^\circ\text{C}$  时的密度， $T$  为空气的绝对温度 ( $T = t + 273$ )。

声速与密度的平方根  $\sqrt{\rho}$  成反比，因此，如果在空气中混有较轻的气体，则声速就要增加。最常见到的是空气中含有水蒸汽，计算指出，如果空气中的蒸汽压强增加1毫米汞高，声速的速度将增加0.07米/秒。

压强实际上对于声速没有影响。因为压强增加时，公式(6-10)中根号内的分数的分子分母都增加同样的倍数。

声波在水中的传播速度也可以由公式(6-1)来决定。水的各向压缩模量(压缩系数的倒数)等于：

$$\epsilon = \frac{1}{4.8 \times 10^{-11} \frac{\text{厘米}^2}{\text{达因}}} = 2.09 \times 10^{10} \frac{\text{达因}}{\text{厘米}^2}$$

将这个数值代入公式(6-1)，并取水的密度等于1克/厘米<sup>3</sup>，就得到声速在水中的速度为

$$c = \sqrt{\frac{2.09 \times 10^{10} \frac{\text{达因}}{\text{厘米}^2}}{1 \text{克}/\text{厘米}^3}} = 1.44 \times 10^5 \frac{\text{厘米}}{\text{秒}} = 1440 \frac{\text{米}}{\text{秒}}$$

这个结果与实验相符合。

声音的速度在实验上可以用不同的方法测定。最方便的方法之一是在一个玻璃管中产生声波的驻波，根据驻波波节间的距离来决定声速。在玻璃管中充以被试验的气体，并装入一些石松子粉或别的粉末，管子的一端用塞子塞起来，另一端用一个活塞堵住，这个活塞可以被迫以预定的频率振动。这时如果逐渐移动塞子，就可以找到一个位置，当塞子移到这个位置上时，管内就形成驻波，在驻波的波节处有粉末堆聚起来。测量出相邻两个波节间的距离(这个距离等于波长的一半)，再根据已知的活塞振动频率，就可以计算出声音的速度。这个方法也可以用来测量声音在液体中的速度；在此情况下，在玻璃管中放入金属碎屑来代替石松子粉。

### §7. 声强和音色

在媒质中某点处，每秒钟通过垂直于声波传播方向的每平方厘米面积的(媒质质点的)振动能，称为该点处的声强。声强以尔格/厘米<sup>2</sup>·秒为单位。声强的数值等于声波的传播速度与每1

厘米<sup>3</sup>媒質內的振动能——即能量体密度的乘积。能量的体密度可以根据公式(1-18)确定，只要把公式中質点質量 $m$ 换成單位体积的媒質的質量 $\rho$ (即媒質的密度)，并注意到 $\frac{2\pi a}{T} = u_n$ 是媒質質点振动的最大速度。这样，声强就等于：

$$J = \frac{\rho u_n^2 c}{2}。 \quad (7-1)$$

常常应用有效声压 $P_0$ 来代替声强。有效声压就是由于質点的声振动在媒質中所造成的附加压强的均方根值。因为当声波在媒質中傳播时，在媒質中的任一点，密集和稀疏是周期性地相互交替的，其交变的頻率等于声音的頻率，所以在这些点，压强也以同样的頻率在 $p + \Delta p_n$ 和 $p - \Delta p_n$ 之間作周期性地改变。量 $\Delta p_n$ 为交变着的声压 $\Delta p$ 的振幅。声压 $\Delta p$ 在一个周期内的均方根值就叫做有效声压。

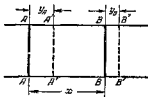


圖 27. 推导有效声压与声强  
关系式所用的圖

現在我們就平面声波沿着一个截面均匀的管子在空气中傳播的情况，来导出可以將有效声压与声强連系起来的公式。

我們來考察当声波尚未傳到时位于截面 $AA$ 和 $BB$ 处的質点的振动， $AA$ 与 $BB$ 二截面間的距离为 $x$ (圖 27)，它和声波的波長 $\lambda$ 比較起来要小得多。如果声波傳到后，在截面 $AA$ 处質点的振动方程为：

$$y_A = a \sin 2\pi \frac{t}{T}, \quad (7-2)$$

則根据(4-6)式，在截面 $BB$ 处質点的振动方程將为：

$$y_B = a \sin \left( 2\pi \frac{t}{T} - 2\pi \frac{x}{\lambda} \right)。 \quad (7-3)$$

因为在时刻 $t$ ，原来在 $AA$ 处的質点移到了 $A'A'$ ，原来在 $BB$ 处的

質點移到了  $B'B'$ , 可見原長為  $x$  的空氣柱的二截面間的距離, 將按照下列方程周期性地變化:

$$\begin{aligned}x + y_B - y_A &= x + a \sin\left(2\pi \frac{t}{T} - 2\pi \frac{x}{\lambda}\right) - a \sin 2\pi \frac{t}{T} = \\&= x + a \sin 2\pi \frac{t}{T} \cos 2\pi \frac{x}{\lambda} - a \cos 2\pi \frac{t}{T} \sin 2\pi \frac{x}{\lambda} - \\&\quad - a \sin 2\pi \frac{t}{T},\end{aligned}\quad (7-4)$$

這就是說, 空氣將周期性地壓縮和膨脹, 其壓強比起聲波尚未傳到時管中空氣原有的壓強來說, 也將周期性地增加和減小。

因為長度  $x$  比波長  $\lambda$  小得多, 所以可以近似地認為  $\cos 2\pi \frac{x}{\lambda} = 1$ ,  $\sin 2\pi \frac{x}{\lambda} = 2\pi \frac{x}{\lambda}$ , 這樣方程 (7-4) 就為下式所代替:

$$x + y_B - y_A = x - \frac{2\pi a x}{\lambda} \cos 2\pi \frac{t}{T}.\quad (7-5)$$

由此可見, 原位於  $AA$  與  $BB$  間的空氣柱長度的相對變化應為:

$$\frac{y_B - y_A}{x} = -\frac{2\pi a}{\lambda} \cos 2\pi \frac{t}{T}.$$

又因為管的截面到處一樣, 所以這一式子也就等於空氣柱的體積的相對變化, 亦即:

$$\frac{\Delta v}{v} = -\frac{2\pi a}{\lambda} \cos 2\pi \frac{t}{T}.\quad (7-6)$$

質點振動的速度由下式決定:

$$u = \frac{dy}{dt} = \frac{2\pi a}{T} \cos 2\pi \frac{t}{T}, \text{ 或 } u = u_m \cos 2\pi \frac{t}{T},\quad (7-7)$$

此時  $u_m$  是速度的最大值, 這時  $\cos 2\pi \frac{t}{T} = 1$ 。以  $\lambda = cT$  代入 (7-6) 式 (這裡  $c$  是聲波的傳播速度), 我們得到:

$$\frac{\Delta v}{v} = -\frac{u_m}{c} \cos 2\pi \frac{t}{T}.\quad (7-8)$$

另一方面, 聲波在氣體中傳播時, 氣體體積的相對變化也可以從 (6-8) 式決定, 將該式除以  $v^{r-1}$ , 再變換一下, 就得到:

$$\frac{dv}{v} = -\frac{dp}{px} \quad (7-9)$$

再根据(6-10)式,以 $c^2\rho$ 来代替此式中的 $px$ ,将所得到的式子和(7-8)式比较一下,由于这两个式子都是表示气体体积的相对变化的,故二式的右端应该相等:

$$-\frac{u_x \cos 2\pi \frac{t}{T}}{c} = -\frac{dp}{c^2\rho}, \quad (7-10)$$

由此就得到决定声压的公式:

$$dp = c\rho u_x \cos 2\pi \frac{t}{T}. \quad (7-11)$$

这就是在气体中有声振动传播时所产生的变变的附加压强。前面说过,这个量在一个周期内的均方根值就是有效声压。要想求出有效声压,必须将声压的平方在一个周期的时间内求积分,再以周期 $T$ 除所得结果,然后再开方。这样,

$$\begin{aligned} p_s^2 &= \frac{\int_0^T c^2 \rho^2 u_x^2 \cos^2 2\pi \frac{t}{T} dt}{T} = c^2 \rho^2 u_x^2 \frac{\int_0^T \cos^2 2\pi \frac{t}{T} dt}{T} = \\ &= c^2 \rho^2 u_x^2 \frac{\int_0^T (1 + \cos 4\pi \frac{t}{T}) dt}{2T} = \\ &= c^2 \rho^2 u_x^2 \left[ \frac{\int_0^T dt}{2T} + \frac{\int_0^T \cos 4\pi \frac{t}{T} dt}{2T} \right] = \frac{c^2 \rho^2 u_x^2}{2}, \end{aligned} \quad (7-12)$$

最后一步是因为括号内的第二个积分等于零。

按照(7-1)式将声强 $I$ 代入上式,就得到有效声压与声强的关系式如下:

$$p_s^2 = \rho c I, \quad (7-13)$$

其中 $c$ 是声速, $\rho$ 是空气密度, $I$ 是声强。由此,

$$p_s = \sqrt{\rho c} \sqrt{I}. \quad (7-14)$$

人耳对于声波的听觉,不仅如上节所讲过的,在频率方面有一

定的范围，而且在声强方面也有一定的限制。只有声强不小于某一所谓“可闻阈”的声音才能为人耳所听到。可闻阈对于不同的频率各不相同，对于不同的人也略有不同。当频率为 2500 赫兹时，亦即在人耳最敏感的频率区域内，可闻阈的数量级为  $10^{-8} \sim 10^{-9}$  尔格/厘米<sup>2</sup>·秒。当频率为 16 赫兹和 16000 赫兹时，可闻阈显著增大，约为  $10^{-3}$  尔格/厘米<sup>2</sup>·秒。对于疲倦的耳朵，可闻阈比较大一些。对于年纪大的人，可闻阈也要增加，较高的音调尤其显著。

过强的声音在人耳中引起“声音触觉”（压力的感觉）和痛觉。开始引起压力感觉和痛觉的声音强度称为痛觉阈。痛觉阈也像可闻阈一样，与频率有关。对于 500~700 赫兹的频率，痛觉阈的数量级约为  $10^6 \sim 10^9$  尔格/厘米<sup>2</sup>·秒。

在图 28 上画出了表示可闻阈与痛觉阈量值的曲线。纵坐标以对数比例尺表示声强和有效声压，声强的单位为尔格/厘米<sup>2</sup>·秒，声压的单位为达因/厘米<sup>2</sup>（巴）；横坐标表示频率的赫兹数，也是对数比例尺。由图中可以明显地看到对于人耳最敏感的频率来说，人耳所能听到的声音，强度可以相差  $10^{13}$  倍。

为比较声音的强度，常常利用这样一个数：这个数正比于二声

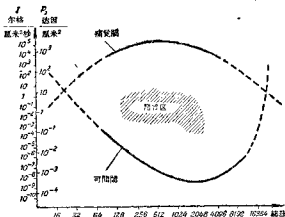


图 28. 人耳所能听到的声强范围

强的常用对数之差，或者換句話說，正比于二声强的比值的对数。这一个数称为二声音的强度級差或声强級差。这样構成的数的标度的單位采用分貝尔。如果有两个声音，声强各为  $I_1$  和  $I_2$ ，而

$$L = 10 \lg \frac{I_2}{I_1}, \quad (7-15)$$

则此二声音的声强級差就是  $L$  分貝尔。此式中  $I_1$  和  $I_2$  可以用任意的單位表示，但二者的單位必須一样。由式(7-15)可知，如果一个声音的声强是另一个声音的  $\sqrt[10]{10} = 1.26$  倍，则二者的声强級差就等于 1 分貝尔。如果利用有效声压来标志声强时，声强級差(以分貝尔为單位)就由下式所确定：

$$L = 20 \lg \frac{P_{eq}}{P_{eq1}}. \quad (7-16)$$

这是因为，根据公式(7-13)，声强是与其有效声压的平方成正比的。

在可聞闊上的声音，声强級被取作零。如果某一声音的声强为  $I$ ，而

$$L = 10 \lg \frac{I}{I_0}, \quad (7-17)$$

则此声音的声强級就是  $L$  分貝尔，式中  $I_0$  表示可聞闊上的声强。

由声强所决定的主观感覺称为声音的响度。对于频率为 1000 赫茲的声音來說，响度可以用其分貝尔数來估定。对于其它频率的声音，响度的主观估定与具有同样强度而频率为 1000 赫茲的声音不相符合。例如，频率为 100 赫茲、声强級超过可聞闊 65 分貝尔的声音，与频率为 1000 赫茲、声强級为 100 分貝尔的声音，听起来响度相同。因此，对于不同频率的声音响度的主观估定，采用特殊的單位——访。倘若一个声音听起来与频率为 1000 赫茲、声强級为  $N$  分貝尔的声音具有同样的响度，其响度就等于  $N$  访。由此可見，响度以访來估量与以分貝尔來估量，所得的結果只有对于频率为 1000 赫茲的声音才相符合。

声强可以用不同的方法测量出来。

我們現在來討論一種方法，這種方法可以直接受力學單位測量出聲壓。此方法的基本原理是根據下面所說的一種現象。

設想有液流（圖 29）在一個平板  $MN$  的周圍流過，這個平板可以繞垂直於圖平面的軸  $O$  翻轉。當液流趨近於平板的上部時，液流的速度減小，而在液流繞到平板的右側以後，液流的速度重又增加。因此，在圖中點  $A$  处，來自平板左邊的壓力將大於來自右邊的壓力。在板的下部（點  $B$  附近），情形恰好相反：液流在接近於平板時，其速度增加，液體中壓力降低，而在繞到平板的右側之後，流速重新減小，壓力則重新增大。液體中壓力與液體流速的這種關係由柏努利方程決定；此方程為  $p + \frac{\rho v^2}{2} = \text{常量}$ ，其中  $p$  為壓強， $v$  為液流速度， $\rho$  為液體密度。

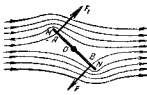


圖 29. 液流中的平板  
所受到的旋轉矩

這樣一來，在平板的上部，平板左側所受的壓力將比右側為大；而在平板的下部，則恰恰相反。結果就有力  $F$  與  $F'$  作用在平板上，構成一個旋轉矩，此旋轉矩力圖使平板轉到與液流垂直的位置。如果液流的流動方向變為相反方向，則由圖中顯然可見，旋轉矩的方向仍與以前一樣。

氣體的流動以及聲波在媒質中傳播時媒質質點的動蕩，也會對平板發生同樣的作用。在後一種情況下，媒質中將產生交變的氣流：半個周期內，氣體向一個方向流動，另半個周期，氣體向相反的方向流動。在此情況下，如我們已經知道的，作用於平板上的旋轉矩的方向並不改變。

上述現象就是利用瑞利圓盤來測量聲壓的實驗室法的基礎。

在空气中用這種方法來測定聲壓時所用的儀器，主要部分是一個很薄的雲母小圓盤，圓盤的直徑應顯著地小於聲波的波長，通

常其大小約为 7~8 毫米。此圓盤用細石英絲悬挂在一個可以轉动的旋鈕上。在圓盤的中心處粘有一个很小的鏡子。用光綫照在鏡子上，反射后光綫射到安放在离圓盤一定距离处的一个标尺上，形成一个光斑。在沒有声音之前，先旋动旋鈕使圓盤轉到与將來声波傳來的方向夾  $45^\circ$  角的位置上。声波傳到圓盤处以后，圓盤將扭轉一个角度，当圓盤重新靜止时，由声压所产生的旋转矩恰与石英絲的扭力矩相平衡。圓盤轉过的角度可以根据光斑在标度的位移确定；知道了圓盤轉过的角度，就可以計算出声压和声强。

声强还可以根据声音的辐射压强計算出来。当声流落到物体的表面上时，就給与表面一个恒定的压力。这个压力也叫做声音的辐射压力。此压力的强度与声强之間有着下列关系：

$$P = \frac{I(\gamma+1)}{c}。 \quad (7-18)$$

这个公式只适用于表面不吸收声波的情况。

比較(7-14)式与(7-18)式就可以明显地看到，声音的辐射压强显著地小于有效声压。因此，根据声音的辐射压强来确定声音的强度，只有在声强很大时才可能。

声音的辐射压强是由 П. Н. 列別捷夫的学生 В. Я. 阿特別尔格首先从實驗上發現的。阿特別尔格仪器称为声辐射計 (звуковой радиометр)，它的主要部分是悬在石英絲上的一根很輕的小杆，杆的一端附有一个活塞，另一端裝着一个与活塞平衡的小平衡錘。活塞可以沿着一个通道移动，在通道的壁和活塞的邊緣之間有很小的空隙。在小杆上裝一个小镜子来测量小杆轉過的角度，像前述的瑞利圓盤仪器一样。在声音的辐射压力作用之下，活塞沿着声波傳來的方向移动，并扭轉悬線。根据小杆扭轉的角度，就可以計算出声音的辐射压强和声强。

在技术上測量声压时，通常利用各种形式的微音器，微音器与放大系統相連接，和無綫电技术中所用的一样。声波傳到微音器

时，就引起微音器的薄膜振动，此振动与声普在其中传播的空气的质点的振动相一致。薄膜的振动引起交变的电流，然后再将此电流放大到一定程度，使得可以利用电学测量仪器来进行测量。

最简单的微音器是炭粉微音器，其中有一层小炭粉，薄膜就轻轻地压在这一层炭粉上。将这个微音器接在电路中，电路中有直流电流流过电阻 $r$ 。当薄膜振动时，它对于炭粉的压力随时改变，这就引起炭粉层的电阻发生变化，因而也就改变了电路中的电流和电阻 $r$ 上的电压降。

在动线圈式微音器中，振动薄膜和一个线圈连在一起。当薄膜振动时，线圈随着它在一稳定的磁场中运动，这时在线圈中感应出交变电压，再将此电压引向放大器。

还有一种电容器微音器，它的主要部分是一个电容器，这个电容器的一个极板就是振动薄膜。将电容器接到具有稳定电压和电阻 $r$ 的电路中。薄膜振动时，电容器的电容随时变化，在电路中就引起了由于电容器电荷改变而产生的交变电流。此电流在电阻 $r$ 两端形成交变电压，再由放大系统进行放大。

除音调和声强以外，表征声音性质的量还有音色。根据音色，可以区分具有同样音调和声强，但是由不同声源所发出的声音，例如由不同乐器所发出的声音。除开极少的例外，每一个声源在发声时，都不仅发出基本频率的声波，而且发出频率若干倍于基频的声波。这些伴随着基本音调的附加音调称为泛音。因此，在绝大多数的情况下，从各种声源所发出的声振动，并不是谐振动，而是时间的复杂的周期函数。这一个函数可以分解为若干谐振动，其数目可能非常多。相应于声音的基频的谐振动，称为基音（基谐音）；其余的谐振动，叫做高次谐音。声音的音色取决于高次谐音的数目以及它们的振幅与基音振幅之比，但与高次谐音的周相无关。

利用一套亥姆霍兹共鸣器，可以直接将复杂的声音加以分析。每一个亥姆霍兹共鸣器是一个球形的容器，上面有两个开口，一大

一小。使用时大口朝着声源，小口靠近耳孔。共鸣器中的空气只与某一定高度的音调共鸣；此音调究竟多高，取决于共鸣器的容积。如果在声源所发出的复杂的声音中有这一个音调，则可以听到共鸣器中有响声，此响声在声源停止发音后还持续一段时间。如果有一套共鸣器，就可以确定伴随着基音的谐音。

声音分析的较现代化的方法是对扩音器的输出作电压的谱分析。此电压按其特征来说，应和作用于微音器薄膜的声音准确地相对应。为了分析此电压，应将它输入示波器，利用这种示波器可以得到波形图——描绘电压随时间变化的曲线。图30就是波形图的一个例子。这个波形图是用带有照像记录装置的迴线示波器得到的。

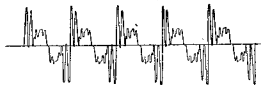


图30. 复声波形图举例

迴线示波器的主要部分是一个由导线P构成的振动器(图31)，导线P用磷铜做成，绕过小滑轮Q，两端固定在A和B两个端

钮上。此导线所构成的迴线平面，和永久磁铁的磁极NS的磁场和平行。与小滑轮相连接着的弹簧G把迴线拉紧。当和所观察的电压成正比的电流通过迴线的时候，迴线就随着电压的振动面做相似的振动。这时附在迴线上的小镜Z也做同样的振动。用电弧发出的光照射在小镜上面，反射

器的振动物 图31展示了迴线示波器的振动器部分。它显示了一个由导线P构成的闭合迴线，导线绕过一个小滑轮Q，两端固定在A和B两个端钮上。导线P位于两个永久磁铁N和S之间，它们的极性标注为N上S下。导线P与磁铁的磁场平行。一个弹簧G与滑轮Q相连，保持导线张紧。导线上附有一个小镜子Z。当导线P中通入与观察到的电压成正比的电流时，导线会随着电压的变化而振动，从而带动镜子Z也进行振动。用电弧发出的光照射在镜子Z上，反射后的光射到一个带有照像胶卷的转动圆筒上，圆筒转动的方向与光斑在它上面所形成的光斑移动方向相垂直（即圆筒的轴平行于光斑移动的方向——译者）。这时，光斑就在胶卷上描绘出波形图——所观察的电压随着时间变化的曲线。

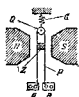


图31. 回线示波器的振动物

亦即作用于微音器薄膜上的声振动的时间曲线。

用谱分析的办法来研究所得到的波形图，将分析的结果在坐标图上画成图解。沿着横轴画上频率的标度，沿着纵轴画上谐音的振幅。取基音（一次谐音）的振幅作为1个单位。这样，就得到所研究的声音的声谱。

在图32上表示出钢琴所发的、音调由128赫兹的频率所确定的声音的声谱。由图中可以明显地看到，第2个和第6个谐音在声谱中最突出，而第15个与第16个谐音完全显不出来。

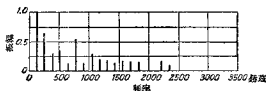


图32. 频率128赫兹音调的钢琴音的声谱

图33表示小提琴的声音（频率396赫兹的音调）的声谱，图34表示喇叭所发声音（频率275赫兹的音调）的声谱。由图中可以看到，在小提琴的声谱中，仅仅显露出与基音相近的几个谐音，它们的振幅依次递减。在喇叭的声谱中，没有第2个和第4个谐音，

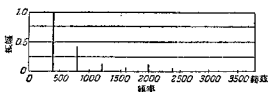


图33 小提琴所发声音(频率396赫兹)的声谱

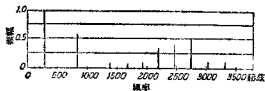


图34 喇叭的声谱(频率275赫兹的声音)

而第3个、第8个、第9个和第10个谐音比较突出。以上所说的声谱都是线型声谱。

噪音通常给出这样的声谱：它上面的某些区域存在着的具有不同频率的音调数目非常之多，致使这些部分的声谱类似于连续光谱，因而称之为连续声谱。

在下一章中我们将要讲到电子示波器的构造和工作原理，这种示波器也可以用来研究交变的电压，因而也可以用来研究声振动。

### § 8. 声音在大气中及在房屋内的传播、超声

由点声源所辐射出的声波（能量），只有当媒质是均匀的各向同性媒质，并且与声源相对静止时，才均匀地向着各个方向传播。如果声波不为媒质所吸收而减弱，则某一地方的声强将和该处离开声源的距离平方成反比，因为被辐射出的能量是均匀地分布在球形的波阵面上的。若声源的功率为  $P$ ，在距离  $R$  处的声强将为：

$$I = \frac{P}{4\pi R^2}。 \quad (8-1)$$

然而声波在大气中的传播条件差不多总是使得这一关系不能适用。在地球表面上到处都有着树木、山岳、建筑物以及其它的不均匀性，声波在遇到这些东西时，便会发生反射以及部分地或全部地被吸收。空气的冷热不均也造成这种不均匀性，这种冷热不均还引起对流，因而在空气中形成局部的密集和稀疏区域，这就加大了声波的吸收。除此以外，风也有影响，沿着风的方向，声波的速度增大，而逆着风的方向，声波的速度减小。风还促成旋风的生成，旋风也使得声波的吸收增大。

大气高处的气层通常具有较低的温度，声波传到那里时，就发生折射而向上弯曲。在寒冷的日子里，尤其是在夜里，大气上层的

温度会高于地面，有时，在夏季日出之前，也有这种情形。在此情况下，声波的射线将向下弯曲。这时在离开声源很远的地方，还能听到声音。

也可能有这样的情况：大气下层的空气温度随高度增加而减低，而在较高的气层中，空气的温度又随高度的增加而升高。在这样的条件下，声波的射线开始时向上弯曲，而后发生全反射现象，又向下射回地面。这时，在离开声源不太远的地方，会形成静寂地带，而在更远的地方，却又能听到声音。

如果在大气中形成了大规模的旋风（通常发生在炎热的日子里，暴雨之前——由于强烈的对流所致），则声波将在旋风中反射和折射，因而被大气强烈地吸收和散射。在这种情况下，声波只能传到不远的地方。

在声波的传播中，绕射现象起着重要的作用。这种现象将在光学中详细的研究；目前我们只指出，绕射现象就是波能绕过障碍物，只要障碍物的线度比波长为小或者和波长有同样的数量级。因为人耳所能听到的声波波长约从1.5厘米到20米，所以声音在任何时候也不会产生界限分明的影子（即听不到声音的地方——译者）。设在声源和听者之间有着——例如，线度20~25米的建筑物，由于绕射作用，即使附近不存在反射表面，声波也能够越过建筑物。

当声波在关闭的房屋中传播时，墙壁和天花板对声音的反射起着重大的影响。人耳对声音的印象可以保持0.07~0.1秒鐘的时间。因此，如果反射回来的声音到达人耳的时刻，比直接传来的声音所晚的时间较上述时间为短，则反射声音将加强原来的声音。如果反射声音的滞后大于这一段时间，则将听到回声。这时由反射声音所产生的印象可能与后来的声音重叠起来，在此情况下，音乐或演讲者的语言将受到歪曲而很难听清楚。为了消除回声，在大礼堂等建筑物中，用吸收声音很强烈的物质将反射表面复盖起

来，如利用柔軟的呢、棉織品等。

总的說來，在一个关闭的房屋中，声音要在牆壁和天花板上反復多次反射，因而它不是馬上消失，而是逐漸消失的。这种在声源停止發声以后殘余下来的声音，称为交混回响。交混回响延續的时间可以作为交混回响的量度，延續時間是指声音的强度减小到声源剛停止發声时音强的百万分之一所需的时间。交混回响延續时间过長的“洞声的”礼堂，和交混回响过短的“噏的”礼堂，从声学的观点看來都是有缺点的。最合适的交混回响時間，对于講演來說，应为 0.7 秒；对于音乐演奏來說，应为 1.8 秒。在理論上，可以根据房屋的大小及其內表面的吸音系数，計算出交混回响的延續时间。

吸音系数就是表面所吸收的声能与落在表面上的声能的比值，它决定物質的隔音性質。吸音系数的大小与声振动的頻率有关，例如，由草和棉花制成的隔音物質，吸音系数由对于頻率 250 赫茲的 0.09，变到对于頻率 1200 赫茲的 0.92。

吸音系数还依赖于吸音物質、表面状态，以及填塞在隔音物質層周圍的媒質。多孔物質和輕度损坏的物質，以及各种各样的柔軟物質，强烈地吸收声音。光滑坚硬的表面，对声音的吸收很微弱。厚度 2.5 厘米的氈毯，悬在离牆 8 厘米处，当頻率为 512 赫茲时，可以吸收声能的 78%；而同样的氈毯，如果直接附在牆壁上，则只能吸收声能的 40%。塗抹在磚上的灰泥，吸音系数为 2.5%，而塗在木料、輕度损坏的物質上的灰泥，吸音系数則为 3.4%。

在气体中，特别是在空气中，声音的吸收主要是由于內摩擦或粘滯性，在很小的程度上是由于内部热傳导。無論那一种原因，归根到底都是分子的有秩序的振动运动轉变为分子無秩序的热运动。这时声音的能量轉变为分子动能，亦即升高了媒質的温度。隔音物質吸收声音也是由于同样的原因。在多孔物質中，起主要作用的是空隙中所藏的空气对声音的吸收。苏联發明的新的建筑

材料——泡沫水泥之所以具有良好的隔音性質，就是这个緣故。

在結束這一章的時候，我們稍微講一下現代已廣泛應用在技術上的超聲。它的應用範圍正與日俱增。超聲波可以用来測量海洋的深度。超聲波回聲探測器比起聲波回聲探測器來具有顯著的優點。利用超聲波發射器，可以容易地獲得較大的發射功率，并且可以獲得方向性較強的波束，因為超聲波的波長很短，繞射現象在其傳播中不起多大的作用。

除此以外，艦船上機器在工作時所發的聲音的有害影響也可以消除，它不會影響到超聲波回聲探測器的指數。

在 C. H. 索科洛夫發明了超聲波探傷法以後，超聲波得到了最重要的應用。利用超聲波探傷器，可以發現金屬鑄件和機器零件內部的缺陷，如裂縫、氣孔、斑痕等。

超聲波還用來混和不相混合的液體，例如水和油，製造乳劑。

為了獲得超聲波，通常都利用所謂逆壓電效應。逆壓電效應就是，某些晶體在放入電場中時，會產生機械形變。如果用一定的方式從石英晶體或酒石酸鉀鈉晶體上切下一塊平板，並在其上加以交變電壓，則平板的綫度將以與電壓相同的頻率周期性地改變，亦即，平板將不停地一伸一縮。當交變電壓的頻率與平板的固有振動頻率或其高次諧音的頻率相符合時，二者之間發生共振，平板伸縮的振幅將非常顯著。在此情況下，與平板相接觸的媒質中便激發起超聲波，其頻率和加在平板上的交變電壓頻率相符合，而在厚的平板中形成駐波。和預定的交變電壓頻率共振的平板厚度的選擇，與這個頻率有關，並依超聲波在平板材料中的傳播速度和在平板中所形成的駐波數目而定。

超聲波探傷的方法之一如下所述。

將交變電壓加在壓電石英振動器上，當振動器直接與要研究的零件接觸，或者通過液體（水銀或油）與零件接觸（這樣接觸得更好）時，就有超聲波射到這個零件中。振動器以相等的時間間隔向

零件内发射很短的超声波脉冲。脉冲的长短和脉冲之间的时间间隔由所研究的物体的尺寸和所使用的超声的频率来确定。由振动源——所谓探头(*щуп*)发出的超声振动，穿过所研究的物体，从物体对面的表面上或者物体内部的缺陷上反射回来，到达用来接收振动的第二个探头，接收到的振动被转变为电振荡而导至示波器。发射的振动也直接导到示波器上。根据波形图可以断定物体内部有没有缺陷存在。

图 35 表示在考察一个大直径的轴时探头的位置。图 36 是在考察中所得到的两个波形图。上一个图表示没有缺陷。在这个波形图上很清楚地有两个突起，左边的突起是原来发射的振动的波形，右边是反射回来的振动的波形；二者之间的距离与振动通过轴的时间成正比。下一个波形图表示：超声波束在其中途遇到了缝隙，从那里反射回来，并比另一部分从轴的下面反射回来的波，早一些到达了接收探头。根据中间那个突起在波形图上的位置，可以确定缝隙距轴表面的距离。

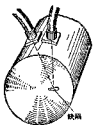


图 35. 用超声波探伤  
法考察金属内部缺陷  
时探头的位置

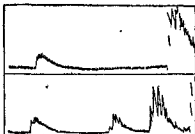


图 36. 探头的位置如图 35 所示时得到的波形图

用来接收超声波的接收探头，也是由一个压电石英的平板构成的。来到的波在其中激发出机械振动——收缩和伸长。由于正压电效应，这种形变就引起压电石英的相对两个面上出现交变的电势差。此交变电压在经过放大之后导至示波器。

### 第三章 电磁振蕩

#### § 9. 电磁振蕩以及电磁波的激發、傳播與接收

設有兩個導體  $M$  與  $N$  (圖 37)。

如果這兩個導體上的電量與它們的電勢都保持不變，則當導體  $M$  帶正電荷，導體  $N$  帶等量的負電荷時，導體周圍空間中的電場，將具有圖 37 所示的樣子。在此情況下，磁場不存在。

我們進一步設導體  $M$  和  $N$  的電量與電勢周期性地改變，例如按正弦律改變 (後面將要談到，這是可以實現的)。這時，在周圍空間中的每一點，電場強度也將依同樣的正弦律而改變。只是在離

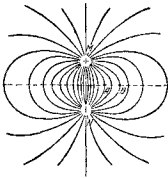


圖 37. 帶有異種電荷的兩個導體的電場

開場源較遠的那些點上，電場強度的改變將在周相上落後於離開場源較近的那些點。所以，例如，在圖 37 中的  $B$  點，電場強度達到最大值的時刻就要比  $A$  點晚一些。這是因為，電場從  $A$  點傳到  $B$  點，需要一定時間。所需時間的長短決定於電場的傳播速度，以及場源距二點的距離之差。

在電學中曾經講過，當電場改變時，沿着電力線的方向 (亦即沿着電場的方向)，產生位移電流。如果電場周期性地改變，則位移電流也將同樣地周期性地改變，並且在周圍的空間中，產生交變

的磁场，其方向与电场的方向相垂直。

磁场的变化周期，与导体  $M$ 、 $N$  间的电势差、电场强度以及位移电流强度等的变化周期都相符合。而磁场的方向由螺旋法则决定。如果用金属导线将导体  $M$  和  $N$  连接起来，则在导线中就产生交变的传导电流，而在周围的空间中，产生交变的磁场。由此可知，在任何一种形式的交变电流周围的空间中，都存在着交变的磁场。

电力线的形状这时将怎样改变呢？

可以把电流设想成两个异号的电荷在相反的方向运动。这个设想对于位移电流与气体中的离子电流来说是真实的，而对于金属导体中的电流来说，则是有条件的；因为在金属导体中，移动着的是电子——负电荷。如果回想一下在静电场中，电力线可以看做是由正电荷出发，而于负电荷收尾的话，则当导体  $M$  和  $N$  的电势差周期性地变化时，可以认为电力线的两端沿着电流以相反的方向移动，就像图 38 所表示的那样。图中给出的是一条电力线，从  $t = \frac{T}{4}$  这一时刻开始，每隔时间  $\frac{T}{8}$  的情形。当  $t = \frac{T}{2}$  时，导体  $M$  和  $N$  间的电势差等于零；电力线闭合，但并不消失。以后又形成了新的电力线，当  $t = \frac{3}{4}T$  时，这新的电力线从  $N$  通到  $M$ 。 $t = \frac{5}{4}T$  时也将有同样的情形，但新的电力线是从  $M$  到  $N$ 。

在这种情况下，我们看到了一种新型的电场，其中电力线是闭合的，电场具有涡旋的性质——电力线好像脱离了原来的场源（亦即位于导体  $M$  和  $N$  上，并沿着它们之间的电流而移动的电荷）。

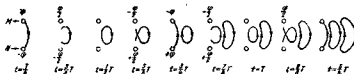


图 38. 当产生电场的导体电势改变时，电力线形状的变化

当导体  $M$  与  $N$  之间的空间中开始出现任何一种电流时，磁场也同时产生，其磁力线环绕着电流线。由此可见，磁力线垂直于电力线，而磁力线的方向，正如我们所曾经提到的，由右手螺旋法则加以确定。

显然，这样得到的磁场将是交变的。但是，根据麦克斯韦第二原理，交变的磁场产生与其相垂直的交变的电场。并且按照电磁感应定律，在任何一个回路中（凡可以想像它包围着磁感通量的回路），必感应出电场。此电场的强度与穿过回路的磁通量的变化率成正比。

沿着电场的方向（就上述的涡旋电场来说，其力线是闭合的），将有交变的位移电流流过，此位移电流本身也将产生交变的磁通。而这磁通的变化又产生电场和新的位移电流，依此类推。这样一来，在任何一种型式的振子（例如由两个电势与电荷周期性改变的导体所组成的系统）周围的空間中，电磁场将沿着各个方向传播，其中电场强度矢量垂直于磁感应矢量，并且电场的改变将再产生磁场，磁场的改变又将再产生电场。换句话说，在空间中将传播着电磁波；其传播速度等于光速：在真空中  $c = 3 \times 10^{10}$  厘米/秒，在各向同性的电介质中  $v = \frac{c}{\sqrt{\epsilon\mu}}$ 。

伴随着电磁波的传播，表征电磁场的能量也发生传递。在垂直于波速的每 1 平方厘米面积上，1 秒钟内电磁波所带过去的能量，由乌莫夫-坡印亭矢量确定。这一矢量等于能量体密度与波的传播速度的乘积，亦即，对于真空来说：

$$S = Wc,$$

对于各向同性的电介质来说：

$$S = W \frac{c}{\sqrt{\epsilon\mu}},$$

式中的电磁场能的体密度，正如电学教程中所已经讲过的，由下列表示式中的任何一个来确定：

$$W = \frac{ED}{4\pi} = \frac{HB}{4\pi} = \frac{DB}{4\pi\sqrt{\epsilon\mu}} = \frac{EH\sqrt{\epsilon\mu}}{4\pi}.$$

由此可見，如果对烏莫夫-坡印亭矢量的表达式中的各个量，采用同一种單位制(絕對靜電制或絕對電磁制)的單位，則烏莫夫-坡印亭矢量

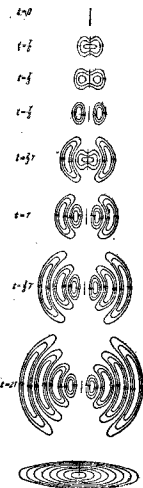


圖 39 电磁場的傳播

$$S = \frac{DB}{4\pi\epsilon\mu} = \frac{EH}{4\pi}.$$

关于能量在空間中的傳播問題，以及描述这一過程的量(即矢量  $S$ )的意义問題，是由俄国学者 H. A. 烏莫夫于公元 1874 年，在研究彈性和熱傳導理論時，同時研究出來的。公元 1884 年，坡印亭將 H. A. 烏莫夫的這個概念應用於電磁場能量的傳播上面。

正如赫茲的實驗所指出的：電磁波在導體面上反射，並且在從一種電介質進入另一種電介質的時候，按照光的折射定律而折射。

圖 39 給出電磁波在空間中傳播的某些概念。圖中所示的，乃是下列不同时刻的電場的電力線：

$$t=0, t=\frac{T}{6}, t=\frac{T}{3},$$

$$t=\frac{T}{2}, t=\frac{2}{3}T, t=T,$$

$$t=\frac{3}{2}T, t=2T.$$

圖 39 的下部是一張透視圖，表示當時刻  $t=2T$  時，在通過振子中間，且垂直

于振子的平面內的磁力線。

如果由振子輻射于空間中的電磁功率保持恒定，則在空間的不同各點，電磁能的體密度與該點距振子的距離平方成反比，而電場強度及磁場強度的振幅，則與該點距振子的距離一次方成反比。除了與振子直接毗鄰的不大的區域之外，在空間的各點，電場強度與磁場強度的振動周相相符合。後面我們將看到，在與振子相毗鄰的區域內各點，二振動周相之差將從  $\frac{\pi}{2}$  到 0；差值隨各該點距振子的距離而定。

圖 40 表示由振子  $M$ 、 $N$  發出而沿着  $X$  軸傳播的電磁波，磁場強度矢量設在  $Y$  軸方向，電場強度矢量設在  $Z$  軸方向。在這個圖上，沒有表示出在與振子毗連的區域（即  $E$  與  $H$  的周相不相符合的區域）內的矢量分布。此圖相當於電磁波由振子向空間所有各个方向傳播的情況。利用現代的技术，人們可以發射出射線平行而且波長很短（數米以下）的電磁波束。

在某些頻率範圍內，頻率較高的電磁波，傳播距離比頻率較低的電磁波為遠，儘管二者消耗於激發振蕩上的能量相等；甚至於前者所消耗的能量較少時也是這樣。用於無線電通訊的電磁振蕩，具有從  $10^7 \sim 10^8$  赫茲到  $10^4$  赫茲的頻率，亦即：其波長在數米到數十千米的範圍內。

現在我們來研究，在一個最簡單的振蕩電路中，電磁振蕩是怎樣激發起來的。這個電路由電容器  $C$  和一個具有自感  $L$  的線圈相聯接而組成（圖 41），電鍵  $K$  用來使電路閉合。假定電路的有效電阻非常小，以至可以忽略不計。如果電容器充電到電勢差為  $U_0$ ，則其電荷為  $q_0 = CU_0$ 。當電鍵  $K$  閉合時，電容器將放電，電

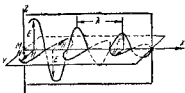


圖 40.  $E$  和  $H$  的振幅，隨著離開振子的距離增加而減小

流沿箭头 1 所示的方向流过电路。这时在线圈  $L$  中出现磁通。这

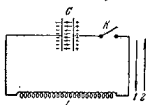


图 41. 振荡电路

磁通的增加引起自感电动势  $e_L = -L \frac{di}{dt}$ ，此电动势反抗电流的增大，而且在任何时刻都等于电容器两板间的电势差。

当电容器两板的电势相等时，就

没有了使电流进一步增加的原因，自感线圈中的电流及其所产生的磁通都达到最大值。从这时起，电流应该变小。这时磁通也将减小，因此，在自感线圈中又产生自感电动势，此电动势力图阻止电流和磁通的减小。这样一来，虽然电容器已经放完了电，电流却在电路中继续流过，使得电容器在相反的方向充电；在电容器左边的板上出现正电荷，而在右边的板上出现负电荷。当电流减小到零时，电容器停止充电。如果在电路中没有能量损失，且电路的有效电阻小得觉察不到，亦即可以近似地采用  $r=0$  的话，则电容器两板上的电荷与电势差都应该和起初相等，只是正电荷在左板上，而负电荷在右板上。

从这时起，电容器又开始放电，电流沿图 41 上箭头 2 所示的方向流过电路。

再以后，全部过程将重复下去；在电路中将产生电磁振荡。如果没有能量损失，且电路的有效电阻可以看做等于零的话，振荡将是无阻尼的。采用任何一种方法将能量输入电路，使损失的能量得到补充，也可以使振荡成为无阻尼的。主要地是：电容器所积储的最大能量  $\frac{CU_n^2}{2}$ ，在振荡过程中，转变为自感线圈中磁场的能量  $\frac{LI_n^2}{2}$ 。后者在开始放电后经过四分之一周期时，亦即当电路中电流最大时达到最大值。在下一个四分之一周期中，电流逐渐减小，这一能量渐渐变回为电容器静电场的能量。当电流在电路中振荡时，能量从一种形式转变为另一种形式的这种过程一直重复

下去。

現在我們來確定這一振蕩的周期。根據前面所講的條件，在任何時刻，電容器兩板間的交變電勢差都應該等於自感電動勢，亦即：

$$u = -L \frac{di}{dt} \quad (9-1)$$

電流強度決定於 1 秒鐘內通過導體橫截面的電量，或者說：

$$i = \frac{dq}{dt},$$

但  $q = Cu$ ,  $dq = Cdu$ , 故

$$i = C \frac{du}{dt}.$$

將電流強度的這一表达式代入(9-1)式，我們得到：

$$u = -LC \frac{d^2u}{dt^2}. \quad (9-2)$$

方程式(9-2)的解（我們略去證明而直接將它引進來）給出下列交變電勢差對時間的關係：

$$u = U_n \cos \omega t,$$

此處  $U_n$  為電容器兩板最初的（最大的）電勢差。

將  $u$  的值和  $u$  對時間的二階導數的值

$$\frac{d^2u}{dt^2} = -U_n \omega^2 \cos \omega t$$

代入(9-2)式，我們得到：

$$U_n \cos \omega t = \omega^2 L C U_n \cos \omega t,$$

由此可見， $\omega^2 LC = 1$ 。用等於  $\omega$  的量  $\frac{2\pi}{T}$  來代替  $\omega$ ，即得：

$$T = 2\pi \sqrt{LC}. \quad (9-3)$$

同樣的公式也可以從能量的關係式中得到：充好電的電容器的能量等於  $\frac{CU_n^2}{2}$ 。電容器放電完畢時，在線圈中流過最大的電

流  $I_m$ , 且全部能量采取自感线圈中的磁场能的形式, 这一能量等于  $\frac{LI_m^2}{2}$ 。如果在电路中没有能量损失, 则:

$$\frac{CU_m^2}{2} = \frac{LI_m^2}{2}。 \quad (9-4)$$

当电路上通过的电流最大的时候, 自感线圈中的电势降落, 亦即量  $i\omega L$ , 应该等于自感电动势的最大值  $I_m\omega L$ ; 而后一个量与电容器两板间电势差的最大值相等。

由此可见:

$$I_m\omega L = U_m。$$

将  $U_m$  的这个值代入(9-4)式, 并以  $\omega = \frac{2\pi}{T}$  代入, 变换后就得到公式(9-8)。

公式(9-8)决定着由自感、电容以及觉察不到的有效电阻所组成的电路中电磁振荡的周期。此公式称为汤姆孙公式。

这个公式广泛地应用在无线电技术中。利用公式(9-8)来计算振荡周期时, 电容与自感系数的值应该用同一单位制中的单位表示。在此情况下, 采用实用单位制比较方便, 因为 CGSE 制不适用于量度磁学的量, 特别是不适用于电感的量度; 而 CGSM 制不适用于量度电学的量, 因而也不适用于电容的量度。

如果有有效电阻  $r$  不能忽略不计, 则计算振荡周期时应采用下面的公式:

$$T = 2\pi \sqrt{\frac{1}{\frac{1}{LC} - \frac{r^2}{4L^2}}} \text{。} \quad (9-5)$$

这样一来, 当用自感线圈将充了电的电容器连接起来时, 在所形成的电路中就产生交变电流, 在电容器的电介质中产生交变的位移电流, 而在电路所有元件周围的空间里, 产生交变的磁场。如果电路的有效电阻小到可以忽略不计, 并且附近没有导体(在其中可以发生感应电流)存在, 则实际上, 全部能量只是与电路相连系着

的，且周期性地从电场能变为磁场能，或者相反。

如果在电路中造成一个缝隙使电阻增大，并且用减小自感和电容的办法使频率增加，则能量的很大一部分将向空间辐射出去，像前面所讲的一样。图 42 表示图 41 所输出的振荡电路逐渐“转变”为所谓开放的赫兹振子，在这种振子中，能量向空间的辐射非常显著。电容器的两个板分离开来，并且被两个球形导体  $k$  和  $l$  所代替；自感线圈被一条具有电火花间隙  $mn$  的直线导体所代替。这时，自感和电容都减小了，电路的振荡周期也就减小。当导体  $l$  和  $k$  之间的电压达到相当值，电火花通过  $mn$  间的间隙时，就发生了电磁振荡。火花放电就是振荡放电，实际上这是一系列的许多电火花与导体  $k$ 、 $l$  周期性的交替充放电。

图 42 的下边表示一个由蓄电池组通过电磁继电器  $P$  供电的电磁振荡发生器线路。

连于导体振子  $l$  楼的天线和连于另一个极  $k$  上的地线，就像是占据了空间（电磁波激发于其中）比较大的部分似的，促进电磁能的大量辐射。

火花放电是振荡过程，这一事实，可以用实验显示出来。实验时，使来顿瓶放电所生电火花的光反射到屏上。反射光的镜子为一个迅速转动着的镜面筒。

在屏上所看到的是数目很多的光斑，一个接着一个，而不是一条连续的光带。由此可见，放电时的火花实际上是由数目很多的一系列火花所组成的。曾经有人发现，如果使来顿瓶通过螺线管

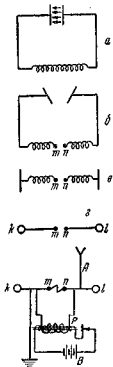


图 42. 振荡电路转变为开放的赫兹振子

放电，则虽然每次放电时，螺线管都以同样的一端接来顿瓶的正极，另一端接负极，但螺线管中产生的磁场，其方向却有时朝向这边，有时朝向那边。放在螺线管中的钢针，有时沿着这一个方向磁化，有时沿着那一个方向磁化。

由此可见，火花放电可以用来激发电磁波。用这种方法得到的电磁波是逐渐减幅的波。这种获得电磁波的方法很早就已经应用在老式的火花电报上了。

在近代的无线电通讯中，都采用电子管振荡发生器来激发电磁振荡，其最简单的线路如图 43a。当屏极电路的电键  $K$  闭合的时候，电子就射到屏极上，并通过屏极电池组进入振荡回路  $LC$ 。一部分电子使电容器  $C$  充电，另一部分电子则通过自感线圈  $L$  而到达阴极。线圈  $L$  中逐渐增长的电流产生逐渐增大的磁通。这磁通穿过线圈  $L_1$ 。在其中感应出电动势，使栅极上产生正电势，这又促进了屏极电流的增加。当屏极电流达到最大值后，线圈  $L$  中的电流停止增强。线圈  $L_1$  中的感应改变趋势，因此，栅极上的正电势将逐渐下降，这就引起屏极电流的减小。因而就又在线圈  $L_1$  中感应出反方向的电动势。这样一来，栅极上的电势将逐渐降低到负值，使得屏极电流减弱到零。在这一瞬间，线圈  $L_1$  中电动势的感应停止。栅极的电势又开始升高，全部过程将完全重复下去。在此情况下，电容器  $C$  将周期性地充电和放电，而在电路  $LC$  中发生电磁振荡。

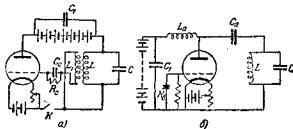


图 43. 电子管振荡发生器的线路图

电路  $LC$  中电磁振荡的周期，决定于这一电路的元件，改变电容  $C$  或自感  $L$ ，可以调节电路的振荡频率。这振荡可以利用电子管系统加以放大，并借天线的帮助辐射于空间。

上面所说的振荡发生器可以做为自动振荡系统的一个例子。振荡发生器所激发出的振荡是无阻尼的，因为振荡器所消耗的能量，从接在电子管屏极电路中的直流电池组那儿得到供给。屏极电路中的振荡，借助于产生“反馈”的变压器  $LL_1$ ，对控制屏极电流的栅极发生作用。变压器的绕组  $L_1$  必须这样联接：使屏极电势振荡和栅极电势振荡的周相相反，这是振荡发生的必要条件。

为了使振荡近似地成为正弦振荡，电子管应该在其特性曲线的直线段上工作（参看电学教程），而为此目的，必须给与栅极一个不大的负电势。要达到这一要求，只要在栅极电路中接一个数万欧姆的电阻  $R_a$ ，做为电容器  $C_a$  的分路就行了。栅极电流的直流成分沿这一电阻通过，并在栅极上形成所必须的负偏压。从变压器绕组  $L_1$  而来的交变电势通过电容器  $C_a$  落到栅极上。

要得到具有严格一定不变的频率的振荡，可以在振荡器中装置一个石英稳频器，它的作用是以压电效应为基础。

稳频器是由一块压电石英片，放在两块金属板之间做成的；金属板上连有接头，以便接入电路中。有时，为了接触得更好一些，在石英片两面镀上很薄的一层银来作为金属板。石英片的大小，要选择得使它在所需要的频率共振。

图 436 表示一个振荡发生器的线路，其中反馈是通过屏极-栅极电容来实现的。图中栅极与阴极之间，装有石英稳频器  $K_b$ 。稳定器的作用如下所述：屏极电路中的电流振荡，引起屏极本身的电势振荡及周相相反的栅极电势振荡。因为屏-栅电容非常小，所以栅极电势振荡的振幅将也非常小；结果，组成电容器的石英片盖板上的电势与电荷，也将发生同样的振幅很小的振动。由于逆压电效应，这一振荡引起石英片的机械振动——伸长与缩短。

当加于石英片盖板上的电振荡频率与石英片的固有机械振动频率之间发生共振时，石英片机械振动的振幅增大到某一限度。而由于正压电效应，石英片的机械振动本身，又在其盖板上引起电荷的出现。机械振动振幅的增大，使得金属盖板上电荷振荡的振幅也增大，因而，控制屏极电流的栅极电势振荡的振幅也就增大起来。振荡回路的频率，必须调整得使它接近于石英片的固有振动频率或其高次谐波的频率，否则将不发生振荡。借助于石英稳频器，可以使所产生的振荡的频率保持一定，并准确到百万分之一。

线路中所使用的各个零件作用如下：与屏极电池组并联的电容器  $C_1$ ，是为了让屏极电流中的交流成分通过；电池组的电阻，对于此交流成分来说是非常大的。电容器  $C_2$  是为了防止屏极电池组短路。抗流线圈（自感线圈） $L_3$  的接入，是为了减弱供电电路对振荡回路的调谐的影响。

使用上述振荡发生器所得到的振荡，是无阻尼的高频率振荡；要利用它传送无线电话，必须将它加以调制，亦即在高频率振荡发射出去之前，用特殊的方法将声频振荡载于高频率振荡之上。利用接收器（收音机）可以将声频振荡从所接收到的已调制了的高频振荡中分离出来。调制时，可以用改变高频振荡的振幅的方法，也可以用改变高频振荡的频率的方法。后者目前只应用在伴随着电

视的声音传递上，并且是用波长为 7~8 米左右的超短波来实现的。通常使用的振幅调制方法如下所述。

在电子管振荡发生器的栅极电路中（图 44），接有一个振荡回路  $L_1C_1$ （在图 43a 中，它是在屏极电路中接着的），和一个以电容器  $C_2$  为分路的变压器（T）的副

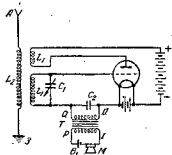


图 44. 带声器接于无线电话  
发射机中

繞組  $Q$ 。在變壓器的原繞組中串聯有電池  $B_1$  和傳聲器  $M$ 。

當傳聲器薄膜隨着作用於其上的聲波而振動時，傳聲器的電阻發生變化，因而柵極的電勢也發生變化。柵極電勢的這種變化就改變了被發射的高頻振蕩的振幅。

在圖 45 上給出了未調幅振蕩和已調幅振蕩的圖解。

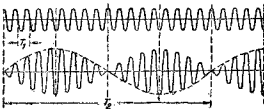


圖 45. 未調幅振蕩與已調幅振蕩的圖解：  
 $T_1$ —高頻振蕩的周期， $T_2$ —用未調幅的音頻振蕩的周期

從圖上可以直觀地看到：能夠聽得見的低頻振蕩（下面圖解上的虛線）是載於未調幅的高頻振蕩（上面的圖解）之上的。低頻振蕩彷彿是變成了高頻振蕩振幅的振蕩似的。

赫茲第一次用實驗獲得了並且接收了電磁波，他的實驗是在公元 1888 年完成的。在赫茲實驗中，做為電磁波源的是一个振子  $A$ （圖 46），這是一個火花放電器，放在金屬拋物柱面鏡  $M$  的焦線上。在它的對面，裝有一個同樣的拋物柱面鏡  $N$ ，其焦線處放有兩段粗導線的兩個端頭  $a$  和  $b$ ，二者稍稍離開一點距離。導線的另兩個端頭  $c$  和  $d$  引到拋物鏡後面，並加以彎曲，使它們彼此相對着。在這兩個端頭之間也留有不大的間隙。當聯接在感應圈副繞組上的振子電路中被激發起振蕩時，就會有電火花通過  $c$ 、 $d$  兩端間的間隙。但只有在振子的電路與共振器的電路調整到共振時，

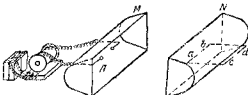


圖 46. 電磁波發射器和接收器（赫茲裝置）

亦即只有在这两个电路的频率相同时，才能够观察到这种现象。

无线电发明人 A. C. 波波夫第一次将电磁振荡用于无线电通讯。在他的装置中，电磁波是用“金属屑检波器”来接收的。

金属屑检波器的作用，是以金属粉末在高频率电磁振荡作用下就粘在一起的性质为基础的。金属屑检波器是一个装有电阻很大的金属粉末的玻璃管子 A（图 47），这个仪器通过电磁铁 C 的

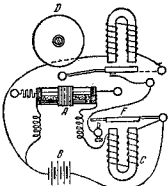


图 47. A. C. 波波夫的雷暴指示器线路图

线圈，联于电池组 B 的电路中。当电磁波到达金属屑检波器时，检波器的电阻急剧地减小，电磁铁的衔铁 F 就被吸引。这时电铃 D 的电路闭合，电铃发声。金属屑检波器的电阻所以减小，是因为金属粉末由于其中感应出的闭合电流而粘在一起的缘故。此电流是被到达检波器的电磁波感应出来的。电铃的小锤在运动时敲击检波器，使它震动变松而恢复到原来的状态。

A. C. 波波夫的第一个无线电接收器——雷暴指示器，是于公元 1895 年 5 月 7 日（旧俄历 4 月 26 日），在俄国物理—化学学会的大会上表演的，它用电铃表明了雷电的放电。在后来的仪器中，波波夫用电报装置代替了电铃，并于公元 1896 年 3 月 24 日（旧俄历 3 月 12 日），在物理—化学学会的大会上做了表演，传送了由“Генрих герц”（金利·赫兹）两个字组成的世界上第一个无线电报。后来，当铁甲艦“海軍上將阿普拉克新号”（Генерал-адмирал Апраксин）在芬蘭海灣触礁遇险时，A. C. 波波夫建立了艦上与岸上的第一个无线电通讯。从铁甲艦上发出的第一个无线电报中，包括给与泊在铁甲艦附近的破冰船“爱尔馬克号”（Ермак）的命令，要它帮助被碎冰带入海中的数十个漁人。漁人脱险了，这

标志着 A. C. 波波夫的偉大發明已經进入了人們的日常生活。

現代用來接收無線电台所發射的电磁波的接收器，具有許多種不同的式样。其中最簡單的是晶体接收器。圖 48 所示的是晶体接收器的一種型式，其構造如下所述：由一个可变电容器和一个自感綫圈組成一个振蕩迴路，于 A 点和天綫相接，B 点接地。傳來的电磁波在天綫与迴路中引起感应电流。如果利用可变电容器調節迴路的頻率，使迴路与所

要接收的振蕩共振，則甚至当傳來的振蕩非常微弱时，在点 A 和点 B 之間也产生显著的交变电势差。乍一看來，似乎只要把受話器的电磁鐵繞組接在这兩点之間，就可以期待傳來的振蕩引起受話器薄膜相应的振动；但实际上并不是这样：因为傳來的振蕩是高頻率的振蕩，在一个要將薄膜引向电磁鐵的脉冲之后，紧接着就是一个相反的脉冲，由于薄膜具有相当大的慣性，所以它不能随着傳來的高頻振蕩而振动，为了使受話器电磁鐵繞組中的电流强度振蕩能够对薄膜起作用，必須將电流变成虽然强度不断改变，但流向始終不变的电流。利用檢波器可以达到这个目的。檢波器的型式有許多种，其中之一是一支鋼針，尖端触到一塊方鉛矿晶体（这是半导体）上。电流只能夠沿着一个方向通过这个檢波器，因为电子只能夠从針尖上过渡到晶体上去，却不能够做相反的过渡。如果將受話器的电磁鐵繞組 F 通过檢波器 D 接入 A、B 兩点之間，則薄膜 M 在第一个脉冲时移动一極小的距离，在第二个脉冲时，移动距离就稍大一些，依此类推。如果振蕩是由声頻調制过的，則薄膜就重复这一頻率的振动。實驗指出，如果在受話器上并联一个电容为  $4 \times 10^{-9}$  CGSE<sub>0</sub> 左右的电容器，受話器就工作得較好一些，这一个电容器讓高頻率的振蕩通过，使它們不

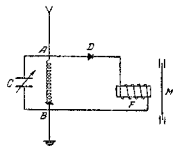


圖 48. 最簡單的晶体接收器綫路圖

經過受話器。

比較現代化的接收器(电子管接收器),有时是按照着非常复杂的线路裝置起来的,电子管在其中不仅仅担负着檢波的任务,而且还担负着高频振荡以及低频(声頻)振荡的放大任务。

圖 49 是利用双極电子管(兩極管) 檢波的线路圖。振荡迴路

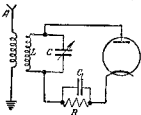


圖 49. 兩極管檢波器線路圖

所接收到的高頻振荡(迴路是被調整到这个频率上的),造成同样的屏極電勢振荡。这就引起以同样频率断續着的屏極电流。屏極电流脉冲的幅度和高頻率振荡的振幅成正比。在屏極電

路中接有一个与电容器 $C_1$ 并联着的电阻 $R$ ,屏極电流在这个电阻上产生以調制频率脉动着的电压。这是因为:电容器 $C_1$ 的容抗,对于屏極电流中的高頻成分來說,要比电阻 $R$ 小得多,因而屏極电流的高頻成分就被电容器 $C_1$ 分离了出去。电阻 $R$ 上的以低頻率(声頻)脉动着的电压,可以輸至低頻放大器,或直接輸至受話器。

三極电子管(三極管)也可以用作檢波器。如果要檢波的訊号較強,就采用屏極檢波线路;如果訊号較弱,就采用柵極檢波线路。

三極管在这些线路中的工作情况,可以由圖 50 中所繪出的三極管柵極特性曲綫(曲綫 a)來加以說明。此曲綫表示出屏極电流强度对柵極電勢的依赖关系。如果柵極電勢比陰極低出量 $u'_c$ (量 $u'_c$  对应于特性曲綫下邊的扭轉点),則

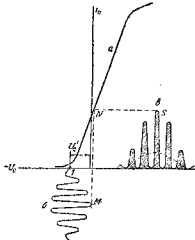


圖 50. 三極管的柵極特性曲綫

屏極电流將非常小。在此情況下，加在棚極上的、以聲頻調制過的高頻交變電壓（曲線 5），造成脈動的屏極电流（曲線 6）。由圖中虛線所表示的屏極电流平均值，和給予棚極上的電壓的調制曲線相似。圖中的虛線  $MNS$ ，就相應的兩點  $M$  與  $S$ ，表示出曲線 6 依曲線 5 而構成的情形。

圖 51 是屏極檢波的線路，高頻率振蕩進入振蕩迴路  $LC$ ，棚極的恒定負電勢由電池  $U_e$  產生， $U_e$  是與振蕩迴路相串聯于棚極電路中的。脈動的屏極电流的高頻成分，通過電容器  $C_1$ ；而低頻成分（對於它，這個電容器的容抗是非常大的）沿着電阻  $R_a$  流過。以調制頻率脈動着的屏極 current 在這個電阻  $R_a$  上所生成的電壓降，可以輸到受話器，或輸到低頻放大器去。

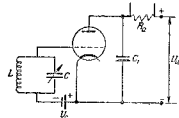


图 51. 三極管檢波器的線路

採用圖 51 所示的線路檢波時，如果要接收的訊號很弱，或者棚偏壓的選擇不恰當，就會使原來的訊號受到歪曲。

接收弱訊號時採用棚極檢波，其線路如圖 52 所示。它與屏極檢波的區別，就在於：其棚極與振蕩迴路之間，串聯着一個電容器  $C_0$ ，與  $C_0$  幷聯着的還有一個高電阻  $R_0$ ，其電阻為百萬歐姆左右，或者更高一些。當棚極檢波時，電子管工作於其特性曲線的直線段上，棚偏壓由棚極 current 形成。高頻率振蕩通過電容器  $C_0$  到達棚極之上。結集於棚極上的電子。一部分使這個電容器充電，另一部分通過電阻  $R_0$ ，形成棚極 current。在高頻率振蕩的半個周期內，電容器  $C_0$  充電，與棚極相連的電容器極板上出現負電荷；在後半個周期中，由於電容器通過電阻  $R_0$  放電，此負電荷減少。在此情況下，棚極 current 強度圍繞著某一個平均值而振蕩。這振蕩的振幅是不大的，因為在高頻率振蕩的半個周期中，電容器來不及通過高電阻放電

完畢。如果接收到的振蕩是沒有調制過的，則柵極電流強度在高頻振蕩每個周期中的平均值保持一定。如果所接收到的振蕩是調制過的，則這個平均值就以調制頻率振蕩，並且形成同樣的柵極電勢振蕩，這就引起屏極電流的脈動。此脈動的曲線與調制振蕩的曲線相似，但是在它上面，載有微弱的（即振幅很小的）高頻率脈沖，後者形成屏極電流的高頻成分。

柵極檢波線路（圖 52）中的屏極電路，與屏極檢波線路（圖 51）

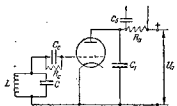


圖 52. 訊號很弱時的  
柵極檢波線路

中的屏極電路之不同，僅僅在於：在柵極檢波線路中，從電阻  $R_p$  取得的低頻電壓，是通過電容器  $C_1$  輸至受話器的， $C_1$  用來防止屏極電流的直流成分流過受話器。電容器  $C_2$  將屏極電流的高頻成分從電阻  $R_p$  分離出來。

關於更現代化的、利用多極電子管檢波的線路，在無線電學教科書中研究。

無線電接收器所收到的訊號，在輸入檢波器之前，可以用高頻放大器加以放大；而由檢波器取得的電壓，還可以輸到低頻放大器加以放大。放大器中的三極管是要在其特性曲線的直線段上工作的，為此必須藉助于柵極電池，在柵極上形成負偏壓。要放大的電壓輸送到柵極上。當柵極的電勢增加一個不大的增量  $\Delta U_g$  時，屏極電流增加  $\Delta i_a$ 。如果在屏極電路中聯入一個相當大的阻抗  $z$ ——它可以是有效電阻（變阻器），也可以是感抗（自感線圈）或容抗（電容器）——，則阻抗上的電壓降的增量  $\Delta i_a \cdot z$ ，可以超過  $\Delta U_g$  好多倍。這個電壓同樣地可以輸到下級電子管再加以放大，依此類推。

在圖 53 上給出了最簡單的放大器中的一個環節。其中在前一級電子管的屏極電路內，接有一個有效電阻  $R_a$ （圖中左

方)。它上边的交变电压降  $U_1$ , 经过电容器  $C_6$  漏至下一级电子管的栅极。 $C_6$  让振荡电流通过, 而不让直流通过。利用这个方法可以保护电子管的栅极不受到高电压。为了使电容器上所聚集的负电荷不至于封锁了电子管, 故通过一个高电阻  $R_6$  (百万欧姆左右) 将它引向加热灯丝的电路。放大的电压  $U_2$  由连接在屏极电路中的电阻  $R_a$  (图中右方) 上取得。

本世纪三十年代末, 曾发明了一种方法, 利用这种方法, 人们就有可能去观察那些直接用目力以及使用光学仪器所不易观察到的目标, 例如在浓雾隐蔽下的, 或者是夜行的飞机或船舶。这种方法叫做无线电定位。

无线电定位的概念如下所述: 用无线电定位仪器, 以非常短的脉冲, 发射出波长为数米或数分米, 甚至数厘米的短电磁波; 脉冲与脉冲之间所隔的时间相等, 这时间非常短, 但还是远远地超过脉冲持续的时间。此电磁波在前进途中遇到障碍物(飞机、轮船等), 一部分被这些物体所散射, 而一部分被反射回来——虽然已经大大减弱了。

反射回来的波由同一个无线电定位仪器接收到, 经过显著的放大之后被送至示波器, 根据脉冲发出到电磁波由目标返转回来的时间, 可以确定目标离仪器的距离。在这里需要测量非常短的、以百万分之一秒来计算的时间, 这一测量是利用上面提到的电子示波器(电子射线管)来完成的。现在我们来研究一下它的构造和作用原理。

在一个如图 54 所示的玻璃管子中, 有一个灼热的灯丝  $K$  发射出电子流, 这电子流穿过栅(图中未绘出)以后, 被热灯丝与阳极  $A$  之间的电压  $U_a$  加速, 从小孔射出, 最后再从电容器  $C_1C'_1$  和  $C_2C'_2$  的

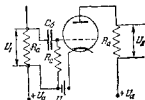


图 53. 电阻耦合放大器的一个环节

極板中間穿過，以細線束的形式射向玻璃管寬大的底面，此底面上

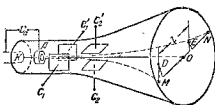


圖 54. 电子示波器(电子射线管)

塗有一層熒光物質。如果沒有电压加在电容器上，則电子射線(电子束)將射到熒光屏的中心点  $O$ ，在这里显出一个光斑。

當無綫電定位站工作的时候，在电容器  $C_1C'_1$  上加以交变电压，其变化周期  $T$  与相鄰兩個被發出的脉冲之間的時間間隔相等。圖 55 所表示的是此电压的圖線。在周期的前一段(較長的)时间  $a$  中，电压線性地增加，它使得电子前进的方向由  $AM$  变到  $AN$ ，这时屏上的光斑匀速地从  $M$  移到  $N$ (參看圖 54)。在周期的后一段(較短的)时间  $b$  中，电子的發射自动停止。这样一來，屏上的光斑就周期性地从  $M$  移动到  $N$ 。因为这一过程每隔極短的时间就重复一次，所以眼睛在屏上所看到的是一条不間断的光帶  $MN$ 。

在發射脉冲的極短時間內，給第二个电容器  $C_2C'_2$  的極板加以电压，这电压使得电子射線在垂直的方向移动，屏上的光斑也向上躍起。因为这个過程每發射一次脉冲就重复一次，所以在屏上显现出一个小凸峰  $D$  (參看圖 54)。当由目标反射回来的脉冲被接收裝置收到的时候，电容器  $C_2C'_2$  的两个極板之間，又被加以使电子射線以及屏上的光斑向上移动的电压。这时在屏上显出第二个小凸峰  $E$ 。根据二凸峰  $D$  和  $E$  之間的距离，可以确定目标的远近。

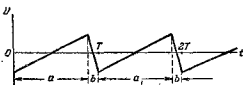


圖 55. “鋸齒”形交变电压的圖線

圖 55 所表示的鋸齒形交变电压，以及某些其它形式的交变电

压，可以借助于张弛振荡发生器来得到。这种振荡器中的振荡周期决定于电容器的充电或放电时间。这样的振荡器的线路在専门书籍中研究，但它工作的概念可以用氖气管张弛振荡器的线路来加以阐述，图 56 所表示的就是这种线路。

氖气管  $N$  联接在电路中，电路由具有恒定电压  $U$  的电源供电。电阻  $R$  与氖气管串联，而电容器  $C$  与氖气管并联。电压  $U$  应该比氖气管的点火电压  $U_1$  高一些。

当电路闭合时，电容器充电，电容器与氖气管上的电压增加。当电压增至“点火电压”时，氖气管的电阻骤然减小，电容器开始迅速放电，电容器与氖气管上的电压也迅速降低。当电压降到“熄火电压” $U_2$  时，氖气管的电阻又增大，电容器又重新充电。电容器和氖气管上的电压的变化曲线，与图 55 所示曲线的不同之处，就在于：图 55 中所示曲线的直线部分，将被与直线稍有不同的曲线所代替。张弛振荡的周期，可以用  $C$ （电容器的电容）与  $R$ （电阻的数值）的一个复杂函数表示出来。

在今天，人们使用着非常复杂的、现代化的无线电定位系统，例如示景雷达（панорамный радиолокатор）。它向着所要探测的地方发射出间断地周期性变化着的电磁波（即脉冲——译者），结果在雷达的映示屏上就可看到该地方的图形。这种雷达具有很大的用途，例如，它可以装在飞机上用来考察地面和海洋表面，也可以装在船上，使人们能够在浓雾或黑夜中确定航行的道路。

作为例子，我们在书末的图 1 上刊印了同一地区的两张图片，上面的一张是从飞机上用照像的方法得到的，下面的一张是从示景雷达的映示屏上看到的情况，这个雷达装在同一个飞机上。在第二个图片中显示出的是第一个图片中所没有的细节：在最里边的那个圆形标线边缘处可以看到一些点，这些点是一个舰队的映像，它们的金属甲板反射雷达所发出的电磁波。在上边的照像片中看

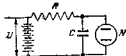


图 56. 氖气管张弛振荡器

不到这个艦队。

無線电定位术的發明与發展在很大的程度上是与苏維埃学者的工作分不开的。超短波的傳播是 B. A. 夫維金士基(Введенеки)院士所首先研究清楚的。Д. А. 罗仁士柯 (Розанек) 三十年代的工作, 对适用于超短波的电磁振蕩的获得与放大的新型电真空仪器的制造工作, 起着奠基的作用。Ю. Б. 柯卜查列夫 (Кобзарев)、Н. А. 波高列柯 (Погорелк) 和 Н. Я. 齐尔涅楚夫 (Чернцов) 由于發明了“飞机察覺器”曾荣获了斯大林獎金。

超短波在現代的电视技术中获得重要的应用。所謂电视, 就是用無線电来傳遞形象。

現在我們來概略地介紹一下电视的基本原理和电视裝置中主要器件的工作原理。一个电视系統包括着三个部分, 即發送机、接收机和將二者联系起来的联系裝置。

發送机的任务就是將要觀察的客体(景象)分解成一个个的小單元, 并將小單元的光学特征轉变为电流, 即对应于每一个小單元, 形成与其亮度成正比的电流。此电流引入联系裝置。

接收机的任务是將其所接收到的电流轉变为相应于該电流的形象單元的光学像, 并將所得到的像構成一个整个的象。

联系裝置可以是导線, 它將电流从發送机引到接收机中去; 也可以利用無線电波来联系, 以發送机输出的电流將电波調幅, 然后把已調幅的波發射出去, 由接收机的天綫收到电波以后, 再进行檢波并將它轉变为电流。

在發送机中应用着 A. I. 斯托列托夫在 1888 年所研究的一种現象, 这种現象称为外光电效应。在 § 23 中我們將对此現象加以研究, 这里仅限于指出, 外光电效应就是說金屬在受到光的照射时, 会喪失負电荷(即放出电子)。对于电视來說, 重要的是一种特殊情形, 即由可見光所引起的外光电效应。这种現象并不是对所有金属都能觀察到的, 能覈察到这种現象的只有某几种金属。發

射机中最重要的器件——所謂光电發像管，就是根据外光电效应的原理来工作的。

光电發像管是在 20 年代末由 B. K. 茲涅雷克所發明的。1931 年，苏維埃学者 C. I. 卡塔耶夫也独立地創造出了这种仪器。苏联学者 J. A. 庫別茨基、C. I. 卡塔耶夫、H. B. 什馬可夫和 I. B. 季莫非耶夫等人对光电發像管作了重大的改善。

圖 57 所表示的是光电發像管的一种最簡單的型式。 $K$  是人們要將其形象發射出去的对象，由物鏡  $O$  將它成像于对可見光很敏感的镶嵌感光層  $I$  上。感光層沉积在很薄的云母片  $2$  上，云母片的另一面复盖着一層厚薄均匀的金屬  $3$ ，作为输出訊号的極板。感光層是由許多極小的用鉻處理過的銀質微粒組合而成的。每一个或者好几个相互連接着的小銀粒形成电容器的一个極板，电容器的另一个極板就是金屬片  $3$ 。这样，整个感光層就成为許多相互絕緣的小極板，每一个小極板都与訊号板  $3$  構成一个电容器。在感光層上所形成的像，由于光电效应，致使小銀粒放出电子而帶正电。每一个小銀粒所帶的正电荷多少取决于該处的光照强度，而这一强度又正比于对象  $K$  上成像于此銀粒上的那一部分表面的亮度①。这样一来，镶嵌感光層上的不同各点，电勢將互不相同，亦

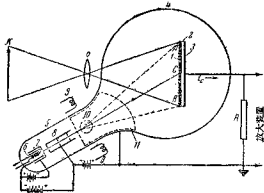


圖 57. 最簡單的光电發像器

① 关于照度(光强)和亮度的定义见 § 14——译者注。

即，在感光层上，形成了一个电势的“浮雕”。

上述的带有感光层的云母片装置在抽空了的玻璃容器<sup>4</sup>中，这个容器具有一个圆柱形的部分<sup>5</sup>，在这一部分中装有“电子枪”作为电子源的是一个旁热式的阴极<sup>6</sup>，由阴极所发出的电子“射线”，通过圆筒<sup>7</sup>上的孔和阳极<sup>8</sup>上面的三个孔，射向镶嵌感光层。孔的作用是限制电子射线成为狭窄的一束，并将其焦聚于感光层上。圆筒<sup>7</sup>称为控制极，改变它的电势，就可以调整电子射线的强度，亦即电子流的强度。

在玻璃管<sup>5</sup>的外面装着四个线圈，这四个线圈两两共轴。其中两个线圈<sup>9,9</sup>的公共轴线和圆平面相合，另两个线圈的公共轴线与圆平面垂直，图中画出了其中一个<sup>10</sup>。在线圈<sup>9,9</sup>中的电流所产生的磁场平行于圆平面，它使电子射线向着与圆面相垂直的方向偏转。线圈<sup>10,10</sup>中的电流所产生的磁场垂直于圆平面，这个磁场使电子射线在和圆面平行的平面内偏转，亦即，这个磁场可以使电子射线射到感光层的边缘<sup>A</sup>或者<sup>B</sup>。由此可见，调整通过这几个线圈的电流，就能够使电子射线射到镶嵌感光层上面的任何一点。

当电子射线射到感光层上某个银粒的时候（这些银粒由于光电效应而带有正电荷），由这个银粒和讯号极板所组成的细微电容器就要放电，结果就有一短时电流从讯号极板流过电阻<sup>R</sup>。这一电流在电阻<sup>R</sup>上所形成的电压由放大装置放大以后，用来对发送机所发射的无线电波进行调幅。

从镶嵌感光层上飞出的电子，由收集电极<sup>11</sup>收集起来，这个收集电极是复盖在玻璃管一部分内壁上的金属层，在图<sup>57</sup>中用虚线表示出了它的边界。为了将感光层上所形成的景像传递出去，或者，更正确地说，为了把感光层上的电势起伏传递出去，必需将它分割成许多行，再将每一行分成微小的单元。这个任务是由电子射线所担负的，电子射线每<sup>1</sup><sub>25</sub>秒将整个画面上的全部微元扫描

一遍，方法如下所述。

为了将画面的每一行分成微元，在线圈 9,9' 上加以和图 55 所示形式相类似的锯齿形交变电压，在它的一个周期中，射线将扫过画面的一行，并重新回到它原来出发的那一边。如果整个画面被分作  $z$  行，则交变电压的周期等于  $\frac{1}{25z}$  秒。在图 58 上表示出画面被分为许多行的情形。在周期的前一阶段（这一阶段时间较长）中，电压均匀地增长，电子射线匀速地扫过一行，即从点 A 扫射到 L。在周期的后一阶段（很短）中，电压迅速地下降，电子射线重新回到画面的 AB 一边；在这段时间中影像的播送自动停止。在下一个周期中，过程也是这样。

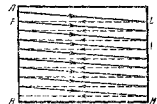


图 58. 画面被分成许多行的情况

为了将画面分成行，在另一对线圈（图 57 中的 10）上也加上同样的锯齿形电压，但这个电压的周期等于  $\frac{1}{25}$  秒。在周期的很长的前一阶段中，由于全部四个线圈所生磁场的影响，电子射线扫射过画面上的所有各个点，从画面的上边缘逐行地移动到下边缘，即由 A 点到 M 点。在周期的后一阶段（很短）中，电压迅速的下降，电子射线重新返回到 A 点；在这一段时间中，影像的播送自动截止；如果所进行的是电视的电影播送，则在这一段时间内，电影机中实现镜头的更换工作。管理影像分割的电脉冲，也像讯号板所输出的影像讯号（电视讯号）一样，用来对发送机所发射出的无线电波进行调幅。

上面所描述的光电发像管具有一系列缺点，其中之一就是它的灵敏度很小，从讯号板上得到的电流  $i$  非常小，它在电阻  $R$  上所产生的电压需要多级的放大，这就影响了电视播送的质量。

在改进了的电视发送管中，上述缺点已被消除，消除的方法各有不同。

在 J. A. 库别茨基所设计的管子中，采用了他在 1934 年所发明的电子倍增器。这个仪器的作用是基于次级发射现象。次级发射就是物质表面在受到电子撞击时射出电子的现象，这时，每一个撞击到发射物（靶子）的电子，可以从其中“打出来”好几个电子。在电子倍增器中，从第一个发射物飞出的电子，被电场加速以后就射到第二个发射物上，于是就有较多的电子飞射出来，这些电子同样再经由电场加速，射到第三个发射物上，依此类推。由此可见，装有若干个发射物体的电子倍增器，可以使电子流增大到好多倍。图 59 是电子倍增器的原理图，其中 1, 2, 3, 4 是发射物体，连附在分压器  $AB$  上，使得其中每一个发射物的电势都比前一个为高。这样就在各发射物之间造成了加速电子的电场。电子流  $i_1$  由倍增器放大到值  $i_2$ 。电流  $i_2$  流过电阻  $R$ ，在  $R$  上产生电压，此电压再被引至放大器。

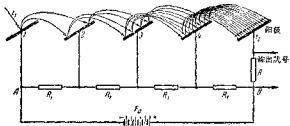


图 59. 电子倍增器的工作原理

另一个提高电视发送管灵敏度的办法是 C. H. 卡塔耶夫在 1932 年所建议的。这个方法就是把镶嵌感光层的职能分给两个零件，图像从一个零件上傳遞到另一个上。这种管子由 I. B. 什馬柯夫和 I. B. 季莫非耶夫所制造出来，图 60 就是它的草圖。

物体的形像成像于感光层 1 上，感光层是涂在一个带有分枝 5 的玻璃管 4 的末端内表面上的。由于光电效应，从感光层中放射出电子，其方向如图中箭头所示。从感光层不同部位所射出的电子数目，正比于该处的光照强度。由线圈 6 中的电流所形成的

磁场，将光电子束焦聚于被称做靶子的云母薄板 2 上。落在 2 上各个地方的电子数目，仍保持着与感光层各部分的照度间的正比关系（意即，从感光层上某一点所发出的电子，仍落于云母片上对应的一点——译者）。在从感光层 1 到靶子 2 的途中，电子受到电场的加速，当电子撞击到靶子上时，引起次级发射，亦即放出更多的电子。结果，在靶子上就形成和要发射的景象相对应的电势起伏。然后和在前面所讲的光电发像管中一样，利用电子射线射到靶子上，扫描所得到的图象。这时就有电流从装于靶子背面的讯号极板 3 上流过电阻  $R$ ，在这个电阻上所形成的电压降引向放大器。这个电流比光电发像管的讯号极板上流出的电流要大，因为在现在所讲的这种管子中，电势起伏是由于放出了更多的电子而形成的。在图 60 中没有画出收集电极和控制电子射线的机构。

现代的高度灵敏的电视发送管可以对亮度并不太大的对象，例如剧场、运动场等，利用电视来进行广播。

接收用的电视管和无线电定位装置中的电子射线管（参看图 54）相差不多。在电视管中，也要利用磁场来进行景像的扫描，就像光电发像管中的情形一样（参看图 57）。电子射线在荧光屏上描绘出景像。射线强度的调整利用下述办法来进行：为电视讯号所调幅的电磁波由接收机的天线收到以后，在接收机中经过放大和检波，相应的电磁振荡就被引到控制电极，这个电极的作用相当于三极管中的栅极。控制电极电势的变化改变着电子射线的强度，当电子射线到达荧光屏上时，屏上光点的亮度就是由射线的强度所决定的。控制电极的构造和光电发像管中的控制圆筒 7（参看图

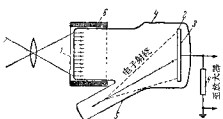


圖 60. 帶景像傳遞的電視發送管

57)一样。为了得到亮度較大且清晰的景像,为了防止由于管中殘余气体的負离子而使景像的清晰遭到破坏,在熒光屏的內側表面上,复盖有極薄的一層鋁,这鋁層可以使电子射線通过,并將管內熒光層所發出的可見光反射向观众。

用电子射線进行景像扫描的电视系統是在1907年,由彼得堡工業學院教授 Б. А. 罗津格(Розинг)所發明的。在同一年,罗津格第一次用實驗驗証了他的方法,他用导線把景像从工業學院實驗室的一个房間中傳遞到另一个房間中。

在無綫电报中所应用的电磁波,从波長为数千米的長波到数厘米的短波都有。在無綫电广播中应用波長2000米到11米的电磁波。在电视中应用波長为数米的电磁波。在無綫电定位术中应用数厘米長的电磁波。

这些电磁波的傳播情形,与电磁波的波長,地球表面的电学性質,以及大气上層的导电性等有关。在大气上層中有气体离子和自由电子存在。这种帶电的气層有好几个,对無綫电波傳播影响最大的是位于100~180千米高度处的那一層和位于200~500千米高处的第二層。第一个气層叫做 *E* 电离層,第二个叫做 *F* 層。*E* 層中离子的濃度白天增加而夜間減少,因为在这層里,离子是由太陽光的作用而形成的。在*F* 層中,起作用的除太陽光外还有宇宙射線。这一电离層的高度不定,与太陽在黑子形成的过程中(这时黑子發射帶电粒子流)出現的活動性以及一年四季和晝夜的時間有关。这些电离層的电学性質取决于离子的濃度,并且对于不同波長的波,亦有所不同。

無綫电波从波源傳到接收机有兩条途徑:1) 繞着地球表面傳播。2) 在电离層中反射和折射。第一种被称为地面波,而第二种被称为空間波。

最長的無綫电波(3000米以上)主要是繞着地球表面傳播的。由于繞射作用,它可以繞过地面上突起的山脉,不会有傳不到的地

方(无线电阴影)。电波在水面上方传播时，要比在陆地上方传播时被吸收得少些，这是因为水的导电性较大的缘故。在数千公里的距离上，这种波就以空间波的形式传播，依靠 E 电离层的反射而环绕地球表面。利用这种最长波的无线电通讯最为可靠，但需要很大的发射功率。这种波用于报时信号。

波长在 3000 米到 200 米范围内的无线电波，传播的距离比长波近一些。因为这种波被 E 层强烈地吸收，而 E 层中的电子浓度在白天又比夜间大，所以在白天，这种波的传播距离更短。地面波由于陆地和水(程度较小)的吸收显著地减弱，在所述波长范围内，这种吸收对于短波要比长波强烈。这种波的传播距离不会超过 1500 千米。绕射作用对长波传播的影响要比对短波传播的影响大些。由于空间波和地面波的干扰作用，有时会观察到“衰落”(затухание)——收到的强度减弱，过了 1~3 分钟以后，又重新恢复。这种现象对较短的波比较显著。在所述波长范围内，从 2000 米到 712 米和从 500 米到 200 米的波用于无线电广播，其余的波长用于服务性的无线电通讯。

波长 200 米到 50 米的波，只是在不大的距离(数十千米)内，才能进行可靠的通讯，因为在这个波长范围内，地面波被地球表面强烈地吸收，而空间波将穿过 E 层，那里的离子浓度不足以反射这样的波。波从 F 电离层反射以后再通过 E 层射向地面，但在两次穿过 E 层中，较长的波几乎全部被吸收。在夜间，E 层中电离减弱，这个波长范围内的较短的波有时可以传播到较远的距离。绕射现象对于波长 200 米到 50 米的波的传播影响不大，并不能消除无线电阴影区的产生，在这些区域就收不到电波。这样的波长的波仅用于服务性的无线电通讯。

波长 50 米到 10 米的波是以空间波的形式传播的，因为在这一波长范围内，地面波在数十千米的距离内就完全被吸收了。空间波从电离层 F 处反射回来，在 E 层中被吸收而减弱。减弱的程

度，在这个波長範圍內，對於較長的波來說比較短的波為大，且與 $E$ 層中的離子濃度有關。由於多次從 $F$ 層反射的緣故，這個波長範圍內所有的波，傳播的距離都很大；它可以繞過整個地球，形成無線電回波現象。由於 $F$ 層的變化無常，接收裝置可能因為從 $F$ 層不同地方反射來的波相互干擾而不能工作。在某些地方，反射波既傳不到，地面波又因被吸收的緣故而不能達到這裡，於是這些地方就成為“寂靜地帶”。繞射現象在這個波長範圍內實際上不起作用，這種波能够以有向線束發射出去。這個波長範圍內的波用于無線電廣播和遠距離的服務性無線電通訊。在後一種情形中，發射機根據電離層的構成情況使用不同波長的波：在白天用較短的波，而在夜間則用較長的波。

數米長（10~1米）的波沿着地面傳播時只能傳到很短的距離，因為它顯著地被吸收。這種波又能穿過電離層，而不會在那裡遭到反射。因此，它只能在直線的可以望得見的距離之內來連接。它所傳播的遠近依賴於發送裝置天線的高度。這種波長的波用于電視。

更短的波——厘米波在性質上和米波相似，它適用於無線電定位，以及發射裝置功率很小時的近距離通訊。

### § 10. 电磁波譜

在前一節中我們介紹了獲得與接收電磁波的某些方法，以及電磁波在技術上的應用。我們所談到的電磁波的波長限於從若干千米到數厘米的範圍之內。這並不能全部包括在自然界中所遇到的各種各樣的電磁波。正如我們以後所將要看到的，光線（紅外光、可見光及紫外光）和借助於特殊儀器而得到的倫琴射線，以及放射性物質所放射出來的 $\gamma$ 射線，也都是電磁波，不過它們的波長比起我們前面所考察過的波要短得多。這些更短的波的電磁性質是在不太久以前才確定下來的。

由麦克斯韋所創立的电磁理論导至了下列結論：光是电磁波。对于人眼所能看到的光波來說，波長局限于从  $7.6 \times 10^{-5}$  厘米（紅色邊緣的光的波長）到  $3.8 \times 10^{-5}$  厘米（紫色邊緣的光的波長），或者說从  $7600\text{\AA}$  到  $3800\text{\AA}$  的範圍之內。波長再長一些的波——紅外線，可以由它的热作用覺察出来。关于波長較紫色光更短的射線，后面將要談到。

从实验上証明光的电磁性質，是赫茲在 1888 年首先作到的：他表明，电磁波以光的速度傳播，并且像光波一样地反射和折射。

1895 年，著名的俄国实验物理学家、莫斯科大学教授 П. Н. 列別捷夫更进一步証实了光波的电磁性質。列別捷夫利用細微的振子，获得了波長 6 毫米的、在当时說來是最短的电磁波。振子是由两个直徑 0.5 毫米、長 1.3 毫米的小鉑圓柱組成的；鉑柱嵌在玻璃管中，由列別捷夫所制造的精微的感应圈來給它供電。

П. Н. 列別捷夫的实验表明：他所得到的电磁波从金属鏡面上反射；并在通过膠木三棱鏡时發生偏折，亦即當它由一种絕緣媒質进入另一种媒質时，發生折射；在菱形晶系的晶体中，还發生双折射現象。这就是說，列別捷夫所得到的电磁波，本身就像是光一样。

1923 年，M. A. 列維特士卡婭教授在塔什干曾利用振子获得更短的波。她所用的振子由一串 25 个小球組成，在小球之間放着 24 段導線。小球的直徑为 0.8 毫米，它們之間的間隔为 1.6 毫米；導線的長为 0.5 毫米，粗 0.3 毫米。小球和導線段都用加拿大树脂粘在玻璃板上，在玻璃板上預先以金剛石刻好了小溝。用感应圈經過兩条黃銅帶供給此振子以电压，黃銅帶安放得垂直于小球和導線的系列。其振器是用其中混杂有霧狀銅的石蠟来充當的。振子所發射出的能量被石蠟所吸收，这样就可以根据石蠟的溫度上升，用热电偶来發現它。在 M. A. 列維特士卡婭的实验中，激發出并且接收到波長为數十分之一毫米的电磁波。

在同一年中，A. A. 格拉涅列娃·阿尔卡基也娃教授在莫斯科也得到了一些波長更短的波。她所用的振子是很薄一层由銅屑和机油合成的紙漿狀物質，銅屑均匀分布在机油中，其綫度約为数十分之一毫米。为了消除这些銅屑在放电时燃烧和分散的影响，在供应高压电的端鉗处不断地輸入新的油漿層。这种振子所輻射的波長，依銅粒的大小和它們之間的相互距离而定。所得到的波用抛物鏡焦聚在热電偶上，就可以覺察到。由此可見，这里也是根据它的热效应來察覺它的。

这样，在 M. A. 列維特士卡娅和 A. A. 格拉涅列娃·阿尔卡基也娃的实验中，电磁波是用电学方法激發起的，而檢察它所用的方法，却是用来覺察紅外線的方法。但紅外線乃是波長較可見光綫長些的光綫。这样一来，就表明了波長一样的电磁波和光波間的等同性，也就是証實了光綫的电磁本質。

波長比紫光更短的光綫叫做紫外綫。它和可見光綫一样，是利用光学方法来获得，并利用照相方法——即根据其化学作用來記錄的。除此以外，它还能引起某些鹽类的微光(發光)，引起气体的电离，并能引起光电效应，即某些物体在光照下喪失負电荷的現象(前面已經說过)，这些現象都將在以后研究。

由于下列两个原因，研究紫外綫是相当困难的：第一，紫外綫不能通过玻璃，因此如棱鏡、透鏡等光学仪器必須采用水晶来制造。第二，紫外綫中除与可見光接鄰接的一部分以外，其余部分被空气强烈地吸收，甚至在空气很稀薄时也是如此。

被研究过的紫外綫領域已延伸到数量級为  $90\text{\AA}$  的波長。

更短的波是倫琴射綫，其波長範圍約从  $120\text{\AA}$  到  $0.08\text{\AA}$  倫琴射綫是利用特制的倫琴射綫管产生的，并根据它穿过晶体时的散射和在晶体表面上的反射來研究它。这种射綫也可以用探查紫外綫的方法察覺出來。在后面，我們將較詳細地來討論倫琴射綫。

在所有存在于自然界的电磁波中，最短的波就是所謂  $\gamma$  射綫。

这种射线是在放射性物质的原子衰变时产生的。 $\gamma$  射线最长的波长为  $0.2\text{ \AA}$ ，在短的一侧还没有确立起它的界限，已被测出的  $\gamma$  射线波长有短达  $0.001\text{ \AA}$  的。 $\gamma$  射线的探查和测量其波长所用的方法，与研究伦琴射线时相同。

这样，全部被研究过的电磁波总合，波长范围就从数十千米直到千分之一埃；与此对应的振荡频率约从  $10^1$  赫兹到  $10^{22}$  赫兹。



图 61. 以对数比例尺表示出的电磁波波谱

在图 61 中以对数比例尺表示出电磁波的整个波谱。波长以厘米和埃表示，频率用赫兹表示。从图中可以明显地看到，各个相邻的波长领域在它们的交界处是相互交叉着的。

## 第四章 光 学

### § 11. 光学發展史概述

光学是物理学的一个部門。在光学中研究的是光（包括可見光和不可見光——波長較長的紅外線与波長較短的紫外線）所引起的物理現象。

直到十七世紀以前，人們关于这一科学領域的知識还是非常不够的。

大概，古希臘的学者已經知道了光在均匀媒質中直線傳播的規律。透視理論就是建基于這一規律之上的。古希臘学者在公元前所写的許多著作中都提到了透視理論。

光的反射現象也同样是在远古就已知道的了。荷馬（公元前十世紀）就曾提到过人造的鏡子，在古埃及的陵墓中也积存有人造鏡子。著名的歐几里德（公元前三世紀）几何学給出了反射定律的確切表述，入射角和反射角的相等即导源于此。

古希臘人还曾知道凹面鏡会聚光線的性質。希臘历史学家普洛圖（公元前一世紀）在他的一本著作中，曾提到人們利用一个大杯子，以“最聖潔的火”——太陽火来点燃維士塔廟內長明灯的事情。應該測想为：这个杯子一定像一个能將光線会聚于其焦点上的凹面鏡一样。

在一个著名的傳說中，阿基米德（公元前三世紀人）曾用一个凹面鏡在西洛庫扎燒毀了敌人的軍艦。可以肯定这个傳說是后人臆造的。因为計算指出，当軍艦距鏡子 1 千米时，要达到这个目

的，所用的鏡子必須大得近乎荒謬——直徑 1~2 千米。

光的折射也是古代人們就已知道了的。生活在公元一世紀時的普里尼曾在一本著作中提到太陽光通過一個玻璃球後，能夠燒傷皮膚。公元二世紀時的普圖勞姆曾用實驗研究過光從空氣進入水中時的折射，並得出下列結論：入射角和折射角成正比。

對於人何以能看到物体這個問題，也曾有不少古代學者考慮過。畢法哥拉學派（公元前六世紀）的信徒們用從人眼發出的“視線”來解釋這個問題。柏拉圖（公元前四世紀）也有著同樣的看法。這個問題的另一種解釋是柏拉圖的學生、著名的哲學家亞里士多德所給出的。亞里士多德認為，物体的可見性是由人眼與物体之間的媒質的透明性所決定的，而且人眼的性質不是“火性的”而是“水性的”，因為眼睛在黑暗中就看不見東西。他說：“視覺的存在是人眼和被看見的物体之間的居間者運動的結果”也就是透明媒質運動的結果。但為了使可見性顯露出來，必須有火或者“天上的物体”（太陽），藉助於它們，透明性才從媒質的隱藏的性質變成現實的性質。亞里士多德把物体的顏色解釋為黑和白兩種顏色的不同比例的混合，他認為黑色與白色相反，是最基本的顏色。

阿托密斯特·魯柯利茲（公元一世紀）對物体的可見性所作的解釋為：從物体的表面不斷地放出許多“微小的東西”，組成很薄的薄膜——“幻影”，它們向各个方面飛出，且保持物体表面的“外貌與形狀”不變。這些“幻影”推動空氣，使它穿過眼睛，並且“刺激瞳孔”，造成視覺。

上述的古代學者的“理論”，都是想當然的，很少能促進科學的進步。

在物理學史的史料上沒有記述中世紀在光學上的重大發現與發明。在十三世紀發明了眼鏡，發明人是誰不能肯定。有一種說法說是薩維諾·阿爾馬奇，另一種說法說是僧侶阿列柯散·德·史皮那。

大約在 1600 年，在荷蘭（眼鏡就是由這裡傳入別的國家的）發

明了由会聚透鏡和發散透鏡組成的顯微鏡和望遠鏡。顯微鏡是依恩山發明的。望遠鏡的發明人不知道是誰。當關於“荷蘭式”望遠鏡的消息傳到伽利略那兒以後，他就製造了一個這種望遠鏡，並且利用它來進行天文觀察，完成了一系列卓越的發現。這種望遠鏡就稱為伽利略望遠鏡。

伽利略望遠鏡的放大率不大。开普勒制成了更强的望远鏡，这种望远鏡由兩個会聚透鏡組成，具有更大的放大率。用这种望远鏡所看到的像是倒立的，但这不影响它在天文觀察方面的应用。这种望远鏡称为天文望远鏡或开普勒望远鏡。

在十七世紀初叶，荷蘭學者斯奈耳發現了折射定律并將其敘述如下：“在同一种媒質中，入射角余割与折射角余割的比是一个恒量。”折射定律的現代形式，是笛卡兒在 1637 年（斯奈耳逝世后十一年）所給出的。

笛卡兒提出了他自己的光学理論。按照笛卡兒的看法，光由光源向外傳播，是借助于作用在組成光源与人眼之間的媒質的“小球”上的压力的。这些小球將压力瞬時地（即不需時間地——譯者）傳給眼睛而引起視覺。笛卡兒認為，眼睛也能够給予這些小球以压力，并且像摸索物体似的，在黑暗中感到它。笛卡兒將光的反射解釋為鏡子对媒質小球的推斥；而对于光的折射，則解釋為第二种媒質影响媒質小球的速度使之發生了改变。在这里笛卡兒陷入了自相矛盾，因为前面說過，他認為引起光感覺的压力的傳播，是瞬時地完成的。

在十七世紀中叶發現了三种光学現象：布拉格医学教授馬尔茨發現了色散現象；意大利人哥利馬里發現了繞射現象；丹麦人巴爾托里努斯發現了双折射現象。關於這些現象，以後我們將較詳細地討論。

馬尔茨于 1648 年在布拉格出版的著作中提到，由于光線在棱鏡中的各种各样的折射，形成了各种各样的有顏色的光；并且指出

了这些光的顏色在进一步折射时保持不变。馬爾茨認為光線的各种顏色是由于光線的“濃縮”程度不同；在他的著作中的另一个地方，他發表了下述的假設：所有的顏色都可借助于濃縮变成另一种。这样，他就陷入了矛盾。

十七世紀六十年代，牛頓对光的色散現象作了實驗上的研究。他的工作結果曾刺激了第一个以凹面鏡作为物鏡的反射式望远鏡的制造，并刺激了他的光的“微粒”學說的研究。

牛頓对光的色散研究所得到的結果是他在 1669~1671 年的講課中發表的，但只是在牛頓以“光和顏色的新理論”为題，在倫敦皇家学会（相当于别的国家的科学院）發表了講演以后，他的研究結果才广泛地为大家所知晓。牛頓的这个講演是在 1672 年 2 月發表的，这是他在皇家学会的第一次講演，当时他才被选为皇家学会的會員祇 25 天。

牛頓在他的講演的結論中第一次談到关于光的本質的基本假定問題，他說：“……我們有充分的根据認為光是实体……。”在以后的工作中，牛頓發展了自己的理論，并談到关于从發光物体所射出的光的質点——微粒。牛頓認為，最大的光微粒在到达人眼时引起紅光的感觉，最小的光微粒引起紫光的感觉。白光是所有各种顏色的混合。当光从較稀的媒質进入較密的媒質中时，光綫向着由入射点所作的媒質交界面的法綫偏折，这是因为第二种媒質的質点对于光微粒的吸引力比第一种媒質強的缘故。由此可見，牛頓的理論可以解釋光的折射定律，但这样的解釋导至下面的結論：光在較密的媒質中，速度要比在較稀的媒質中大。現在我們知道，这个結論是錯誤的。

按照牛頓的理論，光的色散是由于折射媒質的質点对各种大小的光微粒吸引力不同而产生的。較大的光微粒，飞行方向改变的角度要小于較小的微粒。光的反射是由于光微粒在鏡子上的反射，此反射遵守着彈性球在彈性壁上反射的定律。

为了解释光綫在遇到媒質交界面时，何以会一部分遭到反射而另一部分进入第二种媒質發生折射，牛頓說：“所有的光綫在通过任何一个折射表面时，都具有一定的暫時結構或状态，随着光綫的通过，这种状态每隔相等时间恢复一次；当这种状态恢复时，光綫就可以通过折射表面；在这种状态恢复之間的时间內，光綫反射……”。牛頓將这些状态称为“容易通过的發作”和“容易反射的發作”。对于双折射現象，牛頓所給出的解释很不足以令人信服，并导致錯誤的結論。

牛頓的理論遭到了一些与他同时代的人的反对。荷蘭科学家惠更斯于1678年，在法国科学院發表講演，批判了微粒理論，并提出了自己的光的波动理論。12年以后，他發表了他的著作“論光”。从这一著作中可以看到，惠更斯反对微粒學說的基本根据是，光綫可以相互交叉地通过，彼此互不影响。如果光綫是由物質的粒子流所組成的，则微粒間的相互冲撞应引起光綫方向的改变，但任何时候都沒有觀察到这种現象。在“論光”中，惠更斯写道：“……光綫从發光物体到达我們的眼睛，是利用傳給發光体和我們之間的物質的某种运动而达到的”……，这种运动“像声音的情况一样，以球面和波的形式傳播……”。由此可见，按照惠更斯的觀点，光是一种假想的媒質中的波动過程，这种媒質充滿所有空間。这一种媒質称为宇宙以太。根据惠更斯的看法，光波的傳播是由于以太微粒的彈性縱振动。

惠更斯的理論可以解釋光綫的反射和折射，并导致下列結論：在較密的媒質中，光的速度比在較稀的媒質中为小。这个結論和根据微粒學說而得出的結論相反。用实验來比較光在不同媒質中的速度在当时还不能做到。波动理論对于双折射的解释也导至与实验相符合的結果。对于光綫的顏色，惠更斯沒有給出解釋。

大体上說来，兩种理論都可以令人满意地解釋当时已知的光学現象。光的直線傳播問題用微粒學說解釋很容易，波动學說當

时沒有涉及这个问题。

波动学說的最本質的缺点，是需要假設以太既具有某些固态物質的特性，而又不阻碍天体的运动。天文觀察絲毫不看到这种阻力存在的迹象。在該世紀七十年代，罗麦根据木星的衛星轉現象算出了光的速度，光速的巨大数值，用微粒学說來解釋比用波动学說容易接受一些。

总的來說，微粒学說与波动学說比較起来，并沒有那一个具有特別显著的优越性。但因为牛頓在科学界的威望極高，以致使波动学說几乎被遺忘到十九世紀。

在十八世紀，光的波动学說只有不多几个拥护者，其中有俄国科学院院士 M. B. 罗蒙諾索夫和歐拉。歐拉并且發展了波动学說，用波長的不同来解释光的顏色，并驳斥了牛頓关于透鏡中色像差不可能消除的断言。歐拉从理論上指出，只要將用不同玻璃做成的透鏡組合起来，就可以制造出消色差的光学系統。英國光学家杜隆以歐拉的研究为基础，制成了消色差透鏡。

M. B. 罗蒙諾索夫于 1756 年 7 月 1 日，在科学院的一次隆重的大会上，發表了他的“关于光的起源的講話，提供关于顏色的新理論”，發展了他自己对以太和光的本性的看法，并导至下述結論：“以太的振动运动……应当是光的原因”。

在 M. B. 罗蒙諾索夫关于光学的工作之中，应当指出的还有下列各項：对于牛頓望远鏡和一系列航海用光学仪器的改造；“夜間”望远鏡——即用來在黃昏时进行觀察的望远鏡的發明；关于三种基本色的概念，將这三种基本色以不同比例配合起来就可以得到任何一种顏色。

法蘭西科学院院士布格在 1729 年，發表了他在光度学方面的研究工作。这是最早的对光度学的研究。光度学即关于光的量的測量的科学。布格發明了第一个光度計，比較了由不同光源所發出的光的强度，并研究了当光在不同鏡面上反射时和穿过透明媒

質时光的損耗。十八世紀中叶，拉姆別爾特發展了光度學的理論，这一理論到現在还保持着它的价值。在这个科学領域中，罗蒙諾索夫也做出了一定的貢獻，他發明了新型的測量星体亮度的光度計。

1801年，楊格研究了光的干涉現象，并且，作为波动學說的拥护者，他用光波的彼此疊加來解釋这种現象。他还用干涉的方法第一次測量了相應于可見光綫的光波波長。楊格的工作引起了光的微粒學說的拥护者們猛烈地抨击。

1808年，馬呂斯發現了光在反射时的偏振現象。1811年，他和畢奧又在同一天通知法国科学院，他們發現了光在折射时的偏振現象。同一年中，阿拉果發現了偏振面的旋轉現象。所有这些現象都表明，在垂直于光綫的方向上，光的性質具有着方向性。这种情形不能应用惠更斯对波动學說的觀点來解釋，惠更斯認為，光的傳播是由于以太質點的縱振動。

波动學說获得科学界公認，是在菲涅耳發表了关于他在1815～1821年所做的工作的回忆录之后。在这个回忆录中，菲涅耳根据自己的實驗研究和当时别的学者已經得到的資料，建立了波动學說的数学論証。对于光的傳播，菲涅耳是用以太質點的橫振動來解釋的。菲涅耳解釋了光的干涉、繞射和光在均匀媒質中的直綫傳播，以及当时所知道的一切光学現象。然而，对于光的負載者以太，必須勉强引入一些矛盾的性質。根据公式(4-4)，以太必須具有極大的切变模量，亦即像固体一样，但同时它却又必須具有小到覺察不出来的密度。

1853年發現了一种新的現象——錐形折射，这种現象是菲涅耳理論曾預言了的。1862年，測量出了光在水中的傳播速度，結果証明光在水中的速度小于在空气中的速度。这个結果与波动學說的結論相符合，而与微粒學說的結論相反。

在這一世紀的中叶，斯托克斯研究了熒光現象(物体在光照射的

影响下發光的現象)并建立了以太的名字为名的定律。当时还有德萊彼尔和爱德蒙特·貝克勒耳等人研究了熒光現象(某些物体在預先照到光后之后延續發光的現象)。这种現象的特例可以在氟石矿上觀察到, B. B. 彼得洛夫在这一世紀初就曾經研究过。

夫琅和費在這一世紀的前二十五年的工作, 以及基爾霍夫和本生在這一世紀五十年代的工作, 导致了光譜分析的建立。利用光譜分析, 在六十年代發現了一系列新的化学元素: 鈇、鉑、鈷、銅等。在同一时期內, 对于輻射与温度的关系也进行了初步的研究。

1873年, 麦克斯韋發表了电磁場理論, 其內容在电学教程中已經講过。根据麦克斯韋的理論, 得出了电磁波存在的可能性。电磁波在真空中傳播的速度应等于电量的电磁制單位与静电制單位的比值。許多学者用不同的方法量度了这个比值, 其中包括 A. Г. 斯托列托夫在莫斯科所做的实验和 A. P. 庫利在喀山所做的实验。实验結果指出, 这个比值与光在真空中的速度很准确地符合。由此应得出下列結論: 电磁波和光波是同一种性質的波。这一結論已为許多科学家的工作所証实。

洛倫茲在 1896 年, 根据光的电磁理論和他自己所研究的物质的电結構理論, 解釋了媒質对于光波傳播的影响。洛倫茲指出: 光的色散(折射率与波長有关)是由于不同频率的光波在电介質中的傳播速度具有不大的差別。选择吸收, 是由于光振动的频率与組成吸光媒質原子和分子的帶电質点的固有振动频率發生了共振。

在十九世紀后半期, 曾發明了准确性和灵敏性非常高的干涉仪(参阅 § 17)。其中的迈克尔孙干涉仪显著的扩大了物理觀察的可能性, 利用这种仪器所进行的研究結果, 导致了本世紀初相对論的誕生。

十九世紀八十年代, 第一个俄罗斯物理学派的建立者 A. I. 斯托列托夫, 研究了当光照射在一个断开的电迴路的电極上时, 电路

中产生电流的现象。他并且发现了这个现象的一些规律性。以后知道了，斯托列托夫所发现的规律性可以用当物质表面受到光照射时就放射出电子（所谓光电效应）来解释。A. Г. 斯托列托夫的工作，促进了前面提到的物质结构的电理论的發生。

1887年，俄国学者 B. A. 米哈里孙第一次给出绝对黑体辐射函数的近似形式（参阅 § 14）。十九世纪末，维恩得出了一个表示式，这个公式令人满意地与实验测量相符合，但只是在短波范围内如此。瑞利和金斯找出了另一个表示式，仅在长波范围内适用。单单利用光的电磁理论来寻求对于各种波长都适用的统一的辐射函数的形式，始终没有能够成功。

1900年，著名的俄罗斯物理学家 П. Н. 列别捷夫第一次以实验发现并量度了光压，光压的存在是光的电磁理论所预言了的。

由此可见，直到二十世纪初，许多与光的传播相关联着的现象都可以用光的电磁理论来加以解释。光的电磁理论还预言了这个领域中的新的现象，并已为实验所证实。但是，还存在着另外一些光学现象，对于它们的解释，光的电磁理论是无能为力的。与光的吸收和辐射有关的现象以及光电效应，光的电磁理论就不能解释。

1900年，普朗克引进一个假设，导出了绝对黑体的辐射定律（参看 § 14）。他假设光的辐射是以某种确定的“分量”进行的；这种“分量”称为量子。量子的能量正比于和量子相联系的振动的频率，而由下式所确定：

$$E = h\nu \quad (11-1)$$

此处  $h = 6.62 \cdot 10^{-37}$  尔格·秒，是一个恒量，称为普朗克恒量。由此可见，不同波长的电磁波对应于能量不同的量子。在科学中引入了关于量子的概念之后，就可以解释光电效应的定律。玻尔在1913年，根据辐射能量量子化的假设，建立了一个理论，这个理论将氢的光谱和他的原子结构连系了起来。后来，这一理论还可以解释某些其他元素和化合物的可见光谱和伦琴射线谱的结构与起

源。

倫琴射線量子的存在，已由 A. Φ. 約飛院士和 H. H. 都卜朗拉伏夫院士在 1924 年以實驗直接証實。而 C. H. 瓦維洛夫院士在本世紀三十年代所做的觀察非常微弱的光源的實驗，更証實了可見光的量子性質。

由此可見，量子理論補充了光的電磁理論，它表明了光，除了波動性質之外，還具有着某種微粒性質。

在進入二十世紀以來，人們完成了許多重要的光学發現與發明。光学在這一段時期中的發展，在很大的程度上是和俄羅斯與蘇維埃科學家的工作分不開的。後面我們將要講到這些工作中的某些部分。

在二十世紀中誕生了兩種理論，這兩種理論在物理学的許多領域內都給予我們的知識發展以很大的影響。它們在現代關於光的本性的學說中也占有極其重要的地位。

在 1905 年，A. 爱因斯坦發表了他的相對論。這一理論指出，在自然界中並不存在着什麼“宇宙以太”，對於解釋在自然界中所觀察到的現象來說，關於以太的假設根本就沒有必要。

1924 年，法國科學家德布羅意發表了一個假設，認為物質微粒具有某種波動性質。這個假設很快就為實驗所証實。在 1927 年就發現了電子的繞射，而 1929 年又發現了分子的繞射。德布羅意概念的進一步發展以及對上述實驗事實的分析，導致了微观過程與微觀粒子理論的建立。這個理論說明了以前弄不明白的某些光学現象的詳細情節。這一新的理論稱為量子力學。作為理論物理一個部門的新理論，現在已經在許多科學領域中得到了應用。這個理論的本質在於：每個運動著的粒子都具有兩種屬性——波動性和微粒性，它不僅可以用質量、動量、能量等來表征，而且可以用某個波長來表征，這個波長取決於粒子的質量和速度。粒子的質量愈小，它的波動性質就表現得愈明顯。

另一方面，正如前面所已說到的，光也具有微粒性。光量子不仅能够以能量、频率、波長来表征，并且能够——像我們以后將要明显地看到的——以动量和質量来表征。C. H. 瓦維洛夫院士在他的著作“眼睛和太陽”中写道：

“不应当把实物波与光波看做同样的东西。……光波具有电磁的性质，对于实物波决不能这样說。实物波与实物本身与它的粒子有机地相符合，而光波却是被实物所辐射、所發出的，它具有完全异样的性质”（参阅 § 5, B）。

“……实物与光，同时具有波的性质和微粒的性质，但整个地说，它既不是波，也不是微粒，也不是这样或那样的混合物。我們的机械的概念沒有能力完全理解現實，对于这种現實我們缺乏一目了然的形象（参阅 § 5, B）。

### • § 12. 光速的测定方法

光速的第一次测定是天文学家罗麦在 1875 年完成的。罗麦在觀察木星的一个衛星蝕时，注意到当地球向着木星运动时，相繼兩次衛星蝕之間的时间变短，而当地球离开木星运动时，相繼兩次衛星蝕之間的时间就变長些。每經過 898 天，地球、太陽和木星的相对位置恢复到原来情形，而木星的衛星相繼兩次蝕之間的时间在 898 天中的平均值总保持一定。罗麦認為这一現象的产生是由于光的傳播具有有限的速度，而不是立刻地（即不需要时间的——譯者）。

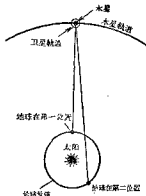


圖 62. 根據木星的衛星  
蝕來測定光速

圖 62 可以用來說明兩次蝕之間的时间不同是怎样發生的。圖中大致地表示出了地球、木星及其衛星的轨道。从圖中可以明显地看到，

当地球位于第一个位置时，则光从木星到地球经过的距离较小，而当地球在第二位置上时，这一距离较大。

所观察到的相继两次触之间的时时间隔与它们的平均值，只相差很小的值；但罗麦求得，在地球趋向于（离开也一样）木星运动的 199 天中，这个差值的绝对值的总和等于 16.5 分。在这一段时间中，正如罗麦所测想的，光走过的路程等于地球与木星的最大距离与最小距离之差，亦即等于地球轨道的直径。以 16.5 分除地球轨道直径，罗麦就求得了光的速度，所得到的结果与真正的光速非常接近。如果在罗麦所得到的结果中引入现代的天文学数据加以修正，则此值等于 300,870 千米/秒。

公元 1728 年，天文学家布来德雷注意到，在一年时间内，所有星球都在天球上画出一椭圆，从地球上看来此椭圆的半长轴所张的角为  $20.5''$ 。这一现象称为光行差现象，可以解释如下：

设想有雨滴以速度  $v_1$  铅垂地落下，并有火车以速度  $v_2$  行进（图 63）。雨滴在车厢的玻璃窗上所形成的痕迹应为倾斜的，其与铅垂方向之夹角  $\delta$  的正切等于  $\frac{v_2}{v_1}$ ；这是因为，雨滴和车厢的相对

速度应为二者对地面速度的几何差。这就是说，依火车上的人看来，雨滴就好像是斜着落下来似的，其与铅垂线的夹角由式

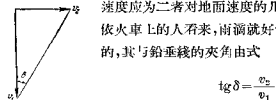


圖 63. 先行差現象所決定。

象的解釋。由于地球沿着自己的轨道以速度  $v = 29.8$  千米/秒运动着，故当光从遥远的恒星传到地球上时，也应该观察到与上述雨滴相似的现象。这时，光源（即恒星）看起来将仿佛向运动方向移动了角度  $\delta$ 。测量出角  $\delta$ ，就可以确定光速，因为地球沿轨道的运动速度是已知的。

现在我們利用圖 64 来解释光行差现象，在圖 64 上画出了地

球轨道的示意圖。設光从恒星  $S$  以速度  $C$  傳播开来，此恒星  $S$  位于地球轨道的軸的方向上；又地球沿轨道以速度  $v$ （指向为轨道的切线方向）运动着。

如果地球靜止不动，位于  $C_1$  或  $C_2$ ，則光將沿着方向  $SC_1$  或  $SC_2$  从恒星射到地球上。然而地球是依圖中箭头方向沿轨道运动着的，由于光行差，光線沿方向  $S_1C_1$  或  $S_2C_2$  从恒星射到地球上。換句話說，恒星在地球运动的方向上移动了角  $\delta$ ，这个角由下式确定：

$$\delta = \text{arc} \operatorname{tg} \frac{v}{c}$$

这样一来，位于地球轨道的軸向上的恒星，在一年內将在天球上描画出一个圆。其直径从地球上看来，所張角度为  $2\delta$ ；位于地球轨道平面內的恒星，将在天球上描出一个弧綫，从地球上看此弧綫段所張的角为  $2\delta$ ；位于其它方向上的恒星，一年內将在天球上描画出一个椭圓，在地球上看此椭圓的長軸，所張之角等于  $2\delta$ 。

角  $\delta$  可以直接測量出來，其值为  $20.5''$ ；又因为地球沿轨道运动的平均速度为 29.8 千米/秒，故得光速的值为：

$$c = \frac{29.8}{\operatorname{tg} 20.5''} \approx 3 \times 10^5 \text{ 千米/秒}.$$

到 1849 年，菲左完成了在地面上的条件下测定光速的實驗，这就是說，他所利用的光源是在地面上的。光束由光源  $S$  發出（圖 65），射到半鍍銀的平玻璃板  $A$  上，一部分从那里反射后，通过齒輪  $B$  的齒間空隙射到反射鏡  $C$  上，鏡  $C$  距齒輪的距离为  $L=8.68$  千米。从鏡  $C$  反射回来的光沿原路回到  $A$ ，并透过  $A$  到达觀察者的眼睛  $D$ 。在圖 65 中的透鏡，像通常一样，是用来会聚光線或使光綫变为平行光的。

使齒輪  $B$  轉动起来并逐渐增加其轉速，在轉動頻率到达某一

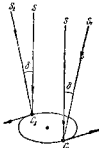


圖 64. 根據光行  
差確定光速

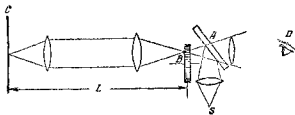


圖 65. 那次用来测定光速的装置简图

数值  $\nu_1$  时，观察者不再能看到光；而当频率繼續增加到一更大的频率  $\nu_2$  时，观察者就重又能看到光了。显而易见，这是因为在轉动频率  $\nu_1$  下，当光由齒輪  $B$  出發到了鏡  $C$  再返回来到达  $B$  处的时候，原来为齒間空隙的地方現在被齒輪齒所占据，因而遮断了反射回来的光；在轉动频率  $\nu_2$  下，当光返回时，原为齒間空隙的地方为相鄰的齒間空隙所占据，故反射光能被看到。由实验定出数据  $\nu_1$ 、 $\nu_2$ ，就可以依下式算出光速：

$$c = \frac{2L}{\frac{1}{2n\nu_1} - \frac{1}{n\nu_2}} = \frac{2L}{\frac{1}{n\nu_2}}$$

这里  $n$  为齒輪的齒数； $2L$  为光在齒輪与反射鏡  $C$  往返一次所走的距离；整个分母  $\frac{1}{2n\nu_1}$  或  $\frac{1}{n\nu_2}$  就是光往返一次所需的时间。

又过了十三年，佛科制成了一种装置，利用这个装置，他不仅測定了光在空气中的速度，而且还測定了光在水中的速度。这个方法的特殊价值正在于此，因为比較光在空气中的速度和在水中的速度，就可以肯定光的波动學說比起光的微粒學說来较为优越。測量的結果指明，光在水中的速度小于光在空气中的速度。

佛科用来測定光速的方法，关键在于利用一个旋轉鏡子来确定光通过某一定距离所需的时间。

圖 66 为佛科裝置的示意圖。圖中仅画出一条光綫来代替光束，而用来聚集光束的透鏡則根本沒有画出。由光源  $S$  發出的光，通过平玻璃板  $A$  后，射到鏡  $B$  上，在点  $O$  处反射，再到达鏡  $C$ 。

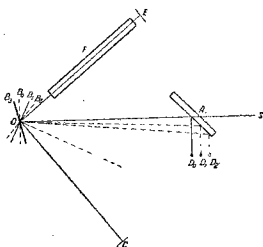


图 66. 佛科用来测定光速的装置简图

由镜  $C$  反射后, 沿原路回转至  $A$ , 一部分光由  $A$  反射在点  $D$ , 生成光源的像。然后, 令镜  $B$  绕垂直于圆面的  $O$  轴做很快的匀速转动。若当光线第一次由镜  $B$  反射时, 镜  $B$  位于位置  $B_1$ , 则当光线由  $C$  返回, 第二次由镜  $B$  反射时, 它已转到另一个位置  $B_2$ 。故第二次反射后的光线将沿另一条路进行, 并成像于  $D_1$ , 相对于原来镜不转动时在  $D_0$  所成的像有些移动。根据像的位移  $D_0D_1$  可以确定旋转镜的两个位置  $B_1$  及  $B_2$  间所夹的角, 再根据镜的旋转速度, 即可求得旋转镜由位置  $B_1$  到位置  $B_2$  所经过的时间, 以这个时间去除光线从第一次由镜  $B$  反射到重返至  $B$  所经过的路程 (即  $OC$  长的二倍——译者), 即可定出光的速度。总之, 根据像的位移  $D_0D_1$  与镜  $B$  的转动速度, 就可以算出光的速度。

为了比较光在水中的速度和在空气中的速度, 可以再装上一个固定的反射镜  $E$ 。光线在旋转镜位于位置  $B_2$  处时, 由旋转镜反射后射至  $E$ 。在  $B$  与  $E$  间装有一个充满水的管子  $F$ , 光线在  $B$  与  $E$  间往返时经过水中。由  $E$  反射后, 光线重射到旋转镜  $B$ , 这

时鏡已轉至位置  $B_1$ 。在鏡  $B$  上經過第二次反射以後的光，再射到  $A$  并反射成像於  $D_2$ 。光線由旋轉鏡  $B$  到固定的反射鏡  $E$  再返回來所需時間愈長，鏡  $B$  所轉過的角度就愈大，而所得到的像點  $D_2$  離開原來的像點  $D_0$  也就愈遠。實驗表明：光在水中進行一段路程所需要的時間，大於在空气中進行同樣長的路程所需要的時間。由此可見，光在水中的速度要比在空氣中的速度小。這樣一來，在水中的光速的測定結果，就與根據光的波動說所得到的結論相符合，而與根據微粒說所做出的結論相反。

1926 年，邁克爾孫改進了佛科的方法，以非常高的準確度測定了光的速度。邁克爾孫所測得的光速數值： $c = 299,796 (\pm 18)$  千米/秒，應該算是至今為止最準確的數字。這一數值為光在真空中速度，其最大誤差為 18 千米/秒，這就是說，根據邁克爾孫的測量，真正的光速應界於 299,778 與 299,814 千米/秒之間，但其最可能的值為  $c = 299,796$  千米/秒。

圖 67 為邁克爾孫的裝置簡圖。光從一個強力的電弧  $S$  發出，

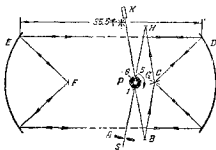


圖 67. 邁克爾孫用來測定光速的裝置

經過縫  $A$ ，射到八棱反射鏡  $P$  的反射面  $I$  上。反射後光再經過  $B, C$  兩個鏡的反射，然後射到一個很大的（直徑 60 厘米）拋物面鏡  $D$  上，再由  $D$  以平行光束的形式射至安裝在距

$D$  35.5 千米遠處的另一個拋物面鏡  $E$ 。鏡  $E$  將光反射到它的焦點，在這裡安裝有一面小鏡  $F$ ，重將光反射至鏡  $E$ 。光在鏡  $H$  上經過第二次反射之後，仍以平行光束的形式射回到鏡  $D$  上，並再度由鏡  $D$  反射，達到圖 67 中虛線所示的鏡  $G$ 。經過鏡  $G$  與鏡  $H$  的反射後，光線射到八棱鏡  $P$  的反射面  $s$  上，並由此射至觀察望遠鏡  $K$ ，形成小星狀的光源的

像。如果使棱鏡轉動起來，則只有當在光第一次由棱鏡面  $I$  上遭到反射再回至棱鏡的期間內，棱鏡準確地轉過八分之一周的時候（即反射面  $6$  轉到原來面  $5$  所在的地方時）才能在望遠鏡  $K$  中看到光。知道了棱鏡轉過這一角度所需時間及光線在這一段時間內所經過的距離，就可以定出光的速度。

在上述邁克爾孫的光速測定之後，又多次以不同的、準確度更高的方法測量了光速。1949年，別爾哥川德（Вергутранд）達到了空前的準確度，他得到在真空中的光速數值為  $c = 299,798$  千米/秒，其誤差範圍僅約為 1 千米/秒。

圖 68 為別爾哥川德實驗的示意圖。光源  $S$  放在拋物面鏡  $A$  的焦點，由  $S$  發出的光，經鏡  $A$  反射後成為平行光束，射至安放在距  $A$  約 7 千米遠處的鏡  $C$  上，再由  $C$  反射到另一個拋物面鏡  $B$ 。鏡  $B$  將光線會聚到它的焦點，在這裡放有一個光電管  $F$ 。利用一個特殊的裝置  $K$  使由  $A$  到  $C$  的光線強度以  $8.3 \times 10^6$  諸茲的頻率做周期性的變化（裝置  $K$  是利用克爾現象做成的，關於這個現象在 § 19 中將要談到），光電管的靈敏度也以同樣的頻率自動地改變。用一個慣性頗大的儀器來測量光電流，它來不及隨著光電流的振蕩而變動讀數，故只能讀出光電流的某種平均值。顯然，這一儀器的讀數有賴於射到光電管上的光強度的振動與光電管靈敏度的振動之間的周相差，而這個周相差則有賴於光從光源到光電管所經過的距離，亦即有賴於鏡  $C$  的位置。設當鏡  $C$  在某一位置時，儀器指出光電流的最大值，這時上述周相差應等於零。如果使鏡  $C$  從這一位置上再繼續移向（或離開）光源，儀器的讀數就又減少，當上述周相差等於  $\pi$  時減到最小值，然後重又增加。在鏡  $C$  移動了某个距離  $x$  時，周相差重變為零，而儀器的讀數又達到最大



圖 68. 別爾哥川德測定光速的裝置示意圖

值。显然可見，在光的强度振动的一个周期內，光所进行的距离为 $2x$ 。根据这些数据就可以計算出光的速度；但是，这样得到的結果并不准确，因为仪器讀数的最大值并不鮮明的表示出来，因而很难严格地确定最大值出現的时刻①。別爾哥川德在其1949年的实验中，采用了特殊的电路，用这个电路可以根据一个灵敏的电流計的零讀数确定光电流的最大值或最小值的出現（意即，只有在光电流达最大值或最小值的时候，此灵敏电流計的指針才指到零点——譯者）。利用这个“零讀数方法”，別爾哥川德以高度的准确性測定了光的速度。

把用各种不同方法測得的光速以及其所得結果的最大誤差做一个比較是很有好处的。这些結果在下表中列出。其中所列利用天文方法的測量結果，是按照現代的天文数据求得的。

測量方法	年代	光速的可能值(千米/秒)	最大誤差(千米/秒)
罗森法	1675	300770	2700
布米德雷法	1727	299640	750
齊左法	1849	300400	?
佛科法	1862	299000	2200
齊左法	1902	299870	220
佛科法	1902	299890	270
迈克尔孙法	1926	299790	18
別爾哥川德法	1949	299792.7	1.1

### § 13. 光的色散和吸收

光在不同媒質中的速度也不相同，且還与組成光波的电磁振动的频率有关，因而亦与其波長有关。这个現象称为光的色散。

如果使白光通过一个狭縫射到一个玻璃棱鏡上，棱鏡的棱安放得与縫相平行，则可以在棱鏡另一边的屏上看到一列光譜——即由全部所謂純光譜色的光線所組成的彩色光帶。靠折光棱鏡的

① “因而……”。为譯者所加。

頂角一侧的邊緣為紅色光線，然後依次為橙、黃、綠、青、藍諸色，最後，靠棱鏡的底面一侧，為紫色光線。如果把所有這些光線重新會聚在一個地方，我們就又得到白光。這是可以做到的，例如，使由棱鏡中穿出的光線再射到第二個棱鏡上，此棱鏡安放得與第一個相平行，但底與頂角的位置同第一個棱鏡相反。光線通過第二個棱鏡以後成為平行光束，利用一個柱形透鏡就可以將此光束會聚起來。這個光的分析及合成的實驗是牛頓第一次完成的，他指出：白光可以由各種顏色的光混合而成。

我們將光線析成光譜（圖 69）時在玻璃棱鏡中的行程與根據惠

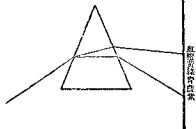


圖 69. 白光通過棱鏡時的分散

更斯原理對光的折射定律所做的解釋比較一下。顯然，白光的分散可以解釋為頻率及波長各不相同的波在玻璃中傳播速度不同的結果，也就是說，是玻璃對於這些波的折射率各不相同的結果。在經過射入棱鏡與射出棱鏡時的兩次折射之後，

各色光線偏折的角度不同。光的分散現象可以在光通過由任何一種透明物質所做的棱鏡時觀察到。更一般地說，在光從一種媒質射入折射率與此媒質不相同的另一種媒質時，就發生光的分散現象。這個現象就叫做光的色散。

由此可見，光在媒質中的速度以及媒質的折射率，乃是光振動的頻率的某種函數，因而也是光波的波長的某種函數。

作為例子，我們列出一種上等的光學玻璃對於某些可見光線的折射率的值（右表）。

由表中所舉出的數據可以明顯地看到，對於波長不同的光波，折射率的差別是非常小

波長，埃 $\text{\AA}$ ( $1\text{\AA} = 10^{-8}$ 厘米)	折射率
6563	1.5139
5890	1.5163
4860	1.5220

的。

順便指出，定性地說，在談到光譜的顏色時，通常只說光譜有上面說到的由紅到紫的七種顏色；眼睛可以分辨出近 150 種不同的光譜色，而實際上，光譜的顏色有無窮多種，亦即，光振動可以有多少種不同的頻率，光譜就可以有多少種不同的顏色。要定量地確定“色”，可以採用光振動的周期，或頻率，或波長，或所謂波數；波數就是波長的倒數：

$$N = \frac{1}{\lambda}.$$

除真空中，在所有的媒質中都有色散。在真空中，任何波長的電磁波都具有相同的傳播速度。觀察變星的“蝕”可以証實這個結論。這種星的亮度周期性地改變，其原因是由於它的不發光的行星周期性地遮蔽由它射向地球的光線。

舉例來說，我們觀察皮爾沙（Персея）星座中的阿高里（Андромеда）星。在 4 小時又 37.5 分的時間內，它的亮度減弱到近於原來的三分之一。然後其亮度又逐漸增加，在同樣的時間內恢復到原來的值，在其後 2 夜夜  $11\frac{1}{2}$  小時內，其亮度保持不變。這個星球到地球的距離為 120 光年亦即光從此星球射到地球上來，需要 120 年。如果光在真空中的速度因波長而異，比方說，如果紅光的速度大於紫光，那麼，當我們感到此星的亮度開始增加時，在達到地球的光線中，紅光應占絕大部分，而當此星的亮度將要減至最小值時，在射到地球的光線中，絕大部分應該是紫光。然而，事實上根本觀察不到任何光色的改變。因此應該得出結論，在由上述星球到地球的空間中，各種波長的光的傳播速度完全相同。

光在各種媒質中的色散應如何解釋呢？

這一現象的簡單解釋如下所述：透明物質一般說來是電介質。通過電介質的電磁波，迫使組成電介質原子的某些質點作受迫振動（如此振動主要是輕質點——電子，重質點——原子核實際上不

参与振动)。因此,在介质中产生垂直于光线的位移电流,亦即,介质交替地在垂直于光线的两个方向上周期性地极化。这些质点的运动就成为次级波的波源,此次级波叠加于原来的波上。由于质点的惯性,次级波在时间上比起原来的波要迟延一些,它叠加在原来的波上,就形成周相上落后于原波的合成波。在同样长的光路内,波长愈短的波,这种周相上的落后就愈多。因而,比起长波来,短波的速度就要减小得多些。

根据电子论及电磁理论可以对色散现象作出更严整的解释。电子论还考虑到介质质点的固有振动。从电学教程中大家知道,电介质在电场中要极化,极化的程度由极化矢量

$$P = Ne\gamma \quad (18-1)$$

来量度;此处  $N$  为单位体积内的电偶极子数目,  $e$  为电子的电荷,  $\gamma$  为偶极子电矩的臂。

极化矢量与电场强度以及介质的电极化率有下列关系:

$$P = \chi E, \quad (18-2)$$

而电介质的电极化率与介电系数由下列方程连系着(此方程的导出见电学教程):

$$\epsilon = 1 + 4\pi\chi, \quad (18-3)$$

麦克斯韦的理论给出了确定电磁波在媒质中传播速度的公式:

$$v = \frac{c}{\sqrt{\epsilon\mu}}.$$

由公式可知,传播速度取决于媒质的介电系数  $\epsilon$  及导磁系数  $\mu$ 。

因为折射率  $n$  等于光在真空中的速度与在媒质中的速度之比,故有:

$$n = \frac{c}{v} = \sqrt{\epsilon\mu}. \quad (18-4)$$

如果注意到所有透明媒质(也介质)的导磁系数都与 1 和差无几,则可将等式(18-4)改写如下:

$$n^2 = e_0 \quad (13-5)$$

再由关系式(13-1)、(13-2)及(13-3), 我们得到:

$$n^2 = 1 + 4\pi \frac{P}{E} = 1 + \frac{4\pi Ney}{E} \quad (13-6)$$

根据洛伦兹的理论, 在某一时刻离开平衡位置一个距离  $y$  的媒质质点——电子上, 作用着下述的力:

1. 由通过该处的电磁波的电场强度矢量而产生的力。这个力等于

$$f_1 = eE = eE_n \sin \omega t, \quad (13-7)$$

式中  $E_n$  为电场强度的振幅,  $\omega$  为角频率。

2. 力图使电子回到平衡位置的力  $f_2$ 。这个力被假定为“准弹性的”[亦即, 假定它像弹性力一样, 遵守着方程(1-10)],

这样,

$$f_2 = -m \frac{4\pi^2}{T_0^2} y = -m\omega_0^2 y, \quad (13-8)$$

其中  $m$  为电子的质量,  $T_0$  为电子的固有振动周期,  $\omega_0$  为电子固有振动的角频率。

3. 耗散力, 此力决定媒质对光的吸收。一般说来, 这个力非常小, 因此, 为简单起见, 我们将它略去。

4. 由附近的偶极子而来的力。这个力也可略而不计。

这样一来, 对媒质质点应用古典力学的定律, 我们就得到下列的微分方程式:

$$m \frac{d^2y}{dt^2} = eE_n \sin \omega t - m\omega_0^2 y, \quad (13-9)$$

即质量与加速度的乘积等于作用力。

此方程的解为:

$$y = \frac{eE_n}{m(\omega_0^2 - \omega^2)} \sin \omega t_0 \quad (13-10)$$

将所求得的  $y$  值代入式(13-6), 并约去  $E = E_n \sin \omega t$ , 就得到:

$$n^2 = 1 + \frac{4\pi Ne^2 E_0 \sin \omega t}{m(\omega_0^2 - \omega^2) E} = 1 + \frac{4\pi Ne^2}{m(\omega_0^2 - \omega^2)} \circ \quad (13-11)$$

但是，

$$\omega_0 = \frac{2\pi}{T_0} = \frac{2\pi c}{\lambda_0},$$

$$\omega = \frac{2\pi}{T'} = \frac{2\pi c}{\lambda}.$$

将这些值代入等式(13-11)，我們得到：

$$n^2 = 1 + \frac{Ne^2 \lambda_0^2}{m\pi c^2} \frac{\lambda^2}{\lambda^2 - \lambda_0^2} \circ \quad (13-12)$$

对于給定的媒質來說， $\frac{Ne^2 \lambda_0^2}{m\pi c^2}$  为一常数，引入符号  $K$  来表示它：

$$\frac{Ne^2 \lambda_0^2}{m\pi c^2} = K, \quad (13-13)$$

我們得到关于媒質折射率的公式：

$$n^2 = 1 + \frac{K \lambda^2}{\lambda^2 - \lambda_0^2} \circ \quad (13-14)$$

如果電介質中存在着若干質點組，其固有振動角頻率各為  $\omega_{01}, \omega_{02}, \omega_{03}, \dots$ ，與其相應的波長為  $\lambda_{01}, \lambda_{02}, \lambda_{03}, \dots$ ，則在公式 (13-6), (13-11) 及 (13-14) 的右端，1 后面所附加的將不是一項，而是有多少質點組，就有多少項。例如，在兩種質點的情況下，折射率的公式為：

$$n^2 = 1 + \frac{K_1 \lambda^2}{\lambda^2 - \lambda_{01}^2} + \frac{K_2 \lambda^2}{\lambda^2 - \lambda_{02}^2}, \quad (13-15)$$

这里  $K_1$  及  $K_2$  的值取决于單位体积中每一种質點的数目  $N_1$  及  $N_2$ ，以及对应于其固有振動頻率的波長  $\lambda_{01}$  及  $\lambda_{02}$ 。对于給定的電介質來說， $K_1$  及  $K_2$  为常数。

以电磁波波長平方  $\lambda^2$  除式(13-15)右端每一分数項的分子和分母，就得到：

$$n^2 = 1 + \frac{K_1}{1 - \frac{\lambda_{01}^2}{\lambda^2}} + \frac{K_2}{1 - \frac{\lambda_{02}^2}{\lambda^2}} \circ \quad (13-16)$$

在圖 70 上，繪出了  $n^2$  与  $\lambda$  对应于函数(13-16)的关系曲綫。

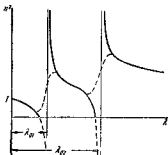


圖 70. 吸收区内折射率与波長的关系

由圖綫以及公式(13-16)中可以看到，随着波長  $\lambda$  的增加，折射率的平方  $n^2$  逐渐减小，但不連續点  $\lambda = \lambda_{01}$  及  $\lambda = \lambda_{02}$  除外。在断点附近的区域内，电磁波频率与質点固有振动频率之間的共振显示出影响。这时質点的振幅强烈地增加，因而，在公式(13-16)中未曾計及的耗散（“摩擦”）力的影响也就增大。在光譜中，对于这样的公式(13-16)不能适用的区间，觀察到的是吸收区域，在这里，电磁波所帶來的能量大部分轉变为分子的动能。

在吸收条紋与吸收条紋之間，我們看到正常的色散，这就是，波長較長的波对应于較小的折射率。当靠近吸收条紋时，折射率的值急剧地改变，在波長較長的方面，折射率变得很大，而在波長較短的方面，折射率减小。除对应于質点固有振动的波長附近的区间以外，波長与折射率的这个关系被實驗很好地証实。作为例子，在圖 71 上繪出了石英的色散曲綫，此曲綫左边陡峭的向上弯曲，表明在光譜的紫外区域中，存在着吸收条紋，其相当的波長稍短于  $2000\text{ \AA}$ 。在紅外区域中的吸收条紋位于圖中未包括的部位，其相当的波長約为  $25000\text{ \AA}$ 。

对于無線電技术中采用的、非常長的波，可以認為  $\frac{\lambda_{01}^2}{\lambda^2} \approx 0$ ， $\frac{\lambda_{02}^2}{\lambda^2} \approx 0$ 。在此情况下，根据(13-16)可得  $n^2 = 1 + K_1 + K_2$ 。亦即，

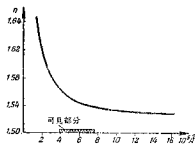


圖 71. 石英的折射率与光波波長的关系

折射率大于1且在实际上与波長無关。

对于那些非常短的、可以近似地認為  $\frac{\lambda_{\text{D}}^2}{\lambda^2} = \infty$ ,  $\frac{\lambda_{\text{C}}^2}{\lambda^2} = \infty$  的波，折射率將等于1，因为  $n^2 = 1$ 。由此可見，非常短的波在任何电介質中，都是以光在真空中速度傳播的，并且在通过一种电介質与另一种电介質的交界面时，不發生折射。后一結論已由对于倫琴射綫和 $\gamma$ 射綫的实验所証实。

可見光綫的正常色散在任何一种透明的無色电介質(石英、玻璃、水等)中都觀察得到。色散的程度，亦即光綫折射而形成光譜时的分散程度，用所謂色散中值来表示。色散中值就是相当于氳光譜藍綫( $\lambda_{\text{F}} = 4861 \text{ \AA}$ )和紅綫( $\lambda_{\text{C}} = 6563 \text{ \AA}$ )的兩种波長的折射率之差。有时用相对色散来估量色散。所謂相对色散，即色散中值除以相当于鈉光譜黃綫( $\lambda_{\text{D}} = 5890 \text{ \AA}$ )的波長的折射率与1之差所得的比值。相对色散的倒数，称为色散指数。

举例來說，对于本节开头时所提到的那种优等玻璃，色散中值为

$$n_{\text{F}} - n_{\text{C}} = 1.5220 - 1.5139 = 0.0081,$$

相对色散等于

$$\frac{n_{\text{F}} - n_{\text{C}}}{n_{\text{D}} - 1} = \frac{0.0081}{1.5163 - 1} = 0.0157,$$

色散指数則等于

$$\frac{n_{\text{D}} - 1}{n_{\text{F}} - n_{\text{C}}} = 64.$$

显然，較大的色散对应于較小的指数。

正如前面講过的，频率接近于媒質質点固有振动频率的电磁波，將引起这些質点的共振，而电磁波的能量將有頗大的一部分轉变为分子的动能，結果使得媒質变热。由此可見，波总要或多或少地被媒質所吸收。吸收的程度取决于波長以及波通过的媒質層的厚度与密度。吸收層的厚度和密度愈大，以及电磁波長和相当于

媒質質點固有振動的波長相差愈少，吸收就愈顯著。在所謂“選擇吸收”的情況下，關於色散的公式(18-16)不能適用，因為在它的推導中，沒有計算“耗散力”和附近偶極子的影響。如果注意到這些，則折射率平方與波長在吸收區間的關係，將與圖70中的虛線相合。在此情況下，較長的波將對應於較大的折射率，亦即將觀察到所謂反常色散。在吸收條紋以外， $n^2$ 與 $\lambda$ 的關係符合於圖70中的實線，因為“耗散力”與周圍質點的影響小得顯不出來。比較位於吸收條紋兩側，與吸收條紋直接毗鄰的波的折射率，可以看到，較長的波對應於較大的折射率。

J. C. 羅日捷文斯基院士發明了一種特殊的方法（這個方法以後再講），利用這個方法，反常色散的理論對於鈉蒸氣已得到証實。J. C. 羅日捷文斯基和他的學生活們對吸收區內的折射率所作的測定，証實了上述理論的正確性。

上面說到的選擇吸收，是物体具有顏色的基本原因之一。在固体和液体中，構成分子和原子的質點的固有振動頻率非常複雜，有時包括電磁波譜相當寬的一部分。如果這些頻率位於可見光譜上而不包括整個可見光譜，則物体看起來就成為有顏色的。

設白色光線通過某種媒質，這種媒質對於光譜上由綠到紫的藍色部分光線是透明的，但吸收其餘的光線，則通過媒質的光將為藍色的，其色彩取決於其中各種波長光線的比例。如果使通過上述媒質的光再通過另一種媒質，這種媒質吸收連續光譜上從青到紫的各色光，但允許由紅到綠的各色光線通過，則由媒質中穿出的光將是綠色的，因為只有綠光能通過兩種媒質而不被吸收，其餘的光不是被第一種媒質吸收了，就是被第二種媒質吸收了。

塗色物体的顏色，由它所不吸收的光色來決定。例如，倘若我們將許多物体分別塗以不同的單光譜色，而用鈉焰的光來照耀它們，則由於鈉焰只發出黃色光線，致使所有物体，除塗成黃色的以外，都表現為黑色的。

物体的颜色除了起因于选择吸收之外，还可能由于选择反射而引起❶。这种颜色称为“金属色”或“表面色”。金属以及某些由晶体中得到的颜料的颜色就是属于这一类的。作为例子，可以举出苯胺颜料，其晶体具有带金属光泽的绿色。使白光穿过这种颜料的溶液，透出的光线颜色是其补色——紫红色。金子的颜色是金黄的“表面色”，这种颜色的补色——绿色光线可被金子所吸收。很薄的金箔（厚度为千分之一毫米左右的），对住光源看时，就成为绿色的。在此情况下，没有被金箔反射的光线，并没被完全吸收（亦即通过薄金箔），呈现模糊的绿色。

无色的透明媒质，如石英、玻璃、水等，在可见光区之外，都具有选择吸收，而对于所有可见光线，则具有某种程度的普遍的吸收。单位时间内所吸收的可见光的能量，亦即光通量的减少  $dI$ ，正比于穿过媒质的光通量  $I$ ，以及光所穿过的媒质层厚度  $dx$ ；也就是说， $dI = -kIdx$ 。其中的负号表示，当  $dx$  为正时， $dI$  为负的（光通量减少）。解出这个微分方程，我们得到：

$$I = I_0 e^{-kx} \quad (18-17)$$

这一公式就表示光的吸收定律。此处  $I_0$  是进入媒质的光通量； $I$  是透过厚度为  $x$  的媒质层后的光通量； $k$  为媒质的吸收系数，其数值等于穿过厚度  $a=1$  的媒质层的光通量与原来光通量的比值的自然对数。在单位时间内，媒质质点在电磁波的作用下受迫振动而消耗于“摩擦”的能量，等于  $I_0$  与  $I$  之差  $I_0 - I$ 。

作为例子，我们举出几个数字：玻璃对可见光的吸收系数为  $0.01 \sim 0.08 \text{ 厘米}^{-1}$ （依玻璃种类而异），水对可见光的吸收系数为  $0.001 \text{ 厘米}^{-1}$ 。而空气则为  $2 \times 10^{-5} \sim 4 \times 10^{-5} \text{ 厘米}^{-1}$ （视空气的湿度而定）。

顺便指出，透过很厚的水层的光所以成为淡青色，乃是因为水

❶ 一般说来，水彩画颜色是由选择吸收形成的，而油画的颜色就是由选择反射形成的——译者。

对光谱红色部分的吸收稍大于对蓝色部分的吸收所引起的。

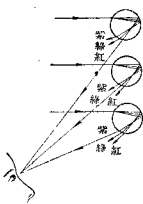


圖 72. 虹的生成

至于虹的生成可以解释如下：太阳光射入了小水滴之后，就如圖 72 所示那样，折射并分散成为光谱色；然后在水滴的背面發生全反射，再重新折射而穿出水滴。結果正如圖中所示那样，紫光在下而紅光在上。若光線經過兩次全反射，就形成二次虹（霓——譯者），其光色的排列相反。

在結束本节的时候，我們來談一下关于光谱分类的問題。

灼热固体或液体所發的光，分散后成为一个完整的光谱，其形式为一彩色的光带，各个不同顏色之間沒有鮮明的界限，一种顏色連續地轉变为另一种顏色。

由發光气体和蒸汽所發出的光，分散后所得到的光谱是由彼此分离的若干条綫組成的，这些綫分别位于光谱的不同部分。这样的光谱称为綫狀光谱；按其結構來說，这是最簡單的光谱。已經知道，形成綫狀光谱的光綫的發生，是由原子内部所进行的过程所引起的（以后將要講到）。每一种化学元素的光谱都有其自己的特点。如果在一个綫狀光谱中發現了某种元素的光谱綫，那么在生成此光谱的气态光源中，必定含有这种元素的原子。任何一种元素的光谱綫，都可以分为若干組，每一組称为一个光谱系。同一个光谱系中的譜綫，在波長較短的一側愈来愈互相接近，并具有某一边界，靠近这一边界的譜綫排列極密，最后彼此重叠起来。作为例子，在圖 78 上画出了氢的一个光谱系中譜綫的排列。在这些譜綫中，有五条位于光谱的可見部分，其相当的波長分別为 6565、4863、4842、4103 以及 8971 Å；其余的譜綫位于光谱的紫外部分。此光谱系的边界在圖中以虛綫表示，与其相应的波長为 8647 Å。

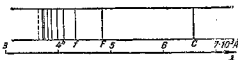


圖 73. 氢光譜的一部分

可以用不同的方法得到給出綫光譜的光。這些方法有：使電流通過裝有稀薄氣體的管子；或者將要研究的物質的鹽放在具有無色火焰的酒精燈燈芯上；或者，將電弧的碳極蘸以要研究的物質，然後使電弧發生。

在使用最後一種方法時，應設法遮住灼熱碳極所發出的光，不使它進入光譜儀的隙縫，因為碳極所發出的光給出連續光譜。

分子的光譜完全不像組成它的原子的光譜。在分子的光譜中，許多獨立的譜綫組成特有的集合；在每一個集合中，靠近一個邊緣的譜綫排列得非常密。光譜成為分離的帶的形式，每一條帶都有一个明顯的邊緣。因此，分子的光譜稱為帶光譜。

利用下述的方法可以得到吸收光譜。使由光源發出的白光（其光譜是連續的），通過待研究的媒質，射入分光儀或其它觀察光譜的儀器，這時，在連續光譜的背景上，可看到若干黑暗的綫或帶。根據它們的排列情況，可以推斷是什麼物質吸收了光。太陽光譜就是吸收光譜的例子，其中的暗綫稱為夫琅和費綫，這些綫的產生是太陽附近和地球附近的大氣吸收了太陽光中某些射綫的結果。

對發射光譜和吸收光譜的研究，可以作為極靈敏的定性分析方法。對光譜綫亮度的研究，使我們可以運用這個方法到定量分析上去。

## § 14. 辐射

### A. 繼續光譜與輻射定律

在前一節中曾經提到：從灼熱的固體或液體所得到的光，在分解時呈現出的光譜是連續的。無論發光時的溫度如何，在所發出

的光中都存在着各种可能波長的波。然而，相應于光譜各个部分的能量所占的比例却与幅射物体的温度有关。这样的幅射称为热幅射，因为它在量上和質上都取决于温度。对于大多数不透明的物体，如金属和碳，在温度为  $600\sim 700^{\circ}\text{C}$  时，绝大部分的辐射能分布于光譜的紅外部分和紅色部分（赤热）。在此情形下所發出的較短的波能量極小，以至于我們的眼睛感覺不到它們。当进一步加热时，可見光的能量增加，物体所發出来的光成为白色的（白热）。由此可見，温度的升高不仅一般地增加了辐射能的数量，而且还改变了各种波長的辐射能之間的比例关系。当温度低于  $800^{\circ}\text{K}$  时，甚至由辐射物体發出的紅色光線，能量也小得不足以为人的眼睛感覺出来。在这样的温度下，只有紅外線可以用專門的仪器察覺出来。

由此可見，在辐射的光譜中，能量在各种波長間并不是均匀分布的。不同的物体，这种分布也不相同，比較透明物体表面和不透明物体表面的辐射就可以証明这一点。例如，当温度为  $800^{\circ}\text{K}$  时，在石英表面所辐射的光流中，用眼睛就感覺不到可見光。

为了描述各种物体的辐射，我們引入下面兩個量：1) 积分辐射本領，2) 單色辐射本領。

积分辐射本領  $I$ ，就是物体 1 秒鐘內所辐射的各种波長的光流总能量  $\Phi$ （以功率單位，如尔格·秒 $^{-1}$ 、瓦特等來量度），与辐射物体的表面  $S$  的比值，即

$$I = \frac{\Phi}{S}.$$

对应于波長  $\lambda$  的單色辐射本領  $I_{\lambda}$ ，就是物体 1 秒鐘內所辐射的光流中，波長在  $\lambda$  与  $\lambda + d\lambda$  之間的这一部分光波的能量  $d\Phi$ ，与波長間隔  $d\lambda$  及辐射表面  $S$  的比值，亦即

$$I_{\lambda} = \frac{d\Phi}{d\lambda \cdot S}.$$

积分辐射本領与單色辐射本領的关系如下：

$$I = \int_{\lambda=0}^{\lambda=\infty} I_\lambda d\lambda.$$

理論和實驗的研究都指出，熾熱物体的單色輻射本領是波長與溫度的某種函數。對於不同的物体，此函數也不相同。

除單色輻射本領外，用來表征輻射物体表面性質的還有單色吸收系數。單色吸收系數就是射到物体表面上的單色光流的能量中被吸收的百分數。這個系數也依賴於波長與溫度，是它們的某種函數，對於不同的物体，函數不同。

基爾霍夫在上一世紀中叶得出了一个定律，这个定律是热輻射的基本定律之一，称为基爾霍夫定律，其內容可以陈述如下：“在同样的溫度之下，所有各种物体对相同波長的單色輻射本領与單色吸收系數之比都相等；这一比值的大小取决于波長与溫度”。

这样，我們有

$$\frac{I_\lambda}{a_\lambda} = f(\lambda, T), \quad (14-1)$$

式中  $a_\lambda$  为單色吸收系數。

为了导出这个定律，我們設想有一个容器，与周圍的媒質熱絕緣；比方說容器由既不導熱，又不透明的壁封閉起來。設容器壁的溫度為  $T$ ，如果把任何一个溫度不等于  $T$  的物体放入容器內，則經過若干時間後，容器壁與物体之間就達到熱平衡，亦即，物体和容器壁將具有同样的溫度，比如說是  $T_1$ 。从容器壁射到物体上的輻射線，在一般情況下，將有一部分被吸收，一部分被反射。除此而外，这个物体也將發射出与其單色輻射本領相適應的輻射能。在達到熱平衡後，因为物体的溫度保持不变，故物体發射的功率與其吸收的功率應該相等。由此可知，此物体的單色輻射本領應正比于其單色吸收系數；因为否則的話，物体的溫度將發生改變，這與熱平衡相違背。

可以設想这样一种物体，它吸收落在它上面的所有輻射，既不透過也不反射任何射線。这样的物体称为絕對黑体，或称完全輻

射体。对于絕對黑体，應該認為

$$a_{\lambda} = 1 \quad (14-2)$$

在自然界中并不存在着性質完全相同于絕對黑体的物体。但用人工方法可以制造这样的辐射体，它的辐射近似于絕對黑体的辐射。为达此目的，应設法使物体能完全吸收落于它上面的全部射線。开在一个封闭的容器上的小孔（圖 74），就可以作为这样的“物体”。凡射入小孔  $S$  的射線，只有在經過許多多次的反射之后，才能够再射出来。如果將容器加热到某一温度，小孔  $S$  就成为辐射源，其辐射与絕對黑体的辐射非常近似。改变容器加热的程度，就可以研究各种不同温度下的辐射。

研究上述小孔  $S$  的辐射，可以确定絕對黑体的單色辐射本領。我們知道，任何一个物体的單色辐射本領  $I_{\lambda}$  都是波長与溫度的某种函数，絕對黑体的單色辐射本領——我們用  $I_{0\lambda}$  来表示它——也是这样。在性質上与絕對黑体相似的物体有烟炱，它对于各种波長的吸收系数都約等于 0.98。

將基尔霍夫定律应用于絕對黑体，我們得到：

$$\frac{I_{\lambda}}{a_{\lambda}} = \frac{I_{0\lambda}}{1} = f(\lambda, T) = I_{0\lambda} \quad (14-3)$$

知道了函数  $f(\lambda, T)$ ，或者（同样地）說知道了函数  $I_{0\lambda}$ ，再用實驗測出物体的吸收系数  $a_{\lambda}$ （这是容易作到的），就可以求出該物体的辐射本領  $I_{\lambda}$ 。

在上一世紀，有許多学者致力于上述函数的确定，特別應提到莫斯科的教授 B. A. 米哈里孙，他首先求得这一函数的近似形式。

絕對黑体的單色辐射本領与溫度之間的关系，已由斯忒藩和玻耳茲曼从理論上推导出来，这一关系就称为斯忒藩-玻耳茲曼定



圖 74. 絶對黑体

律。此外，維恩也根据理論，求得了对于最大的單色輻射本領的波長依赖于温度的关系。这个关系就叫做維恩位移定律。从数学分析上来确定函数  $I_{0\lambda}$  却很久沒有做到。直到 1900 年，普朗克才根据他所引入的假設，导出了絕對黑体單色輻射本領（即函数  $I_{0\lambda}$ ）的表示式。普朗克的假設就是：輻射能的發射和吸收都不是連續地，而是一分一分地进行的，每一分能量称为一个量子。函数  $I_{0\lambda}$  就叫做普朗克函数，其形式如下：

$$I_{0\lambda} = \frac{c_1}{\lambda^5} \cdot \frac{1}{e^{\frac{c_2}{\lambda T}} - 1}, \quad (14-4)$$

其中  $e$  为自然对数的底； $c_1$  及  $c_2$  为恒量， $c_1 = 2\pi\hbar c^2 = 3.74 \times 10^{-5}$  尔格·厘米<sup>2</sup>/秒， $c_2 = \frac{hc}{k} = 1.438$  厘米·度； $c = 3 \times 10^{10}$  厘米/秒为光速， $k = 1.38 \times 10^{-16}$  尔格/度是玻耳茲曼恒量，最后， $\hbar = 6.62 \times 10^{-27}$  尔格·秒是普朗克恒量。

求普朗克函数(14-4)从  $\lambda=0$  到  $\lambda=\infty$  的积分，就得到絕對黑体的积分輻射本領，亦即斯忒藩-玻耳茲曼定律的表示式：

$$I_0 = \int_0^\infty I_{0\lambda} d\lambda = \sigma T^4, \quad (14-5)$$

此处  $\sigma$  是一个恒量，其值为  $\sigma = \frac{1}{16} \frac{\pi^4 c_1}{c_2^5} = \frac{2\pi^5 k^4}{15c^2 h^3} = 5.67 \times 10^{-5}$  尔格/厘米<sup>2</sup>·秒·度<sup>4</sup>。

斯忒藩-玻耳茲曼定律說明：絕對黑体每 1 厘米<sup>2</sup> 所發射的所有各种波長的波的总功率，与絕對温度的四次方成正比。

如果求出普朗克函数(14-4)对  $\lambda$  的微商，并令其等于零，求得确定此函数極大值的条件，就得到維恩第一定律，亦即維恩“位移定律”的表示式：

$$\lambda_u T = C, \quad (14-6)$$

此处  $C$  为一恒量，等于  $C = \frac{c_2}{4.9651} = 0.2897$  厘米·度，其中的

4.9651 是超越方程  $e^{-x} + \frac{x}{5} - 1 = 0$  的根；这个方程是函数  $I_{\lambda\lambda}$  为極大值的条件，其中  $x = \frac{c_2}{\lambda T}$  ①； $\lambda_m$  就是对应于單色輻射本領最大值的波長。

維恩第一位移定律可以陈述如下：絕對黑体的具有最大單色輻射本領的波長，反比于絕對温度。

如果以  $\lambda_m = \frac{C}{T}$  代入普朗克函数，作为  $\lambda$  的值，就得到表明絕對黑体的最大單色輻射本領与溫度間关系的公式，这就是維恩第二定律：

$$(I_{\lambda\lambda})_{\text{最大}} = C' T^3. \quad (14-7)$$

这里  $C' = \frac{c_1}{C^5} \left( e^{4.965} - 1 \right)^{-1} = 1.29 \times 10^{-4}$  尔格/厘米<sup>3</sup>·秒·度<sup>5</sup>，为一恒量。

这样，維恩第二位移定律就是說：絕對黑体的最大單色輻射本領，与絕對温度的五次方成正比。

在圖 75 上繪出了普朗克函数在不同溫度下的曲綫，其縱坐标分別表示在溫度为  $2000^{\circ}\text{K}$ ,  $1600^{\circ}\text{K}$ ,  $1200^{\circ}\text{K}$  和  $800^{\circ}\text{K}$  时，絕對黑体的單色輻射本領。曲綫下面所圍的面积表示积分輻射本領；正如斯忒藩-玻耳

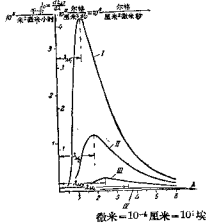


圖 75. 不同溫度下的普朗克函数圖綫

I.  $T = 2000^{\circ}\text{K}$ , II.  $T = 1600^{\circ}\text{K}$ ,  
III.  $T = 1200^{\circ}\text{K}$  IV.  $T = 800^{\circ}\text{K}$

① “这个方程是……，其中  $x = \frac{c_2}{\lambda T}$ 。”等字为译者所加。以  $x$  代 (14-4) 中的  $\frac{c_2}{\lambda T}$ ，求其对  $x$  的微商，再令此微商等于零，就得到上述超越方程。

茲曼定律所給出的，第一条曲綫下的面积是第四条曲綫下面积的  $2.5^4 \approx 39$  倍，第二条曲綫下的面积是第四条曲綫下面积的  $2^4 = 16$  倍。第一条曲綫的最大縱坐标和第二条曲綫的最大縱坐标依次为第四条曲綫的  $2.5^5 \approx 97.7$  倍和  $2^5 = 32$  倍，正如維恩第二定律的結論一样。而第一条曲綫和第二条曲綫的对应于最大縱坐标的横坐标，依次是第四条曲綫的  $\frac{1}{2.5}$  和  $\frac{1}{2}$ ，这是維恩第一定律的結論。

根据辐射定律，可以建立测定高温的光学方法。

对于絕對黑体來說，只要測出它每 1 厘米<sup>2</sup> 表面 1 秒鐘內所發射出的辐射通量，就可以根据斯忒藩-玻耳茲曼定律計算出它的溫度。

將同样的方法应用于非絕對黑体，所測得的溫度称为物体的輻射溫度。非絕對黑体的輻射溫度低于它的实际溫度；要确定它的实际溫度，須以  $\sqrt[4]{K_1}$  除其輻射溫度，此处  $K_1$  是一个真分数，就是在所量溫度下，物体的积分辐射本領  $I$  与絕對黑体的积分辐射本領  $I_0$  之比。在下表中列出了几种物質在  $T=1500^\circ\text{K}$  时，系

$$\text{数 } K_1 = \frac{I}{I_0} \text{ 的值。}$$

在不同的溫度下，系数  $K_1$  的值也不相同。例如，对于鎢來說，在  $T=2500^\circ\text{K}$  时， $K_1=0.29$ ；而在  $T=3500^\circ\text{K}$  时， $K_1=0.84$ 。

也可以用另一种办法来測量絕對黑体的溫度。这个办法就是研究其辐射譜中的能量分布，找出相当于最大單色辐射本領的波長，再根据維恩第一定律求出其溫度。

这一种測量溫度的方法只适用于辐射譜中能量分布与絕對黑体辐射譜中的能量分布一样的物体。这样的物体称为“灰色”物体。属于这类物体的有炭、金屬的氧化物以及某些合金，例如鎳鉻合金等。用这种方法所測定的非絕對黑体的溫度，称为色溫度。

物質	$K_1$
銀	0.04
鐵	0.11
錫	0.15
銅	0.18
氧化鈷	0.54
氧化鐵	0.80
碳	0.52

在工业上常常利用光测高温计来测定高温。光测高温计有各种不同的类型，其中之一如图 76 所示。此仪器的主要部分是一个望远镜筒，在它的焦面处装有一个白炽灯。将镜筒对住辐射源，例如对住炉门上的小孔，从目镜中看去，在炉门小孔的背景上；看到白炽灯的灯丝，此灯丝是由蓄电池的电流来烧热的。利用变阻器调整电流的强度，可以使灯丝成为看不见的。在此情况下，灯丝的亮度与炉门小孔的亮度相同。仪器的刻度工作要预先做好，亦即，要预先确定相当于在不同绝对黑体温度下看不见灯丝时的电流强度①。

显然，这样一来，根据白炽灯电路中安培计的读数就可以确定辐射源的温度。

使用这种仪器时，通常是就波长为  $6600 \text{ \AA}$  的单色光来比较灯丝与辐射源的亮度的②，但有时也应用其它波长。用这种方法所测得的温度，称为比亮温度。

如果需要测定温度的辐射源不能够看做绝对黑体，则所量得的结果必须加以修正，修正的程度取决于该物体在该温度下对波长  $6600 \text{ \AA}$  的波的辐射本领。

非绝对黑体的单色辐射本领  $I_\lambda$  普遍地小于绝对黑体的单色辐射本领  $I_{\lambda\alpha}$ ，它们的比值依赖于温度、波长以及物体的性质。此比值永远是真分数，并称为物体的黑度。

在下表中列出了某几种物质对波长  $6600 \text{ \AA}$  的波的单色辐射本领与绝对黑体对同样波长的单色辐射本领的比值  $K$ 。

① 这里的意思就是：先用其它方法确定绝对黑体的温度，再用此仪器来观察绝对黑体，记下灯丝消失时的电流强度，这一电流强度就相当于已知的绝对黑体温度，重复若干次后，就完成了仪器的刻度——译者。

② 这是容易做到的，只要在目镜前面装上一个只容许所选波长通过的滤光镜就可以了。图中已经画出了这个滤光镜——译者。

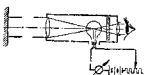


图 76. 光学温度计

物 质	温度 $T^{\circ}\text{K}^*$	$K_2$ (黑度)	物 质	温度 $T^{\circ}\text{K}^{**}$	$K_2$ (黑度)
氧化 铁	1500	0.92	镍铬合金	1500	0.80
	1300	0.95		1200	0.90
	1100	0.98		900	0.95
氧化 铝	1500	0.85	固 体 钼	熔点(1774)	0.33
	1100	0.96	液 体 钼	附近	0.38
铁	熔点	0.86	银	熔点(960.5)	0.05
碳	2500	0.84	固 体 金	1000	0.18
	1500	0.89	陶 瓷	700~1000	0.25~0.50

\* 原书此处为  $T^{\circ}\text{C}$ , 似误——译者。

\*\* 同上

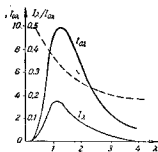
知道了物体的比亮温度以后, 可以根据普朗克公式计算出它的实际温度。为简单计, 我们将公式(14-4)分母中的 1 略去不计, 结果就得到:

$$\ln K_2 = \frac{c_2}{6.6 \times 10^{-5}} \left( \frac{1}{T} - \frac{1}{T_{6000}} \right), \quad (14-8)$$

其中  $T_{6000}$  为光测高温计所量得的比亮温度。

显然, 对于绝对黑体来说, 辐射温度、色温度以及比亮温度, 都等于它的真正温度。

为了比较起见, 在图 77 上给出了温度为  $2450^{\circ}\text{K}$  时, 绝对黑



(以微米为单位)

图 77.  $T = 2450^{\circ}\text{K}$  时的绝对黑体与钨的辐射本领曲线

体和钨的单色辐射本领的图线, 图中单位是任意的。上面的曲线属于绝对黑体, 下面的曲线属于钨。虚线所表示的是同一温度下, 钨的单色辐射本领  $I_w$  与绝对黑体单色辐射本领  $I_{0\lambda}$  的比值, 即钨的黑度。由曲线可以看到: 随着波长的减小, 亦即随着向光谱可见部分的趋近, 钨的单色辐射本领逐渐增加。再注意

钨的熔点很高, 就可看到, 这种金属适合于用来制造白炽灯中的灯

絲。

### B 热辐射的技术应用

热辐射的最重要的应用之一就是利用它来做人工光源：电弧和白熾灯。这两种光源都是在俄罗斯發明的。电弧是由 B. B. 彼得洛夫在十九世紀初所發明的，他还指出这一現象可以用于照明。但用电弧来照明的办法只是在俄国工程师 П. Н. 雅卜洛奇柯夫的下列發明完成之后才得到較普遍的采用。雅氏的發明是：1) 变压器，利用它可以將由同一电源所得到的电能分配給各个用电器具。2) 一种新的方法，可不必再不断地調节电弧兩極間的距离。在“雅卜洛奇柯夫燭”中，电弧的两个碳極平行的安置着，在二者之間夾有一層絕緣体——白瓷土，它隨着电弧的燃烧而蒸發。在自動調节碳極間距離的方法發明之后，雅卜洛奇柯夫燭曾得到相当广泛的傳播和应用，直到白熾灯出現。

电弧（更正确地說，陽極噴火口）是具有很小發射表面的強烈光源，因此被广泛地用来作为探照灯和投影装置的光源。对于日常生活中的照明來說，除特別寬廣的房間或街道、廣場外，电弧不大适合，因为它的光过于强烈。

在日常生活中用来照明的几乎全部是白熾灯。

白熾灯是俄罗斯科学家 A. H. 罗德金在 1872 年所發明的。第一次用做光源的白熾灯模型是一段很精細的碳棒，放在一个玻璃圓筒的軸綫处，圓筒的兩端用金属蓋封起来。用来关灯的裝置是一根金属条，它可以使电灯的线路在两个金属蓋之間短路。进一步的改良是在一个玻璃筒內裝入兩根碳棒，其中一个燒坏之后，筒中的氧气就消耗掉了，第二根碳棒就在剩下的氮氣中來工作。

在后来的模型中，罗德金采用了球形的玻璃泡，在其中裝入好几条碳棒，并抽去其中的空气。在一根碳棒燒坏之后，可以換用其中另一根。这种型式的白熾灯已能工作數十小時，然后再將它拆开，把燒坏的碳棒换成新的。在建筑彼得堡的里杰桥（Литейный

MOET)时，曾采用这样的灯为水底工作来照明。罗德金灯第一次用于街道照明是在1873年的秋季。

罗德金白熾灯的实际应用証明它基本上适用于照明。在1874年，科学院为了这个“可能引起照明技术巨大变革的”發明，授予了A. H. 罗德金以罗蒙諾索夫命名的獎金。

在第一批工業化了的白熾灯中，是由熾热的碳絲來發光的，碳絲的溫度約為  $T = 2100^{\circ}\text{K}$ 。溫度的提高会使碳絲迅速蒸發而燒坏。

白熾灯的进一步改良是利用難熔金屬——鎢、鉑等来做燈絲，这样就可以提高燈絲灼熱的溫度，因而也就增強了燈所發出的光。

用金屬來做燈絲的白熾燈也是 A. H. 罗德金所發明的。在1890年，罗德金就取得了这种灯的專利証。

最經濟的白熾燈是用鎢來做燈絲，封入玻璃泡內，其中充以與金屬絲不發生化學作用的氣體，如氬氣或氮氣。这种白熾燈的燈絲溫度可以熱到  $T = 2900^{\circ}\text{K}$ ，而其所發出的光，較碳絲白熾燈亮達6~7倍。所以在燈泡中充以氣體，是因为這樣可以減弱金屬的蒸發，增長燈絲的工作期限。

### B. 光學量及其單位

在結束這一節的時候，我們來討論一下最主要的光學量以及它們的量度單位，因為它們與絕對黑體的輻射有着量的聯繫。

首先，讓我們強調指出：所有的光學量都只是對於人眼所能感覺到的光線而說的。眼睛最敏感的波長約為  $5560 \text{ \AA}$ ，此波長在光譜上位於黃色部分和綠色部分的交界處。波長為  $4000 \text{ \AA}$  的光線和波長為  $7340 \text{ \AA}$  的光線，對於人眼所引起的感觉强度如果與波長  $5560 \text{ \AA}$  的光線相當時，它們的輻射功率必須是後者的2500倍左右。不同的人所能看到的波長界限不尽相同，普通為  $3800 \text{ \AA}$  到  $7600 \text{ \AA}$ ，但已經知道，有人可以看到波長在  $9000 \text{ \AA}$  以上的光。

由光源傳播出來的輻射的功率就是光通量  $\Phi$ 。由點光源所發

出的，在單位立体角內的光通量，称为光源的平均發光强度  $I$ ，亦即：

$$\Phi = \frac{dL}{dt}, \text{ 及 } I = \frac{\Phi}{4\pi},$$

此处  $L$  为光的能量。

被取做基本光学單位的是光流量的單位，称为流明。1 流明就是由面积为  $\frac{1}{60\pi}$  厘米<sup>2</sup> 的絕對黑体在鉑的凝固温度下所發出的光通量。

光的能量等于以流明計算的光通量与時間（以秒或小时計算）的乘积。由此可見，光能的單位为流明·秒、流明·小时、千流明·小时等。

光源的發光强度取决于它所發出的光通量。發光强度的單位为燭光：点光源在某个方向的發光强度为 1 燭光，就是說在此方向，光源所發出的每單位立体角内光通量等于 1 流明。

射到物体表面上每單位面积的光通量，称为該表面的照度。通常采用的照度單位有两种，一种叫勒克司，一种叫輻透。1 勒克司等于 1 流明的光通量均匀地射到 1 平方米的面上所产生的照度。1 輻透等于  $10^4$  勒克司。

發光平面在与它垂直的方向上的發光强度与平面面积的比，称为發光平面在此方向（即与平面垂直的方向）上的亮度。亮度的單位为熙提：若發光面 1 厘米<sup>2</sup> 面积在与其垂直的方向上的發光强度为 1 燭光，此發光面的亮度就是 1 熙提。

波長为 5560 Å 的單色光，每 1 流明的光通量約相当于 16000 尔格/秒的功率。1 流明的白光的光通量则相当于 46000 尔格/秒的輻射功率。

要看得見道路需要 0.1 勒克司的照度。讀書則需要 20~30 勒克司的照度。在夏季晴天太陽下的露天里，照度的数量級达 100000 勒克司。滿月所产生的照度約 0.2 勒克司，無月的星空所

产生的照度約  $3 \times 10^{-3}$  勒克司，天狼星所产生的照度約  $9 \times 10^{-6}$  勒克司。

我們再舉出一些光源的亮度來作為例子。

黑暗中，在完全黑的背景上，能够看得見的最小亮度.....	$10^{-11}$ 級提
汞膽蠟燭.....	0.5 級提
真空白熒光的鎢絲在標準溫度下的亮度.....	150 級提
充氣白熒光中的螺旋形鎢絲.....	500 級提
碳極電弧的噴火口.....	15000 級提
超短波燈的電弧噴火口的中心部分.....	145000 級提
太陽.....	150000 級提

各種輻射物質作為人工光源的經濟性，應根據其發光效率，即它每一瓦特的輻射功率發出多少流明的可見光來評價。正如維恩定律所指出的，光源的溫度愈高，其發光效率也就愈高。最大能量愈靠近光譜的可見部分，光源的發光效率就愈高。在下表中列出了幾種輻射體在溫度為  $1700^{\circ}\text{K}$  時和  $2160^{\circ}\text{K}$  時的發光效率數值。

輻射物體	$1700^{\circ}\text{K}$	$2160^{\circ}\text{K}$
絕對黑體.....	0.33 流明/瓦特	2.8 流明/瓦特
碳.....	0.41 流明/瓦特	3.5 流明/瓦特
鎢.....	0.59 流明/瓦特	4.4 流明/瓦特

光源的經濟性決定於它每消耗 1 瓦特功率發出多少流明的可見光，這就是光源的發光效率。例如，50 瓦特的碳絲白熒光的發光效率為 2.5 流明/瓦特，而鎢絲白熒光則為 10 流明/瓦特。

### § 15. 光的反射和光壓

射在物体的光，有一部分既沒有被物体吸收，也沒有通過物体，而是在物体表面上遭到了反射。如果物体表面是理想的光滑，則發生鏡反射，這時反射角與入射角相等。如果表面是粗糙的，則光線被反射到各个方面上去，亦即發生漫反射。也可能發生中間

的情况，即一部分光线被镜反射，而另一部分被漫反射。

镜反射的程度可以用反射系数  $R$  来表征。反射系数就是反射光强度与入射光强度的比值。当反射是发生在两种无色透明媒质（玻璃、水、石英等）的界面上时，反射系数的数值，取决于这两种媒质的折射率。

反射系数的值在从 0 到 1 的范围内，对于完全吸收光的表面来说，反射系数为 0，对于完全反射光的表面，反射系数为 1。

菲涅耳从光的波动理论出发，导出了一个公式，根据这个公式可以算出两种介质分界面的反射系数，只要知道了这两种介质的折射率。这一公式将在 § 19 中表述。

如果光线射到磨光的金属表面上，则反射将不遵守菲涅耳公式，因为金属实际上，甚至在厚度只有 1 微米时，也是不透明的。当反射是“金属的”的时候，反射系数达到很大的数值。例如，对于镍，反射系数为 0.6；对于锡汞齐，为 0.7；对于银，为 0.92。当反射面的状态发生改变时，反射系数的值也显著的变化。除此以外，正如我们已经讲过的，金属的反射具有选择性，金属表面的颜色就是这样形成的。

用来覆盖镜子反射面的汞齐和银的反射系数，对可见光来说，与波长的关系很小，但波长增加时，反射系数还是有些增加的。对于不可见的紫外光来说，反射系数显著地随着波长的减短而减小，直减少到原来的百分之几。金属表面的反射系数差不多与入射角无关。

当光线照射到无光泽的表面上时，若表面的不平滑的程度显著地超过了波长，则镜反射实际上观察不到。在此情况下，光线从这个表面的面上反射到各个方向去而形成漫反射。漫反射的光的强度与入射光强度的比值，称为表面的反照率。

目前我们不讨论关于全反射现象的问题，这个问题将在下一节中研究。这里我们只指出，当反射为全反射时，反射系数的值等

于 1

当光流射到吸收光的表面或反射光的表面上时，将给予表面以压力。

我們記得，根据光的电磁理論，光是电磁波，其中电場强度矢量  $E$ （圖 78）与磁场强度矢量  $H$  相垂直，二者又都垂直于光綫  $SO$ 。

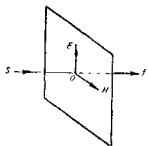


圖 78. 矢量  $E$ 、 $H$  和光  
压的方向

例如，若在某一时刻，电矢量  $E$  铅直向上，则在这一时刻的磁矢量  $H$  将水平地指向右方，如圖 78 上所示的那样。当光綫射到某一表面上时，电场就在这个表面上引起位移电流。此电流是由组成表面分子的带电微粒的位移形成的。带正电的微粒将沿着电场  $E$  的方向（向上）發生位移，而带负电的微粒将沿着相反的方向（向下）發生位移。

根据电学中著名的洛伦兹公式，磁场对这两种微粒都有作用力（圖中的  $f$ ），这个力垂直于磁场和微粒的速度，力的方向可以用“左手三指定則”确定。很容易看出来，由于带正电的微粒和带负电的微粒运动方向相反，所以它们受到的力沿着同一个方向，此方向即光綫的方向。这样，当光綫射到表面上时，表面就要受到沿光綫方向的压力。

从量子論的观点看来，光流就是量子流；或者，照現代的說法，光流是光子流。光子具有动量。每一个光子，当它撞击到与其速度垂直的壁上时，它或者被吸收，或者被反射；吸收时光子损失了它的动量  $L$ ，而反射时光子的动量改变了  $L - (-L) = 2L$ 。由此可見，当光子射到完全吸收光的壁上时，它得到的冲量为  $L$ ；而当光子射到完全反射光的壁上时，它所得到的冲量则为  $2L$ 。光通量  $\Phi$  垂直射到一面积为  $S$  的壁上时，将给予壁一个压力，这个力的大小等于 1 秒鐘內落于壁上的光子数  $N$  乘上量  $L$  或者  $2L$ ，視壁完全

吸收光或完全反射光而定。設壁為完全吸收光的①，若每一光量子的能量為  $\epsilon$ ，則

$$F = \frac{\Phi}{\epsilon} L_0 \quad (15-1)$$

光對壁的壓強應等於總壓力與壁面積  $S$  的比值。故當壁完全吸收光時，壓強為

$$P = \frac{\Phi \cdot L}{S \cdot \epsilon} \text{。}$$

如果壁完全反射光，則有，

$$P = \frac{2\Phi \cdot L}{S \cdot \epsilon} \text{。}$$

如果壁的反射系數為  $R$  ( $1 > R > 0$ )，則

$$P = \frac{\Phi \cdot L}{S \cdot \epsilon} (1 + R) \quad (15-2)$$

在此式中出現了光子動量與它的能量的比，這個比值可以確定如下。

運動物体的動能的增量與其動量的增量有着下述關係：  
 $d\left(\frac{mv^2}{2}\right) = v d(mv)$ ，亦即  $dW = v dL$ 。將這個關係式應用於行進着的光子，並注意光子的速度為一恒量——光速  $c$ ，我們就得到微分方程  $dc = c dL$ ；積分它，得  $\epsilon = cL + C$ ，此處  $C$  為積分常數。因為當動能  $\epsilon = 0$  時，動量  $L$  也等於零，故知  $C = 0$ 。由此可見，

$$\epsilon = cL \quad (15-3)$$

代入 (15-2)，就得出光壓為

$$P = \frac{\Phi}{S \cdot c} (1 + R) = \frac{I}{c} (1 + R) \quad (15-4)$$

其中  $I$  為光通量密度，即射到單位表面上的光通量。

把 (11-1) 式中的光子的能量的值代入 (15-3)，我們就求得光子的動量為：

① “設壁完全吸收光……。設壁為完全吸收光的。”等字為譯者所加。

$$L = \frac{e}{c} = \frac{h\nu}{c}。 \quad (15-5)$$

根据这个公式可以确定光子的质量为：

$$m = \frac{L}{c} = \frac{h\nu}{c^2}。 \quad (15-6)$$

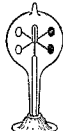
作为例子，我們來計算一下太陽光对地球的压力。实际觀測指出，在垂直于太陽光的每平方厘米面积上，每分鐘受到的热量为1.933卡，这表示功率为 $1.35 \times 10^6$  尔格/秒。將地球表面看做完全吸收光的，亦即，取 $R=0$ ，我們得出光压的数值为：

$$P = \frac{1.35 \times 10^6 \text{ 尔格/秒}}{1 \text{ 厘米}^2 \times 3 \times 10^{10} \text{ 厘米/秒}} = 4.5 \times 10^{-9} \text{ 巴。}$$

整个被太陽光射到的表面（地球半徑取作 $6.36 \times 10^8$  厘米）所受的总压力等于 $5.5 \times 10^{18}$  达因，即約为 $5.6 \times 10^7$  千克力。这个力与太陽給予地球的引力—— $3.6 \times 10^{21}$  千克力比較起来，是小得微不足道的。但是，对于那些很小的微粒（宇宙塵）來說，光的压力可能超过万有引力，因为光的压力是与微粒縫度的平方成正比的，而万有引力則与微粒縫度的立方成正比。

在上一世纪末，有許多学者希望以實驗显示出光的压力，但未能获得成功。

他們使光照射在如圖 79 所示的儀器上，这种仪器称为辐射計。



它的样子很像一个小風車，上面裝有很薄的金屬叶片，叶片的一面塗成黑色，另一面則磨成光滑的鏡面。

按照理論所預言的，光对于鏡面的压力应二倍于对塗黑表面的压力，因而應該觀察到鏡面向后轉动。但是，实际觀察到的轉动方向相反。这是因为，圖 79. 辐射計 小風車的轉动不是由于光的压力，而是由于所謂輻射計作用。在光的照射之下，塗黑的表面由于吸收光的关系，变得比磨光表面热。因此，如果空气分子撞到塗黑表面上时，就从那兒

得到一些能量，以較大的速度反射回来。从鏡面上反射回來的空氣分子保持原来的速度不变，因为鏡面由于其反射光線的緣故，实际上不会被光線加热。由此可見，空氣对于塗黑表面的压力（不是光的压力）要大于它对磨光表面的压力。在这样的实验中光的压力比空氣的压力小得多，因而显示不出来。

1900年，著名的俄罗斯物理学家П. Н. 列別捷夫第一次以实验不仅显示出了，而且还测量了光的压力。测出的光压数值与理論所求得的光压数值相符合。列別捷夫的光压实验，特别是确定光对气体的压力的实验，曾被全世界一致公認是实验技术的突出成就。

П. Н. 列別捷夫在他的实验中，是用由电弧发出的光照射在各种物质所制成的直径5毫米的小圓片上，来观察光的压力的。有一些小圓片用鉛黑复盖起来，另一些則磨成光滑表面。塗黑了的小圓片几乎全部吸收光，而磨光了的小圓片則几乎全部反射光。圖80中所示的就是列別捷夫仪器之一：1与2是不同厚度的圆形鉛

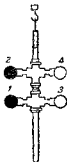


图 80. 列別捷

夫用來測量光  
壓的仪器中的  
可動部分

片，兩面都用鉛黑塗黑；3和4也是同样的圓片，但不是塗黑，而是磨光的。这件仪器悬挂在一条玻璃线上，为观察它的偏轉起見，上面还裝有一个小鏡子，圖中沒有画出来。仪器裝在一个玻璃容器中，并將其中空气抽去。

每一个小圓片都可以受到光的照射，或者照在这-一侧，或者照在另一侧。光線照射的方向可以利用圖81所示的装置来加以改变，詳情这里从略。

光由电弧B发出，經過棱鏡后成为平行光束，射到鏡 $S_1$ 上，再从 $S_1$ 及鏡 $S_2$ 和 $S_3$ 反射之后，就由棱鏡聚集起来，射到小圓片R的右侧面上。与 $S_1$ 联結在一起的还有一个鏡 $S_4$ ，二者相互垂直，并可作为一个整体向右移动。在這兩個鏡子移动了以后，光線就由鏡 $S_4$ 反射至 $S_3$ ，再反射到 $S_2$ ，然

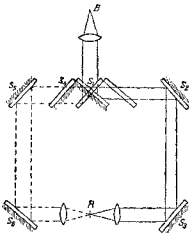


圖 81. 列別捷夫用来量度光压的装置簡圖

一个很輕的活塞。根据活塞的偏移，就可以确定光对气体的压力。

按照現代的天体演化理論，光压在天体的进化中起着重要的作用。由于光压的作用，綫度超过某一临界值的星体就不可能形成。当星体的質量增加时，組成星体的物質將受到更大的指向星体中心的万有引力，星体的压缩就要加强，因此温度就也升高。这时，由星体内所發的光的輻射密度及其对于星体表面物質的压力就要增大。当星体的綫度达到某一限度时，作用于星体表面物質的万有引力和光的压力相平衡；如果星体的綫度大于这一限度，则光的压力將胜过万有引力，星体的表面部分就要脱离星体。理論計算可以給出星体質量限度的近似数值，計算的結果已由天文觀測所証实。

Ф. А. 卜列吉赫曾根据太陽光的推斥力解釋了彗星尾巴的形成和它的形狀。

后再由透鏡会聚起来，射到圓片 $R$ 的左侧面上（圖中用虛線表示这个光路）。觀察了仪器的振动，根据光照射到各个圓片的这一側和另一側时“零位置”的移动，II. H. 列別捷夫就量度出了光压。

在另一次实验中，列別捷夫使光綫射向一狭窄管道中的气体，在光的压力下，气体轉移到与此管道相通通着的另一个管道中去，并捲压裝在那里的

### § 16. 几何光学(或射綫光学)

人們对于客观世界，对于各种自然現象，对于自己周圍的各种

物体性质的概念，首先是依靠视觉得来的。因此，在技术领域中扩展视觉的可能性的进步，在任何时候，对于深刻地認識客观世界来说，都具有重要的意义。

当观察了这一个或那一个物体之后，我们可以估計它的尺寸，指明它的颜色，而且有时候，依靠我們已經积累起来的知识，可以得到关于該物体的詳尽的概念。关于物体的尺寸，我們是根据看到該物体时的視角大小来估計的，所謂視角，就是由物体边缘各点上發出而射达入眼的光綫所夾的角。关于物体的颜色和物体表面上的詳情細节，我們是根据物体表面各点的色彩和亮度来判断的；亦即，归根到底，是根据从这些点射到人眼，在網膜上形成物像的光綫的颜色与强弱来判断的。

视觉本身具有一定的范围限制，眼睛的角分辨率数量級約为1分左右，也就是說，如果两个点的距离对人眼所張的視角小于1分的話，則眼睛就分不清这两个点，两个点看起来就像一个似的。

眼睛所能感受到的光的强度具有極大的范围，这一范围的上限比起它的下限来，高出达 $10^{22}$ 倍。在合适的大气条件下，使眼睛对微弱的光經過長時間的适应以后，可以看到距离达27千米处的点着的蠟燭。另一方面，眼睛也能够直視太陽，但只能在很短的時間之内这样做。

光学仪器的基本目的就是扩大觀察物体时的視角，以及增加射入眼睛中的光的强度。

改变从觀察对象所發出的光綫的方向，就可以达到上述目的。为此，人們使用着各种不同的光学仪器：反射鏡、透鏡、棱鏡等。光綫在这些仪器中的行程可以利用某些几何作圖方法来确定。因此，在光学中，以射綫概念为基础研究光的傳播現象的这一部分，称为几何光学或射綫光学。

几何光学是以由实验所确立的某些原理为基础的，这些原理的一部分在§5中講述任意形式的振动时，已根据惠更斯原理和費

馬原理做了推導。

几何光学所根据的原理可以归結如下：

1. 光的直線傳播定律：光在均匀媒質中沿直線傳播。

然而，如果在点光源和光屏之間放一个障碍物，則在光屏上，在障碍物的几何陰影邊緣附近，可以發現有光綫繞過障碍物的現象，這一現象在，例如，小圓屏的陰影處就非常顯著。這種現象稱為光的繞射，它與在某種條件下所觀察到的光的直線傳播相違背。由此可見，只有在繞射現象可以忽略時，才能應用光的直線傳播定律。

2. 光的反射定律：入射光綫和反射光綫以及由反射點所引反射面的法綫在同一个平面上；反射角等於入射角。這個定律只適用光綫由光滑表面上反射的情形。如果表面是粗糙的或凹凸不平的，其混亂排列着的凸起和凹入的綫度超過了波長，則光綫將向着各个方向反射，亦即發生漫反射。

3. 光的折射定律：a) 入射光綫和折射光綫與從入射點所引的媒質分界面的法綫在同一个平面上；b) 對於給定的兩種均勻且各向同性的媒質來說，入射角正弦與折射角正弦的比是一個恒量。這一個恒量等於第二種媒質（光綫由界面向其中的媒質）的折射率與第一種媒質（光由其中射出的媒質）的折射率之比，也等於光在第一種媒質中的速度與光在第二種媒質中的速度之比。

這一種形式的折射定律只適用於光從一種各向同性媒質射入另一種各向同性媒質時的情形。

4. 光的獨立傳播定律：光綫與光綫之間，彼此沒有影響。這說明各個光綫關係的定律沒有例外情形。

現在我們來應用這些定律於光綫傳播的幾種特殊情形。我們注意，如果從某一個點散射出的光綫射入人眼，則眼睛就看見了這個點。在中學物理中已經熟知的問題，我們將只簡單地提一提。

1°. 平面鏡 由點  $A$  射至平面鏡上的光綫（圖 82），在反射後

看来就好像从点  $A'$  射来的一样，点  $A'$  就是点  $A$  在平面镜中的虚像。这个虚像位于镜子后面，在从点  $A$  向镜面（或如图所示，向镜面的延展面）所作垂线的延长线上，距镜面的距离等于点  $A$  与镜面的距离  $d$ 。由此可知，平面镜改变射到它上面的光路的方向并给出虚像。所谓虚像，就是由光线的延长线所形成的像，而不是由光线本身所形成的像。平面镜所生成的像的几何大小与物体相同。

如果光线是以角度  $\alpha$  射到镜面上的，则根据反射定律，它将同样地以角度  $\alpha$  反射回来，可见在此情形下，光线的方向改变了角度  $\pi - 2\alpha$  ①。

**2°. 球面镜** 球面镜可以用来得到位于其轴线方向上的物体的像（反射镜式望远镜），也可以用来将落于其表面上任何部分的光线聚集起来（照明装置，探照灯）。

设有以  $O$  为中心的球面的一部分  $Q$ （图 83）。如果球面的内表面是反射面，像图中所示那样，就叫做凹面镜；如果反射面是球面的外表面，就叫做凸面镜。穿过镜面顶点（即对称中心） $C$  和曲率中心  $O$  的直线，称为为主光轴。其它穿过曲率中心  $O$  及镜面上任一点的直线称为副光轴。穿过中心  $O$  的光线在反射之后仍然通过  $O$  点。与主光轴相交于任一点  $S_1$  的光线在反射后，将与光轴相交于另一点  $S_2$ 。设  $S_1$  与顶点的距离为  $P_1$ ， $S_2$  与顶点的距离

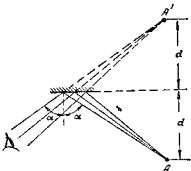


图 82. 点在平面镜中的成像

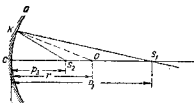


图 83. 推导球面镜公式用图

① 此处原书误为  $2\alpha$ 。——译者。

离为  $p_2$ , 则  $p_1$  与  $p_2$  之间的关系可以根据几何学由三角形  $S_1KS_2$ , 求出; 注意  $KO$  为角  $S_1KS_2$  的分角线, 就得到:

$$\frac{p_1 - r}{r - p_2} = \frac{KS_1}{KS_2}.$$

对于靠近于光轴的光线来说, 可以认为,  $KS_1 \approx p_1$ ,  $KS_2 \approx p_2$ 。这样就得到  $\frac{p_1 - r}{r - p_2} = \frac{p_1}{p_2}$ , 变换以后即得球面镜的近似公式如下:

$$\frac{1}{p_1} + \frac{1}{p_2} = \frac{2}{r}. \quad (16-1)$$

分析这个公式可以导出下述结论。

当  $p_1 = \infty$  时,  $p_2 = \frac{r}{2}$ 。这就是说, 平行于主光轴的光束, 在镜面上反射之后, 与光轴相交于一点, 此点距镜面顶点的距离为  $\frac{r}{2}$ 。这个点称为主焦点。

当  $p_1 = r$  时,  $p_2 = r$ , 这就是说, 从中心发出的光束, 在反射后仍然会聚于中心。

当  $p_1 = \frac{r}{2}$  时,  $p_2 = \infty$ 。这就是说, 由主焦点所射出的光束, 反射以后成为平行于主光轴的线束传播出去。

当  $p_1 < \frac{r}{2}$  时,  $p_2 < 0$ 。这就是说, 从顶点和主焦点之间的一点所射出的光束, 反射以后成为发散的光束; 它们的延长线在镜面后相交, 形成光源的虚像①。

公式(16-1)也可以应用于凸面镜, 但这时曲率半径应取负号。在此情况下, 我们有:

当  $p_1 = \infty$  时,  $p_2 = -\frac{r}{2} < 0$ 。这就是说, 凸面镜的主焦点是在镜子后面光轴上的一点。反射光束的延长线交于这一点, 光束本身并不通过它。

① 此处原书为虚焦点, 似误——译者。

当  $p_1 < \infty$  时,  $p_2 < 0$ , 其绝对值在 0 与  $\frac{r}{2}$  之间。

要想作出球面镜中所成的像, 需从物体上的每一个点引出两条光线, 它们反射后的方向应当是已经知道的。这两条光线相交的地方或它们的延长线相交的地方, 就是物体上该点的像的位置。

作为例子, 我们在图 84 a、b 和 c 上画出了凹面镜成像的作图, 这里物体用一个垂直于光轴的箭头代表。在三个图中, 物体离开镜子的距离各不相同。光路方向以细箭头表示。

在图 84 a 上, 物体 A 位于曲率中心外面。像 B 是实像, 比物体小, 位置在主焦点与曲率中心之间。图 84 b 上, 物体

A 在主焦点与曲率中心之间, 像 B 是放大的实像, 位于曲率中心外面。在图 84c 上, 物体 A 在镜子与主焦点之间, 像 B 为虚像, 放大, 位置在镜子后面。

像的线度与物体比起来, 像的放大率(或缩小倍数)等于像的长度  $h_2$  与物体长度  $h_1$  之比。对上述各种情况来说, 根据具有公共顶点 O 的两个三角形的相似, 很容易得出下列等式:

$$\frac{h_2}{h_1} = \frac{r - p_2}{p_1 - r}; \quad (16-2)$$

由(16-1)式中解出  $r$ , 代入上式, 即得:

$$\frac{h_2}{h_1} = \frac{p_2}{p_1}. \quad (16-3)$$

对于虚像(图 84c)来说, 比值  $\frac{h_2}{h_1}$  为负值。

在凸面镜(图 85)中, 物体(A)的像(B)永远是缩小的虚像。

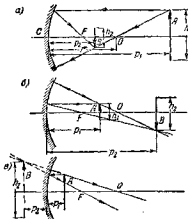
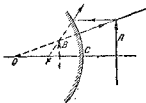


图 84. 凹面镜成像的作图

前面說過，公式(16-1)只是近似的。因此，由這一公式所導出的結果並不能和實驗事實完全符合。



事實上，由一點所發出的光束，在球面鏡上反射以後，並不嚴格地交于一點，這就破壞了由球面鏡所得到的像的清晰性。如此形成的像的缺陷稱為球面像差；這是由於參加成像的光線不僅僅是那些射到鏡面頂點附近的光線。

為了消除球面像差，應使光線通過光闊再射到鏡上，這樣，像的清晰程度可以改善，然而同時，像的亮度却要減弱。

對於某些特殊情況來說，改變鏡面的形狀，就可以消除球面像差。例如，採用拋物形鏡面，可以將平行光束會聚於一點；如果將光源放在拋物鏡面的焦點處，可以得到近乎平行的光束。絕對平行的光束不可能得到，因為所有通常稱之為“點”光源的光源，例如電弧極棒的噴火口，實際上都有一定的大小，而不是一點。

**3°. 平行平面板** 將一塊表面平行的透明板放在光線的通路中時，並不改變光的進行方向，而只使光線發生一些平行的移動。

從圖 86 上可以清楚地看到，光線  $SA$  以角度  $\alpha$  射到板面上，折射角為  $\beta$ ，並以角  $\beta$  射到平板的下表面  $NN$  上 ( $NN$  平行於  $MM$ )，再經過折射後，光線仍以角  $\alpha$  射出平板，這個角度和光線射達上表面時的入射角相同。光線的位移  $d$  可以根據三角形  $AGB$

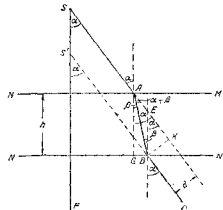


圖 86. 繼子光路上的平行平面板

可以求出。設  $AB = h$ ， $GB = d$ ，則  $\tan \alpha = h/d$ ， $\tan \beta = h/(d + AB)$ ，即  $\tan \beta = h/(d + h)$ 。所以  $d = h(\tan \beta - \tan \alpha)/\tan \alpha$ 。

和三角形  $ABK$  确定如下：

$$d = BK = AB \sin(\alpha - \beta),$$

但  $AB = \frac{h}{\cos \beta}$ , 因而得,

$$d = h \frac{\sin(\alpha - \beta)}{\cos \beta}。 \quad (16-4)$$

当平板的厚度  $h$  很小时, 这一位移将非常不显著。

現在我們來確定由光源  $S$  發出而穿过平板的兩條光綫的延長綫交點的位置。設其中一條垂直地穿過平板，另一條以角度  $\alpha$  射到平板上（采用圖 86 中的符號）。穿過平板以後的這兩條光綫的延長綫交于  $S'$ ,  $S'$  與  $S$  的距離為：

$$SS' = EB = \frac{d}{\sin \alpha} = h \frac{\sin(\alpha - \beta)}{\sin \alpha \cdot \cos \beta} = h \left(1 - \frac{\tan \beta}{\tan \alpha}\right)。 \quad (16-5)$$

从這一公式中可以看到, 以不同的角度射到平板上的光綫, 在穿過平板之後, 其延長綫與平板法綫（由光源  $S$  引至平板的那一條）的交點, 距平板的距離各不相同。由此可見, 复心射綫束, 亦即由同一點所發出的射綫, 在穿過平板之後, 就不再是复心的了。只有對於那些充分接近法綫的光綫, 當可以認為  $\frac{\tan \beta}{\tan \alpha} \approx \frac{\sin \beta}{\sin \alpha} = 1$  时, 复心性才能保持不變。由此可見, 例如, 當從旁邊穿過厚玻璃壁看東西時, 我們將看到物体的像不太清楚。

4°. 棱鏡（側面不平行的透明板）：使光綫穿過棱鏡時, 光綫將向着棱鏡的底部偏折, 偏折的角度取決于棱鏡的頂角、光綫投射的角度, 以及構成棱鏡的物質的折射率。理論指出, 如果光綫向棱鏡的一個側面投射時的入射角與光綫從另一個側面射出來時的折射角相等, 則光綫所偏折的角度將最小。在此條件下, 光綫穿過棱鏡內部時, 垂直于棱鏡頂角的分角綫。如果安置棱鏡使光綫以最小偏角通過它, 并量出這一角度的大小及棱鏡的頂角大小, 就可以算出構成棱鏡的物質的折射率。這一計算所需的公式可以導出如下：由圖 87 可知,

$$\varphi = 2(\alpha - \beta), \theta + 2\left(\frac{\pi}{2} - \beta\right) = \pi.$$

根据第一个等式，我們有  $\alpha = \frac{\varphi + 2\beta}{2}$ ；根据第二个等式，有  $\theta = 2\beta$ 。將  $\theta$  的值代入  $\alpha$  的表示式中，我們得到： $\alpha = \frac{\varphi + \theta}{2}$ 。由此可見，折  
射率等于

$$n = \frac{\sin \alpha}{\sin \beta} = \frac{\sin \frac{\varphi + \theta}{2}}{\sin \frac{\theta}{2}}.$$

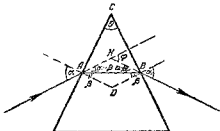


圖 87. 光線通過棱鏡

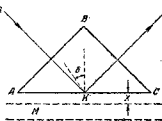


圖 88. 全反射棱鏡

在某些光学裝置和仪器中，利用棱鏡來造成全反射現象。當光線從折光率較大的媒質射達另一種折光率較小的媒質的界面上時，就可以觀察到這種現象。在一般情況下，當光線穿入較稀的媒質中時，光線折向離開由入射點所引的法線。若第一種媒質對於第二種媒質的相對折光率  $n > 1$ ，則折光角  $\alpha$  由下式所決定： $n = \frac{\sin \alpha}{\sin \beta}$ ，故  $\alpha = \arcsin(n \sin \beta)$ 。如果  $n \sin \beta > 1$ ，則光線不能進入第二種媒質（較稀的媒質），而全部由媒質分界面反射回來。這就是內部全反射現象。由此可見，如果光線的入射角大於正弦等於  $\frac{1}{n}$  的角時，就要發生全反射現象。這個正弦等於  $\frac{1}{n}$  的角稱為全反射的臨界角。如果入射角小於臨界角，光線就進入折光率較小的媒質。

圖 88 上表示將光線方向折轉  $90^\circ$  的全反射棱鏡。光線  $SK$

沿垂直于棱鏡侧面  $AB$  的方向, 从空气中射入棱鏡, 并以  $45^\circ$  角射达  $AC$  面上。这个角大于全反射临界角  $\delta$ ; 因为, 取玻璃的折射率为 1.54, 可求出临界角的值为  $\delta = \arcsin \frac{1}{1.54} = 40^\circ 30'$ 。因而, 光线将全部由  $AC$  界面上反射回来, 以垂直于  $SK$  的方向穿过  $AB$  面, 由棱镜中射出。

有趣的是, 遭到“全反射”的光振动, 部分地能够通过反射面不大距离。如果在离界面  $AC$  不远的地方放上一块玻璃板  $M$ , 就可以发现这个现象。在图 87 中用虚线表示这块玻璃板。当棱镜与玻璃板之间的空气层厚度不超过几个波长时, 光线就部分地穿过这层空气射入玻璃板。透过的光线的强度随空气层的厚度增加而迅速减小。当空气层的厚度等于一个波长时, 透过的光线的强度为棱镜中光线强度的百分之一; 当空气层的厚度等于三个波长时, 透过的光线强度则减弱到为棱镜中光线的一百万分之一。

图 89 表示利用全反射棱镜来使倒立像变成正立像(或相反)的情形。从图中可以清楚地看到, 在进入棱镜之前, 光线 1 在光线 2 上面, 而从棱镜中透过之后, 光线 2 移到了光线 1 的上面。



图 89. 倒置的棱镜

**5°. 球面透镜** 球面透镜与球面反射镜一样, 可以用来得到物体的像或使光线聚集起来。但后面将看到, 比起反射镜来, 透镜具有显著的优越性。

现在我们来推导适用于薄球面透镜的基本公式。所谓薄透镜, 就是其厚度比其表面的曲率半径小得多的透镜。

设双凸透镜的两个表面的曲率半径各为  $r_1$  和  $r_2$ (图 90), 曲率中心依次为  $O_1$  和  $O_2$ 。在图 90 上, 为了看起来方便, 我们故意把

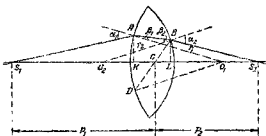


图 90. 推导球面透镜公式用图

透镜画得很厚，而把曲率半径画得很短。每一个透镜有一个定点，凡穿过这个点的光綫在通过透鏡之后不改变方向，这一个点称为此透鏡的光心。光心的位置應該在通过兩個曲率中心  $O_1$  和  $O_2$  的直線上，因为这条直線穿过透鏡表面的兩個相平行的面元。为了确定光心的位置，需再引一条連接透鏡表面上兩平行面元的直線。由曲率中心  $O_1$  和  $O_2$  各向相应的透鏡表面引出一条半徑，并使此二半徑相平行，就找得了一对上述的平行面元。在圖 90 上， $C$  点就是光心。任何一条通过光心的直線，称为透鏡的光軸，其中通过曲率中心的那条直線，稱为主光軸。通过光心而垂直于主光軸的平面，稱为透鏡的主平面。

設光綫与主光軸交于  $S_1$  点，至  $A$  点折射进入透鏡，再射到点  $B$ ，經第二次折射后射出透鏡，与主光軸相交于点  $S_2$ ，根据圖 90，很容易确定下列各角(利用圖中的符号)間的关系：

$$\beta_1 + \beta_2 = \angle BO_2 L + \angle AO_1 K, \quad (16-6)$$

$$\left. \begin{aligned} \alpha_1 &= \angle AS_1 K + \angle AO_1 K, \\ \alpha_2 &= \angle BS_2 L + \angle BO_2 L. \end{aligned} \right\} \quad (16-6a)$$

因为我們只研究贴近主光軸通过透鏡的光綫，所以式 (16-6) 和式 (16-6a) 中所有的角都很小，而对于每一个角，都可以認為其正弦和正切，与角本身相等。由此可得，

$$\beta_1 + \beta_2 = \frac{AK}{r_1} + \frac{BL}{r_2}, \quad (16-7)$$

$$\left. \begin{aligned} \alpha_1 &= \frac{AK}{p_1} + \frac{AK}{r_1}, \\ \alpha_2 &= \frac{BL}{p_2} + \frac{BL}{r_2}. \end{aligned} \right\} \quad (16-7a)$$

以入射角正弦与折射角正弦的比值来表示構成透鏡的物質的折射率，再进一步用角本身來代替角的正弦，我們得到：

$$\begin{aligned} n &= \frac{\sin \alpha_1}{\sin \beta_1} \approx \frac{\alpha_1}{\beta_1}, \quad n = \frac{\sin \alpha_2}{\sin \beta_2} \approx \frac{\alpha_2}{\beta_2}, \\ \beta_1 &= \frac{\alpha_1}{n}, \quad \beta_2 = \frac{\alpha_2}{n}. \end{aligned}$$

將(16-7a)式中的  $\alpha_1$  与  $\alpha_2$  的值代入，得：

$$\beta_1 = \frac{AK}{np_1} + \frac{AK}{nr_1}, \quad \beta_2 = \frac{BL}{np_2} + \frac{BL}{nr_2}.$$

將所求得的  $\beta_1$  与  $\beta_2$  的值代入式(16-7)，我們得到：

$$\frac{AK}{np_1} + \frac{AK}{nr_1} + \frac{BL}{np_2} + \frac{BL}{nr_2} = \frac{AK}{r_1} + \frac{BL}{r_2}. \quad (16-8)$$

因为光線是貼近光軸的，所以可以認為  $AK = BL$ ，代入上式，消去公因子，結果得到，

$$\frac{1}{np_1} + \frac{1}{nr_1} + \frac{1}{np_2} + \frac{1}{nr_2} = \frac{1}{r_1} + \frac{1}{r_2}, \quad (16-9)$$

再經過簡單的變換以後，我們就得出了薄雙凸透鏡的基本公式如下：

$$\frac{1}{p_1} + \frac{1}{p_2} = (n-1) \left( \frac{1}{r_1} + \frac{1}{r_2} \right). \quad (16-10)$$

如果將平面的曲率半徑看做  $r=\infty$ ，將凹面的曲率半徑看做負的，即認為  $r<0$ ，則公式(16-10)就可以適用於任何一種型式的薄透鏡。

圖 91 上分別表示出了全部六種型式的透鏡。上面一列的三個透鏡依次為雙凸透鏡、平凸透鏡和月凸透鏡。它們都是會聚透鏡，可以將光線向着主光軸聚集起來。圖中下面一列依次為双凹透鏡、平凹透鏡和月凹透鏡。這三種都是發散透鏡，光線通過它們

后，将离开主光轴而发散开来。

在图 91 中还指出了透镜的光心，以及确定光心位置的作图。

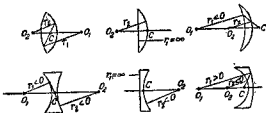


图 91. 球面透镜的型式。图中指出了各个不同型式的透镜的光心位置

在公式(16-10)中，取  $p_1 = \infty$ ，定出  $p_2$  的值  $p_2 = f$ ，我們就求出了透鏡的主焦点的位置。所謂透鏡的主焦点，就是平行于透鏡主光軸的光線在通過透鏡之后，與主光軸相交的那一点。主焦点与透鏡光心之間的距离——主焦距，是透鏡的主要特征。主焦距与構成透鏡的物質的折射率以及透鏡的曲率半徑之間，有着下列关系：

$$\frac{1}{f} = (n - 1) \left( \frac{1}{r_1} + \frac{1}{r_2} \right). \quad (16-11)$$

对于会聚透鏡來說，主焦距为正值；对于發散透鏡來說，主焦距为負值。有时不直接用主焦距，而用主焦距（以米計算）的倒数来表征透鏡的特性，这个数称为透鏡的屈光度。

用(16-11)式中的  $\frac{1}{f}$  来代替公式(16-10)的右端，我們得到球面透鏡公式的另一种形式：

$$\frac{1}{p_1} + \frac{1}{p_2} = \frac{1}{f}. \quad (16-12)$$

像分析球面反射鏡公式(16-1)那样來分析公式(16-12)，对于会聚透鏡，可得出下列結論：

当  $p_1 = \infty$  时， $p_2 = f$ ；亦即，平行于主光軸的光束，在經過透鏡折射之后，会聚于透鏡另一側的主焦点上。

当  $p_1 = 2f$  时,  $p_2 = 2f$ ; 这就是說, 与主光軸相交于距透鏡二倍于主焦距远的那一点發出的光束, 通过透鏡之后, 会聚于透鏡另一側同样距离的地方。

当  $p_1 = f$  时,  $p_2 = \infty$ ; 这就是說, 由主焦点所發出的光束, 在經過透鏡折射以后就成为平行于主光軸的光束, 向透鏡的另一側傳播出去。

当  $p_1 < f$  时,  $p_2 < 0$  且其絕對值大于  $p_1$ <sup>❶</sup>; 这就是說, 与主光軸的交点在于主焦点和光心之間的光綫束, 通过透鏡以后將仍为發散光束。这些光綫的延長綫与透鏡主光軸的交点、位置和光綫原来的出發点在透鏡的同一側, 其距透鏡的距离則大于原出發点距透鏡的距离。

对于發散透鏡來說, 主焦点是虛的, 它是光綫延長綫的交点, 而不是光綫本身的交点; 因为, 根据公式(16-11),  $f < 0$ 。由此可知, 無論  $p_1$  的值如何,  $p_2$  总是小于零, 且其絕對值小于  $|f|$ 。这就是說, 由主光軸上任一点所發出的光束, 在通过發散透鏡以后, 將成为更發散的光綫束, 其延長綫与主光軸的交点, 和光綫的原出發点位于透鏡的同側, 且在主焦点与光心之間。

关于透鏡成像的作圖方法与前面已講的球面鏡成像的作圖相似。从物体的每一点, 应引出兩条光路已知的光綫, 它們的交点(或其延長綫的交点)即物体上該点的像的位置。

光路已知的光綫如下所述:

1. 平行于主光軸的光綫, 折射以后將通过主焦点。
2. 通过主焦点的光綫在折射以后平行于光軸。
3. 通过光心的光綫不發出折射, 仍沿原方向前进。
4. 与光軸相交于距光心二倍焦距远处的光綫, 折射之后將通过透鏡另一側同样距离的那一点。

圖 92 为会聚透鏡成像的作圖。物体(箭头)在透鏡的左边, 距

❶ 这里原書为“且絕對值大于  $f$ ”, 似誤。本段末句作了相应的更正——譯者。

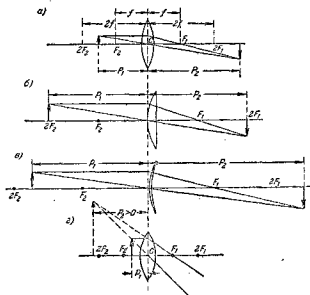


图 92. 各种凸透镜成像的作图

透镜的距离各不相同。图 93 上所表示的为发散透镜成像的作图。在这两个图中，我们将光线画得是在它通过透镜的主平面时折射的。实际上，光线是经过两次折射：进入透镜时折射一次，从透镜中出来时再折射一次。诸图中脚码为 1 的各符号属于从左边来的

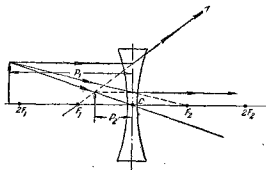


图 93. 凹透镜成像的作图

光綫。點  $F_1$  及  $2F_1$  在透鏡的右边時為實點，在透鏡的左边時為虛點。在透鏡右边的像為實像，在透鏡左边的像為虛像。像到透鏡(主平面)的距離為  $p_s$ 。由這些圖中可以明顯地看到。

當透鏡為會聚透鏡時，如果物体離開透鏡的距離大於  $f$  而小於  $2f$ ，則像為倒立、放大的實像，其距透鏡的距離大於  $2f$ (圖 92a，雙凸透鏡；圖 92c，月凸透鏡)。

如果物体距透鏡的距離為  $2f$ (圖 92b)，則像距透鏡的距離也是  $2f$ 。像為倒立實像，大小與物体相同。

如果物体距透鏡的距離小於  $f$ (圖 92d)，則像將為正立、放大的虛像，與物体位於透鏡的同側。

如果物体距透鏡的距離大於  $2f$ (圖中未繪出)，則像將為倒立縮小的實像，像與透鏡的距離大於  $f$  而小於  $2f$ 。

當透鏡為發散透鏡時，則無論物体距透鏡多遠，它的像將總是與物体在透鏡的同一側，且為正立、縮小的虛像，離開透鏡的距離小於  $f$ (圖 93)。

像的綫度與物体的綫度之比，稱為透鏡的綫放大率。由圖 92 和 93，根據頂點在光心的相似三角形，可以確定薄透鏡的放大率。無論在那一種情況下，放大率總等於像到光心的距離與物体到光心的距離的比值，亦即，

$$Y = \frac{p_s}{p_1} \quad (16-13)$$

至此為止，我們對光綫通過透鏡的光路研究，只限於傍軸的光束，即與光軸間夾角很小的光綫。在這種情況下，物体上的每一點所給出的像足夠好地近似於一個點。然而，在實際上對允許與光軸夾一大角度的光綫通過透鏡(亦即放棄光綫的傍軸性的研究)，是很有好处的。這時，所得到的像將具有一系列的缺陷，即所謂像差。

像差按其性質來說，分球面像差和色像差兩種①。球面像差

① 這一句話為譯者所加——譯者。

是由从远离光轴的地方通过透镜的光线所形成的。当透镜为会聚透镜时，这些光线通过透镜后与光轴的交点，距透镜的距离比根据公式(16-12)所算出的要近一些。图94所表示的就是这种情形。在 $S_1$ 处放一个垂直于光轴的光屏，在屏上得到的将不是一个像点，而是一个圆斑。要减小球面像差，可以在光路中装上一个光阑，遮住那些使像产生畸变的光线，或者采用组合透镜。

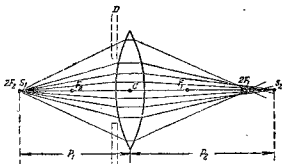


图 94. 会聚透镜的球面像差

色像差是由于构成透镜的物质对各种不同颜色的光的折射率不同而引起的，也就是由于色散现象而引起的。例如，当透镜为会聚透镜时，紫光所形成的像就比红光所形成的像，离透镜要近一些，如图95所示。结果，一个位于光轴上的白色光的点光源，在光屏上所给出的像将不是一个白色的光点，而是由一系列彩色环所组成的圆形光斑。光斑中各种颜色的顺序与光屏的位置有关。要减弱色像差，可以采用组合透镜，其中各个透镜由质料不同的玻璃制

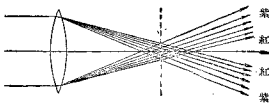


图 95. 会聚透镜的色像差

成，这些玻璃的折射率和色散率互不相同。这样，在一个透镜，比方說，凸透鏡中所产生的色散，和在另一个凹透鏡中所产生的色散相互抵消。这样的組合透鏡称为消色差透鏡。要完全消除色像差（亦即使透鏡对所有各种顏色的光焦距都一样）是不可能的，但对于兩种、甚至三种位于光譜不同区域的波長是可以做到的，这是因为，玻璃品种的选择有着广泛的可能。

圖 96 表示如何对于藍、紅兩種顏色的光，消除色像差現象。



圖 96. 消色差透鏡

当光綫与光軸構成相当大的角度穿过透鏡成像时，可以觀察到像散現象。这时，从一点，比方說圖 97 上的  $S$  点所發出的光綫，不能够重新聚于一点。在一个平面（可理解为通过光束的軸綫与透鏡光軸的平面，即所謂子午平面——譯者）上傳播的光綫，焦聚在距透鏡光心某一距离的地方；而在另一个与上述平面垂直的平面上傳播的光綫，則焦聚在距光心另一距离的地方。如圖 97 所示，若在距离  $p_2$  处放一个光屏，在屏上將看到一条豎直的綫；如把光屏放在距离  $p'_2$  处，则在屏上看到的將为一条水平的綫；若把光屏放在这两个位置的中間，则看到的像將为一个模糊的光斑。



圖 97. 傾斜光束的像散現象

物体表面的像的畸变（变形）可以如下显示出来：把一个方格網（圖 98a）放在透鏡前面，在透鏡后面的光屏上將看到一个变形的像，如圖 98c 或 98e 所示。畸变产生的原因是由于，对于位在同一个与光軸垂直的平面上，但距軸远近不同的各点，放大率的值也

互不相同。

以上所指出的透镜所成的像的缺陷，在某种限度内可以借助



图 98. 像的畸变

于采用组合透镜与透镜系统完全消除。在现代的光学仪器中，物镜和目镜都是由若干透镜组成的复杂的系统，它可以把各种像差缩小到最小限度。

诚如前面所说，光学仪器的基本任务就是扩大观察物体时的视角。这一问题的解决，就选择透镜方面来说，在显微镜（要观察的物体很近）和望远镜（物体距离很远）中是不相同的。

借助于光学仪器来观察物体时的视角也有赖于眼睛的光学系统的性质。简单说来，可以把眼睛的水晶体看做一个双凸透镜，它能将物体成像于眼睛的网膜上；在网膜上分布着视神经的末梢，由视神经将视感觉传入大脑。眼睛所以能看清楚远近不同的物体，是因为水晶体的曲率能够自动调节的缘故。正常眼睛的水晶体，在完全松弛时，能将位于“无穷远”处——即极远处的物体成像于网膜上。由于运用肌肉调节可使水晶体的曲率增加，故也能看到清晰距离眼睛较近，直到所谓“近点”为止的物体。近点的位置因人的年龄而不同，对正常的眼睛来说，在 20 岁左右时，约为 12 厘米，到 50 岁后，则增至 40 厘米。

应该注意，近点的距离并不就是明视距离，后者是观察物体时最合适距离。明视距离按工作（例如阅读）时的方便和个人习惯而确定，一般公认为 25 厘米；对于 40~45 岁的人，明视距离与近点距离相合。使用光学仪器时，我们总力图使物体的像成于近点或明视距离（如果这一距离大于近点距离的话）。

当穿过会聚透镜观察物体时，亦即把透镜当做放大镜使用时，我们总要安排放大镜和眼睛的位置，使得所得到的物体的虚像与眼睛的距离为明视距离。这时，根据公式 (16-18)，像对物体的线放大率应等于：

$$Y = \frac{y_2}{y_1} = \frac{p_2}{p_1},$$

此处  $y_2$  和  $y_1$  依次为像与物体的綫度,  $p_2$  和  $p_1$  为像与物体距透鏡光心的距离。依 (16-12) 式解出  $\frac{1}{p_1}$ , 再代入上式, 有:

$$\frac{1}{p_1} = \frac{1}{f} - \frac{1}{p_2}, \quad Y = \frac{p_2}{f} - 1,$$

此处  $p_2$  为負值, 因为像是虛像。

如果取透鏡离开眼睛的距离为  $x$ , 以  $p$  表示眼睛到像处的距离, 即明視距离, 我們就得到放大鏡的放大率公式如下:

$$Y = \frac{p - x}{f} + 1. \quad (16-14)$$

使用放大鏡时視角的放大可以認為等于綫放大率, 因为我們不用放大鏡觀察物体时, 物体也是放在明視距离上, 和使用放大鏡时像的位置一样。

放大鏡成像时的光路如圖 92i 所示。

放大鏡通常——但不是永远——制成放大兩倍到五倍, 因为放大率太大的放大鏡, 各种像差都太大, 或者視場太小。要得到放大倍数更大的像, 需要使用显微鏡。

显微鏡在原理上來說, 由两个透鏡組成: 一个物鏡, 利用它来得到物体的放大实像; 一个目鏡, 眼睛通过这个放大鏡来看上述实像。圖 99 就是显微鏡的原理圖。因为在目鏡中所看到的是物体的像, 而这个像是已經由物鏡放大过的, 所以显微鏡的放大率等于物鏡和目鏡的放大率的乘积。

現在我們來近似地計算一下使用显微鏡时的角放大率; 采用圖 99 中的符号, 并引入下列假設:

1. 在觀察时, 眼睛直接貼近显微鏡的目鏡。这样, 可以認為  $p_2' = p$  —— 即明視距离。

2. 由物鏡所得到的像, 位于目鏡的主焦点附近, 因而, 可以認為  $p_1' = f_{\text{ox}}$ 。

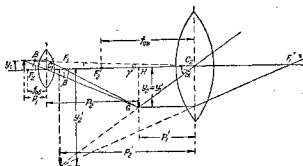


图 99. 显微镜光路图

3. 所要观察的物体放在焦距很短的物镜的焦点附近，因此可以认为  $p_1 \approx f_{0e}$ 。

4. 角  $2\alpha$  可以看做是在明视距离观察像时的视角。

5. 角  $2\gamma$  为不用显微镜直接观察物体时的视角。

6. 因为在显微镜中所观察的物体都是很小的，所以可以认为角  $\alpha, \beta$  和  $\gamma$  的正切和对应角本身相等。

从图 99 中可以清楚地看到， $y_1 = p_1 \tan \beta \approx f_{0e} \approx p_2 \gamma$ ，由此可得：

$$\gamma = \frac{f_{0e} \beta}{p}。 \quad (16-15)$$

还有， $HG = p_2 \tan \beta \approx p_2 \beta$ ，以及  $HG = p'_1 \tan \alpha = f_{0e} \alpha$ 。

比较这两个近似等式，即得：

$$\alpha = \frac{p_2 \beta}{f_{0e}}。 \quad (16-16)$$

显微镜的角放大率近似地等于角  $\alpha$  对  $\gamma$  的比值，依式(16-15)与(16-16)二式，我们求得角放大率为

$$A = \frac{\alpha}{\gamma} = \frac{p_2 \beta}{f_{0e} f_{0e}}。 \quad (16-17)$$

取明视距离为  $p = 25$  厘米， $p_2 = 4$  为显微镜的管长（其值通常等于 16 厘米），我们得到：

$$A = \frac{25 \beta}{f_{0e} f_{0e}}，$$

式中  $f_{05}$  与  $f_{0K}$  以厘米表示。

在观察远处的物体时，要使用望远镜。望远镜像显微镜一样，也是由物镜与目镜所组成的，但望远镜的物镜与显微镜相反，应为长焦距的。

图 100 为开普勒望远镜的原理图。由物镜所得的远处物体的像位于物镜的主焦点附近，再通过目镜来观察它。目镜作为放大镜用。由这种望远镜所得到的像是倒立的，但这种现象对于天文观察并无妨害。当观察地面上的物体时，采用带有附加透镜的特殊目镜，这种目镜可以将物镜所成的像再颠倒过来。

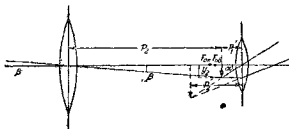


图 100. 开普勒望远镜简图

望远镜的角放大率可以根据下列考虑来决定。远处的物体对物镜光心所张的角为  $2\beta$ 。因为物体很远，所以这个角也就是不用望远镜而直接观察物体时的视角。像对目镜光心所张的角为  $2\alpha$ ，当用眼睛直接贴近目镜来观察时，这个角也就是看到像的视角。根据图 100 中那两个以由物镜所得实像 ( $y_2$ ) 为公共边的三角形，有

$$\frac{\tan \alpha}{\tan \beta} = \frac{\frac{y_2}{p_1}}{\frac{y_2}{p_2}} = \frac{p_2}{p_1} \quad (16-18)$$

由于角  $\alpha$  和  $\beta$  都很小，所以可以用角本身来代替它的正切；此外，还可以取  $p_1' = f_{0K}$ ,  $p_2' = f_{05}$ ，因为由物镜所得的实像位于物镜

与目镜的焦点附近。考虑到这些，我們得到：

$$A = \frac{\alpha}{\beta} = \frac{f_{06}}{f_{02}}. \quad (16-19)$$



圖 101. 牛頓反射望遠鏡簡圖

在圖 101 上所繪的是牛頓所發明的反射式望遠鏡簡圖。它的特点是用一个凹面鏡來代替透鏡做物鏡。这样做是为了消除色像差。在鏡筒的軸上，亦即凹面鏡的光軸上放有一个反射鏡  $Z$ ，將由凹面鏡而来的光线反射到目鏡中去。

圖 102 上所繪的是 M. B. 羅蒙諾索夫反射望遠鏡；其中做為物鏡的球面鏡的光軸與望遠鏡鏡筒的

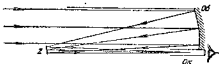


圖 102. 羅蒙諾索夫反射望遠鏡

几何軸線構成一个角度，这样就可以將反射鏡  $Z$  移到鏡筒外面。羅蒙諾索夫的这种設計增加了射到物鏡上面的光流。

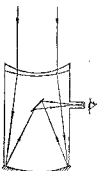


圖 103. D. D. 馬克蘇塔夫的弯月式望遠鏡

反射式望遠鏡的缺点是太笨重，并且很难維护，清除落到鏡面上的灰塵很不容易。这些缺点在不久前 D. D. 馬克蘇塔夫所發明的弯月式望遠鏡中得到完全消除。

D. D. 馬克蘇塔夫弯月式望遠鏡的構造如圖 103 所示。光線通過一個弯月凹透鏡（弯月名称的由来）以后再射到球面反射物鏡上。透鏡的直徑與球面鏡相同。弯月凹透鏡是按照这样的計算制成的；使得它的球面像差恰和反射鏡的球面像差相抵消。發散透鏡与凹面鏡的这种

配合使我們可以增加后者的曲率，这样就可以减小鏡筒的長度。反射鏡完全与灰尘隔絕。J. J. 馬克苏塔夫的这种望远鏡有着广泛的前途。

由公式(16-17)与(16-19)似乎可以得出这样的結論：只要选择透鏡的焦距，就可以使显微鏡和望远鏡的放大率無限地增加。然而这是不可能的。繞射現象(后面將要講到)給了仪器的放大率以一定的限度，当放大率超过这个限度时，像就要变得模糊不清。

### § 17. 光的干涉

#### A. 楊格实验

現在我們來研究光振动——或者說光射線的干涉現象，“射線”这个字的意思不仅像§4中所說的那样是指“振动在空間中傳播所沿着的那条線”，而且它还意味着光波的通量或者說是沿着射線傳播的光流。

楊格在1815年所进行的实验是証实一些光振动可能与另一些光振动互相抵消的最先的实验。

設有一个很小的單色光源 $S$ ，照射到屏 $A$ 上的两个很小的并且彼此靠得很近的小孔 $S_1$ 和 $S_2$ 上(圖104)，根据惠更斯原理，这两个小孔可以当作独立的光振动的源。如果点 $S_1$ 与 $S_2$ 离开光源 $S$ 的距离都相等，则光波到达这两点的振动的周相相同。由 $S_1$ 与 $S_2$ 發出的光波射到第二个屏 $B$ 上的某一指定点处时，互相叠加的两个振动的周相差取决于 $S_2K - S_1K$ 。这个差值称为程差。当程差等于半波長的偶数倍时，这两个

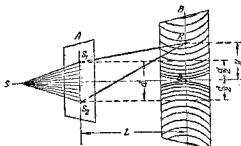


圖 104. 楊格实验

振动的周相相同，因而光束  $S_2K$  与  $S_1K$  在  $K$  点叠加时就互相加强，也就是說屏  $B$  上的  $K$  点比在  $OK$  直線上  $K$  点鄰近的那些点亮些。如果程差等于半波長的奇数倍，则从  $S_1$  与  $S_2$  傳出的振动在  $K$  点的周相相反，光束  $S_2K$  与  $S_1K$  叠加时就互相抵消，因而  $K$  点成为黑暗的。我們現在來說明屏  $B$  上那些点会滿足这些亮暗条件，这些点的位置可以用  $O$  点到該点的距离来决定， $O$  点就是从小孔  $S_1$  与  $S_2$  間的距离  $d$  的中点引向屏  $B$  的垂足。取  $L$  比  $d$  大得多。从圖 104 应有：

$$(S_2K)^2 = L^2 + \left(y + \frac{d}{2}\right)^2 \text{ 和 } (S_1K)^2 = L^2 + \left(y - \frac{d}{2}\right)^2.$$

以第一式减去第二式得

$$(S_2K)^2 - (S_1K)^2 = 2yd, \quad S_2K - S_1K = \frac{2yd}{S_2K + S_1K}.$$

因为  $L \gg d$ ，就可以認為右面的分母等于  $2L$ 。在这种情况下，誤差比  $2L$  小得多。因此，

$$S_2K - S_1K = \frac{2yd}{2L} = \frac{yd}{L}.$$

如果

$$\frac{yd}{L} = (2k+1) \frac{\lambda}{2}, \quad (17-1)$$

則相应的那些点就是黑暗的，如果

$$\frac{yd}{L} = 2k \frac{\lambda}{2}, \quad (17-2)$$

則相应的那些点就是亮的。

对于屏上直線  $KO$  以外的点來說，要决定类似的亮暗条件并不困难。因为那些到达  $S_1$  与  $S_2$  的距离差相等的点在空間的轨迹是旋轉抛物面，所以在屏  $B$  上就看到交替地亮暗条紋。在屏  $B$  上通过  $O$  点而垂直  $OK$  与  $OS$  的直線是从  $S_1$  和  $S_2$  到屏上的程差都等于零的那些点的轨迹，这条直線是亮线。楊格在他的实验中觀察到类似于屏  $B$  上所示的圖象。

当用白色光照射小孔  $S_1$  与  $S_2$  时，在屏上得到的是彩色条紋，

而不是如上述实验中的亮暗条纹。这是因为，颜色不同的光具有不同的波长，因此，某种波长的光，譬如说红光，在某一点完全抵消，而其他波长的光，譬如说绿光，在这一点可能是互相加强的。通过O点而垂直于OS与OK的条纹，在这种情况下是无色差的，也就是白色的，因为各种波长的光都互相加强。

### B. 相干性与菲涅耳双镜和双棱镜中的干涉

如果以两个发出波长相同的振动的光源来代替一个光源照射在两个小孔 $S_1$ 与 $S_2$ ，是否也能够观察到干涉现象呢？是否能从两个同样的单色光源观察到光的干涉呢？看来类似的现象对声振动和机械振动是很容易达到的，然而对光振动来说却不可能。其原因可以归结如下。

以后我们会看到，在每一个光源中，原子内的电子是光振动的直接的激发者。即使在光源的极小的表面上，原子的数目也是非常巨大的，从每一个原子发出的一个光脉冲的时间的长短的数量级为 $10^{-8}$ 秒。这样一来，在某一时刻，每一个光脉冲的通量中都有各种可能周相的振动。因此，不同光源发出的光通量之间不可能有固定的周相差，因而就不可能观察到干涉。要观察到光的干涉，就必须使一个光源发出的光分解，再使它们经过不同的路程会聚到某一点上，这样，它们之间就有了程差，因而也就有了周相差。

可以干涉的光称为相干光，它们的振动之间存在着不随时间变化的恒定的周相差。

可以用各种方法来获得相干光并使它们发生干涉：

菲涅耳用一个光源在两面平面镜中的像作为两个相干光源，这两面镜子所作的角度近于 $180^\circ$ 。从这两面镜子反射的光束叠加时就发生干涉。

图105为这个实验的简图。 $AB$ 与 $AC$ 是镜子， $S$ 是单色光源。为了单色性，用灯泡发出的光线经过滤光器而照亮的狭缝作为光源。 $S_1$ 和 $S_2$ 是 $S$ 在两面镜子中的虚像， $PQ$ 是屏，在这屏上可以

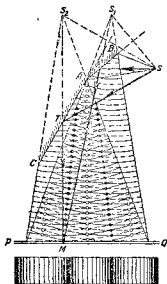


圖 105. 利用双鏡來获得干涉条紋  
圖上实弧綫与虛弧綫都表示振動周相相同的各点的轨迹，但实弧綫与虛弧綫的周相相反。光綫在同种弧綫相遇的各点(圖上的白圓圈)互相加强，在虛綫与实綫相遇的各点(圖上的黑点)互相抵消。屏  $PQ$  上的干涉圖样就如圖下面部分所示。在屏上看到交替的暗紋与亮紋。

觀察到干涉圖样。

干涉的結果决定于光綫相遇之点到光源  $S$  的程差，或者說到光源在兩面鏡子中的虛像的程差。如果这程差等于半波長的偶数倍，相干涉的光綫就互相加强，如果是奇数倍，就互相抵消。例如，对  $M$  点來說，程差等于  $(SR+RM)-(ST+TM)=S_1M-S_2M$ 。

圖上实弧綫与虛弧綫都表示振動周相相同的各点的轨迹，但实弧綫与虛弧綫的周相相反。光綫在同种弧綫相遇的各点(圖上的白圓圈)互相加强，在虛綫与实綫相遇的各点(圖上的黑点)互相抵消。屏  $PQ$  上的干涉圖样就如圖下面部分所示。在屏上看到交替的暗紋与亮紋。

利用菲涅耳双棱鏡(兩個頂角很小的棱鏡，它們的底部合在一起)用类似的方法，也可以觀察到光的干涉。圖 106 表示这实验中光程的簡圖。从光源  $S$  發出的光束，一部分通过上面的棱鏡，向其底部的那一面折射(向下面)，然后再傳播出去，好像是从  $S_1$  点( $S$

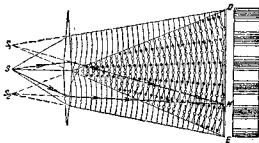


圖 106. 利用菲涅耳双棱鏡來获得干涉条紋

点的虚像)传播出来的一样。

射到下面那个棱镜的光束, 折射后向上偏折。可以把  $S_2$  点(也是  $S$  点的虚像)当作点光源, 认为这束光线是从这点发射出来的。

这些光束互相叠加, 在屏  $DE$  上产生干涉图样。在屏上每一点(例如在  $M$  点), 干涉的结果与射到这点的光线的程差有关, 也就是说与这点到相干光源  $S_1$  和  $S_2$  的距离差有关。如果  $S_2 M - S_1 M = 2k \cdot \frac{\lambda}{2}$ , 那么在  $M$  点上, 这两束光线互相加强达到最大。如果  $S_2 M - S_1 M = (2k+1) \frac{\lambda}{2}$ , 那么屏上相应的点就是黑暗的。如果光源  $S$  是用单色光照射的狭缝, 则屏上就出现一系列交替的、平行的暗条纹与亮条纹。在白色光源的情况下, 屏上的条纹除了中央条纹以外都是彩色的。因为在中央条纹处, 对任何波长的光线来说, 程差都等于零。这中央亮条纹是白色的(无色差的)。与中央条纹相邻的亮条纹是虹彩色的, 其紫色的一边朝着白色条纹。较远的条纹的颜色很复杂, 因为它们是由强度不同的各种颜色的光线互相叠加而成的。

### B. 薄膜中的干涉。等厚条纹

在天然的情况下, 很容易观察到薄膜的干涉。在一滴煤油或脂油附着的水面上, 好像是着上了虹彩的“氧化”色。这种彩色是光在薄层脂油或煤油中干涉的结果。在被照亮的竖放着的肥皂膜上(它是尖劈形的, 尖端向上), 可以看到平行于劈棱的虹彩条纹。这是光在薄劈(肥皂膜)中干涉的结果。

我们现在来研究光在薄膜中干涉的现象。

设有一厚度  $h$  完全相同的薄膜(图 107)。从离得较远的光源以单色光照射到膜上, 光源要远到可以认为从它射来的光线是平行的。让膜的厚度的数量级不大于几个波长。光线  $I$  射到  $A$  点时, 一部分反射, 一部分折射而进入膜内。这部分光线在射到膜的反面的  $B$  点时, 又部分折射而从膜中射出, 另一部分则反射到  $C$

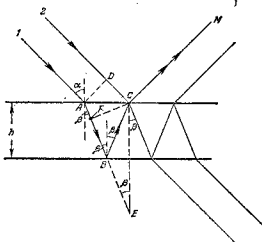


图 107. 推导在薄膜中反射光的干涉条件用图

点。光綫在  $C$  点再一部分反射,一部分折射而从膜中射出,以  $CM$  方向进行。不可避免地,还有另外的第二条光綫(是与第一条光綫相干的)从光源射到  $C$  点上,这条光綫在  $C$  点一部分反射,反射后沿着与第一条光綫相同的方向进行,亦即沿着  $CM$  的方向进行。

这两条光綫是相干的,因为它们是从同一个光源发出的,在  $C$  点,它们的振动有了周相差。首先,因为光綫 1 从公共波面  $AD$  经过薄膜进行了路程  $ABC$ ,而光綫 2 经过空气进行了路程  $DC$ ,因而就有了路程差;其次是反射条件不同:光綫 1 在  $B$  点从光疏媒質(空气)反射,光綫 2 在  $C$  点从光密媒質(薄膜)反射,在这种情况下(参考 § 4.I),周相要变为相反;这两点就是产生周相差的原因。

我們現在來說明光綫 1 与 2 的路程如何。从  $C$  点作垂綫到膜的下面,再將它延長,和折射綫的延長綫相交于  $E$  点。从  $C$  点作垂綫到  $AB$ 。当光綫 2 到达  $C$  点时,光綫 1 到达  $F$  点——垂綫  $CF$  的垂足。这样一来,这两条光綫的路程就决定于綫段  $FB$  与  $BC$  之和。但三角形  $BCE$  是等边的,因为角  $BCE$  与  $BEC$  都等于折射角  $\beta$ 。因此,在薄膜中的几何路程为:

$$FB + BC = FB + BE = FE = CE \cos \beta = 2h \cos \beta,$$

因为  $CE = 2h$ , 也就是等于薄膜厚度的兩倍。这程差在  $C$  点引起周相差。如果光綫 1 在空气中进行的一段路程是它在折射率为  $n$  的膜中(光在膜中的速度是它在空气中的速度的  $n$  分之一)进行的路程的  $n$  倍的話, 那么, 也應該得到同样的周相差。因此, 光綫 1 与 2 在空气中的程差, 亦即光程差应为:

$$x_1 - x_2 = 2hn \cos \beta. \quad (17-3)$$

如果考慮到光綫 2 在  $C$  点从光密媒質反射时周相变为相反, 那么, 对于沿  $CM$  方向进行的那兩条光綫來說, 它們干涉的結果决定于量

$$\Delta = x_1 - x_2 + \frac{\lambda}{2} = 2hn \cos \beta + \frac{\lambda}{2}, \quad (17-4)$$

式中  $\lambda$  是光在空气中的波長。

从公式(4-7), (4-8)与(17-4)得出, 如果量  $\Delta = x_1 - x_2 + \frac{\lambda}{2}$  等于半波長的偶数倍, 即光程差等于半波長的奇数倍时, 则反射光中光束叠加时就互相加强。如果量  $\Delta = x_1 - x_2 + \frac{\lambda}{2}$  等于半波長的奇数倍, 即光程差( $x_1 - x_2$ )等于半波長的偶数倍时, 则这些光束就互相减弱。这样一来, 这个被單色光照射着的薄膜, 看起来或者是亮的, 或者是暗的。如果用白色光照射它, 那么, 某种顏色的光因干涉而抵消了, 而在薄膜上看到的顏色是与由干涉所抵消的光成补色的那种顏色。

在透射光中也可以观察到同样的現象, 但光的加强与減弱的条件改变了, 光綫 1 (圖 108)在  $C$  点可以部分地反射而

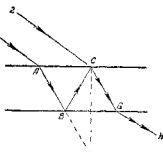


圖 108. 推导在薄膜中透射光的干涉条件用圖

且射到薄膜的另一面的  $G$  点。光綫 2 在  $C$  点部分地折射而且以与光綫 1 相同的方向进行。在  $G$  点两条光綫都折射，从薄膜中射出而沿着  $GH$  方向进行。它们的光程差与反射光的情况中的光程差相同，但在干涉时决定周相差的量  $\Delta$  却与反射光的情况不同，其值就等于光程差，因为無論那一条光綫都没有由于反射而改变周相。光綫 1 两次从光疏媒質反射，而光綫 2 根本沒有反射过。因此，干涉光的光程差就等于量  $\Delta$ ：

$$x_1 - x_2 = \Delta = 2hn \cos \beta. \quad (17-5)$$

如果这个量在空气中等于半波長的偶数倍，那么，在透射光中沿着光綫 1 与 2 的方向传播的光束就互相加强。如果这个量等于半波長的奇数倍，那么，这些光束就互相減弱。

因此，在薄膜中干涉的結果由下列的以光程差表示的条件来决定。

在反射光的情况下：

$$\text{最加强的为： } 2hn \cos \beta = (2k+1) \frac{\lambda}{2}, \quad (17-6)$$

$$\text{最減弱的为： } 2hn \cos \beta = 2k \cdot \frac{\lambda}{2}. \quad (17-7)$$

在透射光的情况下：

$$\text{最加强的为： } 2hn \cos \beta = 2k \cdot \frac{\lambda}{2}, \quad (17-8)$$

$$\text{最減弱的为： } 2hn \cos \beta = (2k+1) \frac{\lambda}{2}, \quad (17-9)$$

式中  $k$  是从零开始的任意整数。

如果在薄膜的一边是折射率較薄膜大的媒質，而另一边是折射率較薄膜小的媒質，这些条件会变成怎样呢？建議讀者作为習題加以闡明。

比較公式(17-6)、(17-7)、(17-8)和(17-9)得出：同一薄膜，用白色光照射，以同一角度觀察它，在反射光与透射光中看到互补的顏色，也就是当它们混合时成为白色的那兩种顏色。那些在透射光

中因干涉而抵消的光綫在反射光中可以看到，而那些在反射光中因干涉而抵消的光綫在透射光中可以看到。

如果膜并不很薄，那么就不能觀察到这种現象。光源通常并不是一点的，从光源表面的不同点發出的光綫以各种角度射到膜上，这些角度彼此相差無几。因此，圖107与108上的C点不仅是那些折射角为 $\beta$ 的光綫相遇之点，而且还是那些折射角与 $\beta$ 相差無几的光綫相遇之点。如果膜并不很薄，那么，对于不同的各对相干光綫來說，干涉条件可以彼此有很显著的区别①，因而某一对光綫的干涉圖样將被另一对光綫的干涉圖样所掩盖。例如，当用白色光照射厚度为0.1毫米的薄膜时，就已經不能觀察到干涉了。

如果膜很薄——数量級为百分之一微米，也就是說比可見光的波長( $0.4\sim 0.8\mu$ )还要小得多的話，那么，在反射白色光时，因为对任何顏色的光綫來說，程差实际上都等于零，而从光密媒質反射时，兩条相干光綫之間造成周相相差一个角度 $\pi$ ，所以在反射光中看來，薄膜是黑暗的。在透射光中，这薄膜是透明的。

現在我們來研究在薄尖劈中的干涉。干涉的結果取决于相干光綫的程差。显然，在單色光的情况下，在劈上会觀察到暗与亮的干涉條紋，而在白色光的情况下，会觀察到虹彩條紋。每一条“等厚條紋”都是尖劈內厚度相同各点連成的轨迹。如果尖劈是合乎常規的，那么，这些條紋就平行于尖劈的棱。有趣的是，这些“等厚條紋”是定域于尖劈的表面上的，也就是說好像是被描繪在尖劈表面一样。我們來闡明这一点。

每一个光源都有一定的寬度。因此，任何光源的每一点都發出光綫以不同的角度射到尖劈的表面上(圖109)。例如，有一条光綫SA从S点射到尖劈的上表面的A点，部分从这表面反射。另

① 謂光源上某一点S發出的光綫在薄膜某点A的折射角为 $\beta$ ，与其鄰近的一点S'在A点的折射角为 $\beta+d\beta$ ，因而引起 $\Delta$ 量的改变量 $d\Delta=-2n\sin\beta d\beta$ 。由式可见 $d\Delta\propto\lambda$ 。即由光源的不同点發出的光綫的干涉条件的改变随 $\lambda$ 增加而变大——譯者。

一条与第一条光线相干的光线  $SD$  射到  $D$  点，部分折射，又从尖劈

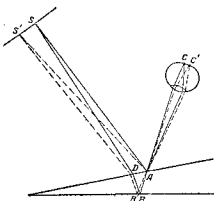


图 109. 磨尖劈中的干涉①

下表面的  $B$  点反射而到达  $A$  点。然后，这些以很小角度分散的光线射到调视在  $A$  点的眼球的水晶体上，并被它聚焦在网膜的某点  $C$  上。当这些光线的几何程差满足条件 (17-6) 时，在  $A$  点将看到亮条纹，而当满足条件 (17-7) 时，就看到暗条纹。

从光源的其他点（例如很近的  $S'$  点）射到尖劈上的许多对相干光线也从  $A$  点射出，这并不会使图样发生改变，因为尖劈很薄，对这些光线来说，其程差实际上是与第一对光线的程差相同的。如果  $S'$  离  $S$  点并不很近，那么，调视在尖劈的  $A$  点的眼睛就不能看到它们②——它们不会射到水晶体上。当尖劈的厚度超过波长几十倍时，在白色光的情况下也不能看到等厚条纹。在这种情况下，甚至对光源上靠得很近的各点发出的光线而言，干涉条件就已经不同了，各种干涉条纹互相叠加，因而看起来尖劈的表面是被均匀地照亮着。

因此，等厚条纹是定域于表面，而且是按公式 (17-6) 与 (17-7) 把  $h = \text{常数}$  的各点連結起来的条纹。不同的条纹， $h$  也不同。

我們还要研究一种干涉的情形，就是所謂“牛頓环”。

設有曲率很小的透鏡（圖 110），放在磨得很平的玻璃板上。在透鏡与平板之間，在它们接触点周围，形成薄层空气尖劈。在这

① 圖 109 中  $C'$  点应与  $C$  点重合，因为从同一点  $A$  发散的光线经凸透镜后必定会聚于一点——译者。

② 指自  $S'$  发出的光线——译者。

个尖劈中，等厚条纹是一些圆环——以  $C$  点为中心的圆周。我們現在來確定，用垂直于空气尖劈的表面的光線照射透鏡時，這些環的半徑彼此間有着怎样的關係。因為只有在鄰近  $C$  点的區域才能觀察到干涉，所以實際上這些光線都是平行的。對於這種情況說來，在公式(17-6)與(17-7)中，可以取  $\cos \beta = 1$  與  $n = 1$  (因為是空氣尖劈)。如果以  $\rho$  表示環的半徑， $R$  表示透鏡的曲率半徑，那麼，空氣層相應的厚度  $h$  決定於關係式

$$\rho^2 = h(2R - h)$$

或  $\rho^2 = 2Rh - h^2$ ，因為  $h^2$  項遠較  $2Rh$  項為小，因此可以把它略去，我們得到：

$$h = \frac{\rho^2}{2R}.$$

把这个  $h$  值代入公式(17-6)與(17-7)中，我們得到在反射光的情況中的暗環有：

$$2 \frac{\rho^2}{2R} + \frac{\lambda}{2} = (2k+1) \frac{\lambda}{2}.$$

因為相干光線中有一條光線從光密媒質反射，因而周相變為相反，所以上式的左邊加上了  $\frac{\lambda}{2}$ 。從上式求出在反射光的情況中暗環的半徑：

$$\rho = \sqrt{2kR \frac{\lambda}{2}}, \quad (17-10)$$

式中  $k$  是從 1 開始的任意整數。

在反射光中，亮環的半徑可從下面的關係式求出：

$$2 \frac{\rho^2}{2R} + \frac{\lambda}{2} = 2k \cdot \frac{\lambda}{2},$$

因此

$$\rho = \sqrt{(2k-1)R \frac{\lambda}{2}},$$

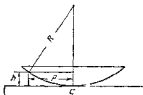


圖 110. 推導牛頓環的半徑之值用圖

或者同样地，

$$\rho = \sqrt{(2k+1) R \frac{\lambda}{2}}, \quad (17-11)$$

式中  $k$  是从零开始的任意整数。

这样一来，在反射光的情况下，亮环的半径正比于一连串的奇数的平方根，而暗环的半径正比于一连串的偶数的平方根。对于透射光的干涉现象来说，结果是相反地，暗环的半径正比于奇数的平方根，因为相干的光线中有一条光线经两次反射都使周相变为相反，而另一条光线却无反射地通过空气尖劈。在中心处，也就是在  $k=0$  的情况下，在反射光的情况下出现暗斑，而在透射光中是亮斑，这可以作为光从光密媒质反射时周相变为相反这件事的实验证明。

图 II (在本書之末) 表示用單色光照射时由反射光获得的牛顿环的照片。在两个环上看到有一些扭曲，这表示透镜或平板的琢磨有缺陷。

从公式(17-10)与(17-11)看出，如果观察牛顿环时所用的光线的波长愈短，那么牛顿环的半径就愈小，因此，在白色光的情况下，就要看到虹彩的环，紫色的靠里面。在反射光的情况下，中心斑点是黑暗的，因为在中心处所有光线都因干涉而抵消了。在透射光的情况下，中心斑点是白色的。

### I. 等倾条纹与干涉仪

我們还要研究一种干涉现象，就是等倾干涉条纹的形成。設有一塊兩面严格平行的平板 (圖 111)。这块板可以比較厚些，它的厚度可以达到好几个厘米。用光源照射这块平板，这个光源并不是点状的，而是具有一定开闊度的，因此从这个光源的不同点发出的光束，例如光束  $S_1$  与光束  $S_2$ ，一般說来并不平行，虽然在光源离得足够远的情况下，每一束光的光线 (1, 2, 3) 都可以認為是平行的。某一束平行光线一部分从板面反射，另一部分进入板中，在

板的下一面反射后，又从板中射出；第三部分进入板中，在板的下一面反射后，从上一面反射，又从下一面反射，最后从板中射出；第四部分——經過五次反射以后从板中射出，依此类推。光束  $S_1$  的各部分光

綫之間有程差，如同(17-4)一样，这程差与  $\beta$  角有关。对某一光束的所有光綫來說，这程差的值是相同的，而对不同光束的光綫是不同的，因为  $\beta$  角对不同光束有不同的值。如果在光綫进行的途徑中放一个透鏡，那么，同一光束的光綫就在透鏡的焦面的某些点上發生干涉。由于不同光束干涉的結果不同，而且与光綫射到板上的入射角和折射角  $\beta$  有关，因此，在透鏡的焦面上就出現一定的干涉圖样。在置于透鏡焦面处的屏上可以看到等傾條紋。如果用眼睛調視無限远，也可以直接地觀察到这些条紋。因此，等傾條紋定域于無限远，它們是那些入射角相同，因而折射角也相同的光綫形成的，也就是那些  $\beta = \text{常数}$  的光綫形成的[参考(17-4)]。不同的条紋  $\beta$  不同。

112 圖表示觀察等傾條紋的裝置簡圖。这时，从点光源  $S$  射出的光綫束通过半透明鏡  $B$  而射在一塊兩面平行的平板  $A$  上。鏡  $B$  与板面作  $45^\circ$  角。

我們隨着光綫  $SD$  的行程来进行研究，这条光綫在圖 112 的平面上，而且射到  $A$  板的  $D$  点上。光綫  $SD$  在  $D$  点分成兩条光綫——反射綫  $DP$  与折射綫  $DE$ 。后者在  $E$  点又分成兩条光綫——反射綫  $EH$  与折射綫  $EX$ ，这折射綫与光綫  $SD$  平行而在板的那一邊傳播。光綫  $EH$  在  $H$  点又分成兩条——折射綫  $HQ$  与射到  $G$  点的反射綫  $HG$ ，它在  $G$  点所發生的一切与光綫  $DE$  在  $E$  点所

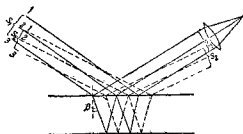


圖 111. 說明產生等傾條紋用圖

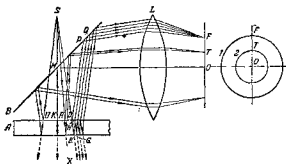


图 112. 观察等倾条纹的装置简图

發生的完全一样。

光綫在  $A$  板的兩個面上反射与折射时的分解的过程多次地進行着。結果光綫  $SD$  就形成了兩束强度依次遞減的平行光綫。其中一束按照圖 112 那样指向鏡  $B$ , 另一束(圖中虛綫所示的)光綫, 在  $A$  板的另一边平行于光綫  $SD$  而傳播。第一束光綫从鏡  $B$  反射后被透鏡  $L$  聚焦在它的焦平面上的  $F$  点, 組成光束的那些光綫就在这一点發生干涉。圖上画出其中五条光綫。干涉的結果与这些光綫的程差有关, 而程差又与光綫  $SD$  射到板上的入射角有关。这个結果对形成以  $MK$  为軸的圓錐面的那些光綫都是相同的。这样一来, 所有这些光綫形成了一条等傾干涉条紋。如果透鏡的焦面垂直于透鏡的軸  $MO$ , 而  $MO$  又垂直于圓錐的軸  $SK$ , 那么, 条紋就是一些以  $O$  点为中心的圓周, 通过圓錐体的軸的光綫就射到这个  $O$  点。圖 112 右边部分表示兩個圓周。第一个圓周是通过  $F$  点的干涉条紋, 它是那些光綫所形成的, 这些光綫入射到  $A$  板的角度等于光綫  $SD$  的入射角, 也等于和  $SD$  对称的光綫  $SU$  的入射角, 而第二个圓周是以較小的角度入射的光綫所形成的。圖中画出这些入射角較小的光綫中的某一条光綫 ( $SR$ ) 的行程。这条光綫分解为兩束光綫, 其中一束光綫被透鏡聚焦在  $T$  点, 在这点看到了干涉。

如果那些以接近  $90^\circ$  角(圖 111)入射到板上的光線所形成的等傾干涉條紋被觀察到，那麼，這些條紋的形狀就是曲率很小的雙曲線——几乎是一些互相平行的直線。

理論的計算指出(我們不來推導)，單色光所形成的干涉條紋之間的距離正比於波長的平方根而反比於平板厚度的平方根。由此可見，從波長不同的光線組成的光束所獲得的干涉圖樣是好多組條紋組成的，這束光中有多少不同的波長，就有多少組的條紋。因此，在白色光的情況中，只有當相干光線之間的程差是幾個波長時，也就是在厚度為幾個微米的薄板時，才能觀察到等傾條紋。在較厚的板的情況中，不同波長的光波所形成的條紋互相重疊，以致把干涉圖樣掩蓋了，因為在這種情況中，條紋間的距離非常小，而不同顏色的光所形成的暗條紋與亮條紋都擠在一起，就變得混淆不清了。

在厚板的情況中，只有用單色光才能觀察到等傾條紋。然而當板的厚度大於某一個極限厚度時，就看不到干涉了。這個極限厚度的數值與光源的單色性程度(決定於光源輻射的波長的範圍)有關，並與相干光線在它們相遇的點的強度差有關。

在任何“單色”光源的光流中，都有著不同波長的光波。例如，在鈉光譜中有兩條相近的黃線，其波長為  $5890 \text{ \AA}$  與  $5896 \text{ \AA}$ ，除此以外，每條譜線都具有一定的寬度，約為千分之一埃。光譜中只有一條譜線的光源也輻射出寬度約為千分之一或九百分之一埃的範圍內的所有可能的波長。發射光的原子的熱運動是譜線“擴張”的一個原因。由於多普勒現象，移近觀察者的原子發出的光振動的頻率較高，而離開觀察者的原子發出的光振動的頻率較低。除此以外，還應該考慮到同一種元素的原子的變種的存在。這些變種稱為同位素(參考原子物理部分)。同一種元素的各種同位素的原子輻射出來的光譜線彼此相差無幾。因此，從幾種同位素的混合物發出的光的譜線的寬度比純淨的同位素發出的光的譜線的

寬度来得大些。

正如已經提到过的，每一波長的光形成自己的一系列的等傾條紋。舉例來說，如果使波長為  $5890 \text{ \AA}$  的鈉光所形成的暗條紋疊加在相應于波長  $5896 \text{ \AA}$  的亮條紋上，那麼干涉條紋就要混淆不清。在譜線寬度範圍內的各種波長的波所形成的條紋疊加時，也發生同樣的現象。當條紋間的距離很小時，亦即當相干光之間的程差較大時，亦即當板的厚度較大時，這種現象也表現出來。因此，在干涉的測量上都採用譜線寬度尽可能小的單色光。

在一般的情況下，相干光線從它分解之點到再相遇之點要經過不同次數的反射與折射。在每一次反射與折射時，光線強度的減弱與反射系數有關。除此以外，光線通過均勻媒質的路程愈長，由於媒質對光的吸收的緣故，光的強度就愈小。由此可見，兩條在分解時強度彼此相同的光線，當它們再相遇時，其強度就可以有很大的不同。程差較大時，其中一條光線的強度可以比另一條光線的強度小若干倍，因而在它們疊加時就看不出干涉條紋。在這種情況下，眼睛的靈敏度不足以發現亮條紋中光的強度（相干光的強度相加）與暗條紋中光的強度（相干光的強度相減）的差別。因此，人們常把補償器放在干涉儀中某一條相干光線的路程上，用這補償器來使相干光相遇時強度變成一樣。

在作干涉的測量時，人們一般是觀察當相干光的程差或光程差改變時條紋的移動。每一条紋移動到相鄰條紋的地方，也就是說移動了一個條紋，就相應於相干光線的程差準確地改變了一個波長。這個移動只有在程差改變的過程中才能觀察到。在條紋移動的前後，干涉圖樣實際上是一樣的。因此，發現程差改變幾分之一波長要比發現程差改變好幾個波長來得容易，這是作干涉的測量的特徵。

順便指出，聚光透鏡並不引起光束的附加的程差。靠近透鏡邊緣通過的那些光線，從物到像所經過的幾何路程要比通過透鏡

光心附近的那些光线所经过的几何路程长些，但是因为透镜的边缘比中心薄些，因此，前者经过玻璃的路程比后者短些，而光在玻璃中的传播速度较小。

技术上应用的某些测量仪器的机理就是以干涉现象为基础的。其中最著名的有沙敏干涉折射仪、A. C. 罗日捷文斯基院士的干涉仪、迈克耳孙干涉仪以及 B. I. 林尼克院士的干涉仪。

沙敏折射仪（图 118）由两块厚度完全相同而且经过精密琢磨的面平行的玻璃厚板  $M$  与  $N$  组成，它们被装置成互相平行。从光源  $S$  发出的光线射到  $M$  板的  $A$  点，部分反射到  $N$  板的  $B$  点，部分折射且进行至  $C$  点。这部分光线在  $C$  点反射，然后又在  $E$  点折射而射出  $M$  板，再射到  $N$  板的  $F$  点上，再反射而射向  $G$ 。

从  $A$  点反射的那部分光线在  $B$  点折射，又在  $D$  点反射，再在  $F$  点折射后，射出  $N$  板，沿着方向  $G$  进行，这个方向就是在  $A$  点折射的那部分光线从  $N$  板射出的那个方向。显然，如果板是严格平行的，那么，在  $F$  点相遇且沿  $FG$  方向进行的那两条光线之间就没有任何的程差。

如果以稍微扩展的光束照射  $M$  板，那么，在迎着从  $N$  板射来的光线的方向的望远镜中，将观察到等倾干涉条纹。如果在光线  $AB$  与  $EF$  之间的某一条光线的路程上放置其他气体来代替空气，或是把空气加热来改变其折射率，因而在光线  $AB$  与  $EF$  之间造成了程差，那么，干涉图样就要发生变化。根据干涉图样的改变，不仅可以比较不同气体的折射率，甚至还能决定气体的折射率随温度改变而变化的关系。

A. C. 罗日捷文斯基院士的干涉仪是沙敏折射仪的变样，他用它来研究反常色散。这仪器以及 A. C. 罗日捷文斯基的工作将在

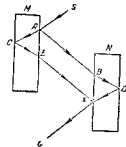


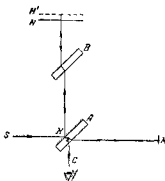
图 113. 沙敏干涉折射仪简图

下一节中描述。

迈克耳孙干涉仪的简图如图 114 所示。从光源  $S$  发出的光束射到两面平行的平玻璃板  $A$  上， $A$  板的一面镀了一薄层的银。这块板装置得与入射光线的方向成  $45^\circ$  角。约有 50% 的光线从镀银面反射，另外 50% 的光线通过平板而射向镜  $M$ 。这些光线反射后又回到  $A$  板，再从镀银面反射面向  $C$  点进行。在  $K$  点反射的光线通过  $B$  板，它与  $A$  板相同，但不镀银层。 $B$  板与  $A$  板平行。光线通过  $B$  板，射向镜  $N$ ，被它反射后再通过  $B$  板与  $A$  板而射向  $C$  点。这些从光源发出而经过不同路程的光线之间有着程差，它与  $M$  镜和  $N$  镜到  $A$  板的  $K$  点的距离差有关。这程差等于从  $A$  板镀银面反射所获得的  $M$  镜的虚像（图上用虚线和  $M'$  表示）到  $N$  镜的距离的两倍①。这虚像  $M'$  的平面称为参考平面。在置于  $C$  点处的望远镜中观察时，如果  $N$  镜的平面与参考平面  $M'$  严格地平行，则看到的干涉图样是等倾条纹（一些圆环）。利用特制的调整螺旋使  $N$  镜沿光路方向移动，使得相干光线之间的程差增加，这些环就向视场的边缘散开，而当使程差减小时，它们就向中心聚集。一个条纹的消失或者新的条纹的出现，都相应于  $N$  镜移动了  $\frac{\lambda}{2}$  的距离，也就是说明程差增加了  $2 \frac{\lambda}{2} = \lambda$ 。

利用  $N$  镜上的螺旋装置，可以使  $N$  镜转过一个很小的角度。在这种情况下， $N$  镜与参考平面之间形成空气尖劈。这时在视场中看到等厚条纹。 $B$  板称为补偿器，用来使光线  $KN$  与  $KM$  传播的条件变为一样。如果没有这块板，那么在这两条光线之中，就有

① 原文没有“两倍”，应加上——译者。



一条要通过玻璃板三次，而另一条仅通过一次。除此以外， $B$  板可以转过一个很小的角度，这样能使相干光的程差有一微小的改变。想要测定位移到条纹的几分之一，也就是想要提高测量的准确度，就必须使相干光的程差有微小的改变。

迈克耳孙干涉仪能够非常精确地测定长度——可以和規塊相提并论，而且可以测定光波的波长，例如测定鎳蒸汽的光谱中的紅线的波长已經能够准确到 8 位有效数字。这样的准确度是近代测量技术中的记录。

B. II. 林尼克院士的干涉仪是用来研究表面加工的质量。我们来研究这类仪器中的二种类型：用来研究小区域的不平表面的显微干涉仪以及用来研究較大平面的干涉仪。

显微干涉仪裝在显微鏡的目鏡与物鏡  $O_1$  (圖 115) 之間的鏡筒上。放在侧面的光源  $S$  所發出的光线，射到由兩個棱鏡組成的玻璃立方体上，这两个棱鏡以对角綫边互相紧接着。其中一个的对角綫边镀了一層半透明的銀層，它的作用和迈克耳孙干涉仪中的  $A$  板的镀銀面一样——把一部分光线反射，經過物鏡  $O_1$  而射到要研究的表面  $L$  上，而讓另一部分光线透过，再經過第二个物鏡  $O_2$  而射到鏡  $M$  上。这面鏡子放在几乎与入射光的方向成  $90^\circ$  角的位置。因此，从  $M$  鏡反射，然后又从镀銀面反射的光线就形成了参考平面  $M_1$ ，它与要研究的表面  $L$  成一个微小的角度。这样一来， $M_1$  与  $L$  之間就形成薄空气尖劈，而在显微鏡的視場中就看到平行于劈棱的干涉条纹。如果这些条纹扭曲，就表明在所研究的表面上有隆起或凹陷的地方。

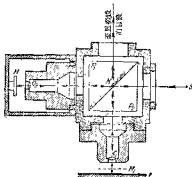
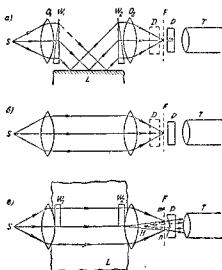


圖 115. B. II. 林尼克的显微干涉仪

在研究較大的平表面的干涉仪中(如圖116所示),光源S發出的光綫射向透鏡 $O_1$ 。



光綫的一半——在光路左边的一半(縱截面圖116 a)——被棱鏡 $W_1$ 所偏折而射到所研究的表面上,这些光綫从欲研究的表面反射,通过棱鏡 $W_2$ 与透鏡 $O_2$ 而会聚于焦面 $F$ 上。从透鏡射来的光綫靠右边的一半(縱截面圖116 b)直接射到透鏡 $O_2$ 而会聚于同一焦面 $F$ 上。如果所研究的表面与仪器的軸綫稍微不平行,则在焦面 $F$ 上,形成光源 $S$ 的两个像在 $m$ 点及 $n$ 点(水平截面圖116 c)。这两个像是次級的相干光源。如果利用双棱鏡 $P$ 使光源的像 $m$ 与 $n$ 聚于一点 $H$ ,那么在鏡筒 $T$ 中可以看到干涉圖样——一系列鉛直的條紋。

如果被研究的表面是不平的,那么这些條紋將是弯曲的。根据條紋的弯曲可以發現所加工的表面的缺陷,并能决定凹陷的深度或表面上其它的凹凸情况。为了使相干光綫的光程和傳播的条件都一样,应用如圖117所示的补偿器 $D$ 。这个补偿器由四个棱鏡 $D_1$ , $D_2$ , $D_3$ 和 $D_4$ 組成。从圖中可以看出光

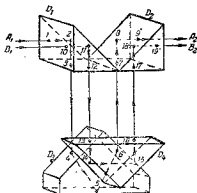


圖117. B. H. 林尼克干涉仪中的补偿器

在补偿器中的行程。靠左边的光綫沿着路程  $A_1, 1, 2 \dots, 8, 9, A_2$  进行, 在点 2, 5 与 8 受到三次反射。靠右边的光綫沿着路程  $B_1, 10, 11, \dots, 18, 19, B_2$  进行, 在点 11, 14, 15 与 18 受到四次反射, 也就是说多了一次反射。

沿着在棱鏡  $D_1$  与  $D_4$  或在  $D_2$  与  $D_3$  之間进行的光綫的方向移动棱鏡  $D_3$  或  $D_4$ , 可以改变且补偿通过仪器右半边的光綫与左半边的光綫的空气程差。用这种仪器可以研究長度超过一米的平面, 而且能够确定表面加工的缺陷准确到一个微米。

在 B. II. 林尼克院士所設計的另一些类型的干涉仪中, 有着能够研究圓錐表面与圓柱表面的裝置。

利用光的干涉現象, 借助于所謂“光学的变明朗”就可能改进透鏡的質量。光綫射到透鏡时, 部分被反射, 因而光綫的强度减弱了。当光束垂直射到折射率  $n=1.54$  的玻璃表面时, 有 4.5% 的能量被反射。由此可见, 在光学仪器中, 由于光綫从透鏡表面反射, 而使它所得到的像的亮度减弱, 这种反射在某些情况中特別有害。例如, 在潛水艇的某些潛望鏡中, 光綫在行程中遇到的表面超过 40 个以上, 由于反射的結果損失了很大分數的能量。这时在光束中剩下  $(1-0.045)^{40}=0.158$  的能量。如果再考慮到光在玻璃中的吸收(參閱 § 13), 那么, 光綫通过潛望鏡后約減弱 10~15 倍。

近年来, 由于苏联学者(包括 H. B. 格列本斯奇科夫, A. A. 列別捷夫, A. H. 捷列宁以及其他一些学者在内)一系列的工作, 已經發現在光学系統中减少光綫由于从玻璃表面反射而损失的某些方法。其中一种方法可归結如下。在玻璃面上, 鍍上一層薄膜, 它的厚度仅为对眼睛最灵敏波長的四分之一, 也就是说它的厚度为  $\frac{5560}{4n} = \frac{1}{n} 1890 \text{ \AA}$ , 此处  $n$  为薄膜的折射率。折射率的大小应当这样选定:使得从薄膜的两个表面反射的光綫强度相同, 而且在这两种情况下, 光綫都是从光密媒質反射。因为这两束光綫的程差等

于  $2 \cdot \frac{\lambda}{4}$ , 而且每一束光綫反射时周相都变为相反, 因此它們干涉时就互相抵消。这样一来, 就不会有光从镀着薄膜的玻璃表面反射了。当然, 这个条件不可能对所有波長同时满足。因此, 所謂明透鏡在反射光中的薄膜的顏色常常是紫色的。

精密机械的發展与檢驗公差很小的零件的尺寸的需要, 导致广泛地应用“規板”——准确度达到  $10^{-5}$  厘米的規塊。这些規塊可以用干涉法来檢驗。圖 III (本書之末) 表示磨得不好的規塊表面上产生的干涉条紋的照片。条紋的扭曲表示在規塊表面上有窪痕。每一窪痕的深度都可以根据相应的凸出部分的大小来确定。可以用相邻条紋之間的距离来确定比例尺, 条紋之間的距离对应于深度为可見光譜中部的波長的一半, 亦即对应于深度为  $8 \times 10^{-5}$  厘米。

### § 18. 光的繞射

#### A. 会聚光的繞射

在 § 5 中我們已經熟悉了惠更斯原理, 并利用它导出了振动的反射与折射定律。在惠更斯原理的基础上, 開明了振动在均匀的各向同性的媒質中的直線傳播。这种開明是以同一节中所研究的菲涅耳“分帶法”作为基础的。分帶法也能够解释各式各样的波的繞射現象, 这些繞射現象是波繞过放在它們傳播路程上的障碍物的結果。§ 5 中所引入的, 用来研究机械振动的全部材料可以推广到各种可能波長的电磁振蕩。

我們來研究光的繞射的某些特殊情况, 并假定采用單色光源。

假設光从光源  $S$  (圖 118) 向屏  $E$  的方向傳播。以  $S$  点①为中  
心作球面。这球面就是波面。依下列作法把它分为若干个帶, 如  
同在 § 5, B 中所描述的一样; 作一系列中心在直線  $SA$  上的圓周,

① 原文为  $A$  点, 应改为  $S$  点——譯者。

这些圆周是以  $A$  点为顶点的一系列圆锥的底。这些圆锥的母线的长度分别等于  $d + \frac{\lambda}{2}, d + 2\frac{\lambda}{2} \dots$  等等,  $d$  是  $A$  点到  $C$  点的距离。

設在光的行程中如圖上所示的那样放置着一个有小孔  $MN$  的不透明的屏  $D$ 。如果屏上小孔恰好被分成兩個帶, 四個帶, 或一般說來, 被分成偶數個帶的話, 那么, 在屏  $E$  的  $A$  点处, 是不会有光亮的, 因为从相鄰的帶的對應點到  $A$  点的距离都相差半波

長, 因此, 从未被遮沒的帶發出的振动都成对地互相抵消了。如果屏上的小孔  $M$  可以分成奇数个帶, 那么, 只有从波面未被遮沒部分的某一个帶發出的振动沒有被抵消, 而从其余各点發出的振动都要互相抵消。这个結論只有当孔比較小, 而波面未被遮沒部分是由少数的帶構成的情况下才是正确的。孔愈小, 这种現象愈显著。有趣的是, 当未被遮沒的帶只有一个的时候, 在  $A$  点的亮度要比波面完全開啟的情况来得亮些。在完全開啟的情况下, 如同在 § 5 中指出的, 从波面上所有的点發出到  $A$  点的合振动的振幅等于仅仅从零帶的各点發出到这点的振动的振幅的一半。

小孔內的帶的数目不仅与孔的大小有关, 而且还与孔到  $A$  点的距离有关。当这段距离改变时,  $A$  点的亮度就發生改变: 它将依次地一亮一暗。屏  $E$  上的其余各点也将一亮一暗, 因为由屏上其余的点(例如由  $B$  点)在小孔內所造成的帶的数目与由  $A$  点在小孔內所造成的帶的数目并不相同。这样一来, 在屏上  $A$  点与几何影区的边缘(是以  $A$  点为中心而以  $PQ$  为直徑的圓周)之間就有交替的亮环与暗环。

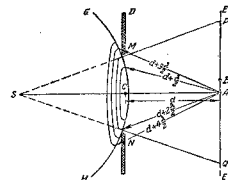


圖 118. 開明小孔繞射用圖

使單色“点”光源发出的光束，通过不透明的屏上的小圆孔，然后照射到照相底片上时所得到的三张照片如图IV所示（在本書之末）。左边那张照片是从直径为3.8毫米的小孔得到的，这个小孔放在离开照相底片2米的地方。在这种情况下，小孔被分成4个带，因而在圆周的中心处看到暗点。右边那张照片是从直径为6.4毫米的小孔得到的，这时照相底片到小孔的距离为3.4米。在这种情况下，小孔被分成7个带，因而在圆周中心处看到亮点。中间那张照片是从直径为5.3毫米的小孔得到的，这时照相底片到小孔的距离为2.8米。这个小孔被分成5.8个带，因而在圆周的中心处看到影深较弱的暗点，因为有0.2个带发出到这点的光振动没有被抵消。

如果像图119那样的在光的行程中放置一块不透明的小圆屏

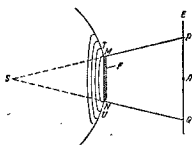


圖 119. 說明小圓屏繞射作用

来代替有小孔的屏的話，那么，屏E上的几何影区將被限制在以A点为中心，PQ为直径的圆周以内。A点是亮的，因为从波面未被屏F遮沒的部分發出的光波在A点的总的作用可以归結为一定振幅的振动，这振幅等于从波面未被遮沒的第一个带發出到A点的合振动的振幅的一半。第一个带就是与屏F緊接的那个圆环。在圖119上，它以字母MTUN表示。在靠近几何影区的边缘以外的区域里，將看到以A点为中心的暗环及亮环，如圖V（在本書之末）所示；圖V是由直徑各为1.2毫米及3.2毫米的小圆屏在离开它们3米处的照相底板上所形成的影像的兩張照片。左边那张是較小圆屏的影像的照片，在這張照片上，影像中心的亮点比較明显些。

圖 VI（在本書之末）表示細針的尖端与中部的影像的放大照

片。照亮細針的單色光束，从与針平行的狹縫發出。这个光源附近的波面是柱面形的。要說明这种情況下的繞射現象，就应当把波面分成帶，但这些帶的邊必須是平行于細針及線狀光源的直線。

第三圖表示針尖的影像的实际大小，而且印紋制得非常精細，以致可以看出几何影区內的細致結構。

圖 IV, V 与 VI 所示的照片都是在  $\lambda = 4.358 \times 10^{-5}$  厘米 = 4358 埃的單色光照射之下得到的，使水銀弧的光綫經過不讓其他波長通过的濾波片，就得到这种單色光。如果用白色光，那么，在屏上就出現一些彩色环或彩色条紋来代替亮、暗环或亮、暗条紋。光波在觀察繞射的屏上每一点叠加的結果与光的波長有关。与某一波長相对应的那种顏色的光綫抵消了，而与另一波長相对应的別种顏色的光却加强了，因而在屏上被照亮的每一点处，就看到混合色的光，这些混合的顏色是和互相叠加結果沒有被抵消的光綫相对应的。在小圓屏的影像中心，將看到白色光点，因为所有波長都遵守着在这点是亮底的条件。

有趣的是，在玻璃上或透明紙上画一些圓周把平面波的波面分为若干个帶，而且把所有偶数的帶或所有奇数的帶塗黑，就得到所謂“波帶片”。这种波帶片在某一点  $K$  产生非常明亮的光点，这光点的位置可以由圖 26 来决定，這張圖是說明平面波的波面分帶的圖。透鏡可以把平行光綫聚焦在主焦点，波帶片在这方面与透鏡相类似。

这种“波帶片”的照片如圖 VII (在本書之末) 所示。

上面所研究的繞射現象都屬於会聚光的繞射現象的一类。这些現象表面上看來是光繞过障碍物，而本質是从許多次級中心發出的振动的叠加，这些中心就是同一波面上的那些点。

### B. 平行光的單縫繞射

第二类繞射現象称为平行光的繞射現象，只有利用透鏡才能

观察到，透镜的作用是把光綫会聚在焦面上。

設有一个狭縫，用平行光束照射它（圖120）。讓縫的寬度

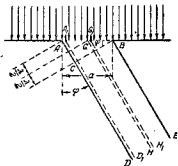


圖 120. 單縫繞射

$AB = a$ 。根据惠更斯原理，振动从这光束的波面  $AB$  上的每一点向各方向傳播。选定某一方向，例如与法綫作  $\varphi$  角的方向，再决定：如果利用透鏡使光綫会聚在一起时，这些光綫叠加的結果是怎样。这个結果与从所有的振动次級中心的各点發出的那些光綫的程差有关，这些振动中心对

波面（也就是縫  $AB$ ）上的所有的光綫來說是公有的❶。在这种情況下，我們還記得，透鏡并不引起任何的程差（参考 § 17.I）。

邊緣的光綫  $AD$  与  $BE$  的程差等于綫段  $AC = a \sin \varphi$ 。如果这程差等于半波長的偶數倍，例如兩倍，那么整个光束就可以分为兩束  $ADHG$  与  $GHEB$ ，在这兩束光中，每兩条相应的光綫，例如  $AD$  与  $GH$  或  $A_1D_1$  与  $G_1H_1$ ，程差都是半波長，因而就互相抵消了。这样一来，与法綫作  $\varphi$  角發出的所有的光綫都抵消了。如果邊緣的光綫的程差等于半波長的奇數倍，例如半波長的三倍，那么，整个光束就可以分为三束，这些光束有許多对应的光綫，它們之間的程差都等于半波長。有兩束光的光綫在叠加时抵消了，而第三束光在透鏡的焦面上产生亮条紋。

由此可見，从縫發出而与法綫成  $\varphi$  角的平行光綫互相叠加的結果与邊緣的兩条光綫的程差有关。

对滿足方程

$$a \sin \varphi = (2k+1) \frac{\lambda}{2}, \quad (18-1)$$

❶ 意即波面上每点的振动都向各个方向發出光綫——譯者。

的角度  $\varphi$  來說，在透鏡的焦面上可以觀察到亮條紋（亦即強度最大），式中  $k$  是大於零的整數。

對滿足方程

$$a \sin \varphi = 2k \cdot \frac{\lambda}{2}, \quad (18-2)$$

的角度來說，可以觀察到暗條紋（亦即亮度最小）。如果角  $\varphi$  是  $a \sin \varphi$  等於半波長的非整數倍時的角度，那麼，在透鏡焦面上觀察到的光的強度是在最靠近的極大與極小的強度之間的某一個中間強度。角  $\varphi$  不同，而且形成亮條紋（極大）於透鏡的焦面的那些光束的邊緣光線的行程如圖 121 所示。強度分布圖也在這圖上表示出來。 $M_0$  點是中央極大，是垂直於縫 ( $\varphi = 0; a \sin \varphi = 0$ ) 發出的光線形成的。這光束的全部光線以相同的周相達到透鏡的焦面，而且互相加強。 $M_1$  點與  $M'_1$  點對於光束的兩條邊緣光線之間的程差等於半波長的三倍，亦即  $a \sin \varphi = 3\frac{\lambda}{2}$ 。在這兩點上得到第一級極大（中央極大稱為零級極大）。 $M_2$  與  $M'_2$  點是第二級極大；對它們說來， $a \sin \varphi = 5 \cdot \frac{\lambda}{2}$ 。 $m_1$  點與  $m'_1$  點是第一級極小；對它們說來， $a \sin \varphi = 2 \cdot \frac{\lambda}{2}$ 。第二級極小相當於兩條邊緣光線之間的程差  $a \sin \varphi = 4 \cdot \frac{\lambda}{2}$ 。它們在  $m_2$  點與  $m'_2$  點，余類推。

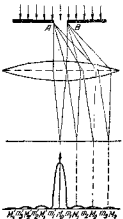


圖 121. 單縫繞射條紋的形成

上圖表明，當用單色光照射狹縫時，在透鏡焦面的屏上可以看到平行的亮條紋，它們被黑暗的間隙所分開。如果用白色光照射狹縫，那麼，顯然屏上的中央極大也是白色的。在這裡，各種顏色的光線都互相加強。對於不同顏色的光線（亦即不同波長的光線），

說來，在中央條紋兩旁的極大並不互相重合。因此，在中央的全色條紋（亦即白色條紋）的兩旁，將觀察到彩色條紋，但它們的亮度遠較中央白色條紋的亮度為小。

### B. 繞射光柵

用金剛石在玻璃上刻划許多相等的，而彼此距離很小的直線刻紋，就製成了繞射光柵。通常刻制利用特制的刻度机来进行的。在光柵的每厘米上，這種刻紋的數目可以達到  $15000 \sim 16000$  条。這種光柵的斷面的多倍放大的形狀簡略地如圖 122 所示。

繞射光柵雖可以利用特制的刻度机來製造，然而這樣製造要

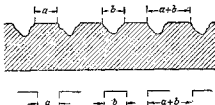


圖 122. 繞射光柵的斷面圖

花費很大的代價。現在已經有方法來大量製造刻制的光柵的廉價的透明膠的拷貝，這種光柵勝利地代替了刻制的光柵。

如果用平行光照射繞射光柵，那麼，光線就通過玻璃板未被刻划的部分，那些刻紋使光散射而成為光柵的不透明部分。通常簡略地用短划綫來表示繞射光柵，如圖 122 下面部分所示。黑短綫表示不透明部分（刻紋），而短綫間的間隙表示透明部分。光柵用“紋距”或光柵常數來表征，光柵常數等於間隙的寬度  $a$  加上刻紋的寬度  $b$ ，亦即  $a+b$ 。

設以垂直于光柵平面的平行光線照射繞射光柵。每一個狹縫（間隙）都有光線向各方向傳播，因為根據惠更斯原理，每一個狹縫的每一點都可以當作次級振動中心。如果在光的行程中放一個透鏡，在透鏡的焦面上放置一屏，那麼，從繞射光柵的許多狹縫發出的，與法線成某一角度  $\varphi$  的全部光束的所有平行光線，將會聚在屏上的某一點。對於屏上的不同點來說， $\varphi$  角是不同的。屏上每一點的亮度與被透鏡聚焦的每一光束的強度有關，而且還與這些光束互相疊加時的干涉結果有關。

如同在研究單縫繞射时說明过的一样，一束光的总强度取决于光綫和光栅法綫所成的角  $\varphi$ 。这一强度值对于从不同的縫以同一角度  $\varphi$  發出的光束來說是一样的。在这些光束中，合振动的振幅也是相同的，因为强度正比于振幅的平方。

这些光束干涉的結果与它們在透鏡焦面互相叠加时的周相差有关。用單色光源时，在相鄰光束

相遇之点，周相差取决于和它們相应的光綫（例如相应的兩条边缘光綫）的程差以及光波的波長。

从圖 123 可以看出，这程差  $AB$  等于光栅常数  $a+b$  乘上角  $\varphi$  的正弦。如果这个量等于半波長的

偶数倍，亦即波長的整数倍，那么，相鄰的光束以相同的周相互相叠加，而在光栅所有的縫發出的光束会聚的屏上，合振动的振幅等于每一狭縫所造成的振动的振幅的总和。若有  $N$  个縫，在屏上該处的合振动的振幅是一束光的光綫（亦即由一个縫傳出的光綫）所造成的光振动的振幅的  $N$  倍，因为强度正比于振幅的平方，所以射到該处的光綫的强度是一束光的强度的  $N^2$  倍。因此，在屏上指定的地方形成明亮的亮条紋。

如果相鄰光束中相应的光綫的程差 [亦即  $(a+b)\sin\varphi$ ] 等于半波長的奇数倍，那么这些光束以相反的周相在屏上相遇，因而互相抵消。

如果从相鄰狭縫發出的光束的相应的光綫的程差 [亦即量  $(a+b)\sin\varphi$ ] 等于半波長的分数倍，那么，要决定在这些光束互相叠加的屏上的合振动的振幅，就应当把所有光束所造成的振动的振幅几何地求和。在这种情况下，相鄰光束所造成的光振动之間有一定的周相差  $\delta$ ，它与光束的程差有关。要把振幅几何地求和，可以利用矢量圖解法。在好几个振幅求和时，以作矢量多角形代替

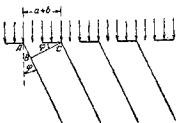


圖 123. 說明光柵的繞射用圖

作平行四边形是比较便利的，矢量多角形是由分矢量组成的曲折线，这些矢量都以 $\delta$  角一个接一个地衔接在一起，如图 124 所示。

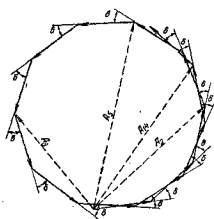


图 124. 从多狭缝发出的光束的振幅的几何加法

几何和以多角形的封闭的一边来表示。在这圆上， $A_3, A_5, A_8$  与  $A_{14}$  就是相应于 3 个，5 个，8 个与 14 个矢量的几何和。由图可见，随着分矢量数目的增加，几何和就在某一个范围内改变（这个范围与 $\delta$  角有关），而不是像在 $\delta=0$  时那样不断地增加。

由此可见，当绕射光栅的缝数很多时，在不等于零的 $\delta$  角的情况下，射到屏上的光的强度，比起 $\delta=0$ ，且由相邻狭缝发出的光束的相位差等于半波长的偶数倍的地方的强度来，可以忽略不计。

因此，当用单色光照射光栅时，在透镜焦面的屏上，只有在从光栅发出的与法线成 $\varphi$  角的光线会聚之处才能看到亮条纹， $\varphi$  角必须满足方程

$$(a+b) \sin \varphi = 2k \frac{\lambda}{2} = k\lambda. \quad (18-3)$$

这些条纹的数目决定于条件

$$\sin \varphi = \frac{k\lambda}{a+b} < 1. \quad (18-4)$$

例如，对于波长为 6000 Å 的光线来说，在光栅 1 厘米有 5000 条线的情况下，亦即当  $a+b = \frac{1 \text{ 厘米}}{5000} = 2 \times 10^{-4} \text{ 厘米} = 2 \times 10^4 \text{ Å}$  时，可以看到下列的几条亮线：相应于  $k=0$  的中央亮线；对称分布

在中央亮綫兩旁，由与法綫成角  $\varphi_1 = \arcsin \frac{6000}{20000} = 17^\circ 27.5'$  的那些光綫形成的兩条第一級亮綫；相应于角  $\varphi_2 = \arcsin \frac{2 \times 6000}{20000} = 36^\circ 52'$  的兩条第二級亮綫以及相应于角  $\varphi_3 = \arcsin \frac{3 \times 6000}{20000} = 60^\circ 9.5'$  的兩条第三級亮綫，这七条亮綫是与  $k=0, 1, 2$  与  $3$  相对应的。当  $k=4$  或更大时，根据 (18-4) 就要得到  $\sin \varphi$  的值大于 1，这是不可能的。

如果从每一狹縫發出的光綫，满足方程 (18-8) 的角度，而且还满足 (18-2)  $a \sin \varphi = 2k_1 \frac{\lambda}{2}$ ，因而就如單縫繞射理論得出的那样被抵消了，那么，上面所列举的綫，除了中央綫以外，就有一些綫消灭了❶。

当用白色平行光照射光柵时，在透鏡焦面的屏上，可以看到由暗区隔开的光譜代替了單色条紋。波長較大的光綫比波長較小的光綫偏大些，这是从方程 (18-3) 得到的結論。这样一来，繞射光譜中的顏色的排列与光通过棱鏡时获得的光譜的顏色的排列恰好相反。相应于  $k=0$  的中央条紋是全色的——因为在任何波長  $\lambda$  的情况下， $\sin \varphi = 0$ ，因此各种顏色的光綫都互相加强。兩列第一級光譜代替在單色光源时看到的兩条第一級条紋，它們对称地排列在中央条紋的兩旁，而紫色的一边向着中央条紋。其次是兩列第二級光譜，余类推。級數較高的光譜可能部分地与相鄰的級數較低的光譜相重疊。可以看到的完整的光譜的数目由波長最大的光綫(紅色)所遵从的条件 (18-4) 来决定。

圖 125 簡略地表示屏上繞射光譜的分布： $A$  是中央白色条紋或“零級光譜”， $\Phi_1 K_1$  与  $\Phi'_1 K'_1$  是第一級光譜， $\Phi_2 K_2$  与  $\Phi'_2 K'_2$  是

❶ 例：若  $a=10^4 \text{ Å}$ ，当  $k_1=1$  时， $\varphi=\arcsin \frac{6000}{10000}=36^\circ 52'=\varphi_2$ ，第二級綫消灭了，又若  $a=\frac{4}{3} \times 10^4 \text{ Å}$ ，当  $k=2$  时， $\varphi=\arcsin \frac{2 \times 6000}{\frac{4}{3} \times 10^4}=60^\circ 9.5'$ ，第三級綫消灭了。

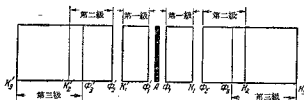


圖 125. 繞射光譜的排列

第二級光譜，它們部分地和第三級光譜  $\Phi_3 K_3$  与  $\Phi'_3 K'_3$  重疊。

光柵常數愈大，可以看到的光譜愈多，但它們比較不明亮而且還比較狹窄，因而不大適用於光譜分析。

分開兩條波長相差很少的光譜線的能力，也就是在光譜中看到它們是兩條而不是一條的能力由所謂光柵的分辨本領來決定。一般說來，用來測量波長的任何儀器的分辨本領是欲測量的波長與儀器所能夠察覺及測量出來的最小的波長範圍的比值。正如理論指出的，光柵的分辨本領等於光譜的級數[即公式(18-3)中的數 $m$ ]與光柵的刻紋數目的乘積。因為寬柵格的光柵應用起來較不方便，而且高級次的光譜還不能產生足夠的亮度，所以要想增大分辨本領，就必須力求減小光柵常數，也就是說必須減小量  $(a+b)$ 。

作為攝譜儀（供拍攝光譜用的儀器）基本部分的光柵與棱鏡比較起來有一系列的优点。

要根據繞射的照片來決定波長，知道光柵常數（紋距）與光柵到照相板（或照相軟片）的距離就足夠了，倘若根據棱鏡攝譜儀獲得的光譜來決定波長，就應當根據已知的光譜來確定每一波長的譜線是與攝譜儀標度尺的哪一個刻度相對應的。繞射光柵攝譜儀的分辨本領比棱鏡攝譜儀的分辨本領高，但棱鏡攝譜儀的靈敏度却比較高些。因此，研究弱光源時（例如作天文研究時），通常採用棱鏡攝譜儀。

D. C. 羅日捷文斯基在研究反常色散時（反常色散在 § 18 中曾提到過）就曾採用了繞射光柵攝譜儀。

### Г. Д. С. 罗日捷文斯基关于研究反常色散的实验

設有白色光束，从被光源  $S$  照射的鉛直狹縫  $A$  發出，如圖 126 所示。在光束的行程中，有一个豎放的棱鏡  $I$ 。如果屏  $P$  像圖上所示那样放置着，那么，在屏上就可以看到光譜帶，紫色的一邊向着棱鏡的底邊，而紅色向着棱鏡的棱邊，然而在光束

的行程上，又放置着一个与第一个棱鏡垂直的棱鏡  $II$ 。这个棱鏡使光線向上偏折，而且紫光比紅光偏折得厉害。在第二个棱鏡后面的屏  $Q$  上，形成弯曲的光譜帶，它的形狀好像正常色散圖(圖 70)上的曲綫。如果棱鏡  $II$  是由吸收物質(例如吸收相應于屏  $Q$  上畫出的虛綫的那一部分光譜的物質)制成的，那么，在吸收條紋附近的光譜區就觀察到反常色散。因为在吸收條紋的某一邊，折射率反常的小，而在另一邊却反常的大，所以在這種情況下，就看到如屏  $R$  所示的圖樣。

Д. С. 罗日捷文斯基致力于測量靠近吸收條紋波的折射率之值，并在實驗中來檢驗理論上導出的公式(13-14)及(13-15)。

在Д. С. 罗日捷文斯基的裝置中(這裝置簡略地表示於圖 127)，形成水平光譜的第一個棱鏡是由特種結構的干涉儀來擔任，它是沙敏折射儀的進一步的改良。罗日捷文斯基的干涉仪能使相干光線顯著地比沙敏折射仪分得开些，这就能够获得相干光線的較大的程差。

放在透鏡  $L_1$  焦點處的電弧  $S$  發出的光束，通過透鏡後，就變成一束平行光線而射到半透明的板  $A$  上。光線一部分从這板反

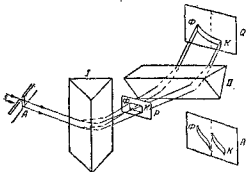


圖 126. 正交棱鏡法

射，一部分通过它射到鏡  $B$  上。从  $A$  反射的光綫，通过管  $E$ ，被鏡

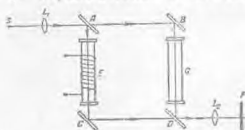


圖 127. A. C. 罗日捷文斯基观察  
反常色散的干涉仪简图

$C$  所反射，再通过半透明板  $D$  和透镜  $L_2$ ，然后会聚在繞射光柵攝譜仪的狹縫  $F$  上。通过板  $A$  后的光綫被鏡  $B$  反射，通过管  $G$ ，再从板  $D$  反射后，也被透鏡  $L_3$  会聚在攝譜仪的狹縫上。因此，這兩部分光綫從光源經過不同的路程射到攝譜仪的狹縫：一部分沿路程  $AECD$ ，而另一部分沿路程  $ABGD$ 。當有程差存在時（把鏡  $B$  或  $C$  轉一個很小的角度就可以造成程差），這兩部分光綫將發生干涉，而在攝譜仪的狹縫上形成干涉條紋（“等厚的”）。把縫放得使干涉條紋與它垂直，如圖 128, a 所示。

如果  $OO$ （圖 128）是程差為零的“零級的”（全色的）條紋，那麼，第  $k$  級亮條紋就位於離開零級條紋距離為  $y_k$  的地方。在羅日捷文斯基的干涉仪中，這段距離正比于程差  $\Delta$ ，而程差又正比于波長及條紋的級數  $k$ ，亦即

$$y_k = p \Delta = p k \lambda$$

式中  $p$  是比例系数。由此可見，干涉條紋是一些狹窄的光譜，它們的短波邊（圖上的  $E'$ ）向着零級的（全色的）條紋。這些條紋被暗條紋（極小）隔開。為了使它們更加清晰而使光譜不致合併起來，可以使電弧發出的光綫通過濾波片，它不讓連續光譜的短波部分通過。圖 127 上沒有把濾波片畫出來。

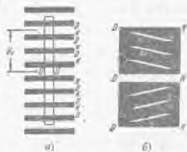


圖 128. A. C. 罗日捷文斯基  
干涉仪中的干涉条纹

在繞射光柵攝譜儀中，長波的光綫比短波的光綫偏折的角度大些，這是公式(18-3)得出的結論。因為攝譜儀的狹縫平行於繞射光柵的刻紋（刻線），所以，光綫就垂直於狹縫偏折。全色的“零級的”干涉條紋分解為光譜，它是水平帶狀的，其一端，如圖128,6的左端，相應於光譜的長波邊 $D$ ，而另一端（右端）相應於短波邊 $K$ 。其他的干涉條紋也分解為光譜帶，稍與水平傾斜。這些條紋從短波部分向長波部分散開。

如果在干涉儀的某一臂上放入玻璃片，因而產生附加的程差，那麼，干涉條紋就發生移動。當板的厚度為 $d$ 而玻璃的折射率為 $n$ 時，因為同樣的波在玻璃中長為 $d$ ，在空气中則長為 $nd$ ，所以對於空氣（或更準確些，對於真空中）的附加程差等於 $nd-d=(n-1)d$ 。這程差使零級條紋移動距離 $y_0=p(n-1)d$ 。

因為折射率與波長有關，因此從零級干涉條紋發出的光綫在攝譜儀中所形成的光譜帶就與玻璃的色散曲線的形狀一樣。圖126已經表明，利用正交的棱鏡可以得到類似的曲線。

在Д. С. 羅日捷文斯基的某一個實驗中，他在干涉儀的一臂上放入鈉蒸汽，得到附加的程差。為此，他把金屬鈉放在 $E$ 管中（圖127）通電流將管加熱，使鈉汽化。因為鈉蒸汽在連續光譜的黃色部分產生兩條很靠近的吸收條紋，在吸收條紋附近的光譜區中的色散的過程可以在實驗上來檢驗反常色散的理論以及公式(18-4)與(18-5)。Д. С. 羅日捷文斯基在上述實驗中得到的照片如圖VIII（在本書之末）所示。上面已經闡述了零級干涉條紋發出的光綫。在攝譜儀中所描繪出的曲線；但也可以根據其他干涉條紋發出的光綫所形成的光譜條紋來測量波長近於吸收條紋的光綫的折射率。圖VIII的右邊與短波相對應，左邊與長波相對應，由圖可見，向吸收條紋靠近時，光譜條紋就向下彎曲，而折射率急劇地減小。靠近吸收條紋長波的一邊，折射率反常的大，當波長增加時，它迅速地減小，而接近條紋時，折射率是增大的。圖的上部

和下部表示黃色光譜區，可以根據光譜上面的譜線來測定波長。在圖上可以看到四條水平的綫，這是為了便於測量而在狹縫上張緊的細絲的像。

在另一個實驗中，Д. С. 羅日捷文斯基在干涉儀的一臂上放入玻璃片，而在另一臂上放入欲研究反常色散的蒸汽。只有玻璃片時，攝譜儀中看到的條紋的樣子如圖 129, а 所示。這些條紋的斜率正比於玻璃片的厚度。如果把玻璃片放入另一臂內，那麼，條紋就向相反的一面傾斜。如果在一臂內放着玻璃片，而在另一臂內放着媒質（是在被觀察的光譜區內有吸收條紋的媒質），由於玻璃與媒質所引起的條紋的傾斜，在某種程度上是互相抵消的。在靠近吸收條紋的區域內，折射率劇烈地改變，條紋成為“鉤形”，如圖 129, б 所示。在兩邊的鉤形之間的區域內，折射率的測量可以達到很高的準確度。



圖 129. “鉤形”的形成

Д. С. 羅日捷文斯基除了研究鈉光譜以外，還研究了其他鹼金屬的光譜，從而導出重要的結論，促使人們能夠理解輻射光時在原子中進行的過程。

“鉤形”法使 Д. С. 羅日捷文斯基舉世聞名。

#### Д. 繞射對光學儀器的分辨本领的影響

作為這一節的結束，我們來研究繞射對最小分辨角的數值的影響（最小分辨角就是在望遠鏡中可以看到的靠得很近的兩個目的物之間的距離所張的角），並研究繞射對顯微鏡中的最小分辨距離的影響。

前面已經指出，由於繞射現象，通過小圓孔的光線產生的光斑是一系列同心的亮環與暗環。用放大率較大的任何光學儀器來使

物点成像时，也观察到类似的現象。使用这仪器所能得到的放大率的極限就是根据繞射現象使目的物的像發生畸变时而确定的。

每一光点在透鏡焦面上所得到的像都是明亮的小圓形，这个小圓形被一些同心的彼此交替的暗环与亮环包围着。小圓的亮度从中心向邊緣逐渐减小，这个邊緣又是小圓外圍的环形暗帶的中央。接着，随离开中心的距离的增大，亮度又逐渐增大，直到中心亮圓外圍的第一个亮环的中央为止，当离开中心的距离再增加时，亮度又逐渐减小，直到第二暗帶的中央为止，余类推。因此，在每一个环形亮帶中，亮度从中央向邊緣减小，这边緣又成为暗环的中央。我們記得，通过小圓孔的光綫在屏上所形成的圖样的中心可能是亮斑（書末的圖IV），或是暗斑，这与孔的大小以及从屏到孔的距离有关。在現述情况下，通过物鏡的光綫所形成的光点的像中心將永远是亮斑，因为物鏡把所有平行于主軸的光綫会聚在主焦点处，正如前面講过的，这并不引起附加的程差。由此可見，在主焦点处，对所有会聚的光綫來說，振动的周相是相同的，因而振动的振幅就要加起来。

如果兩個靠得很近的点（例如兩顆星）的像是兩系列亮暗环組成的系統，那么，正如实验所知道的，要“分辨”这两點，也就是說要它们看起来是两点，只有在某一个亮圓的中心离开相邻亮圓的中心不小于第一个暗环的半徑  $\rho$  的情况下才可能。

这样一来，如果看到两个星球作  $\beta$  角度（参考圖 100），則分辨这个角度的条件决定于不等式

$$\beta > \frac{\rho}{f_{\text{os}}} \quad (18-5)$$

圖 130 左边簡略地表示从物鏡中得到的一个光点的像，右边是相距为  $\rho$  的兩点的像。如果两个光点之間的距离很小，那么这两點就不能分辨，也就是說它们看来是一点。在这圖上，暗环以及亮环都分別地用同一色調来表示，但实际上亮环的亮度以及暗环

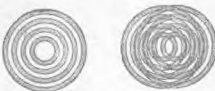


圖 180. 從一個光點以及從兩個靠近的光點發出的光線在物鏡的焦面上所形成的繞射環圖

的影深都是從每個環形帶的中央向邊緣逐漸減小的。

為了近似地決定第一暗環的半徑，我們研究在圖 181 的平面上傳播的光線的繞射。如果物鏡波光闌  $AB$  所限制，光闌的半徑為  $R$ ，物鏡的主焦點在  $F$  点（圖 181），那麼，中央光斑的邊緣的半徑  $\rho$ （也就是第一暗環的半徑），決定於下述條件：通過光闌到  $K$  点的兩條邊緣光線的程差等於一個波長，亦即

$$AK - BK = \lambda_0 \quad (18-6)$$

在這種情況下，小孔  $AB$  被分成兩個帶，從這兩個帶發出的光線成對的抵消，這與單縫繞射〔參考(18-2)〕時所發生的情況相類似。

從條件(18-6)出發，作類似於描述楊格實驗(§ 17.A)時那樣的推導，並利用圖 181 我們得到：

$$AK^2 = f^2 + (R + \rho)^2,$$

$$BK^2 = f^2 + (R - \rho)^2,$$

$$AK^2 - BK^2 = (AK + BK)(AK - BK) = 4R\rho_0.$$

因為  $f \gg \rho$ ，可以取  $AK + BK = 2f$ ，我們得到：

$$AK - BK = \frac{2R\rho_0}{f} = \lambda_0.$$

因此，我們得到第一暗環的半徑

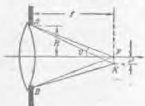


圖 181. 推導第一個暗的繞射環的半徑用圖

$$\rho = \frac{f\lambda}{2R} = \frac{f\lambda}{D}, \quad (18-7)$$

式中  $D$  是光阑的直径。

更准确的计算(我们不推导它)得出

$$\rho = 1.22 \frac{f\lambda}{D}. \quad (18-8)$$

这样一来,根据(18-5)与(18-6),用望远镜分辨两个星球的条件为:

$$\beta \geq 1.22 \frac{\lambda}{D}, \quad (18-9)$$

式中  $\lambda$  与  $D$  以同一单位进行量度,  $\beta$  以弧度来量度。

如果取  $\lambda = 0.000056$  厘米,也就是计算对人眼最灵敏的光波,角度以秒来量度,直径以厘米来量度,从(18-9)得到

$$\beta \geq \frac{14.1}{D}. \quad (18-10)$$

望远镜所能达到的最大放大率决定于它的分辨本领及人眼的分辨本领。如同在§16中讲过的一样,人眼的分辨本领等于 $1'$ 。

因为望远镜的角放大率  $A = \frac{\alpha}{\beta}$ ,  $\alpha = 1' = 60''$ , 而  $\beta = \frac{14.1}{D}$ , 所以

$$A = \frac{D}{0.235} = 4.26D. \quad (18-11)$$

因此,当望远镜中的像清晰时,最大放大率正比于物镜的直径,且由式(18-11)决定。当放大率再大时,得到的像是不清晰的(畸变的)。

为了说明绕射对显微镜的分辨本领的影响,我们假设以光栅常数(纹距)为  $a+b=d$  的绕射光栅  $S_1$ (图132)作为观察的目的物。

假设从左边以白色光束照射光栅,这束光线平行于物镜的主光轴射在光栅上,以主焦点在  $F$  的会聚透镜  $L$  作为物镜。

在这种情况下,根据(18-8),应该有许多单色光束从光栅的每一个狭缝(透光间隙)向物镜传播,这些光线与光轴形成角度:  $\varphi_1 =$

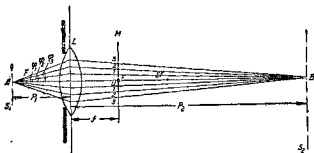


圖 132. 推导显微鏡的分辨本领用圖

$\arcsin \frac{\lambda}{d}$ ,  $\varphi_1 = \arcsin \frac{2\lambda}{d}$ ,  $\varphi_2 = \arcsin \frac{3\lambda}{d}$  等等。对每一个波長  $\lambda$  說來，都有兩束光線（在光軸上面的与下面的兩束光線）从光柵的每一个狹縫發出，它們滿足上述角度  $\varphi$  的某一个值。圖 132 表示相應于某一波長的某些光線，只画出从光柵的中央狹縫發出的那些光束，中央狹縫在圖上用字母  $A$  来表示。

如果把屏  $M$  放在物鏡的焦面上，那么，从光柵所有的狹縫發出的各方向的平行光線將會聚在屏的不同点上。在与物鏡的主焦点  $F$  重合的  $O$  点处看到全色的条紋，在点  $I$  处看到第一級光譜，在点  $2$  处看到第二級光譜，在点  $3$  处看到第三級光譜等等。这样以来，在屏上就看到与圖 125 相似的圖样。如果把屏放在  $B$  点—— $A$  点的焦点，那么，在屏上就看到光柵的像  $S_2$ ，它放大了  $\frac{p_2}{p_1}$  倍（參閱 圖 132）。这个像是由那些平行于光軸傳播的光束以及与光柵的狹縫作各种角度  $\varphi$  而傳播的許多單色光束所形成的。如果在平面  $M$  上形成光譜的光線，那怕只有第一級光譜的光線参与像  $S_2$  的構成，那么，因为这些光線对平行于光軸的光線來說是相干的，所以它們就要和平行于光軸的光線發生干涉，而且在像  $S_2$  中，光柵的狹縫可以分辨，虽然像并不很清晰。这样以来，对分辨距离  $d$  說來，应当使得从目的物射到物鏡的边缘光線構成一个角度不小于

$2u = 2 \arcsin \frac{\lambda}{d}$ , 式中  $u \approx \varphi_1$ 。由此可見, 分辨距离决定于不等式

$$d \geq \frac{\lambda}{\sin u}。 \quad (18-12)$$

由于目的物不是被平行光照射的, 而是被發散光射照的, 因此甚至可以假設

$$d \geq \frac{\lambda}{2 \sin u}, \quad (18-13)$$

从 (18-13) 可以得出, 由目的物射到物鏡的邊緣光綫所構成的角度愈大, 則物鏡的分辨本领也愈大, 因为有愈多的光綫造成目的物的像。

如果在目的物与物鏡之間是折射率为  $n$  的媒質, 那么, 因为在媒質中波長縮短为  $n$  分之一, 則分辨距离决定于不等式

$$d \geq \frac{\lambda}{2n \sin u}, \quad (18-14)$$

在 (18-14) 中,  $n \sin u$  称为數值孔徑, 角  $u$  称为孔徑角。

显然, 用折射率为  $n$  的液体充满于目的物的复蓋玻璃与物鏡之間的空間, 可以使數值孔徑增大为  $n$  倍, 最小分辨距离也就減小了同样的倍数。为了达到这个目的, 通常采用折射率  $n=1.515$  的松节油。这样的物鏡系統称为浸沒物鏡。这种系統还有其他的优点, 特别是使像的亮度增大, 因为甚至以很大的角度射到复蓋玻璃的上表面的那些光綫也不会發生內全反射, 这可以从圖 133 看到, 圖中表示出光綫射到沒有浸沒的显微鏡的物鏡时的光路(左圖), 以及射到浸沒的物鏡时的光路(右圖)。

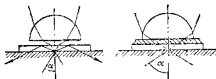


圖 133. 显微鏡的“干的”物鏡系統与浸沒物鏡系統

可以粗略地估計一下显微鏡在分辨距离  $d = \frac{\lambda}{2n \sin u}$  时的放

大率，取人眼的最小角分辨本领为一分，而且还認為綫放大率就等于角放大率，而視角（肉眼觀察大小为  $d$  的目的物时所張的角）等于这个数值与明視距离  $p=25$  厘米的比值。因此

$$Y \approx A \approx \frac{1'}{\frac{d}{p}} = \frac{\frac{1}{360 \times 60}}{\frac{\lambda}{25 \times 2n \sin u}}$$

或者取  $\lambda = 0.00005$  厘米，则

$$Y \approx \frac{50n \sin u}{21600 \times 0.00005} \approx 50n \sin u. \quad (18-15)$$

更准确的計算可以得到数值較大的  $Y$ 。一般說來，如果对像

的質量不提出过分严格的要求的話，那么，可以采用比公式(18-15)所給的放大率大五倍的放大率。

在現代較好的显微鏡中，數值孔徑可以达到  $n \sin u = 1.5$ ，因而这些显微鏡可以达到的放大率的数量級約為 400。

采用更短的波長，可以使显微鏡所能分辨的距离减小好几倍，但是不能观察到小于  $1/8$  波長的目的物。这是 (18-14) 式得出的結論。

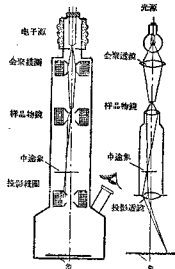


图 134. 电子显微鏡与投影光学  
显微鏡简圖

巨大的可能性。在电子显微鏡中，采用电子流来成像。

从白热的灯絲發射出的电子，通过被研究的样品而射到屏上，屏在电子作用下發出熒光。用电場或磁場来控制电子的行程，这电場或磁場就形成所謂“电透鏡或磁透鏡”。电子显微鏡的簡圖与

不久以前發明的电子显微鏡，为研究微小的物体开辟了巨

投影光学显微鏡相类似，如圖 134 所示。

在我們的祖國❶里，電子顯微鏡的結構已由 A. A. 列別捷夫院士和他的同事們一起制定了。

利用電子顯微鏡可以看到大小至  $10^{-7}$  厘米的樣品，而得到放大率  $10^5$  倍，但還沒有達到這種儀器的可能限度。

### § 19 光的偏振

#### A. 天然光与偏振光

在 § 9 中已經指出，電磁波不僅用它所帶的能量及波長或頻率來表征，而且還用交變的電場強度矢量及磁場強度矢量的方向來表征，或者說用  $E$  矢量及  $H$  矢量所在的那些互相垂直的平面的方向來表征。從圖 40 看出， $E$  矢量平行於諧振子（電磁波源）的軸，而  $H$  矢量則和它垂直。如果不知道諧振子的軸的方向，那麼，對波作下述的研究也可以確定矢量  $E$  及  $H$  的方向。

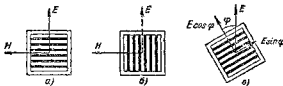


圖 135. 用金屬絲制的柵網來確定電場矢量  $E$  的方向

假設電磁波從圖 135 的平面向著觀察者傳播，而且射到金屬絲制的柵網上。實驗指出，通過柵網的電磁波的能量有賴於矢量  $E$  或  $H$  的方向與柵網金屬絲的方向之間的夾角。如果金屬絲垂直於  $E$  矢量（圖 135, a）則波的能量最大。如果  $E$  矢量平行於金屬絲（圖 135, b）那麼，波就被柵網吸收，因為在金屬絲中將誘導出電流，因而消耗波的能量。如果  $E$  矢量的方向和柵網金屬絲相垂直的方向成一角度  $\phi$ ，則僅有  $E$  矢量在金屬絲垂直方向的分量

❶ 指蘇聯。

$E \cos \varphi$  那一部分的波可以通过栅網。因此，用电的方法所获得的电磁波的矢量  $E$  与  $H$  的方向可以用实验来确定。

现在来说明，是否能够确定光波的电场强度矢量及磁场强度矢量所在的平面的方向，并确定是哪一个矢量 ( $E$  还是  $H$ ) 直接对眼睛，感光层或其他能与光反应的物体或仪器发生作用？上面谈到的第二个问题，可以从 1889 年，首先由维涅耳所作的光驻波的研究得到回答。

以单色平行光束垂直射向金属镜子  $KK$ （图 136），光束从镜面反射。

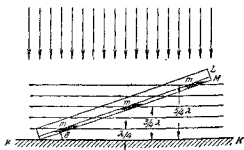


圖 136. 光驻波的形成

由于直接照射的光束与反射的光束叠加的结果，就有光驻波在镜面附近的空间中形成。使涂有胶质氯化银的感光层  $M$  的玻璃片  $L$  与金属镜面成一很小的角度  $\delta$ （数量级为 1）。这感光层的厚度约为入射光波长的 0.03 倍。在感光层显影后，可以看到在离金属镜面的距离为四分之一波长的奇数倍的感光层上有黑色条纹形成。图 136 上看到的是这些条纹的断面，以字母  $m$  表示之。因为我们已经知道，当电磁波从金属反射时，交变的电场强度的周相变为相反，所以从维涅耳实验可以得出结论：具有灵敏的光化学作用的是交变电场，而不是交变磁场。但这时不应当忘记，在电磁场中，电场与磁场是永远互相伴随着的。

正如已经提过的，光波是由在原子与分子系统中进行的某些过程产生的，这些系统起着“谐振子”的作用，这些在前面都已經講过。在一个光源中，即使是非常小的光源，都包含着巨大数目的这种“谐振子”，它们是光脉冲的源，它们的轴在空间中无规则地取向。

正如已经提过的，光波是由在原子与分子系统中进行的某些过程产生的，这些系统起着“谐振子”的作用，这些在前面都已經講过。在一个光源中，即使是非常小的光源，都包含着巨大数目的这种“谐振子”，它们是光脉冲的源，它们的轴在空间中无规则地取向。

由此可見，在天然光中，有着與光線相垂直的，有方向的振動。正如實驗指出的，用某些方法不仅可以使得任一方向的振動減弱，甚至可以使它完全消失。後面這種情況中得到的是僅在一個平面上振動的光線。這種光線稱為偏振光，它用振動面來表征，也就是用E矢量所在的平面來表征，或者用與E矢量垂直而與H矢量的方向重合的平面（稱為偏振面）來表征。顯然，在偏振光中，振動面決定於電場強度矢量的方向，而偏振面與磁場強度矢量的平面一致。以後我們將優先地應用振動面來表征偏振光。不論哪一個方向的振動減弱了的光線都稱為部分偏振光或該方向不完全偏振的光。圖187簡略地表示光線中振動的截面及方向：在自然光中——*a*，偏振光中——*b*以及部分偏振光中——*c*。

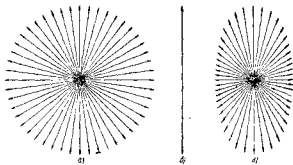


圖 187. 天然光、偏振光及部分偏振光中振動的方向

我們還記得，如果兩個互相垂直的，同周期的諧振動周相差等於零或  $\pm \pi$ ，那麼它們將合成為一個同樣周期的直線諧振動。

可以應用作矢量圖解法（如圖188所示）來求出這些情況中的合成運動的振幅及振動方向。

利用同一張矢量圖，可以使任何沿直線的諧振動（例如圖188中的OP）都分解為兩個互相垂直的諧振動

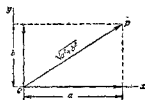


圖 188. 振動的振幅分  
解為兩個垂直分量

(沿  $Ox$  与  $Oy$  方向)。由此可見，若使天然光通过某种媒質，这种媒質只讓与光綫方向垂直的某一个振动通过，而不讓与上述振动垂直的另一个振动通过，就可以获得完全偏振光。

平行于光軸(參閱 §19.6)切割的电气石薄片是具有这种特性的媒質的一个例子。这薄片对白色天然光來說是半透明的。在透射光中它是渾濁的綠色的。使薄片繞着与入射光方向一致的軸轉动时，并沒有發現通过的光的强度有任何的改变。这就証明天然光对于垂直入射光的所有方向都是对称的。如果拿兩片由电气石晶体同样切割出来的薄片，把它們如圖 139 *a* 那样地放在一起，那

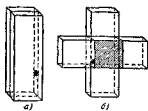


圖 139. 通過兩片电气石的光的  
強度与它們的相对位置有关

么，由于在兩薄片中大量吸收的結果，透射光的强度要小些。如果使其中一片繞着与入射光方向一致的軸轉动，那么，虽然這兩片的总厚度仍旧不变，但透過這兩片的光又減弱了，当兩片互相垂直时(如圖 139, *b* 所示)，射到兩片上的光綫就完全不能通过了。

这种現象可以解釋如下：电气石薄片仅讓某一个方向的振动(例如与長邊平行的那个方向的振动)通过。这些振动却被与第一薄片垂直的第二薄片阻止住了。这个現象表明，在通过某一片后的光束中的振动都在同一个平面上，也就是說这束光綫是偏振的。

### B. 利用反射与折射获得偏振光

現在我們來研究用什么方法可以获得偏振光。

正如許多研究所指出的反射光与折射光都是部分偏振的。然而，在某一个入射角，当反射綫与折射綫垂直时，反射綫是完全偏振的。在这种情况下，折射綫仍旧是部分偏振的。显然，在这种情况下，使光綫反射的媒質的折射率  $n$  与入射角(圖 140)之間有着下列的关系：

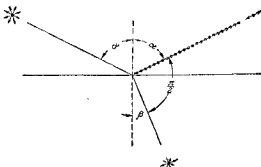


图 140. 推导反射时的偏振的定律用图

$$n = \frac{\sin \alpha}{\sin \beta} = \frac{\sin \alpha}{\sin(\frac{\pi}{2} - \alpha)} = \frac{\sin \alpha}{\cos \alpha} = \operatorname{tg} \alpha. \quad (19-1)$$

这个等式就是反射时全偏振的条件。

如果光綫从媒質界而反射时，入射角的正切等于該媒質的折射率，那么，反射光就完全偏振。这个入射角称为全偏振角（布儒斯特定律）。

后来还确定，这个定律不能应用于从金属面反射的情况，而只有当光綫从电介质（玻璃、石英、水等等）表面反射时，才完全与实验符合。

一系列的实验都确定了：在入射角为全偏振角的情况下，反射光中电场强度矢量的方向，亦即振动的方向，与入射面相垂直。在图 140 中，用一些黑点表示全偏振反射光；图上还用振动方向的矢量来表示入射光与反射光的截面。

菲涅耳从光的波动理論出发，推导出一些公式，这些公式能够说明：垂直入射面的振动与平行入射面的振动的能量有多少分數被反射与折射（这些公式也可以从电磁理論导出）。我們把这些公式引入，式中以  $\rho$  表示反射系数。这个量表示射到面上的光綫被反射了多少分數。

对垂直射到面上的天然光來說：

$$\rho_0 = \left( \frac{n - n_0}{n + n_0} \right)^2, \quad (19-2)$$

式中  $n_0$  是光线传播所在的媒质的折射率，而  $n$  是使光线反射的媒质的折射率。例如，若光线从空气中射来，而从磨光的玻璃面反射，那么，取空气的  $n_0=1$  而玻璃的  $n=1.54$ ，就得到反射系数

$$\rho_0 = \left( \frac{0.54}{2.54} \right)^2 = 0.045.$$

若偏振光射到反射面时与法线成一角度，则反射系数亦有赖于入射角  $\alpha$ ，折射角  $\beta$  以及光线的振动对入射面的方向。因为天然光可以分解为振动在入射面及垂直于入射面的两种偏振光，所以就应当分别地研究每一种偏振光的反射系数。菲涅耳为这两个系数导出如下的公式。

振动垂直于入射面的偏振光的反射系数

$$\rho_1 = \frac{\sin^2(\alpha - \beta)}{\sin^2(\alpha + \beta)} \quad (19-3)$$

而振动在入射面上的偏振光的反射系数

$$\rho_2 = \frac{\operatorname{tg}^2(\alpha - \beta)}{\operatorname{tg}^2(\alpha + \beta)}. \quad (19-4)$$

如果  $\alpha + \beta = \frac{\pi}{2}$ ，那么  $\rho_2 = 0$  而当  $n = 1.54$  时， $\rho_1 = 0.165$ 。

这样一来，按菲涅耳公式的计算指出，当光线作全偏振角射到折射率  $n=1.54$  的玻璃片上时，垂直入射面的振动的能量 16.5% 被反射，而平行入射面的振动的能量的反射为 0%（反射光完全偏振）。在这种情况下，平行入射面的振动的能量 100% 被折射，而垂直入射面的振动的能量 83.5% 被折射。从这些数据看出，如果以全偏振角射到这玻璃片的光的强度为  $I_0$ ，那么，从玻璃反射的全偏振光的强度仅为  $I_0$  的 8.25%。这个结论是由于在天然光中，平行入射面的振动与垂直入射面的振动的能量都相同的缘故。

当天然光以全偏振角射到某块玻璃片上，从它反射出的是偏

振光，这时，若以  $k$  塊玻璃片堆来代替这塊玻璃片，则垂直入射面的振动有 16.5% 的能量从每一片反射，因而折射光中这种振动的能量只剩下了 83.5%。当  $k$  很大时，折射光线就几乎是全偏振了。例如，当  $k=20$  时，在折射光中，垂直入射面的振动的能量与平行入射面的振动的能量的比值为  $0.835^{20}=0.027$ 。因此，利用光在玻璃片堆中的折射可以获得偏振光。俄国物理学派的奠基者，莫斯科的教授 A. Г. 斯托列托夫首先用这种方法获得偏振光。

有趣地指出，如果偏振光以全偏振角射到鏡面，而且这时偏振光中的振动面平行于入射面，那么，偏振光就完全不反射了。这个事实可以用圖 141 来說明。天然光  $SA$  以全偏振角 ( $\operatorname{tg}\alpha=n$ )，射到鏡 1 上而向上反射到与第一面鏡平行的鏡 2。反射光中的振动垂直于入射面，因此它們可以从第二面鏡反射。使鏡 2 轉過  $\frac{\pi}{2}$  的角度（圖 141 6），这时从鏡 1 中反射的光線的振动在鏡 2 的入射面內，因而就不可能从鏡 2 反射。射到鏡 2 的偏振光中并没有与入射光綫的入射面垂直的振动，但只有这种振动才可能从鏡 2 反射。

### B. 光的双折射

获得偏振光的第三种方法是以光的双折射現象为基础的，双折射現象在各向不同性質的媒質中可以觀察到。这种媒質称为各向异性的媒質。例如冰洲石和石英的晶体就是各向异性的媒質。

由兩種彈性模量不同的彈簧組成的網可以作为各向异性物体的粗略的模型。其中一种彈簧裝在某一个方向，另一种彈簧裝在

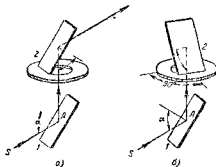


圖 141. 如果光綫射到这两面鏡子的入射面是互相垂直的，那么第二面鏡就不反射光綫

与它垂直的方向,如圖 142 所示。假設把較硬的彈簧,亦即彈性模量較大的彈簧,裝在  $Y$  軸的方向上,而較軟的彈簧裝在  $X$  軸的方向上。

如果在  $O$  点激起網的振動,它們就以不同的速度向各方向傳播,在  $Y$  軸方向速度最大,在  $X$  軸方向速度最小,而在其他任何方向的速度介乎兩者之間,其量值與方向有關。可以證明,在這種情況下,波線就是長軸在  $Y$  軸方向的橢圓。圖 142 画出這波線的一部分。

設有一個平行六面體狀的各向異性的物体(圖 143),它在  $x$  軸的方向的切變模量等於  $G_1$ ,在  $y$  軸方向等於  $G_2$ ,而且  $G_1 > G_2$ 。如果在這物体的  $O$  点上,加一個在  $SOA$  平面上周期性變化的,並引起彈性切變的力,那麼,這個力可以分解為平行於  $Ox$  軸及平行於  $Oy$  軸的兩個分量。這兩個分量決定在  $Ox$  軸及  $Oy$  軸方向的彈性切變。切變將以切變機械波的形式在物体中傳播。平行  $x$  軸的切變波的速度大於平行  $y$  軸的切變波的速度,因為  $G_1 > G_2$ 。由此可見,若有振幅為  $A$  的波,在各向異性物体周圍的各向同性的媒質中傳播,當它以入射角  $\alpha$  射到各向異性物体的表面,被物体折射並進入物体時就分裂成兩列折射角依次為  $\beta_1$  及  $\beta_2$  的波,這是因為這兩列波在各向異性物体中傳播的速度不同。圖 143 對應於各向異性

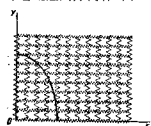


圖 142. 各向异性平面的模型

彈簧較大的彈簧,裝在  $Y$  軸的方向上,而較軟的彈簧裝在  $X$  軸的方向上。如果在  $O$  点激起網的振動,它們就以不同的速度向各方向傳播,在  $Y$  軸方向速度最大,在  $X$  軸方向速度最小,而在其他任何方向的速度介乎兩者之

間,其量值與方向有關。可以證明,在這種情況下,波線就是長軸在  $Y$  軸方向的橢圓。圖 142 画出這波線的一部分。

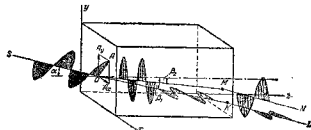


圖 143. 在各向異性媒質中彈性切變的傳播

物体的密度比它周围的各向同性媒質的密度大时的情况。因此，入射角  $\alpha$  大于折射角  $\beta_1$  及  $\beta_2$ 。这两列波从物体出来时，它们又在  $K$  点与  $M$  点折射，同样以  $\alpha$  角射出，并在各向同性的媒質中形成两条平行的“射線”  $KL$  与  $MN$ ，它们的振动在互相垂直的平面内，这可以从圖 143 看出。

当光綫进入有双折射的晶体时，也發現类似的现象；不过这时是电磁波在晶体中傳播。

很容易發现冰洲石晶体的双折射。优质的冰洲石晶体，对可見光來說，是与無色玻璃一样透明的。

冰洲石晶体是斜角平行六面体狀的，它所有的界面都是鈍角为  $101^{\circ}52'$ ，銳角为  $78^{\circ}08'$  的平行四边形。冰洲石晶体很容易形成菱体狀——六个菱形面的多面体，这种晶体的菱形面的天然的銳角与鈍角如上所述。这种晶体如圖 144 所示。

$O_1$  与  $O_2$  是晶体的八个立体角中的两个，它們都是由三个鈍角組成的。通过它們的頂点的直

綫  $O_1O_2$  称为晶体的晶軸。晶体中所有平行于晶軸的方向，都称为晶体的光軸。包含光軸与晶体面的法綫的截面称为晶体的主截面。沿晶体的光軸方向射入的光綫不受到双折射。应当指出，晶体面的法綫（它通过主截面）通过光綫射到晶体上的那一点。

天然光  $AB$ ，进入晶体时，在  $B$  点被折射。这时它被分解为两条光綫  $BD$  及  $BC$ 。这两条光綫分別在  $D$  点及  $C$  点折射，从晶体射出时沿着平行于光綫  $AB$  的方向进行。光綫  $BDE$  与  $BOF$  是在两个互相垂直的平面内偏振的光綫。折射較小的光綫  $BDE$  中的振动在晶体的主截面內，而光綫  $BOF$  中的振动却在垂直于主

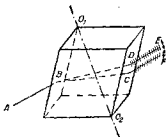


圖 144. 光綫通過冰洲石  
(菱体)的行程

截面的方向上。主截面与光綫  $AB$ ,  $BDE$  及  $BCF$  一起在圖 145 上表示出来。从圖中看出, 这时光綫  $AB$  的入射面与主截面重合。光綫  $BDE$  上划了許多短綫, 表示这光綫中的振动是在主截面內进行的。光綫  $BCF$  上画了許多黑点, 表示光綫中的振动在垂直于主截面的方向进行。光綫  $BC$  称为寻常光綫。它进入和射出晶体时都服从折射定律。冰洲石对这种光綫的折射率等于 1.659。冰洲石对于光綫  $BD$  的折射率与光綫的方向有关, 且由 1.659 (在光轴方向) 变到 1.486 (在垂直于光轴的方向)。除此以外, 如果这光綫的入射面与主截面不重合, 则它折射时必定不在入射面內, 同

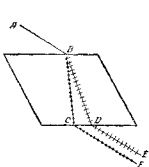


圖 145. 光在冰洲石晶体  
的主截面內的行程

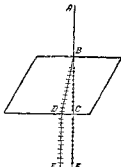


圖 146. 沿着冰洲石晶体的法  
线射入的光綫的双折射

时也就离开了主截面。对这种光綫來說, 像圖 146 所示的情况也是可能的。天然光  $AB$  垂直地射到晶体面上。一进入晶体就被分解。一部分——寻常光綫——通过晶体并不折射, 这是当入射角为零时由折射定律得出的結論。另一部分被折射, 也就不垂直了。在这圖中, 表示这种光綫的字母与圖 144 及 145 相同。

总之, 在双折射时观察到的光綫中, 有一条光綫具有一系列的“非常的”性質。因而把它称为非常光綫。應該着重指出, 这种光綫的“非常的”性質只有在光綫进入和射出晶体时, 以及光綫在晶体中传播时才出現的。当它射出晶体以后, 就不再是“非常的”了,

而是和寻常光綫一样的偏振光，只不过这种光綫的振动面与寻常光綫的振动面相垂直。

还應該指出，非常光綫的波面是旋轉椭圓面，它的一根軸（短軸）沿着晶体的光軸取向，而另一根軸与光軸垂直。在圖 146 上，表示非常光綫的振动方向的那些短划都沿着上述椭圓波面的切綫方向，因此，在一般的情况下，它们可以不与非常光綫的方向垂直。

### I. 偏振棱鏡。转动检偏振器时光强的变化

从圖 144、145 与 146 可以看出，通过晶体的兩条偏振光綫，射出晶体之后，無論是寻常光綫还是非常光綫都是平行地、互相緊靠地进行着。为了科学技术上的目的，要应用这些偏振光，就必须把它们之中的一条光綫与另一条光綫分开。在尼科耳棱鏡中这是可以实现的。通常简称这种棱鏡为“尼科耳”。現在来研究它的構造。

使天然冰洲石的長的棱为短的棱的 3.75 倍。这样的晶体如圖 147 所示。它的上下是兩個底面  $KNML$  与  $PQRS$ 。天然晶体的对角截面的銳角  $MKP$  与  $MRP$  等于  $71^\circ$ 。磨去晶体上用字母  $KNMLL_1M_1N_1K$  与  $RQPSS_1P_1Q_1R$  表示的那兩部分，使这两个角减小到  $68^\circ$ 。晶体磨好后的对角截面如圖 148 所示。圖中标示的字母与圖 147 一致。这个截面就是晶体的主截面。然后把晶体沿着截面  $M_1HP_1G$  作一定的角度而切开，再用“加拿大樹膠”把切开的兩半粘合起来。以  $AB$  方向射入的天然光，在  $B$  点

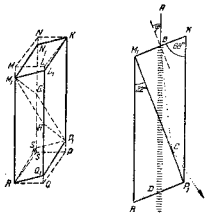


圖 147. 为要制造尼科耳棱  
鏡而切割冰洲石晶体

圖 148. 尼科耳棱  
鏡的主截面

折射而分解为两条偏振光綫——寻常光綫  $BC$  与非常光綫  $BD$ 。寻常光綫进行到加拿大树膠層时發生全反射，因为冰洲石对寻常光綫的折射率为  $n_0=1.659$ ，大于加拿大树膠的折射率 ( $n_{k,6}=1.549$ )，而且由于切开的角度选择得当，以及磨去了  $KMM_1$  与  $RPP_1$  两部分的緣故，因此射到树膠層的角度大于全反射的临界角。这样一来，寻常光綫就被引到一边而被支持尼科耳的框子所吸收。非常光綫通过加拿大树膠并不折射，因为冰洲石对于以  $BD$  方向射来的非常光綫的折射率  $n_{n_0}=1.515$ ，小于加拿大树膠的折射率  $n_{k,6}=1.549$ 。

因此，使天然光射到尼科耳，从它射出的是在主截面内振动的偏振光。因为晶体对可見光几乎是完全透明的，因此从尼科耳射出的偏振光的强度差不多等于射到尼科耳的天然光的强度的 50%。

沿透过的光綫的方向来看，尼科耳的样子如圖 149 所示。通过尼科耳的光綫的振动沿着菱形的短对角綫的方向，在圖中以矢綫表示。

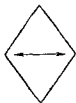


圖 149. 沿軸方向看時的尼科耳的形狀

利用尼科耳可以获得偏振光并决定偏振光中振动的方向。在第一种情况中，尼科耳用作起偏振器，而在第二种情况中用作检偏振器。两个尼科耳前后放置着，如果它们是正交的，亦即它们的主截面（圖 149 上菱形的短对角綫）是垂直的，那么，光綫就不能通过。如果它们的主截面是平行的，那么，从下面的討論就能够决定通过检偏振器的光的强度。

假設射到检偏振器的偏振光的振动的振幅的大小及方向在圖 150 上由矢量  $OP$  来决定。检偏振器仅讓在与  $OP$  作  $\varphi$  角的平面  $AB$  内的振动通过。把振幅  $OP$  分解为两个分量： $OC=OP \cos \varphi$ ，它在平面  $AB$  的方向上以及  $OD=OP \sin \varphi$ ，它与  $OC$  垂直。振幅为  $OC$  的振动通过了检偏振器，而振幅为  $OD$  的振动，尼科耳檢偏

振器不讓它通過。已經知道，光的強度正比于電矢量的振幅的平方。因此，通過檢偏振器的光的強度  $I$  與射到檢偏振器的光的強度  $I_0$  之比等於振幅  $OC$  的平方與振幅  $OP$  的平方之比，亦即

$$\frac{I}{I_0} = \frac{OP^2 \cos^2 \varphi}{OP^2}$$

或

$$I = I_0 \cos^2 \varphi. \quad (19-5)$$

從公式 (19-5) 得出：通過檢偏振器的光線的強度正比于起偏振器與檢偏振器的主截面之間的夾角的余弦的平方（馬呂斯定律）。

為了獲得偏振光，除所研究的尼科耳偏振棱鏡以外，在近代技術中，還應用一系列別種結構的棱鏡，關於它們的研究已經不是本教程的任務了。

在三十年代，還發現獲得人工的偏振光材料的方法。這些材料稱為偏振片。要製造偏振片，必須採用那些對尋常光吸收較強而對非常光的吸收顯著小的雙折射晶體。這種性質稱為二色性，例如電氣石就顯示出這種性質，尋常光線在厚度為 1 毫米的電氣石薄片中就完全被吸收。二色性在海拉伯斯晶體（碘與奎寧的化合物）中表現得特別突出，在薄片厚度為 0.3 毫米時，它幾乎完全吸收尋常光線。為了製造偏振片，把許多細小的海拉伯斯晶體鋪在賽瑞珞片上，精制膠片上或塑膠片上，用特殊的方法使所有的晶體的光軸在指定方向取向。偏振片可以製成很大塊板的形狀（可以大到好幾個平方分米）。

#### A. 偏振光的干涉與克爾現象

兩條偏振光互相疊加時，只有在服從下列條件的情況下才可以發生干涉：

1. 光線是相干的，也就是說相加的光波之間存在着一定的周相差。

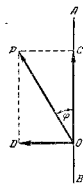


圖 180. 描寫  
偏振光通過  
檢偏振器前  
後的振幅的  
關係用圖

## 2. 兩条光綫的振动面重合。

如果第二个条件不能满足,那么,使这些光綫通过尼科耳或其他起偏振器,也可以观察到它們的干涉。

假設在互相叠加的偏振光中,振动的振幅和方向在圖 151 上

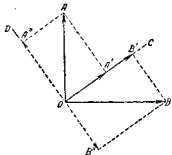


圖 151. 解釋偏振光的干涉現象用圖。因为它們的振动面是同一个平面——尼科耳的主截面。合振动的振幅就等于  $OA' + OB'$ , 而通过尼科耳的单色光的强度正比于振幅和的平方。如果把尼科耳旋转  $90^\circ$ , 其主截面与平面  $OD$  重合, 那么合振动的振幅差就等于  $OA'' - OB''$ , 而强度正比于这振幅差的平方。如果尼科耳的主截面垂直于矢量  $OA$  或矢量  $OB$ , 那么, 就不能观察到干涉, 因为振幅为  $OB$  或  $OA$  的波中, 有一个不能通过尼科耳。

利用下述的方法, 可以發現光在物体中的双折射, 也就是说可以研究物体各向异性的存在。現在来看一看这是怎样达到的。

白色平行光束射到起偏振器  $P$  (圖 152), 射出后, 又射到双折射晶片  $K$ 。如果晶片是垂直于光轴切割的, 也就是说光綫是沿着光轴的方向通过的; 那么, 正如前面講过的, 就不發现双折射。假設晶片并非垂直光轴切割的, 而且晶片放置得使寻常光綫与非常光綫在晶片中的振动面不与射到晶片的偏振光

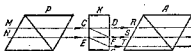


圖 152. 觀察偏振光的干涉的裝置

的振动面平行，也就是说不与起偏振器的主截面平行。在这种情况下，射到晶片的偏振光分解为两条在互相垂直的平面内振动的光线（寻常光线与非常光线），这与图 151 所示的相类似。寻常光线与非常光线在晶片中的速度是不同的。因此，它们射出晶片时就有一定的周相差，它决定于：1) 寻常光线与非常光线在晶片中的折射率，也就是说与晶片的物质有关，2) 晶片的厚度，3) 光线对晶片的光轴的方向与 4) 波长。

在上述的情况下，当光线从晶片射出时，非常光与寻常光相结合，而且由于它们是相干的，它们之间存在着一定的周相差，所以，在通过检偏振器时就要发生干涉。例如，图 152 上的光线  $MC$  在  $C$  点分解为两条：寻常光线  $ODR$  与非常光线  $CFS$ ，而光线  $NE$  在  $E$  点分解为寻常光线  $EFS$  与非常光线  $EGT$ 。非常光线  $CFS$  与寻常光线  $EFS$  在  $F$  点互相叠加；然后沿着同样的路程进行。这时并不发生干涉，因为这两条光线的振动面并不重合（它们互相垂直）。通过检偏振器时，它们就要发生干涉了。寻常光线  $ODR$  和非常光线  $EGT$  也要分别地与其他的光线结合，这些光线在图上没有画出。

因此，在检偏振器的视场中可以观察到干涉。如果用白色平行光照射起偏振器，并且以严格等厚的且不与光轴垂直切割出来的晶片作为双折射晶片，那么，由于所有光线的干涉条件都相同，则视场将呈现某一种颜色。

现在我们利用矢量图解法（图 153）来说明颜色怎样随着晶片与尼科耳的转动而改变。

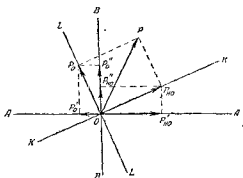


圖 153. 圖 152 的矢量圖解

以矢量  $OP$  表示射到晶片  $K$  的偏振光的振动的振幅及方向。这样一来，这个矢量的方向就表示起偏振器的主截面的方向。假設晶片的主截面的方向为平面  $KK'$ 。把矢量  $OP$  分解为两个分量：在  $KK'$  平面上的分量和在与它垂直的  $LL'$  平面上的分量。矢量  $P_{ns}$  决定通过晶片的非常光綫的振动的方向及振幅；而矢量  $P_n$  决定寻常光綫的振动的方向及振幅。如果檢偏振器的主截面为  $AA'$  平面，那么，所有对晶片來說是非常光的光綫，通过檢偏振器后的振幅为  $P'_{ns}$ ，而所有寻常光綫的振幅为  $P'_n$ 。这些光綫互相叠加时就發生干涉。如果把檢偏振器旋轉  $90^\circ$ ，使它的主截面的方向沿着  $BB'$  方向，那么，干涉的光綫的振幅变为  $P''_{ns}$  与  $P''_n$ 。如果振幅在  $AA'$  平面是指向不同的兩邊，那么在  $BB'$  平面就指向同一邊了。由此可見，檢偏振器旋轉  $90^\circ$ ，对每一波長來說都好像是建立了附加光程差  $\frac{\lambda}{2}$ 。因此，如果当檢偏振器的主截面在  $AA'$  面时，某些光綫是減弱的話，那么当檢偏振器旋轉  $90^\circ$  时，这些光綫就是加强的了。由此可見，檢偏振器旋轉  $90^\circ$  使某种顏色轉变为它的補色。再把起偏振器旋轉  $90^\circ$ ，又变为本来的顏色。如果檢偏振器或起偏振器的主截面与晶片中的寻常光綫或非常光綫的振动面重合，那么就不能觀察到干涉。因此，檢偏振器的視場就沒有顏色。

当用非平行光照射起偏振器时，干涉圖样是非常复杂的，因为对那些以不同角度射到晶片的光綫來說，干涉的結果是不同的。在这种情况下，視場中觀察到不同顏色的條紋，它們的形狀、顏色以及寬度与晶片的物质以及光綫与晶片的光軸所夾的角度有关。

利用上述的方法來觀察偏振光的干涉，可以研究用人工造成的透明的各向同性物体形变时的机械張力，因为这些物体中的机械張力造成了各向异性，也就使它們發生双折射。

利用電場和磁場，可以在某些物体中造成人工的各向异性。1875 年，發現用电場在透明媒質中造成的双折射，称为克爾現象。

利用下面的裝置(圖 154)來觀察這個現象是很便利的。

在兩個正交的尼科耳  $P$  与  $A$  之間放置著電容器  $K$ , 電容器的電介質是各向同性的有極分子的液體, 例如硝基苯。射到起



圖 154. 觀察克爾現象的裝置簡圖

偏振器的光線不能夠通過檢偏振器。如果在電容器上加電壓, 因而就在電介質中建立電場。那麼在檢偏振器的視場中將觀察到偏振光的干涉圖樣, 由此可見, 電容器中的電介質在電場作用下變為雙折射的媒質。正如實驗指出的, 在電介質中尋常光線與非常光線的折射率之差正比於電場強度的平方, 而在這些光線射出電介質時, 周相差正比於場強的平方及光線在電場中通過的路程, 而反比於波長。

克爾現象可以用電介質的極化來解釋。在電場作用下, 分子以一定方向相對於電場的方向排列, 這就造成了各向異性, 因而就造成雙折射。

某些物質在強磁場的作用下也觀察到類似現象。

在研究光速測定法時已經提到, 在類似于菲茲實驗中, 可以利用克爾現象來使光間斷。這些實驗經過許多學者做過。在特制的電容器中(稱為克爾電容器), 利用電子管振蕩器來建立高頻的變化電場, 這電場使得光從光源發出經過尼科耳, 電容器, 另一個尼科耳再射至鏡子以及返回的路途中發生了間斷。由於電場的振蕩是高頻的, 因此可以把鏡子放在離光源不太遠的地方, 而求得很準確的光速的數值。

在別爾哥川德測定光速的實驗中(這實驗已於 1949 年實現, 在 § 12 末曾經提起過), 光束的強度的周期性變化是利用克爾電容器來實現的。

克爾電容器廣泛地應用於有聲電影與傳真電報的聲迹帶的光

調变上。

### E. 偏振面的旋转

某些晶体与有机化合物的溶液具有使通过它们的光的偏振面旋转的性质。这种现象称为偏振面的旋转。能使偏振面旋转的物质称为旋光物质。例如，振动面为AA的偏振光（图155），进入垂直于光轴切割的石英晶片，从晶片射出时，振动面向右（顺时针向）旋转了 $\alpha$ 角。也有一些晶体，振动面在晶体中向相反的方向旋转：当光进入晶体时，振动在AA平面，而射出晶体时，振动在CC平面。第一种晶体称为右旋晶体，第二种晶体称为左旋晶体，或者简称为“右”晶体与“左”晶体，左或右是从观察者这一边来判定的。

图155. 偏振面旋转时  
振幅矢量的旋转

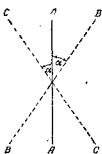
在某些有机化合物的溶液中，也有右旋的与左旋的变种（Гацновидность），例如甜菜糖与蔗糖的溶液是右旋的，而果糖溶液是左旋的。

畢奧研究石英中偏振面的旋转时确定：

1. 偏振面的旋转角正比于晶片的厚度。
2. 当右旋石英与左旋石英厚度相等时，其偏振面的旋转角是相同的。
3. 通过右旋石英与左旋石英晶片堆的光的偏振面的旋转角等于每一晶片的旋转角的代数和。
4. 偏振面的旋转角近似地反比于波长的平方。

对于那些能使偏振面旋转的溶液来说，畢奥确定：偏振面的旋转角正比于溶液层的厚度以及溶液的浓度，而近似地反比于波长的平方。

在正交的尼科耳之间，放置一块能使偏振面旋转的晶片，就可以观察到偏振面旋转的现象。这时，单色光可以通过正交的尼科



耳，而当沒有晶片时，光線是不能通过正交的尼科耳的。

轉動尼科耳，可以补偿偏振面的旋轉而又重新达到黑暗。这样一来，就可以測定偏振面的旋轉角。如果用白色光照射起偏振器，那么，在尼科耳之間放置着晶片时，就可以看到有顏色的視場。当起偏振器的主截面与檢偏振器的主截面之間的夾角不同时，顏色也不同，因为檢偏振器把振动面垂直于其主截面的光線去除了。因此，当旋轉檢偏振器或起偏振器时，顏色都要發生变化，不管檢偏振器或起偏振器是在怎样的位置，光線都不可能像在單色光的情况下那样完全吸收。

为了解釋偏振面旋轉的現象，我們回忆一下（參閱 § 1），若使一个質点同时参与兩個互相垂直的同周期，同振幅而初周相相差  $\frac{\pi}{2}$  的奇数倍的諧振动，結果这个質点就沿着圓周运动。

設有兩束偏振光，其振动在互相垂直的平面內，它們具有相同的周期与振幅，而且周相相差  $\frac{\pi}{2}$  的奇数倍。如果这兩束光綫互相叠加，则其電場强度的合矢量將均匀地旋轉，而大小保持不变。这种光綫称为圓偏振光。

另一方面，显然，任意的直線諧振动都可以分解为兩個运动方向相反的圓周运动，这两个圓周的半徑都等于振幅的一半。我們現在來證明它。

讓直線諧振动方程为：

$$x = a \sin 2\pi \frac{t}{T}.$$

根据前面（§ 1）的証明，沿着半徑为  $\frac{a}{2}$  的圓周的运动方程的形式是兩個互相垂直的直線諧振动方程，它們的周期相同，振幅都等于  $\frac{a}{2}$ ，而周相相差  $\frac{\pi}{2}$ 。其中一个圓周运动的两个方程式为：

$$x_1 = \frac{a}{2} \sin 2\pi \frac{t}{T} \quad \text{与} \quad y_1 = \frac{a}{2} \sin \left( 2\pi \frac{t}{T} + \frac{\pi}{2} \right);$$

另一个圆周运动的两个方程式为：

$$x_2 = \frac{a}{2} \sin 2\pi \frac{t}{T} \quad \text{与} \quad y_2 = \frac{a}{2} \sin \left( 2\pi \frac{t}{T} - \frac{\pi}{2} \right);$$

沿  $X$  轴的合成运动为：

$$x = x_1 + x_2 = a \sin 2\pi \frac{t}{T},$$

而沿  $Y$  轴的合成运动为：

$$y = y_1 + y_2 = 0.$$

这样一来，振幅为  $a$ ，而周期一样的，沿着  $X$  轴的直线振动就是合成的运动。

由此得出结论，平面偏振光（即电矢量在一定平面内振动的光线）可以分解为两束圆偏振光，它们的电场强度矢量  $E$  以相反的方向旋转。

菲涅耳用下述的方法来解释偏振面的旋转。平面偏振光在进入能使偏振面旋转的媒质时，分解为两束方向相反的圆偏振光。射出媒质时，这两束光又叠加而重新形成平面偏振光。如果这两束圆偏振光传播的速度相同，那么，射出媒质时它们所形成的光的振动面就与进入媒质时的光的振动面一致。但是这两束圆偏振光在媒质中传播的速度并不相同。因此，进入能使偏振面旋转的媒质的平面偏振光的振动面与射出媒质的平面偏振光的振动面也就旋转了某一个角度。这个角度与这两束圆偏振光的速度差以及它们所通过的媒质的厚度有关。

把这种解释用电场理论的话来讲时，可以叙述为：光线进入能使偏振面旋转的媒质时，其电场强度矢量分解为两个振幅为一半的矢量。这两个矢量不断地以相反的方向旋转，同时以不同的速度在光传播的方向移动。这两个矢量的末端仿佛向右和向左作螺旋线运动，但它们的螺距不同。当从媒质射出时，这两个矢量又叠加，重新形成一个合矢量。以后，这个合矢量的方向就保持不变了，因为合矢量处在由媒质（使偏振面旋转的媒质）射出的平面偏振光的振

动面内。

偏振面在晶体中的旋转与晶体的結構有关，某些晶体有鏡对称的兩种形狀，在这些晶体中可以觀察到偏振面的旋转。其中一种形狀的晶体使偏振面向右旋转，而另一种形狀的晶体使它向左旋转。在溶液中，偏振面的旋转与溶質的分子結構有关，当溶質是由原子排列不同而化学組成相同的分子構成时，就可以觀察到偏振面的旋转。

偏振面旋转的現象可以很明显地用 H. A. 烏莫夫發明并作成的實驗来演示。

烏莫夫實驗歸結如下。使通过狹縫的偏振光束沿着玻璃圓筒通过，这圓筒充满松香与酒精混合物的水溶液。这种混合物成为混濁的媒質，通过的光束在其中散射。只有在垂直于偏振光的振动面的方向才能看到散射光。如果光束沿圓筒的徑平面通过，而且这束偏振光的振动与这平而垂直，那么，沿这平面的方向來觀察时，就可以看到通过圓筒的母線的直線亮條紋。如果把一些能使偏振而旋转的物質加入溶液內，那么，亮条紋就变成螺旋綫形。

法拉第确定，某些物質，例如玻璃、二硫化碳等，如果在平行于入射光的方向建立磁場，那么，它們就具有能使偏振面旋转的性質。偏振面旋转的方向与磁場的方向有关，但与光綫的方向無关。这种現象称为法拉第現象，在这現象中，偏振面的旋转角决定于下式：

$$\alpha = \left( \frac{A}{\lambda^2} + \frac{B}{\lambda^4} \right) LH,$$

式中  $H$  是磁場强度， $L$  是光束在磁場中通过的路程的長度， $A$  与  $B$  是与物質有关的恒量， $\lambda$  为波長。

在法拉第現象中，如果沿磁場方向來觀察，那么，对大多数的物体來說，偏振面是向右旋转的，亦即順時針向旋转的。

可以像非涅耳解释在石英、糖溶液等之中观察到的偏振面的旋轉那样地来解释法拉第現象。与光綫平行的磁场，使光綫中沿某一方向圓偏振的那部分光綫傳播的速度增加，而使沿相反方向圓偏振的那部分光綫的傳播的速度減小。这些光綫从处在磁场中的媒質射出以后，又構成普通的平面偏振光，但振动面已經和光綫进入媒質时的振动面不同了。

有趣地指出，法拉第現象是第一个显示出磁场与光之間的联系的現象。

偏振面旋轉的現象被用来測定能使偏振面旋轉的物质的溶液的浓度。偏振仪就是为测定溶液浓度而設計的仪器，其中特別是为决定糖的含量的仪器——糖量計。

我們來研究某一种糖量計的結構。这种糖量計如圖 156 所示，是由两个尼科耳(起偏振器  $P$  与檢偏振器  $A$ )，双石英片  $MN$ ，石英补偿器以及充满待測溶液的玻璃管等組成。在玻璃管的兩端盖上兩塊磨光的玻璃片。

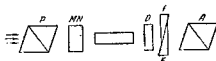


圖 156. 糖量計簡圖



圖 157. 双石英片

双石英片由右旋石英晶片  $M$  与左旋石英晶片  $N$  膠合而成，如圖 157 所示。它們都是垂直于光軸切割的，因此，通过它們的光綫不發生双折射。

石英补偿器由右旋石英片  $D$  与兩片左旋石英的尖劈  $E$  及  $F$  (圖 158)組成，它們也与双石英片一样，是垂直于光軸切割的。把两个尖劈移攏或移开，就可以改变通过左旋石英的光綫的路程的長度。用白色光照射起

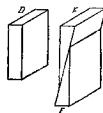


圖 158. 石英补偿器

偏振器。光綫从起偏振器射出后，就成为偏振光，再射到双石英片 $MN$ 。右旋与左旋石英片膠合的平面与圖 156 的平面一致。在圖 159 的矢量圖解上，这个平面以 $PP$ 表示。起偏振器的主截面也在这个平面上。从畢奧的第四定律

(参考本小节前面) 得出結論：通过双石英片的各种顏色的光的振动面取不同的方向。选择双石英片的厚度恰能使得黃色光的振动面垂直于 $PP$ 面。这样一来，各种顏色的光綫通过双石英片以后的振动面由圖 159 所示的那些方向来决定。在右边部分視場是通过右旋石英的那些光綫，因此它們的振动面是向右旋转的，而左边部分恰好相反。各种顏色的光綫的振动面都与平面 $PP$ 对称。因此，在与起偏振器平行而垂直黃色光的振动面的檢偏振器中，視場的兩半的顏色都是一样的——都是淡紫色的，因为黃色光不能通过檢偏振器。这个顏色称为“灵敏”色。

如果在双石英片后面的光程上放置着右旋糖溶液，那么，所有的光的振动面都向右旋转。这些振动面的新位置在圖 159 上以虛線表示。从圖上看出，对称性已經破坏，因而視場的右半与左半出現不同的顏色。要重新建立对称性，就应当把石英补偿器的尖劈移抛一些，使所有的光綫的振动面都回复到原来的位置。眼睛对于視場右半与左半顏色稍微不同，能非常灵敏的感觉出来。因此，在溶液中那怕偏振面有很微小的旋转也很容易用糖量計觀察到。

补偿器的尖劈的移动是用微米螺旋来达到的，因而很容易測量。比較螺旋对已知濃度的溶液以及待測濃度的溶液所轉过的角度，很容易計算出待測溶液的濃度。

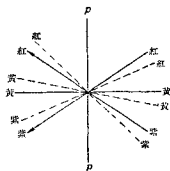


圖 159. 糖量計的矢量圖解

## § 20. 相对論概念

在前一章里，我們提到過相對論。現在我們來介紹一下作為相對論基礎的某些概念以及由相對論導出的一些重要的推論。

如同在普通力學教程中所熟知的，在十七世紀，著名的英國學者依薩克·牛頓就已經把當時所知道的機械運動在形式上概括為三個力學的基本定律，稱為牛頓定律。這些定律是牛頓力學或古典力學的基礎。一個系統相對於另一個系統作等速直線運動，這種計算系統稱為慣性系統。任何物体在慣性計算系統中的運動方程都具有同樣的形式，亦即是不變式。因此，所有慣性計算系統都是不變的和等價的，也就是說沒有一個系統比另一個系統優越些。

如果不假設在自然界中存在着一個“主要的”唯一的計算系統，在這系統中，運動方程具有特別的形式，它與在所有其他的慣性計算系統中的運動方程不同，那麼，上述的從古典力學導出的概念是不會遭到反對的。

但是，到廿世紀初，還假設這個“主要的”計算系統存在，而且把它與絕對空間聯繫起來。相對於這個系統的運動稱為“絕對的”運動。

然而不能找到靜止於這個系統中的，可以與這個系統聯繩的任何具體的物体，也不能得到任何的力學現象，可以用它們來研究或甚至僅用它們來發現在這個“主要的”計算系統中的運動。由此可見，像前面那樣理解的“絕對的”運動的概念是毫無物理意義的。

然而，從光是在絕對不動的以太中的電磁波的概念出發，並利用一些光學現象，似乎可以確定相對於以太運動的系統的速度的方向及大小，這時，假設以太就是那個與“主要的”計算系統相聯繩的“物体”。如果認為以太不被運動的物体所帶動，那麼，就可以把这个運動作為在宇宙空間中的系統的“絕對的”運動。另一種可能

的假設是以太局部地或全部地被运动物体所带动，但从一些專門設置的实验及§12中提到的光行差現象的存在，就能無容怀疑地指出：以太并不被运动的物体所带动，因此，这种假設是不能成立的。

1881年，迈克耳孙利用他發明的干涉仪，企圖确定地球在宇宙空間中的絕對运动。他认为以太是不动的，同时假設：只要比較沿着不同方向（是相对于地球在空間中运动方向而言的）的光速，就可以确定地球相对于以太的运动。比較对地球运动方向取向不同的干涉仪中的干涉圖象，就可以發現当光的傳播方向改变时，光速的改变。迈克耳孙实验的理論是以下述的概念为基础的。

假設干涉仪（参考圖 114）裝置得使光从  $K$  点向鏡  $M$  傳播的方向与地球在靜止的以太中运动的方向一致，而向鏡  $N$  傳播的方向垂直于地球运动的方向（圖 160）。讓  $K$  到  $M$  及  $N$  的距离都等于  $L$ 。当光向鏡  $M$  方向傳播时，它在時間間隔  $t'_1$  中通过了这段距离，而  $t'_1$  决定于方程式

$$ct'_1 = L + vt'_1, \quad (20-1)$$

因为在这段时间內，与速度为  $v$  的地球一起运动的鏡子从位置  $M$  移动了距离  $vt'_1$  而到达位置  $M_1$ 。在这段时间內， $K$  点也移动了同样的距离而到达  $K_1$ 。光从鏡  $M_1$  返回  $K_1$  点的路途中通过了距离  $L - vt''_1$ ，因为在  $t''_1$  时间內， $K$  点迎着光線从  $K_1$  移动到  $K_2$ 。時間間隔  $t''_1$  由方程式

$$ct''_1 = L - vt''_1 \quad (20-2)$$

来决定。

这样一来，在光从  $K$  到鏡  $M$  及返回的整个路程中，花费了时间

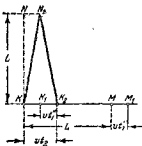


圖 160. 說明迈克耳孙  
实验用圖

$$t_1 = t'_1 + t''_1 = \frac{L}{c-v} + \frac{L}{c+v} = L \frac{2c}{c^2 - v^2} = \frac{2L}{c} \frac{1}{1 - \frac{v^2}{c^2}}.$$

考慮到地球沿轨道运动的速度为 30 千米/秒, 而光速为 300000 千米/秒, 則分数  $\frac{v^2}{c^2} = 10^{-8}$ , 因此, 我們得到时间  $t_1$  的表式为

$$t_1 = \frac{2L}{c} \frac{1}{1 - \frac{v^2}{c^2}} = \frac{2L}{c} \left(1 + \frac{v^2}{c^2}\right). \quad (20-3)$$

从圖 160 得出, 光从  $K$  点到鏡  $N$  及返回的路程中花费的时间間隔  $t_2$  决定于方程式

$$ct_2 = 2\sqrt{L^2 + \left(\frac{vt_2}{2}\right)^2},$$

解之得

$$t_2 = \frac{2L}{c} \left(1 + \frac{1}{2} \frac{v^2}{c^2}\right). \quad (20-4)$$

这样一來, 通过路程  $KMK_2$  及  $KNK_2$  的兩条光綫就有周相差了, 它决定于通过這兩段路程所花费的时间差

$$t = t_1 - t_2 = \frac{Lv^2}{c^3}, \quad (20-5)$$

因此, 在干涉仪中應該觀察到干涉圖样, 当仪器旋转  $90^\circ$  时, 干涉圖样就要發生变化。这个变化應該表現为干涉條紋的移动, 而且條紋的移动是与地球相对于以太运动的速度有关的。然而, 甚至在仪器的灵敏度达到能够觀察比地球沿轨道运动的速度 (30 千米/秒) 小得多的速度的情况下, 也不能觀察到條紋有任何的移动。用更完善的仪器重复地实验也得出同样的結果。这就使得許多学者感到困惑不解。为了解释迈克耳孙实验結果的各种假設都帶有人为的特征, 而且由于一系列的原因, 这些假設都不能令人满意的承認。例如, 洛倫茲曾假定, 所有的物体在运动的方向上都要按一定的比例縮短, 这个比值取决于物体相对于静止的以太而运动的速度, 而且他还得出能够解释迈克耳孙实验的否定結果的变换方

程式。然而这个假設既不能从实验上發現，也不能用古典力学导出的任何概念来证实。

一直到 1905 年，爱因斯坦才对迈克耳孙的实验結果作出解釋。爱因斯坦断言，迈克耳孙实验得不到正面的結果是因为：1) “宇宙是这样構成的，用任何方法都不可能确定絕對运动”，2) “在真空中，光速与光源的运动無关”。換句話說，按照爱因斯坦的假設，絕對运动的概念是毫無意義的。

爱因斯坦从这两个假設出發，研究了相对性理論，并从它导出相对論力学。用来使惯性系統从某一种坐标轉变为同一系統的另一种坐标的变换方程式，在相对論力学中的形式与在牛頓-伽里略的古典力学中的形式不同，但与洛倫茲变换式相同。从这些变换式可以导出似乎是难以置信的結論，因为初看起来它們是与我們所習慣的古典力学导出的結論相矛盾的。然而从相对論导出的結論，对于速度大到与光速可相比拟的运动說來，是完全被实验所証实了。对于在工程技术上所能觀察到的宏观物体的速度而言，相对論对古典力学导出的規律所作的修正是非常微小的，以致实际上連近代的精密仪器也不能覺察到。如果忽略这种修正，相对論力学的方程式的形式就与牛頓-伽里略力学的方程式的形式完全一样。因此，古典力学是近似地描写运动，而相对論力学是比较准确地描写运动。

在古典力学中，有一些物理量，按其本質來說是相对的。速度就是这种量的一个例子。可以把一个物体相对于另一个物体的运动与速度的概念相联系。但自然界中的万物都在运动，并沒有絕對静止的物体。因此也就不可能談到絕對速度。动量与动能，由于它們与速度有关，因而也是相对的量，但在古典力学中，質量、物体的大小和时间却是絕對的量。在相对論力学中，如果質量、物体在运动方向的長度以及在某一慣性系統中發生的現象所經的时间間隔，都是用在其他系統的仪器来測量的話，那么，它們就是相对

的了。这些量測量的結果与这两个系統之間的相对速度有关。从下面举出的，以相对論的推論为基础的例子中，我們就能够确信这一点。除此以外，机械运动本身是与物体或物体系相对于其他物体或物体系的移动的概念有联系的。我們还要再一次强调这一点。

1°. 假設用相对于某一棒为静止的仪器来测量这根棒的長度时，测得長度的值为  $l$ 。当用速度为  $v$  的，沿平行于棒的方向运动的仪器（亦即处在另一个慣性系統中的仪器）来测量这根棒的長度时，测量的結果是另一个值。棒縮短了，縮短的比值为  $1:\sqrt{1-\frac{v^2}{c^2}}$ 。它的長度不再是  $l$ ，而是  $l\sqrt{1-\frac{v^2}{c^2}}$ 。知道一个系統对于另一个系統（即仪器对于棒）的速度，就可以計算出棒的“真实的”長度，也就是说可以計算出用对棒为静止的仪器测量出来的棒的長度。

当棒相对于在另一慣性系統中的测量仪器的运动速度趋近光速时，在理論上棒的長度减小到趋近于零。

当测量仪器与待測目标相對运动的速度为“工程技术上的”速度时，長度的縮短是微不足道的。例如，对于速度为 72 千米/小时 =  $2 \times 10^3$  厘米/秒的旅客，从列宁格勒到莫斯科的距离（651 千米）縮短了

$$6.51 \times 10^7 \sqrt{1 - \frac{4 \times 10^5}{9 \times 10^{26}}} - 6.51 \times 10^7 = 1.4 \times 10^{-7} \text{ 厘米} = 14 \text{ 埃}.$$

2°. 物体的质量与速度有关。物体相对于测量仪器的速度愈大，物体的质量就愈大。如果測量相对于仪器静止的物体的质量为  $m_0$ ，那么，这物体以速度  $v$  运动时的质量就等于：

$$m = \frac{m_0}{\sqrt{1 - \frac{v^2}{c^2}}} \quad (20-6)$$

当物体的速度趋近光速时，物体的质量增加，在理論上它可以趋近無限大。

如果运动着的物体的质量  $m$  以及运动的速度  $v$  为已知，那么，根据(20-6)就可以计算出物体的静止质量。

在宏观物体可以观察到的速度时，质量的改变是微乎其微的。例如，静止质量为 10 克的子弹，以 800 米/秒的速度飞行，质量增大了  $3.5 \times 10^{-11}$  克。然而，对于放射衰变时放射出的，以接近光速飞行的  $\beta$  粒子（电子）来说，质量的改变是可以发现的，并且能够测量出来，例如用测电子荷质比的方法来测量。测量的结果与公式(20-6)所示的结果准确地符合。

3°. 相对论可以得出结论：时间不是绝对的。如果我们根据均匀流逝的物理过程（例如光振动）来测定时间流逝，那么，它与测量仪器所在的系统相对于欲测其久暂的现象所在的系统的速度有关。为了解释这个结论，我们假定来测定氖气灯两次闪光之间的时间间隔，这氖气灯的电压是由图 56 所示的张弛振荡器来供给的。相对于光源（氖气灯）静止的光电管，经过时间间隔  $T$ ，记录下两次闪光。如果光源以速度  $v$  相对于光电管运动，或者光电管以速度  $v$  相对于光源运动，由于多普勒现象（§5），光电管记录下的两次闪光之间的时间间隔就改变了。把公式(5-11)及(5-12)应用到这个例子上，就得出了结论：当光源与观察者互相靠近时，时间间隔的记录为：

$$T_1 = \frac{1}{\nu_1} = T \left(1 - \frac{v}{c}\right),$$

当它们互相离开时为：

$$T_2 = \frac{1}{\nu_2} = T \left(1 + \frac{v}{c}\right).$$

这两个式子是从古典力学推导出来的。相对论导出不同的结果：

$$T_1 = \frac{T \left(1 - \frac{v}{c}\right)}{\sqrt{1 - \frac{v^2}{c^2}}} \quad \text{与} \quad T_2 = \frac{T \left(1 + \frac{v}{c}\right)}{\sqrt{1 + \frac{v^2}{c^2}}}. \quad (20-7)$$

由此可见，在相对于仪器运动的系统中，时间要比古典力学完

律得出的时间过得慢些。以后(参阅 § 26)我们会看到证实这个结论的实验事实。

4°. 根据相对论的推论, 以速度  $v$  运动的物体的动能决定于公式

$$W_{\text{kin}} = m_0 c^2 \left( \frac{1}{\sqrt{1 - \frac{v^2}{c^2}}} - 1 \right), \quad (20-8)$$

式中  $m_0$  是物体的“静止质量”。把  $m_0$  放到括号中, 并利用关系式 (20-6), 我们发现动能等于光速的平方与物体质量的增量  $\Delta m$  的乘积:

$$W_{\text{kin}} = c^2 (m - m_0) = c^2 \Delta m. \quad (20-9)$$

以后我们还会碰到这个对近代物理非常重要的关系式。

将量  $\frac{1}{\sqrt{1 - \frac{v^2}{c^2}}}$  展为级数, 并把 (20-8) 式改变形式, 我们得到:

$$W_{\text{kin}} = \frac{1}{2} m_0 v^2 \left( 1 + \frac{3}{4} \cdot \frac{v^2}{c^2} + \frac{5}{8} \cdot \frac{v^4}{c^4} + \frac{35}{64} \cdot \frac{v^6}{c^6} + \dots \right) \quad (20-10)$$

或

$$W_{\text{kin}} = \frac{1}{2} m v^2 \left( 1 + \frac{1}{4} \cdot \frac{v^2}{c^2} + \frac{1}{8} \cdot \frac{v^4}{c^4} + \frac{5}{64} \cdot \frac{v^6}{c^6} + \dots \right). \quad (20-11)$$

当速度比较小时, 这两个式子都变成古典力学所得的结果:  $W_{\text{kin}} = \frac{1}{2} m_0 v^2 = \frac{1}{2} m v^2$ 。当速度比较大时, 根据 (20-8) 看来, 动能是很大的, 而当物体的速度接近光速时, 在理论上动能也要趋近于无限大。

在地球上可以观察到的宏观物体的速度时, 由 (20-8) 式得出的动能的值和古典力学得出的动能的值 ( $\frac{1}{2} m v^2$ ) 之间的区别, 是非常微小的。例如, 质量为 10 克, 以 800 米/秒的速度飞行的子弹的动能不是  $\frac{10 \times 64 \times 10^8}{2}$  尔格 =  $8.2 \times 10^{10}$  尔格, 而是比它大 0.17 尔格。

5°. 假设有三个惯性系統：第一个系統放着測量仪器，第二个系統以速度  $v_1$  相对于第一个系統运动，而第三个系統又以速度  $v_2$  相对于第二个系統运动。速度  $v_1$  与  $v_2$  的方向相同。根据古典力学定律，第三个系統相对于第一个系統的速度等于  $v = v_1 + v_2$ ，而这个量在相对論中却是另一个表式：

$$v = \frac{v_1 + v_2}{1 + \frac{v_1 v_2}{c^2}} \quad (20-12)$$

例如，測量仪器在車站上（第一个系統），速度为 20 米/秒的火車（第二个系統）从車站旁边駛过，有一乘客（第三个系統）以 2 米/秒的速度沿着火車朝着火車头行走，根据古典力学定律，乘客相对于車站的速度为 22 米/秒，而按照相对論力学的定律，乘客的速度比 22 米/秒要小  $10^{-14}$  米/秒。

从公式 (20-12) 可以得出結論：“在真空中的光速是自然界可能达到的速度的極限，”这个結論和近代所知的實驗事實都沒有矛盾。如果每一个分速度都小于光速，那么，合速度也小于光速。例如，有兩個方向相同的速度，它們都等于光速的 0.9，当它們相加时，根据 (20-12) 求得合速度等于光速的 0.9945。如果某一个分速度等于光速，那么，不管第二个速度是多少，合速度都等于光速。

6°. 公式 (20-9) 不仅可以看作是一种論斷，即动能正比于質量的增量，而且可以当作質量与任何形式的能量这两个物理量之間的关系式，可以用这两个物理量从量的方面来表征物質的各种形式。

根据 B. I. 列寧的定义“…物質是作用于我們的感觉器官而引起感觉的东西：物質是在感覺中給予我們的客觀的实在，…”，由此可見，任何物理的物体，任何实在的場，例如引力場、电磁場（能量子的場，亦即光子的場）等等，都是运动的物質的不同形式。运动

是物质存在的形式。没有运动的物质是毫无意义的，没有物质的运动也是毫无意义的。能量是实物 (Матеральное тело) 与任何实在的场的运动在量方面的表征。质量也是实物与场的量的表征，但它还表征物质的任何形式所固有的一种特性——反抗其运动状态改变的特性。

公式 (20-9) 指出表征物质的不同的性质的质量与能量之间的联系，而且 1 克质量与  $9 \times 10^{20}$  尔格的能量相联系；而 1 尔格与  $\frac{1}{9 \times 10^{20}}$  克的质量相联系。因此

$$W = c^2 m \quad \text{或} \quad m = \frac{W}{c^2}, \quad (20-13)$$

式中  $W$  为任何形式的能量而  $m$  是与它联系的质量。

质量与能量之间的相互联系被核转变时观察到的某些现象正确地证实了，这些实验以后还会谈到的；这个关系式是核物理学中许多计算的基础，但研究宏观世界中的现象时，由于速度比光速小得多，因此，应用这些定律就没有多大的意义了。例如，一吨水，当从 0°C 加热到 100°C 时，其质量增加了 0.005 毫克，这对于测量与一吨水同数量级的质量的现代仪器来说是无法觉察的。

从上面的例子可以看出，有些物理量，我们好像觉得它们是绝对的，也就是觉得它们是与研究的客体相对于测量这些量的仪器的运动无关的，现在却都成为相对的了。特别是长度、质量及时间都是与客体相对于与仪器相连的计算系统的运动速度有关的。

相对论的进一步发展促使爱因斯坦研究引力理论，B. A. 傅克院士的工作大大地促进了这个理论的发展。引力理论把空间和时间的性质与物质的性质联系起来，而这种联系证实了辩证唯物主义的一个基本概念：空间与时间是物质存在的客观的实在的形式。

因此，相对论使我们对外界的认识大大地扩展与明确化了。

它能够解释许多以前所不能解释的现象。它导出了相对论力学，当运动以接近光速的速度进行时，应用相对论力学是完全必要的。

应当指出，相对论也和其他任何物理理论一样，有它的应用范围，超出这个范围就不能正确地反映真实的过程了。

## 第五章 原子物理和原子核物理基础

### § 21. 線光譜的發生和氫原子理論

在 § 18 中研究光的色散現象時已經指出，氣體或蒸汽的光譜是由大量譜線組成的，這些譜線可以分為好幾組，這些譜線組稱為光譜系。在每一光譜系中，在波長較短的一面，譜線逐漸變密，靠近光譜系的邊界處，譜線分布得如此密集，以至于彼此合併在一起。

在同一節里還提到，對於每一種氣體或蒸汽來說，都有特徵譜線光譜和它相對應。在上一世紀，這個事實就給人們以充分的根據，來假定光的發生是在原子和分子內部進行的現象，並假定任一種化學元素的原子結構與它相應的譜線光譜的形式之間，應該有著聯繫。然而當時並沒有任何的實驗事實，可以作為建立原子結構的嚴密的假說的基礎。只有在 1869 年 A. H. 門捷列夫發表他所發現的“周期律”，以及上一世紀末葉放射性現象和某些証實物質的電性的現象發現以後，才提出最初的幾種原子結構的假說。稍後，我們就要研究相應於這些假說的原子模型。

1885 年，巴耳末利用氫光譜可見部分的四條譜線的波長數據表，找出聯繫這些譜線的公式如下：

$$\lambda = B - \frac{n^2}{n^2 - 4}, \quad (21-1)$$

式中  $B$  為一常數。以  $n=3, 4, 5, 6$  代入，且當常數  $B$  為某一數值時，根據這個公式，可以很準確地計算出氫光譜四根可見譜線的波

長，这些譜線在圖 78 上以字母  $C, F, f$  和  $h$  表示。以  $n=7, 8, 9 \dots$  等數值代入公式後，就可以決定在可見光譜和紫外光譜交界處附近的一些譜線的波長。以光譜中任一譜線的波長  $\lambda$  和相應的  $n$  值代入公式(21-1)，就能根據它來決定常數  $B$ 。

根據這個公式計算的波長數值，和實驗測得的結果相符合，其符合的程度是如此之高，以至完全不能設想這種符合是偶然的；然而，當時的科學水平，並不能從物理上來論證這個公式。當時認為原子是彈性的，不帶電的中性球，其直徑的數量級為  $10^{-8}$  厘米。

电解定律，以及上一世紀所研究的有關氣體導電的各種現象，和二十世紀初葉所研究的放射性、光電效應、熱電子發射等一系列現象，都指出電子是原子組成的一部分。因為原子在電的方面是中性的，所以就必須承認帶正電的粒子也是原子組成的一部分。

本世紀初葉，曾測定電子荷質比的湯姆孫，提出一個原子模型，按照這個模型，原子是半徑約為  $10^{-8}$  厘米的小球體。這個尺寸是從分子物理的數據中求出的。正電荷均勻地分布在整個球體之內。電子处在球體的內部，它們的位置決定於把它們吸向中心的引力與電子彼此相互的斥力之間的平衡條件。光的輻射可以用電子在平衡位置附近作彈性振動來解釋，但用這個模型來解釋線光譜的規律性並沒有成功。

1912 年，盧瑟福和他的學生研究  $\alpha$  射線束通過氣體和金屬薄箔的情況。 $\alpha$  射線是放射衰變時所放射的帶正電的粒子流。當這些粒子射到熒光屏上時，就能使熒光屏發光。已經發現，通過氣體而射向熒光屏的細束  $\alpha$  射線，在屏上形成光點，其大小與氣體的性質和密度以及  $\alpha$  射線源到屏的距離有關。氣體愈密，則  $\alpha$  射線散射愈烈，屏上光點也散得愈開。當  $\alpha$  射線通過薄金屬板時，雖然一部分無散射地通過了，但另一部分却強烈地散射。某些  $\alpha$  粒子在其飛行中竟偏轉了  $90^\circ$  以上的角。這個現象的數學分析以及偏轉角度較大的粒子所占的分數的計算，都得出這樣的結論，就是使  $\alpha$

粒子散射的力源集中在一个非常小的体积内，也就是半徑为  $10^{-13} \sim 10^{-12}$  厘米的球的体积。只有正电荷才能作为这个力源。在以后的一些研究中，已經能够测定这个电荷的数值，若以电子的电荷为單位，则这个电荷的数值等于門捷列夫周期系中的元素的序数，而且实验还确定了，原子的全部質量，几乎都是和这正电荷相联系的。这样一来， $\alpha$  粒子散射的研究就給我們描绘出一幅如下所述的原子結構的圖画。

原子由帶正电的核和帶负电的电子壳層構成，而壳層中的电荷等于核的电荷。原子所有的質量几乎都集中在核上。这样的电荷系統，只有当構成原子的电子壳層中的电子繞核轉动时，才可能处于稳定平衡。在这种情况下，电子以加速度运动着。如果电子的运动遵从古典电动力学的規律，则电子应当輻射能量，且沿螺旋線运动，最后將落在核上。然而，盧瑟福的实验完全可靠地指出，这件事是不可能發生的，原子可以長久地存在着，而不輻射能量。因此，就得到这样的結論，即古典力学和古典电动力学的規律，不能像它們应用于宏觀物体那样地应用到原子的系統上。

玻尔从这个結論出發，并以盧瑟福的模型为基础，而提出氢原子理論，这个理論能够解釋氢光譜的發生和公式 (21-1)。这个理論进一步的發展，大体上就能解釋其他的光譜以及由 Д. И. 門捷列夫“周期系”所决定的元素的周期性。为此就必须假設：構成原子的电子壳層的电子，并不是都沿着一些圓形轨道而轉动，而是分布在若干層上。原子的原子价决定于它的最外層的电子的数目；这些电子称为价电子。价电子又称为光学电子，因为在原子輻射光时，它們起着主要的作用。

按照玻尔-盧瑟福的模型，原子中最簡單的氢原子是由帶正电的核和一个繞核轉动的电子組成的，核电荷等于电子的电荷。氢原子核称为質子。質子的質量比电子的靜止質量大 1887 倍，这就是說原子所有的質量几乎都集中在核上。氢光譜的理論是由玻

尔的三个假設構成的，其內容可歸結如下：

1. 电子只能沿着这样一些轨道繞核轉動，在这些轨道上电子的动量矩等于某一个数  $\frac{h}{2\pi}$  的整数倍。这个数可以了解为元动量矩。因此，

$$mv_k r_k = k \frac{h}{2\pi}, \quad (21-2)$$

式中  $m$  是电子的质量， $v_k$  是它在第一个假設所許可的第一个轨道上的速度， $r_k$  是这个轨道的半徑，而  $h=6.62 \times 10^{-27}$  尔格·秒（普朗克恒量）， $k$  是任意的正整数 ( $k=0, 1, 2, 3, \dots$  等)。这个数称为量子数。

从古典力学的观点看来，無法証明氢原子理論的第一个假設是正确的。

2. 凡电子沿着第一个假設所許可的任一轨道运动者，不輻射能量。

这个假設是和古典电动力学的規律相矛盾的。从电學課程中已經知道，以加速度运动的电荷（沿圆形轨道运动的电子具有加速度  $\frac{v^2}{r}$ ）必定要損耗能量于电磁場的輻射。

3. 当电子从某一較远的轨道过渡到較近于核的轨道时，原子輻射出一个光量子。这个假設可以用下式表示出来：

$$W_n - W_k = h\nu_{nk}, \quad (21-3)$$

式中  $n$  和  $k$  是第一个假設所許可的轨道的序数，而且  $n > k$ ， $W_n$  和  $W_k$  是电子在这些轨道上的总能量，而  $\nu_{nk}$  是电子从第  $n$  个轨道过渡到第  $k$  个轨道时原子所輻射的光的频率。

由此可见，根据第三个假設，原子不能有任何的能值，而仅能有一些不連續的能值。

当原子中的电子处在除第一个轨道（相应于量子数  $n=1$ ）以外的任何轨道时，这个原子就称为受激原子，如果电子已从原子中

离去，则这种失去电子的原子称为离子化原子。

我們將应用玻尔的假設来推导計算氫光譜綫波長的公式。

如果保持电子在軌道上轉动的向心力等于核吸引电子的庫侖力时，也就是

$$\frac{mv_k^2}{r_k} = \frac{qe}{r_k^2}, \quad (21-4)$$

那么氫原子中的电子就要沿着半徑为  $r_k$  的轨道轉动，上式中  $q$  是核的电荷，而  $e$  是电子的电荷。虽然，对氫原子來說，这两个量的絕對值都是相同的，但为了以后討論便利起見，我們仍將采用不同的符号。

联解方程式 (21-2) 和 (21-4)，很容易求出第  $k$  个轨道的半徑和电子在这轨道上的速度  $v_k$ 。

以 (21-2) 式除以 (21-4) 式，得到：

$$v_k = \frac{qe2\pi}{kh}. \quad (21-5)$$

再把求得的速度  $v_k$  代入 (21-2) 式，就得到：

$$r_k = \frac{k^2 h^2}{4\pi^2 m q e}. \quad (21-6)$$

从电学課程中已經知道，电荷在电場中某一点的势能等于这电荷的电量与电場在該点的电势的乘积。核的正电荷建立一个电場，在离核为  $r_k$  处（电子所在处）其电势为  $U = \frac{q}{r_k}$ 。电子的电荷  $e$  是一个負量。所以，它的电勢能也是负的：

$$W_{pot} = U(-e) = -\frac{qe}{r_k}. \quad (21-7)$$

电子的势能的最大值等于零，相应于电子离核無限远的位置，也就是相应于离子化原子的情况。

电子在第  $k$  个轨道的动能可从 (21-4) 式决定：

$$W_{kin} = \frac{mv_k^2}{2} = \frac{qe}{2r_k}. \quad (21-8)$$

电子在第  $k$  个轨道的总能量等于：

$$W_k = W_{\text{pot}} + W_{\text{kin}} = -\frac{qe}{r_k} + \frac{qe^2}{2r_k} = -\frac{qe}{2r_k} = -\frac{2\pi^2 m q^2 e^2}{k^2 h^2}, \quad (21-9)$$

式中  $r_k$  已以 (21-6) 式代入。

按照 (21-3) 式，当电子从第  $n$  个轨道过渡到第  $k$  个轨道时，原子辐射的光量子等于：

$$\begin{aligned} h\nu_{nk} &= W_n - W_k = -\frac{2\pi^2 m q^2 e^2}{n^2 h^2} + \frac{2\pi^2 m q^2 e^2}{k^2 h^2} = \\ &= \frac{2\pi^2 m q^2 e^2}{h^2} \left( \frac{1}{k^2} - \frac{1}{n^2} \right). \end{aligned} \quad (21-10)$$

波数  $N$  是波长的倒数，考虑到  $\lambda\nu=c$ ，就可以求出：

$$N = \frac{1}{\lambda} = \frac{\nu_{nk}}{c} = \frac{W_n - W_k}{hc} = \frac{2\pi^2 m q^2 e^2}{h^2 c} \left( \frac{1}{k^2} - \frac{1}{n^2} \right). \quad (21-11)$$

以  $R$  表示 (21-11) 式中括号前面的因子，我们得到：

$$N = R \left( \frac{1}{k^2} - \frac{1}{n^2} \right) = \frac{R}{k^2} - \frac{R}{n^2}, \quad (21-12)$$

式中

$$R = \frac{2\pi^2 m q^2 e^2}{h^2 c} \quad (21-13)$$

称为里德伯恒量。

如果以  $m=9.1 \times 10^{-25}$  克， $q=e=4.8 \times 10^{-10}$  CGSE<sub>q</sub>， $h=6.62 \times 10^{-27}$  尔格·秒， $c=3 \times 10^{10}$  厘米/秒代入 (21-13) 式，就很容易求得里德伯恒量的数值。若计算的结果准确到 0.5%，所得出的  $R=110000$  1/厘米。这个恒量准确的数值列在本章之末。

从公式 (21-12) 得出结论：电子在两个轨道间过渡时，辐射光的波数等于两个数之差，这两个数分别与两个轨道的序数的平方成反比，这两个数称为光谱项。对于比较复杂的原子辐射光来说，计算波数的公式仍然保持着这种形式。

把公式(21-1)改变形式,使它便于计算波数,我们得到:

$$\frac{1}{\lambda} = N = \frac{4}{B} \left( \frac{1}{2^2} - \frac{1}{n^2} \right). \quad (21-14)$$

比较公式(21-12)和(21-14),可以看出,这两个公式是同一公式(21-12)的两种形式,只不过公式(21-14)相应于特定的值  $k=2$  而已。以后我们把公式(21-12)称为谱线系公式。

必须指出,公式(21-12)最初是由改变公式(21-1)的形式而得到的。里德伯在公式(21-12)的分母上引进一个分数的修正项,并将里德伯恒量乘以表征每一种元素的特征的某个数量,再把所得到的公式应用到重金属的光谱上,结果很合适。

因此,按照玻尔的理论,当电子从某一轨道过渡到较近于核的另一轨道时,原子就辐射出光来。当电子从第二,第三,第四…等轨道过渡到第一轨道时所得到的全部谱线,都是同一个线系的谱线,这个线系相应于  $k=1$ 。这个线系的全部谱线都在光谱的紫外部分。

当电子由较远的轨道过渡到第二个轨道时,所得到的许多谱线构成可见的线系。这个被研究得最多的线系包括全部可见的谱线,而波长最短的谱线却在光谱的紫外部分。这个线系有 29 条谱线已被发现和测量出来,这些谱线相应于从  $n=3$  到  $n=31$  而  $k=2$ 。

在光谱的近红外线区的线系的谱线,相应于  $k=3$ ,而  $n=4, 5, \dots$  等。

相应于  $k=4$ ,而  $n=5, 6, \dots$  等的第二红外线系的谱线和  $k=5, n=6, 7, 8, \dots$  等的第三红外线系的谱线都已发现。这两个线系都在光谱的远红外线区。

一个线系的所有谱线在波长较短的一方面有着界限,它决定于  $n=\infty$ 。这个界限是某一线系的谱线密集时所趋向的极限。

图 161 表示氢原子中近核的一些电子轨道的简图。这些轨道

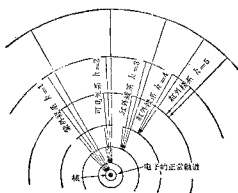


图 161. 氢原子的电子轨道简图(不按比例) 很好的考驗, 并且証明了作为这个光譜理論的基礎的那些假設的正確性。

从这个理論也可以推出其他的一些結果, 这些結果都为實驗所証实。

例如, 可以采取氢原子的半徑等于原子中电子正常轨道( $l=1$ )的半徑。这个原子的半徑也可以用其他實驗方法来測定。未受激原子的电子轨道半徑可按公式(21-6)在  $l=1$  时計算出来。这两种結果符合得很好。回想起氢原子直徑的数量級是  $10^{-8}$  厘米, 就很容易相信这一点。

氢的电离电势可以用實驗方法来測定。电离电势和电子电荷的乘积, 决定着使电子离开原子所須消耗的功, 或者使原子电离时所須消耗的功。显然, 这个功也等于电子从無限远移到原子中电子的正常轨道时所辐射的能量, 也就是与紫外線系边界的譜綫相对应的量子的能量。因此, 如果电离电势  $U_1$  以伏特表示(参考 261 頁), 则

$$\frac{eU_1}{300} = W_{\infty} - W_1 = Rhc,$$

由此

都是玻尔第一个假設所許可的。用矢綫表示电子的过渡, 这些过渡相應于氢光譜五个綫系中一些波長最長的譜綫。

从實驗得到的全部譜綫的波長, 和按巴耳末公式計算的結果准确地符合到六位有效數字。这是这个光譜理論

$$U_i = \frac{Rhc}{e} 300 \approx \frac{1.1 \times 10^5 \times 6.62 \times 10^{-34} \times 3 \times 10^{19} \times 300}{4.8 \times 10^{-10}} = \\ = 13.65 \text{ 伏特。} \quad (21-15)$$

根据实验数据，氢的电离电势是 13.5 伏特，与从公式 (21-15) 得到的数值符合得很好。

要把玻尔理论用到较氩原子复杂的那些元素的光谱上，就必须将公式加以一系列的复杂化。这个理论的基本假设——即任何原子辐射的光量子等于电子在不同轨道上能值之差——仍然有效。困难在于计算壳层上其余电子对于受激原子的光学电子的能量的影响，而且困难又在于决定电子的能级，因为要决定能级，必须再引用三个量子数，这些量子数所起的作用详述于下。

电子不仅沿圆形轨道运动，而且也沿着椭圆轨道运动，正如理论所指出的，这些轨道的离心率不能有任何的数值，而是决定于第二个量子数  $l$ 。在这种情况下，不仅要把玻尔理论的第一个假设应用到动量矩的切向分量上去，而且还要把它应用到动量矩的径向分量上。在主量子数  $n$  为一定时，第二个量子数可以取从  $l=0$ （相应于圆形轨道）至  $l=n-1$ （相应于离心率最大的轨道）等数值。氩原子中电子轨道是椭圆并不影响能级的值，但在比较复杂的原子中，当轨道的离心率比较大时，光学电子就可能穿入离核较近的内层，因而这个电子的能级就发生变化。因此，光谱中就看到大量的谱线。

为了解释光谱中那些由于磁场和电场引起的变化，还要再引用两个量子数。其中一个叫做磁量子数，它决定电子轨道的平面对于某一方向（例如外磁场方向）可能取的方位。电子的动量矩矢量在这个方向的投影以及绕核运动的电子产生的磁矩矢量在这方向的投影，都不能取任意的数值，而只能取一些不连续的数值，这些数值决定于磁量子数。沿着主量子数  $n$  相同而对外磁场所取的方位不同的那些轨道运动的电子，具有不同的能量，所以，如果光

源放置在磁场之中，那么就能在光谱中观察到谱线的分裂，也就是可以看到原来一根谱线为好几根靠得很近的谱线所代替。当第二个量子数  $l$  的值相同时，磁量子数  $m$  可以取  $2l+1$  个不同的数值。

不仅用电荷和质量来表述电子，而且还用“自旋的”固有动量矩以及和它有关的固有磁矩来表述电子。这个固有动量矩矢量的方向或者平行于轨道矩矢量，或者和轨道矩矢量反向。因此，引入第四个量子数，即自旋量子数，对于磁量子数  $m$  的每一个数值来说，自旋量子数可以取两个不同的值。

在解释带光谱（分子光谱）时，不仅应当考虑处在量子条件所许可的任一轨道的电子的能量，而且还要考虑分子振动和转动的能量。这些能量也服从一定的量子条件。由此可见分子能级的多种多样，因此，分子光谱中应该有大量的谱线。

我们大体上已熟悉了的光谱理论，已经能够解释线光谱和带光谱的产生以及那些由于磁场和电场在光谱中所引起的变化，但谱线的强度问题和光谱的某些细节，只有应用新的理论才能得到阐明。这个新理论把波动和粒子的概念结合起来。我们在 § 11 中已经提到过它，而且在 § 27 中还要谈到。

可以用电子按原子中电子壳层的分布来解释门捷列夫所发现的原子性质的周期性，这个周期性被他作为元素周期系的基础。一方面用泡利原理来确定电子的分布，泡利原理叙述为：“一个原子内，不可能有两个电子，它们所有的四个量子数都相同”，另一方面，也要根据每个电子都企图占据原子内未被占据的最低能级的特性，来确定它们的分布。由泡利原理所得出的结论，完全为实验所证实。研究原子的光学光谱和伦琴光谱，就能确定处在任一壳层的电子数目。

通常采用字母  $K, L, M, N \dots$  等来表示电子壳层（从第一壳层开始）。从泡利原理得出结论，即在未受激原子的  $K, L, M, N \dots$

等壳层中，电子最大的数目不能超过一系列整数的平方的两倍（即电子数目不超过  $2n^2$ ，对  $K, L, M, N \dots$  等壳层来说  $n=1, 2, 3, 4 \dots$  等——译者）。从表征原子中每一个电子的那些量子数之间的关系也应当得出上述的结论。例如，在  $N$  壳层中（离核的第四壳层），以相应于主量子数  $n=4$  的能级来表征基本的能级，与这个能级相对应的是四个离心率不同的轨道，这些轨道的第二个量子数是从  $l=0$ （圆形轨道）到  $l=3$ （离心率最大的轨道）。每一轨道在空间中可能取向的数目如下。在  $l=0$  时， $m=2l+1=1$ ；在  $l=1$  时， $m=-2l+1=3$ ；在  $l=2$  时， $m=2l+1=5$ ，而  $l=3$  时， $m=2l+1=7$ 。每一轨道都有它相对应地电子“自旋的”矢量的两个取向，也就是“自旋”量子数的两个可能的值。这样一来，电子能够处在  $N$  壳层（离核第四壳层）的最大的数目等于： $2(1+3+5+7)=32=2 \times 4^2$ 。因此，在离核的第一壳层中，电子的数目不可能大于  $2 \times 1^2=2$ ，在第二壳层中，电子的数目不可能大于  $2 \times 2^2=8$ ，而在第三壳层中不可能大于  $2 \times 3^2=18$ ，余类推。这些数目只是内层的情况。在外层不能多于 8 个电子，这一层的电子数决定元素的原子价。如果最外层恰好就是原子的唯一的电子壳层，那么在这一壳层中不可能多于两个电子。

我們將把电子按壳层分布的明显的周期性和 J. H. 門捷列夫元素周期系作一比較。元素周期表的最新的形式列在后面。所有天然的化学元素和现代利用核反应得到的人造元素都包含在这个表内。在这些元素的原子的电子壳层中，所包含的电子数目是从 1 个开始到 100 个为止。在周期表中原子量是以化学的标度单位表示出来的（参考 § 25），除了第 43, 61, 87 和 89 号元素以及所有的超铀元素（原子序数超过 92 的元素）采用非常接近于整数的一种同位素的原子量以外，其他的每一种元素的原子量都是其几种同位素的天然混合物的原子量。第 99 号和 100 号元素的名称还没有最后确定下来（这两种元素的名称已确定为铹及𬬻——译

者)。

只有氩和氢在元素周期系的第一周期中,这两种原子内都仅有一个电子壳层——K壳层。氩原子内有一个电子,而氢原子内有两个电子。K壳层为两个电子所填满,因此氢是惰性气体。

第二周期表征出当K壳层填满时,原子内还存在着第二个电子壳层——L层。这个周期开始于锂,它的L壳层中有一个电子,而结束于惰性气体氖,它的外层有着8个电子。

第三周期开始于钠,它的原子的最外层(M壳层)有一个电子,而结束于惰性气体氩。氩原子的M壳层中有八个电子。在第三周期全部八个元素的原子内,K壳层和L壳层都是填满的。

第四周期不仅表征出这个周期的元素的原子有最外层,即第四壳层(N壳层),而且还要把M壳层逐渐填满,在这一壳层中可以容纳的电子不能多于 $2 \times 3^2 = 18$ 个。这个周期结束于惰性气体氪,它的原子的最外层有八个电子。K,L和M这三个内壳层全部填满。氪的原子序数以及它的原子的电子壳层中电子的数目都是: $Z = 2 + 2 \times 2^2 + 2 \times 3^2 + 8 = 36$ 。

第五周期开始于铷,它的O壳层(离核第五壳层)中有一个电子,而结束于惰性气体氙,它的原子序数为54。在氙原子内,电子首先填满K,L和M等三个壳层,在第四壳层中虽然可以容纳 $2 \times 4^2 = 32$ 个电子,但它只填入了18个电子。氙原子的O壳层中有八个电子。

第六周期开始于铯,它的原子序数 $Z = 55$ 。在铯原子的P壳层中(离核第六壳层),有一个电子。第六周期结束于氡,它的原子的最外层有八个电子。氡也是惰性气体。从镧( $Z = 57$ )后面的铈到镥( $Z = 71$ )的稀土族元素也在第六周期之内。“镧”族元素在O壳层中都有九个电子,而在P壳层中都有两个电子。这些元素的原子是以它们在N壳层中的电子数目的不同来区别的,这个壳层将逐渐“被填满”,而填入这壳层的电子是从第19个填到第32个。

## Д. И. 門捷列夫

周期	系	元素				
		I —R <sub>2</sub> O	II —RO	III —R <sub>2</sub> O <sub>3</sub>	IV R <sub>2</sub> H <sub>2</sub> RO <sub>2</sub>	V RH <sub>3</sub> R <sub>2</sub> O <sub>5</sub>
I	I	鉻 1.0080				
II	2	Li 3 鋁 6.940	Be 4 鋁 9.013	B 5 硼 10.82	C 6 碳 12.011	N 7 氮 14.008
III	3	Na 11 鋰 22.991	Mg 12 鋁 24.32	Al 13 鋁 26.98	Si 14 矽 28.09	P 15 磷 30.98
	4	K 19 銅 29.100	Ca 20 鋁 40.08	Sc 21 鋁 44.96	Ti 22 鈦 47.10	V 23 鈦 50.95
IV	5	29 銅 63.54	30 Zn 鋅 65.38	31 Ga 鋁 69.72	32 Ge 矽 72.60	As 33 砷 74.91
V	6	Rb 37 銣 85.48	Sr 38 鋁 87.63	Y 39 鈇 88.92	Zr 40 鈮 91.22	Nb 41 铌(銅) 92.91
	7	47 Ag 銀 107.880	48 Cd 鋁 112.41	49 In 鋁 114.76	50 Sn 錫 118.70	Sb 51 銅 121.76
VI	8	Cs 55 鉻 132.91	Ba 56 鋁 137.36	La 57 鈷 138.92	Hf 72 鈮 178.6	Ta 73 鈮 180.95
	9	79 Au 金 197.0	80 Hg 汞 200.61	81 Tl 鈮 204.39	82 Pb 鉛 207.21	Bi 83 銻 209.00
VII	10	Fr 87 鉻 (223)	Ra 88 鋁 226.05	Ac 89 鈮 227		

錫系	Ca 58 鉻 140.13	Pr 59 鋁 140.02	Nd 60 鈮 144.27	Pm 61 鈮 (146)
	Tb 65 鋁 158.93	Dy 66 鋁 162.46	Ho 67 鈮 164.94	Er 68 鈮 167.2

銅系	Th 90 鉻 232.12	Pa 91 鋁 231	U 92 鉻 238.07	Np 93 鉻 237
	Bk 97 鉻 243	Cf 98 鋁 244	Ath 99 鉻 ?	Ct 100 鉻 ?

## 元素周期系

VI RH <sub>2</sub> RO <sub>3</sub>		VII RHR <sub>2</sub> O <sub>7</sub>	VIII RO <sub>4</sub>			0 — —
						2 He 氦 4.003
8 O 氧 16.0000	9 F 氟 19.00					10 Ne 氖 20.183
16 S 硫 32.066	17 Cl 氯 35.457					18 Ar 氩 39.944
Cr 24 铬 52.01	Mn 25 锰 54.94	26 Fe 铁 55.85	27 Co 钴 58.94	28 Ni 镍 58.69		
34 Se 硒 78.96	35 Br 溴 79.916					36 Kr 氪 83.80
Mo 42 钼 95.96	Tc 43 锝 (99)	44 Ru 钌 101.7	45 Rh 铑 102.91	46 Pd 钯 106.7		
52 Te 碲 127.61	53 I 碘 126.91					50 Xe 氙 131.3
W 74 钨 183.02	Ru 75 铼 186.51	76 Os 锇 190.2	77 Ir 铱 192.2	78 Pt 铂 195.23		
84 Po 钋 (210.0)	85 At 砹 (211)					86 Rn 氡 222

Sm 62 钐 150.43	Eu 63 铕 152.0	Gd 64 钆 156.9
Tb 69 铽 168.94	Yb 70 镱 173.04	Lu 71 镥 174.99

Pu 94 钚 242	Am 95 镅 (243)	Cm 96 锔 (242)
101	102	103

为止。因为第六周期较后面的那些元素在  $O$  壳层中只有 18 个电子，而  $O$  壳层却可以容纳  $2 \times 5^2 = 50$  个电子，因此， $O$  壳层仍未填满。

D. I. 門捷列夫周期表的第七周期（最后的周期）开始于非常罕见的元素錫（ $Z=87$ ），它的最外层  $Q$  壳层（第七壳层）有一个电子。在錫（ $Z=88$ ）后面的一个元素（指銅——譯者）以及更后面的所有其他已經知道的元素的原子，在  $Q$  壳层中都有两个电子。这些元素的原子是以填入  $P$  壳层的电子数目的不同来区别的。这些元素称为銅系元素，它们把  $P$  壳层逐渐填满。

由前面的研究可以看出，在研究原子的电子壳层的結構时，D. I. 門捷列夫的元素周期系的作用是何等巨大。以后我們会了解到，在解釋原子核的結構时，周期系也同样地起着巨大的作用。

圖 162 表示氫、鐵和鉻等原子中电子按壳层分布的簡圖。假定以圆周表示每一壳层，

圆周上的点表示該壳层中的电子数。

必須指出，电子壳层相同而核电荷相等的原  
子，因而也就具有同样的

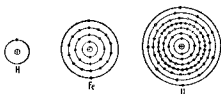


圖 162. 氢、鐵和鉻原子中电子壳层简图

化学性质的原子，它们的原子核的质量是可以不同的。这些原子的变种，称为同位素，也就是它们在周期表中“占着同一位置”，大多数元素都有同位素。例如，氢是由原子量为 35 和 37 的两种同位素组成的，汞是由原子量为 196, 198, 199, 200, 201, 202 和 204 等七种同位素组成的。用化学方法测定的原子量是这个元素的各种同位素的原子量的某种平均值，这个原子量和各种同位素混合的比例有关。

J. J. 湯姆孙在测定离子的荷质比的实验中，确定了同位素的存在。湯姆孙利用电场和磁场使正离子流的细束射线偏转来测定

这个比值。

圖 163a 表示湯姆孙的仪器的一种式样。这种仪器由两个相通的容器  $P$  和  $Q$  组成。电荷在容器  $P$  的阳极  $A$  和阴极  $K$  之

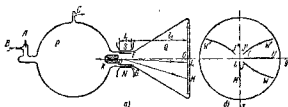


圖 163. 湯姆孙儀器簡圖，利用它來確定同位素的存在

間产生，阴极是一个重金属的圆筒，有一条细缝通过圆筒的轴线。被研究的气体经过毛细管  $B$  进入容器  $P$  内。 $C$  管和抽气机相连接，可以利用抽气机使容器中的气体适当的稀薄，当阳极与阴极间的电压的数量级为 30~50 千伏时，这个稀薄度对气体放电恰好合适。放电时，在这个容器中形成正离子，以巨大的速度向阴极运动，通过细缝  $D$  而进入锥形容器  $Q$ 。在圆锥的底部装置着照相底片或者就把荧光层涂在底部上。离子束从细缝射出后，在电容器的两板  $F$  和  $G$  以及电磁铁的  $N$  极和  $S$  极之间通过，在电容器的两板和电磁铁的两极之间可以产生互相平行的电场和磁场。

沒有电场和磁场时，离子束沿圆锥体的轴线进行，在圆锥体底部的照相底片或荧光层的中心处( $O$  点)形成光点。如果在电容器的两板上加上电压，那么，电容器的电场使离子束偏转，并使光点在圖 163a 的平面上移动。光点的位移的大小由下式决定

$$x = k_1 E \frac{q}{mv^2}, \quad (21-16)$$

式中  $E$  是电容器的电场的场强， $q$  是离子的电荷， $m$  是离子的质量， $v$  是离子在电场中飞行的速度，而  $k_1$  是一个系数，它的数值与在离子飞行的那个方向上的电容器极板大小有关，又与电容器离开照相底片的距离有关。(21-16)式是从电荷在电场中运动的理

論推导出来的，这个理論我們已經在電學課程中研究过了。

在容器  $P$  中，由於离子是在离陰極不同的距离处产生的，因而它們以不同速度进入細縫  $D$ ，而當它們从細縫飞出后，就以不同的角度偏轉。由於電場对离子流作用的結果，光点就拉开成为条紋  $LM$ ，如圖 1636 所示。飛入電容器的電場中的那些速度最大的离子，射到  $L$  点，而那些速度最小的离子則射到  $M$  点。

如果利用电磁鐵  $SN$  形成磁場以代替電場，那么，正如電學課程中所講过的，必有洛倫茲力作用在飞行于磁場中的每个离子之上，这个力由下式决定

$$f = Bq'v = \frac{1}{c} Bqv, \quad (21-17)$$

式中  $B$  是磁感应强度， $q'$  是离子的电荷，它以电磁系單位来表示，而  $c$  是电动力学常数，它的数值等于光速，也是电量的电磁系單位和靜電系單位的比值。

因为洛倫茲力垂直于离子的速度，所以离子在磁場中就要沿着圓弧运动，它的半徑可由下式决定

$$\frac{mv^2}{\rho} = \frac{Bqv}{c}, \quad (21-18)$$

则有

$$\rho = \frac{mv}{Bq}. \quad (21-19)$$

这样一来，在磁場中飞行的离子就要偏轉，它們偏轉的方向垂直于 163a 圖的平面，因而在照相底片上，光点就拉开成为条紋  $TU$ （参考圖 1636）。如果离子以速度  $v$  飛入磁場中，那么，它們并不射到照相底片的  $O$  点上，而是射到离  $O$  点距离为  $y$  的一点上， $y$  的数值由下式决定：

$$y = \frac{k_2 B}{c} \frac{q}{m} \frac{1}{v}, \quad (21-20)$$

式中  $k_2$  是与  $l_1$  和  $l_2$  有关的数系（参考圖 1636）。（21-20）式是从这样的基本假設推导出来的，即假設  $\frac{l_1^2}{\rho^2}$  是比 1 小得多的量。

同时用电场和磁场来使离子流偏转时，在照相底片上就形成曲线  $JW$ （参考图 1636），如果从公式（21-16）和（21-20）中消去速度  $v$ ，就可以求得  $JW$  线的方程式：

$$\frac{y^2}{x} = \frac{k_e^2 B^2}{k_1 e^2 E} \cdot \frac{q}{m}。 \quad (21-21)$$

从（21-21）式看出，荷质比相同，但在电场和磁场中以不同速度飞行的离子，在照相底片上形成一条抛物线。当改变电场（原文为磁场，与图 1636 中的  $J'W'$  线不合，应改为电场——译者）至相反的方向时，则形成抛物线  $J'W'$  代替抛物线  $JW$ ，而当电场和磁场都改变方向时，就形成了抛物线  $J''W''$ 。

图 IX（在本書之末）是湯姆孙在 1913 年得到的許多照片中的一张。在照片上可以看出一些荷质比不同的离子流所形成的抛物线。照片的中心处可以看到不偏转的光点，这是在未加上电场和磁场以前得到的。在右下方的象限内，原子量为 20 的氖离子形成非常明显的抛物线，在它的旁边勉强可以看到原子量为 22 的氖离子所形成的抛物线。因为天然的氖是这两种同位素的混合物，所以用化学方法测定的氖的原子量等于 20.2。在那張圖片上还可以看到  $\text{CO}$ ,  $\text{CO}_2$  所形成的抛物线，以及汞所形成的两条抛物线，其中较弱的一条是由两次电离的汞原子所形成的，也就是由失去两个电子的汞原子所形成的。因为汞的原子量很大，而这个元素的各种同位素的荷质比  $\frac{q}{m}$  区别很小，所以这两条抛物线都不分开为好几条抛物线。这就说明这个方法的灵敏度是不够的，但是改变场强仍然可以用它来找出来汞的同位素的存在。

右上方的象限内的那些抛物线，也是由上述的那些离子所形成的，但电场（原文为磁场，系电场之誤——译者）的方向变为相反。图 IX 中这一部分和前述的一部分相对称。当磁场强度（原文为电场强度，系磁场强度之誤——译者）也反向时，就得到左上方的象限内的那些抛物线。在这一部分中可以看到一次电离和兩

次电离的氛原子、氢原子以及氢离子等等所形成的抛物线。

应用 1919 年阿斯頓所采用的方法，可以准确地测量各种同位素的原子量。这个方法和抛物线法的区别在于：电场和磁场使离子以相反的方向偏转，而所有荷质比相同的离子都聚焦在照相底片的同一点上。荷质比不同的离子聚焦在照相底片的不同点上，并留下了痕迹。这些痕迹比起汤姆孙方法中的抛物线要清晰得多，因为这些痕迹是由落在照相底片的同一点上的大量离子所构成的。如果把离子的荷质比为已知的一定量气体渗入要研究的气体内，就可以很准确地测定所研究的气体的离子的荷质比。因为离子的电荷只能等于电子电荷或它的整数倍，因此，就可以根据荷质比  $\frac{q}{m}$  来确定离子的质量。

图 164 表示离子流分裂的情况和那些荷质比  $\frac{q}{m}$  相同的离子在照相底片上聚焦的简图。屏 A 和 B 使离子成为一细束，这束离

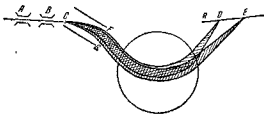


图 164. 阿斯頓質譜儀簡圖

子在 C 点进入平板 F 和 G 构成的电容器的电场中。在这电场中，以不同速度运动的离子与荷质比  $\frac{q}{m}$  不同的离子，都以不同的方向偏转。离子束从电容器飞出之后，就进入磁场内，这磁场的方向是由观察者垂直地指向圆平面（在图上可以看到电磁铁的南极）。这个磁场使离子束以相反的方向偏转，并使荷质比不同的离子在照相底片的不同点上聚焦。如图所示，D 和 E 就表示两个这样的点。

阿斯頓的仪器称为質譜仪，由这仪器拍摄而得的照片称为質譜。

圖 X 中(在本書之末)以 1920 年阿斯頓得到的兩個質譜作为例子。荷質比相同的离子在照相底片上形成黑色的条紋，这些条紋旁边的数目表示离子的  $\frac{m}{q}$  的数值。

在本节將要結束时，我們还要提一下光譜綫的寬度問題。从光譜理論得出这样的結論，即光学电子从一个能級过渡到另一个能級时，原子应严格地辐射出單色光，也就是說光譜綫应当無限的狭窄。但实际上观察到的光譜綫都有一定的寬度。光譜綫“扩张”的一个原因是由于在同一元素的各种同位素的光譜中，相应的譜綫的波長有微小的差別。另一个原因是由于产生多普勒現象，这現象在 § 5, r 中已經講过。原子永远处在热运动的状态，如果原子辐射频率为  $\nu$  的光，当原子接近記錄仪器时，那么为它所接收的光的频率就稍大于  $\nu$ ，如果原子离开記錄仪器时，那么为它所接收的频率就稍小于  $\nu$ 。因此，甚至在光源的距离不变的情况下，光譜綫仍然有一定的寬度。

A. A. 別洛普利斯基(Белопольский)和 B. B. 高里欽(Голицын)院士曾用不同的实验方法証实了多普勒原理可以应用于光学的現象。

多普勒現象能够决定各种天体接近和离开的速度。在接近时，可以观察到所有光譜綫都向短波方面移动，在离开时，光譜綫則向長波方面移动，也就是向光譜的紅的一边移动。

把多普勒現象的理論(41 頁)应用到光学現象时，要考虑到相对論的假設(233 頁)。

## § 22. 倫琴射綫

1895 年，倫琴發現一种当时未知的射綫，称它为 X 射綫。后来，这种射綫称为倫琴射綫。这种射綫是从被电子流轰击的物质

辐射出来的。当电子流轰击物质时，电子的能量，或者由于它们在原子的电场中受到制动而直接转变为伦琴辐射的能量，或者是消耗于使被轰击物质的原子发生电离。在第一种情况下，发现伦琴射线中包含了某一个范围内的全部波长，也就是说，如果把伦琴射线分解为光谱时，就得到连续光谱。习惯上把这些射线称为“白色的”伦琴射线。在第二种情况下，伦琴辐射是当离子化原子中的电子过渡到较低的能级时发生的。在这种情况下，发现伦琴射线的光谱中，在连续光谱的背景上有着几条分开的、强度很大的谱线，这些谱线是辐射伦琴射线的物质的特征谱线，称为标记伦琴射线。

在 § 10 中已经指出，伦琴射线是电磁波，其波长在  $120 \text{ \AA}$  到  $0.08 \text{ \AA}$  的范围内。这个界限只是近似的，因为，借助于获得伦琴射线的方法，可以使这个范围扩大。例如，1924 年，П. И. 鲁基尔斯基院士就得到波长为  $154 \text{ \AA}$  的伦琴辐射。伦琴辐射在长波方面的界限与紫外线重叠，亦即与光学方法激发的射线重叠，而在短波方面，则和  $\gamma$  射线重叠， $\gamma$  射线是放射衰变时放射出来的射线。

可以应用各种构造不同的伦琴管来获得伦琴射线。由于获得电子的方法不同，伦琴管可以分为两种基本的式样：电子式伦琴管和离子式伦琴管。图 165 简略地表示电子式的伦琴管。将两个电极  $K$  和  $A$  焊入玻璃泡内，抽出泡内的空气达压强为  $10^{-6} \sim 10^{-8}$  毫米汞柱高。电极  $K$  是阴极，作为电子源，从阴极射出的电子轰击第二个电极  $A$ ——辐射伦琴射线的对阴极。电子式伦琴管的阴极是一根钨丝，通电流把它烧得炽热，由于热电子发射现象，钨丝就发射出电子。与阴极对面的对阴极，或者是用重金属——钨、钼、铂制成的，或者是用较轻的金属——铬、铁、铜等制成的，这全要看伦琴管的用途而定。在阴极和对阴极之间加上高电压  $U$ ，使得向对阴极运

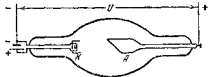


图 165. 电子式伦琴管

动的电子加速。调节此电压，可以改变轰击对阴极的电子的能量。

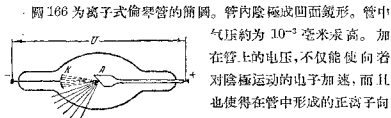


图 166. 离子式偏振管

气压约为  $10^{-3}$  毫米汞高。加在管上的电压，不仅能使向着对阴极运动的电子加速，而且也使得在管中形成的正离子向着阴极运动。阴极在正离子撞击下放出电子，这些电子从阴极表面垂直飞出，并聚焦在对阴极表面的一个小区域上。

射到对阴极的电子的能量，只有很少的一部分（约 1~2% 或更少些）转变为偏振辐射的能量。管的有效作用系数近似地正比于加在管上的电压和制成对阴极的元素的原子序数。

偏振射线能够通过对可见光不透明的物体，这是最能表征偏振射线的性质的。偏振射线能对照相底片发生作用，能激发某些物体的荧光，并能使空气电离。

波长不同的偏振射线它的贯穿本领也不相同。波长愈短，贯穿本领愈大。贯穿本领较大的射线称为硬偏振射线，贯穿本领较小的射线称为软偏振射线。硬偏振射线和软偏振射线之间并没有明显的界限，用这两个术语来评定偏振射线是相对的。

偏振射线的波长（或贯穿本领）与射到对阴极的电子的能量有多少分数转变为与偏振辐射的能量有关。如果加在管上的电势差等于  $U$  伏特，那么，电子撞击对阴极时，就具有能量  $e\frac{U}{300}$ ，<sup>①</sup> 但只有一小部分电子立刻将它们的能量转变为偏振辐射的能量。

因为辐射出来的量子的能量等于电子的能量  $e\frac{U(\text{伏特})}{800} = h\nu$ ，所以，这些电子满足关系式

<sup>①</sup> 若要把以伏特表示的电势差转换为 CGSE 单位，就要除以 300。

$$\hbar\nu = e \frac{U}{300}; \quad (22-1)$$

从这个式子出发，以  $\frac{c}{\lambda}$  替换  $\nu$ ，我们就得到联系电势差与伦琴射线谱中的最短波长的关系式，

$$\begin{aligned} \lambda_{\min} &= \frac{\hbar}{e} \frac{c \cdot 300}{U} = \frac{6.62 \times 10^{-27}}{4.8 \times 10^{-10}} \frac{3 \times 10^{10} \times 300}{U} \text{ 厘米} = \\ &= \frac{12430}{U} \text{ 埃。} \end{aligned} \quad (22-2)$$

其余的电子，由于连续地与对阴极的原子碰撞而消耗能量。这些能量转变为分子的动能（变为热）或转变为频率较小（亦即波长较长）的辐射的量子。这样一来，用上述公式决定的波长就是伦琴光谱中短波的边界。以不同的电压加于伦琴管时，从钨制对阴极射出的“白色的”伦琴辐射的强度分布曲线如图 167 所示。纵坐标表示辐射强度，采用任意的（Условный）单位。

对伦琴射线而言，各种物体的透明性与这些物体的密度有关，并且以该物体使入射线的强度减弱至一半的厚度来表征它的透明性。各种物体对不同波长的伦琴射线的“半减弱层”的厚度如下表所示：

从表中看出，各种物质的透明性随波长的增大而减低。波长为几十埃的伦琴射线，几乎全部被薄层的稀薄空气所吸收。因此，长波的辐射的研究遇到很大的困难；所以在技术上不应用它。技术上和医疗上应用的伦琴射线的波长的数量级约为一埃或更短些，利用铅屏可以防止伦琴射线穿过。

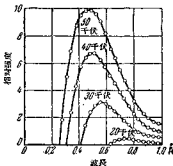


图 167. “白色的”伦琴射线  
管中的强度分布

波長以 $\text{\AA}$ 为單位	“半減層”的厚度(以毫米为單位)				
	標準狀況下的空氣	水	鋁	銅	鉻
0.1	—	43	16	2.3	0.18
0.7	4100	4.6	0.5	0.016	0.0044
2.5	140	0.14	0.013	0.004	
10.0	8.1	0.003	0.005		

倫琴射線的波長的測定是以对这种射線的繞射的研究为基础的。因为倫琴射線的波長和原子的大小为同数量級，因此，如果要利用普通的光柵来测定倫琴射線的波長，那么，只有在倫琴射線射到光柵时，与光柵平面成很小的角度的情况下才可能实现。可以用晶体作为倫琴射線的繞射光柵，因为晶体中的原子或离子（如果是离子晶体的話）在整个晶体内都是以一定的次序严格地重复地排列着。

例如，在岩鹽的晶体中，鈉离子和氯离子互相交替地排列成行，如圖 168 所示。圖上黑点和白圈分别代表鈉离子和氯离子。

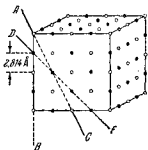


圖 168. 岩鹽晶体中鈉离子与氯离子的排列

立方体的侧面相鄰的兩列間的距离等于  $2.814\text{\AA}$ 。在其他方向上，如  $AC$  或  $DF$  方向上，离子也排成有規則的行列。离子的排列相同的行列所在的平面形成二維點陣，这些彼此距离相等而互相平行的層的集合就形成空間點陣。

如果以單色的射線射到晶体上，那么，这些射線就要受到离子的散射，在某些方向上，散射线干涉的結果互相加强。如果在光程中放置一塊照相底片或熒光板，就可以發現这种現象，在照相底片或熒光板上可以看出光斑，这是射線作用的結果。光斑的分布与倫琴射

线的波长及晶体中离子的排列有关，而且还与入射线的方向和晶体的散射平面所成的角度有关，亦即与晶体对入射线束的方向的取向有关。

我們簡略地研究一下偏振射线在晶体中的繞射現象的理論。

假定平行的偏振射线束  $A, B, C$  以某一角度  $\varphi$  射到晶体面上（圖 169）。这些射线一部分被第一列离子所“反射”，一部分通过第一列后，又被第二列离子所“反射”，另一部分通过前二列后再被第三列离子所“反射”……等等。在与圆面平行的平面内，也有同样的現象。这些射线反射以后，还是平行地进行，

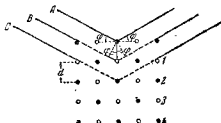


圖 169. 推导烏利夫-布喇格式用圖

反射线与晶体面也成同样的角度  $\varphi$ 。从圖 169 可以看出，从相邻两列的离子反射的射线之間，例如射线  $A$  与  $B$  或  $B$  与  $C$  之間，程差皆为  $2d \sin \varphi$ 。反射线的强度最大处是与程差为半波長的偶数倍的角度  $\varphi$  相对应的，或者說是与程差为波長的整数倍的角度相对应的，即

$$2d \sin \varphi = n\lambda. \quad (22-3)$$

公式 (22-3) 首先由俄国学者 I. B. 烏利夫推导出来，1913 年英国的布喇格与他彼此独立地推导出同样的公式，因此公式 (22-3) 称为烏利夫-布喇格公式。这个公式可以用来解释被晶体反射的偏振射线所形成的繞射圖样，或是通过晶体并被晶体散射的偏振射线所形成的繞射圖样。利用偏振射线，对它们形成的繞射圖样加以分析，如果知道所用射线的波長，就能够确定晶体的結構，反之，如果知道晶体的結構，就能够确定射线的波長。可以应用各种方法来进行研究，而我們只能夠簡略地研究其中的兩种方法：劳厄法和布喇格法。

圖 170 簡略地表示用勞厄法進行研究的裝置，在這個方法中，

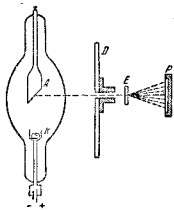


圖 170. 用勞厄法觀察倫琴射線的繞射的裝置簡圖

應用“白色的”倫琴射線。 $A$  和  $K$  是倫琴管的陽極和陰極， $D$  是屏，它使倫琴射線成一細束， $E$  是被研究的晶体， $P$  是照相底片。圖 171 表示倫琴射線束通過岩鹽晶片時獲得的照片，這束倫琴射線與晶体的某一根對稱軸平行。因此，圖上看到的所有的光點，對中心光斑來說，都是對稱分布的，中心光斑是沒有受到散射就通過晶体的倫琴射線形成的。在照片上中心光斑的周圍，得到一些光點，

這些光點所在之處，射線的波長及晶体對射線的散射角都滿足方程(22-8)。如果入射線與晶体軸的方向成一角度，那麼，照片上的光點就是與前述情況波長不同的射線形成的，而且這些光點的分布是不對稱的。勞厄法主要是用來確定晶体的對稱軸。

布利格法用於研究標識倫琴輻射。從輻射“白色的”倫琴射線的倫琴管也可以得到標識倫琴輻射。但是這時必須在倫琴管上加上較高的電壓。作為例子，在圖 172 上表示出了具有鉗制對陰極的倫琴管，在加以 35000 伏特的電壓時所獲得的倫琴射線譜。橫軸表示波長，以  $\text{\AA}$  為單位。縱軸表示相應於這些波長的射線的相對強度。在連續光譜的背景上，看到兩個尖峰，表示在這個區域內，有著一定波長的鉗的標識射線譜，這兩個波長可以由圖上的兩個尖峰的橫坐標來決定。

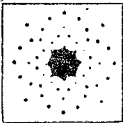


圖 171. 從岩鹽晶片獲得的倫琴射線照片

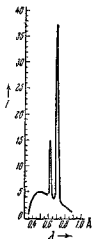


圖 172. 用布喇格法获得的偷琴射线譜

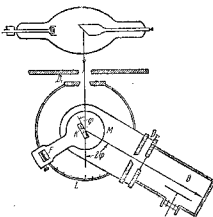


圖 173. 布喇格研究晶体  
結構的装置簡圖

圖 173 簡略地表示用布喇格法研究晶体所用的裝置。射線从偷琴管通过屏  $D_1$ , 再射到晶体  $K$  的表面。晶体裝置在小平台  $M$  上, 它可以繞着垂直軸轉動。平台的位置由分度盤  $L$  上的指標  $F$  決定。與晶体面成  $\varphi$  角的入射線被晶体以同樣的角度反射, 因而在反射時, 射線的方向改變了  $2\varphi$  角。反射後, 射線通過狹縫  $D_2$ , 再進入電離室  $B$ , 並使氣體電離而形成離子。單位時間內在電離室中形成的離子數與射線的強度有關, 而通過電離室的電流強度又與離子數有關。因此, 根據這個電流強度, 就可以判斷電離室中被晶体散射的射線的強度。因為電離室可以繞着放置晶体的平台的軸線轉動, 所以將電離室放在幾個不同的位置, 就可以研究被晶体散射在不同方向上的射線的強度, 然後根據已知的標識射線的波長來決定晶体的結構。滿足方程式(22-3)的角度入射的標識射線, 被晶体所反射, 它的強度與“白色的”偷琴射線有顯著的區別, 這種“白色的”偷琴射線是永遠伴隨着標識射線存在的。

在某些裝置中, 用照相底片代替電離室, 那麼, “白色的”偷琴

射线就在底片上形成一片微暗的背景，而在背景上可以看到标識射线形成的黑暗条纹。测量底片上各处的黑暗程度，就可以决定在不同方向上散射的射线的强度。

1913年，英国学者莫塞莱发现，不同元素的标識射线谱彼此非常相似。他确定：相应于光谱中相似谱线的振动频率的平方根与元素在J. H. 門捷列夫周期表中的原子序数成线性关系。频率与元素的序数间的这种联系用下式表示：

$$\sqrt{\nu} = a(Z - b), \quad (22-4)$$

式中  $a$  和  $b$  都是数字的系数，而  $Z$  是元素的原子序数。

图 174 表示在 J. H. 門捷列夫周期表中从钙 ( $Z=20$ ) 依次至铜 ( $Z=29$ ) 等元素的标識伦琴射线谱的相似部分。横轴表示波长，以埃为单位。

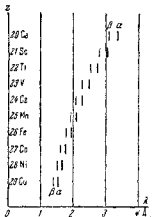


图 174. 原子序数从 20 至 29 的元素的伦琴射线谱的相似部分

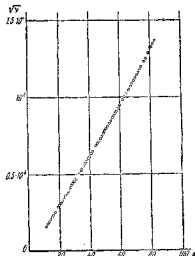


图 175. 莫塞莱公式的图解

图 175 表示由莫塞莱公式 (22-4) 决定的关系图，这图是对图 174 所示的伦琴谱中的某一条谱线而言的。以元素的序数为横轴，频率的平方根为纵轴。

可以利用公式(21-10)来计算辐射的量子的能量,因而也就能够计算与标识光谱的一些谱线相对应的频率,计算时要把相应于终能级和始能级的量子数  $k$  和  $n$  代入(21-10)中,并且以核电荷的“有效的”值代替核电荷  $q$ ,这个有效值可以根据下述的见解来确定。核电荷等于元素的原子序数  $Z$  与电子电荷  $e$  的乘积。从较远的壳层向较近的壳层过渡的电子,不仅受到带正电的核的引力作用,而且还受到内层电子的排斥力的作用,内层电子是指比电子开始过渡的壳层更为内层的电子。这些电子把核屏蔽了,因此,核的有效电荷就不是  $q=Ze$ ,而是  $q=(Z-b)e$  了。系数  $b$  称为屏蔽常数。不同线系的谱线,屏蔽常数也不相同。 $K$  线系的  $b=1$ ,因为在  $K$  层中只剩下一个电子,而在原子电离前, $K$  层中有两个电子。如果把在  $L$  层中的电子从原子内轰击出来,那么,应该有九个电子屏蔽着核:七个在  $L$  层,两个在  $K$  层。然而,对于从  $M$  层向  $L$  层过渡的电子来说,屏蔽常数却小于九,因为这九个电子是分布在空间,而不是集中在原子的中心。计算指出,这个值等于 7.4。对于从更远的壳层过渡的电子来说,屏蔽常数是其他的数值。

根据前述的见解,就能够从公式(21-10)得到计算不同元素的不同谱系的标识辐射线的频率的平方根的公式:

$$\sqrt{\nu} = \sqrt{\frac{2\pi^2 me^2}{\hbar^3} \left( \frac{1}{k^2} - \frac{1}{n^2} \right)} (Z-b) = \\ = \sqrt{Rc \left( \frac{1}{k^2} - \frac{1}{n^2} \right)} (Z-b)。 \quad (22-5)$$

所得到的公式就是莫塞莱公式(22-4),其中常数

$$a = \sqrt{Rc \left( \frac{1}{k^2} - \frac{1}{n^2} \right)}$$

前面所示的图 174 表示不同元素的  $K$  线系的两条谱线的光谱区,这两条谱线相应于电子从  $L$  层和  $M$  层过渡到  $K$  层时所辐射的标识射线。图 175 表示这两条谱线中的第一条谱线的  $\sqrt{\nu}$  与  $Z$  的关系图。

倫琴射線在技术上广泛地应用于結構分析及鑄件的“透視”，能借以發現鑄件中的各种缺陷：例如有气泡、裂縫等等。利用很硬的倫琴射線，可以穿透厚达 20 厘米的鋼鑄件。

倫琴射線在医学上也得到巨大的应用：用它們来透視——例如利用倫琴射線可以發現骨头的裂痕——以及用它們来治疗恶性肿瘤。

### § 23. 能量交换的基本过程

#### A. 用电子撞击来激發原子

当原子或分子从相应于能量較大的激發状态过渡到另一个相应于能級較低的激發状态或不激發状态时，就放出光量子。在 § 21 已經闡明，这个过程是由于光学电子从某一个轨道过渡到相应于能級較低的另一个轨道而实现的。是什么过程引起光学电子过渡到較高的能級呢？是什么过程使原子或分子轉变为激發状态呢？深入地研究原子、电子和光量子之間的能量的交換就能够回答这个问题。

§ 21 中談到的原子理論建立之后，不久，弗蘭克和赫茲以及与他們毫不相关的俄国学者巴甫洛夫都分別地完成了如下的实验。气体的原子被具有一定动能的电子所轟击，改变使电子加速的电場的电势差就能够调节这些电子的动能。讓这些电子飞入盛着待研究的气体的容器內。在飞入的电子的能量  $W = \frac{mv^2}{2}$  仍旧小于气体原子中的光学电子处在第二条轨道与第一条轨道时的能量差以前，它們与气体原子都是作彈性碰撞，因而气体中看不出任何特別的現象。我們还记得，在不激發的原子中，光学电子处在第一条轨道上，亦即处在相应于最低能級  $W_1$  的轨道上。电子处在第二条轨道是与較大的能量  $W_2$  相对应的，同时，原子也被激發了。如果光学电子处在第三条轨道，那么，原子的能量还要大些，其余类推。当飞入的电子的能量等于或大于  $W_2 - W_1$ ，而小于  $W_3 - W_1$

时，亦即当  $W_2 - W_1 \leq W < W_3 - W_1$  时，气体就辐射出光来，其光谱中只有一条谱线，就是与气体原子中的光学电子从第二条轨道过渡到第一条轨道时相对应的谱线。在这种情况下，轰击气体的电子受到非弹性碰撞，因而消耗能量于激发原子，使原子中的光学电子从第一条轨道迁移到第二条轨道。当原子中的光学电子再回到第一条轨道时，这些能量又被原子以光量子的形式辐射出来，这个光量子与观察到的光谱线相对应。如果轰击气体的电子的能量满足  $W_3 - W_1 \leq W < W_4 - W_1$  的条件，那么，它们一面受到非弹性碰撞，一面使原子激发，使原子中的光学电子从第一条轨道迁移到第三条轨道。在这种情况下，光谱中可以看到三条谱线，就是：相应于光学电子从第三条轨道过渡到第一条轨道的谱线，从第三条轨道过渡到第二条轨道的谱线以及从第二条轨道过渡到第一条轨道的谱线。继续增大轰击气体的电子的能量，在光谱中就可以看到愈来愈多的谱线，当电子的能量不小于电离的能量  $W_i$  时，整个光谱都出现了。

根据能量守恒定律，原子所辐射的量子的能量应该等于消耗于激发原子的能量或者等于轰击的电子在非弹性碰撞时给予原子的能量，其大小等于电子电荷  $e$  与电势差  $\frac{U}{300}$  的乘积，这个电势差就是轰击的电子在非弹性碰撞前飞过的电势差，即有：

$$\hbar\nu = e \cdot \frac{U}{300} \quad (23-1)$$

根据公式(22-2)（这一公式也适用于可见光线），当电子对气体原子作非弹性碰撞时，观察到的最短的波长是

$$\lambda_{\min} = \frac{12430}{U} \text{ Å} \quad (23-2)$$

公式(23-2)中的量  $U$  称为中肯电势。

B. H. 巴甫洛夫用来测定水银中肯电势的装置的基本部分和含有水银蒸气的双栅极电子管相类似。在阴极和靠近阴极的第一

栅极之間加上电压  $U_1$ , 用来加速阴極放出的电子。在第二栅极与屏极  $A$  (与电子管的陽極相似) 之間加上电压  $U_2$ , 这个电压使通过第二栅极的电子减速, 因此, 只有一部分电子射到屏极  $A$  上, 在电路中形成电流。两个栅极都接地, 因此它们之間沒有电場。B. И. 巴甫洛夫使电压  $U_1$  逐渐增加并用灵敏电流計測量屏极  $A$  的电路中的电流。屏极电流逐渐增大。但当穿过第一栅极的电子为某一些特定的速度时, 由于它们以非弹性碰撞来激發水銀原子而消耗了能量, 因而电流减小。根据这时的电压  $U_1$  的值以及测得的电流的减小, 不仅可以确定中肯电势, 而且还能对用来激發原子的电子与原子碰撞的相对几率作出某些結論。

B. И. 巴甫洛夫在实验中發現, 中肯电势除了 4.9 伏特和 6.7 伏特 (与波長为  $2537 \text{ \AA}$  及  $1850 \text{ \AA}$  的兩条譜綫相对应的) 以外, 还有这两个电势的复合电势:  $2 \times 4.9$  伏特,  $2 \times 6.7$  伏特,  $4.9 + 6.7$  伏特等等。由此得出結論: 氖气气体的电子, 当它的能量还没有消耗完时, 可以連續地激發好几个原子。

### B. 燐光和某些形式的微光

用光量子轰击气体的原子, 可以使气体发光。換句話說, 可以用光照射来使气体发光。某些固体和液体在光的照射下, 也可以发光。如果照射停止以后, 所激發的光立刻消失, 那么, 这种发光称为螢光。如果照射停止以后, 所激發的光仍旧保持一段时间, 那么, 它就称为磷光。在气体只能观察到熐光。

如果在光的照射下, 气体所發射的光之中, 只有与引起发光的照射光相同的譜綫, 那么, 气体所發射的这种辐射, 称为共振辐射。

研究在單色光照射下, 获得的熐光現象指出, 熐光的波長永远大于激發熐光的光的波長。这就是斯托克斯定律。它的原因是很清楚的——显然不能够依靠能量較小的量子来获得能量較大的量子。然而, 在某些情况下, 已經發現与斯托克斯定律不符合的情

形。这种不符合現在已經得到完滿的解釋，但我們不能來討論。

通常任何气体的熒光只有在相應于这种气体第一譜綫系的譜綫的光照射下才能觀察到，也就是在电子过渡到第一条轨道时获得的譜綫照射下才能觀察到，第一条轨道就是相應于原子未受激态的轨道。在氬光譜中，这些譜綫属于紫外綫系。其他譜綫系不能激發熒光，因为在未受激的原子内，光学电子只处在正常轨道上。光被原子吸收（使原子变为激發状态）只能是一些确定的分量——与电子处在任一个較高的轨道和正常轨道（未受激原子的第一条轨道）的能量差相对应的那些量子。因此，用鈦蒸汽發出的光来激發水銀蒸汽的熒光似乎是不可能的，反过来也似乎不可能。然而，鈦蒸汽在水銀灯的照射下，仍然可以觀察到它的熒光。把水銀蒸汽掺入鈦蒸汽中是这个現象的必要条件。

圖 176 所示的裝置，可以用來觀察上述的現象。鈦和水銀分別裝在容器 A 与 B 内。把这两个容器放在電爐內。用管把容器 A 和 B 与石英的容器 C 聯通起來，C 也放在電爐內。把裝鈦的容器加热到  $750^{\circ}$ ，而裝水銀的容器加热到  $100^{\circ}$  时，鈦和水銀的蒸汽就沿着管子进入容器 C 內相混合。从水銀電弧 D 获得的波長为  $\lambda = 2587 \text{ \AA}$  的單色紫外綫，經過石英透鏡 L 而射到容器 C 时，蒸汽就發生熒光。在熒光的光譜中，觀察到波長  $\lambda = 2587 \text{ \AA}$  的水銀譜綫，亦即水銀的共振輻射的譜綫，除此以外，还觀察到一些鈦的譜綫，而其中有一條譜綫的波長比激發熒光的水銀譜綫的波長还要短些。这条譜綫在容器 C 加热到超过  $800^{\circ}$  时就可以觀察到。如果容器 C 內沒有水銀蒸汽，那么，熒光光譜中鈦的譜綫也就消失了。因此，在这种情况下，水銀蒸汽的存在是鈦發生熒光的必要条件，这个現象称为敏化熒光。

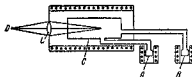


圖 176. 觀察敏化熒光的裝置簡圖

敏化熒光的解釋如下：容器  $C$  內的水銀原子，从它所吸收的水銀輻射的量子處獲得激發的能量。這能量相應於激發電勢（等於 4.9 伏特）的能量。如果水銀原子和鈦原子碰撞時，還來不及以其振幅的方式消耗激發的能量的話，那麼，水銀原子就把能量傳給鈦原子。因為激發鈦原子所需的能量為另一個數值，譬如說為相應於激發電勢為 5.5 伏特的能量，因此，不足的 0.6 伏特就必須依靠消耗分子的熱運動能來獲得。如果輻射的鈦譜線的激發電勢較小，譬如說是 4.6 伏特，那麼，與其差  $4.9 - 4.6 = 0.3$  伏特相對應的能量就轉變為原子的熱運動能。

在其他元素的蒸汽中，例如和水銀蒸汽混在一起的銅和錫的蒸汽中，也觀察到類似的現象。激起敏化熒光的非彈性碰撞稱為第二類非彈性碰撞。

利用碰撞而把受激原子的激發能量傳給未受激原子就是第二類碰撞的特徵。

光致電離現象，亦即用光量子使氣體電離的現象，對於解釋原子和分子的結構有著巨大的意義。許多學者（其中也有蘇聯學者）研究過這個現象。A. H. 捷列寧院士和他的同事們的工作對這個現象的機構以及它所遵從的規律的闡明起了相當大的作用。特別是 A. H. 捷列寧用某些金屬的鹵化物的蒸汽的各種弧光源所發出的光來照射，這時，不僅觀察到這種鹽類的分子的電離，而且由於原子再次的電离，還觀察到它們的離解（光致離解）。在離子複合時，亦即在正離子和負離子（在某些情況下是正離子和電子）合併在一起時，所觀察到的輻射的連續光譜中，有一個不大的區域是與線光譜的短波邊界相連接。這個區域的存在解釋如下：電子由於熱運動具有不同的速度，在複合時，可能輻射出具有附加了電子動能的激發能量。在光譜中出現頻率比相應於電離電勢的頻率大的輻射就說明了這一點。

在液體和固體中，通常熒光總伴隨着燐光。這兩種現象統稱

为光致微光。C. H. 瓦維洛夫已經把各种形式的微光加以精确地分类。

微光的形式决定于停止激發后發光的久暫和衰減的規律。熒光服从規律

$$I = I_0 e^{-\frac{t}{\tau}}, \quad (23-3)$$

式中  $I$  是  $t$  时刻發光的强度,  $I_0$  是起始时刻的發光强度, 而  $\tau$  是發光的平均寿命, 也就是光强减弱为  $\frac{1}{e} = \frac{1}{2.718}$  的時間間隔。經过确定, 熒光的  $\tau$  值是很短暂的, 其数量級为  $10^{-8}$  秒, 但在某些情況中,  $\tau$  值可以达到  $10^{-3}$  秒。熒光服从規律

$$I = I_1 t^{-\alpha}, \quad (23-4)$$

式中  $I_1$  是激發后 1 秒鐘时的發光强度,  $\alpha$  是表征熒光物質的常数。这个常数的值从 1.0 到 1.5。不同的熒光体(即能發生熒光的物質)的熒光的平均寿命有很大的区别:从几分之一秒到好几小时。

熒光和熒光的機構簡略地归結如下。熒光体是由許多小塊的晶体構成的, 在这些晶体的原子內的光学电子, 不仅处在自己的核的場与电子壳層的場之中, 而且还处在晶体的其他的原子的場之中。因此, 相应于未受激态和受激态的能級, 分裂为大量緊靠着的能級, 这些能級形成能帶。在圖 177 中, 簡略地用一些平行的綫來表示能帶。在原子未受激时, 所有的光学电子都处在能帶  $A$ 。如果原子吸收光量子时, 电子从能帶  $A$  过渡到能帶  $B$ , 那么, 当这个电子再回到能帶  $A$  时, 就輻射出熒光的量子。如果熒光体内混有杂质(激活剂)的原子, 那么就形成一些附加的能級, 圖 177 中的綫  $C$  就表示附加能級之一。电子可以長期駐留的能級, 称为亞稳能級, 虽然它并不是与最小的能值相对应的。能級  $C$  就是亞稳能級, 电子可以从能帶  $B$  过渡到能級  $C$ , 但不能直接从能級  $C$  过渡到能帶  $A$ , 在电子沒有因为消耗热运动能而返回能帶  $B$

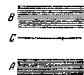


圖 177. 能級圖

以前，它一直是处在能级  $O$ ，从磷光体的吸收光谱与基本物质有关，而发射光谱主要地与加到基本物质内的激活剂（份量很少，从 0.1~1%）有关，就证实了磷光的机构是如上所述那样的。

还在十九世纪初叶，彼得洛夫院士就曾研究过磷光现象，现在，磷光现象仍是许多学者研究的对象。C. H. 瓦维洛夫院士的同事们的一系列工作，在很大程度上促进了对磷光的机构的了解。然而直到现在，磷光现象的理论还没有完成。

磷光体广泛地应用于微光灯，它是一种新的发射光源。近年来，这种光源已开始深入到工业和日常生活的领域中了。它们比白炽灯经济 2.5~3 倍，而且可以辐射出与太阳光谱相近的光线。这种灯是装有水银蒸汽（气压为  $3 \times 10^{-5}$  大气压）和氩气（气压为  $8 \times 10^{-8}$  大气压）的混合物的气体放电管。管的内壁涂上薄层的微光物质（磷光物质），硫化锌或硫化锌-镉是常用的微光物质，它们的激活剂是重金属、铜或银。管内放电时，所消耗的能量有 50% 以上转变为紫外辐射。这种紫外辐射就激起微光物质发光。

微光分析是以光致微光现象为基础的，它能够发现物质中影响微光的微量杂质，而在化学分析中是无法做到的。特别是在探测石油时常应用到微光分析。近年来，微光分析已经在许多技术部门中得到了应用。

1934 年，苏联学者 N. A. 齐林柯夫在 C. H. 瓦维洛夫的领导下发现了微光的新形式，这种微光称为齐林柯夫光。当电子在媒质中运动的速度大于光在这种媒质中的速度时，就出现齐林柯夫光。在这种情况下，电子赶过了它所建立的场，在场中受到减速而辐射出光来，齐林柯夫光与电子运动的方向成一定的角度传播。这个角度决定于电子的速度与媒质的折射率。

齐林柯夫光提供了巨大的理论的兴趣，而且在核物理中所谓齐林柯夫计数器中已得到了实际的应用。

### B. 光的并合散射

从 § 5 中談过的惠更斯-菲涅耳原理應該得出：在均匀媒質中傳播的平行光束，从旁边不應該看到，因为从次級中心發出的波，在与光束傳播的方向不一致的方向上，都因干涉而互相抵消了。然而，从旁边仍然看到光。这个事實被解釋為：在這種情況中，媒質并不是完全均匀的。例如，在大气中，探照灯的光束在有薄霧時可以很明显地看到。霧的微滴的折射率与空气的折射率不同，因而霧滴周圍的媒質的均匀性遭到破坏。在和原始光束的方向不一致的方向上，次級子波的干涉不能使光線完全抵消，因而就觀察到散射光線。散射光的强度与散射質點的大小有关，空气分子的热运动引起空气偶然的密集（即所謂密度的起伏）也起着散射質點的作用。短波比長波散射得强烈些，而散射質點愈大，散射也愈厉害。特別值得指出的是，可以应用这些結論來說明天空的蔚藍色。直射光線与散射光線的光譜的区别仅在于：光譜的不同区域的相对强度不相同。在散射时，光在短波区比在長波区減弱得少些。

1928年，苏联物理学家蘭德斯贝尔格和曼秩史塔姆以及与他們互不相关的印度物理学家拉曼都發現：在某些晶体和液体的散射光譜中，有一些譜線在直射光譜中是沒有的。这些譜線稱为衛星線（Спутникая линия 或 Сателлитная линия）这种現象稱为光的并合散射，它的特征是：在原始光線和散射光線的光譜中所觀察到的每一条譜線的兩旁，有着若干条衛星線，它們按頻率的标尺对称地分布着。圖 178 簡略地表示散射光譜中譜線的分布。譜線 A, B 与 C 在原始光線的光譜与散射光線的光譜中都可以觀察到，而其余的細譜線只有在散射光的光譜中才能看到。經研究指出，衛星線与基譜線的頻率差（圖 178 上以 a 和 b 来表示）等于散射媒質的分子的振动頻率与轉动頻率。确定这些頻率就能够判断分子中各个原子之間的联系，



圖 178. 光并合散射时的譜線簡圖

分子的結構以及散射晶体中原子的联系。在并合散射发现以前，只能根据红外线的吸收谱来测定振动频率与转动频率，而吸收谱的研究在实验上有很大的困难。

散射光谱中出现衛星綫可以解釋如下。原始光綫的能量为  $h\nu$ ，它与分子發生碰撞，立即被分子所散射而改变飞行的方向。当散射时，在有些情况下，由于分子的振动能量或轉动能量减少，因而散射量子的能量增加；在另一些情况下，散射量子的能量却减少了同样的数量，因而分子就获得这部分能量，但在大多数的情况下，量子受到散射并不改变频率，亦即量子不与分子交換能量。因此，光譜中的衛星綫要比基綫弱得多。在短波方面的衛星綫的亮度随着散射媒質温度的升高而增加，因为在这种情况下，具有振动能量或轉动能量的分子的数目增加了。

在書末的圖 XI 中，上面那張照片是直接由水銀灯光得到的光譜区的照片，下面那張照片是經四氯化碳散射后的水銀的光譜区的照片。

### I. 光电效应

在所謂光电效应的現象中，光量子要与固体和液体的电子發生作用。如果量子把自由电子从导体中拉出，那么，就發生外光电效应。如果光量子与非导体或半导体的束缚电子發生作用，使束缚电子变为自由电子态或半自由电子态，因而增加了物体的导电性，那么，就發生内光电效应。

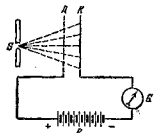


圖 179. 斯托列托夫研究光电效应的实际範圖

莫斯科大学教授 A. F. 斯托列托夫首先对外光电效应进行研究。他的实验装置如圖 179 所示。电池  $B$ ，电流計  $G$ ，锌板  $K$  和铜絲網  $A$  所組成的电路，由铜絲網和锌板之間的空气層聯成開路。在空气天然电离的情况下，电路中的电流是非常小

的。用电弧  $S$  照射锌板  $K$  时，电流就急剧地增加。这种現象只有在锌板帶負电，而且用紫外線來照射时才能觀察到。

進一步的研究指出，用紫外線、可見光線或紅外線照射金屬时，它們也失去电子。每一种金屬都有一个極限的波長：就是用光線照射金屬而看不到光电效应时的最長的波長。

愛因斯坦以光的量子性为基础，把能量守恒定律应用于光电效应，并提出一个方程，确立了引起光电效应的量子的能量，使电子从金屬中逸出所須作的功以及逸出的电子的动能三者之間的联系。这个方程的形式如下：

$$\hbar\nu = A + \frac{mv^2}{2}, \quad (23-5)$$

式中  $A$  是自由电子从金屬中逸出的功；我們在電學課程中研究接觸電勢差以及热电子發射現象时，已經談到过这个量； $m$  是电子的质量； $v$  是电子逸出的最大速度。这里所指的是最大的速度，而电子在飞行的路程中，由于要克服阻力（例如与剩余的气体原子發生碰撞），就可能消耗掉一部分能量。

从愛因斯坦方程 (23-5) 得出：只有当射到金屬表面的光量子的能量不小于逸出功时，才能觀察到光电效应。因此，如果用不同振动频率表征的光線來照射金屬，而且使光線的频率自低頻逐漸地向高頻方面移动，也就是从波長較長的方面向波長較短的方面移动，那么，在某一个频率  $\nu_k$  时，开始觀察到光电效应。这个频率称为光电效应的紅限。显然。在这种情况下，引起光电效应的光量子的能量等于电子从金屬中逸出的功，亦即

$$\hbar\nu_k = A. \quad (23-6)$$

把这个逸出功的值代入方程 (23-5)，并加以整理，就得到非常便于确定普朗克恒量的表式：

$$\hbar = \frac{\frac{mv^2}{2}}{\nu - \nu_k}. \quad (23-7)$$

显然，要确定  $\hbar$ ，就应当测量用不同频率的光照射金属时逸出的电子的能量。利用测得的  $\frac{mv^2}{2}$  和  $\nu$  的值，根据(23-7)式，就可以计算出普朗克恒量。П. И. 茹吉爾斯基院士曾經建議過用这种方法来确定普朗克恒量。

圖 180 是与表式 (23-7) 相对应的圖。横軸上是單色光的頻率，縱軸是在相应的频率的光作用下而从光电層逸出的电子的动能。 $\hbar$  的大小正比于直線  $AB$  对横軸的傾斜角的正切。

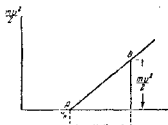


圖 180. 說明 П. И. 茹吉爾斯基  
確定普朗克恒量的方法用圖

从方程 (23-5) 得出：电子的速度与引起光电效应的光的频率有关，而与光的强度无关。

光电子从金属中逸出的数目正比于光的强度，而且相对說來只有很少的一部分逸出，約為入射的光量子数的千分之一。其余的光量子被自由电子所吸收，它們不能把這些电子从金属中拉出。正如实验指出的，逸出的电子数与激發光的频率有关。而且随着频率的增大，逸出的电子数达到某一个最大值，以后又再減小了。能量較大的光量子可以穿入金属較深些，因为它們能够克服較大的阻力。表征光电物质的光电子逸出数有一个最大值存在[就是所謂選擇 (Селективный 或 избирательный) 光电效应]到目前还没有得到澈底的闡明。用具有电矢量方向的偏振光(亦即振动方向接近于金属表面的法綫的偏振光)照射金属时，就可以明显地觀察到选择光电效应。当振动与金属表面平行时，就看不到选择光电效应了。

作为例子，在下表中列出某些金属相应于光电效应的紅限的波長值以及相应于选择光电效应的灵敏度最大时的波長值(以埃为單位)。

光电效应的紅限，在很大的程度上是与掺在光电層內的杂质

	钾	钠	鎶
红限.....	5500	5400	5000
灵敏度的最大值.....	4350	3400	2800

有关的,因为在这种情况下,电子从金属中逸出的功改变了。

有某些类型的光电管的机构是以外光电效应为基础的,它们广泛地应用于各种技术的领域。图 181 简略地表示这类光电管中的一种,而且把它画在闭合电路中。

在玻璃泡的内表面上的某一部分上,涂着一薄层金属  $K$ ,这层金属是对可见光灵敏的光电层,借通过玻璃泡的导线,从电池  $B$  把负极接到光电层上。电池的正极经过电流计  $G$  或替

代器而接到导体  $A$  上,这个导体称为阳极,位于玻璃泡的中心,经泡的脚座有接头引出。当光沿着图上箭号的方向照亮光电管时,电子就从光电层逸出,它们在阳极和光电层之间的电场作用下,飞到阳极上,就有电流沿电路流通。当加于光电管的电压增加时,电流强度也增大,但电压自某一个值开始,从光电层逸出的全部电子都飞到阳极上,因而光电流就达到饱和。

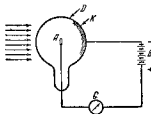


图 181. 外光电效应的光电管的闭合电路简图

和。随着照度的增加,饱和电流也增大。

图 182 表示具有外光电效应的光电管的两条特性曲线,它们表示在一定的照度下,光电流与外加电压的关系。上面那条曲线相应于照度比下面那条曲线大的情况,即  $E_1 > E_2$  的情况。实际上,在同一电压  $U_1$  的情况下,电流都达到了饱和,但照度较大时,饱和电流也较大。当外加反向电压  $U_2$  时,光电管就被“关闭”了,这时不管照度怎样,光电流都变

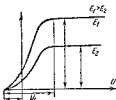


图 182. 光电流  $I$  及外加电压  $U$  及照度  $E$  的关系 (光电管的特性曲线)

为零。

刚才已經提到，內光电效应表现出当非导体和半导体在光的照明下，导电性要增加。这个現象的機構可以用闡明熒光現象时所用的圖 177 来解釋。在理想的絕緣的晶体中，相應于未受激态的帶  $A$  充滿了电子。因此，这个晶体是不导电的。在半导体中，这个帶内还有一些空的能級，用外電場可以使电子过渡到这些能級上，在电子移动时就形成电流。溫度升高或吸收光量子时，电子也可能从帶  $A$  过渡到相應于受激态的帶  $B$ 。这个帶的全部能級都是空的，因此，可以讓大量电子过渡到这些能級上，这就大大地增加了半导体晶体的导电性。杂质的存在同样地促进导电性的增加，掺入的杂质是一些别的原子，它們在禁帶中形成附加的能級，例如圖 177 中的能級  $C$ 。在硒和其他的某些元素中，可以觀察到內光电效应。礦光电池是最普通的一种，它們具有很大的灵敏度，可以达到每流明几个微安培。

有閉塞層的光电池特別引起我們的注意，例如氧化亞銅（一氧化銅）光电池，它的機構如圖 183 所示。讓銅片  $M$  在大气中加热，

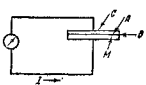


圖 183. 具有內光电效应的光电池线路

受到氧的作用，就复蓋着一层氧化亞銅  $A$  ( $\text{Cu}_2\text{O}$ )，它是非常不良的导体。在氧化亞銅与純銅之間的边界处，形成一层閉塞層  $B$ ，当用光照射光电池而且沒有加电压于光电池的情况下，电子只可能沿氧化亞銅到純銅的方向

通过閉塞層。用一层很薄的半透明金属層  $C$  复蓋在氧化亞銅上（这層金属在空气中应不会氧化例如金就可以）。如果讓金属層 經过电流計再与銅片联接起来，而且用光照射氧化亞銅，那么，光量子就把电子从氧化亞銅中拉出，讓它們通过閉塞層而进入銅片，結果电流計就指示出电路中有电流存在，电流的方向如圖 183 的箭号所示。在这种光电池中，入射的光能直接轉变为电流的能量。这

种光电池(可以作为电流發生器)的光能的利用系数达到2%。

氧化亞銅光电池也可以用作交流整流器。實驗指出，接在交流电路中的氧化亞銅光电池，只讓电流沿一个方向通过，即沿氧化亞銅到純銅的方向通过，也就是說这时电子从銅通过閉塞層进入氧化亞銅。这就是說，用光激發的电流的方向与外加于光电池的电压所产生的电流的方向恰好相反。近年来，氧化亞銅光电池广泛地用作功率較小的裝置中的整流器。

各种类型的光电管应用在各个技术領域中：例如在遙控力学(远距离操縱机器的工作)、电视机、有綫傳真的裝置、海軍工程技術的某些領域中等等。

苏联物理学家 A. Φ. 約飞与 H. I. 都卜朗拉伏夫以光电效应为基础，作出了关于辐射是以許多独立的、定向的脉冲傳播(亦即辐射的量子性)的無可爭辯的實驗證明。

他們的實驗結論如下。在一个有膠木支架的特殊的倫琴管中，用鋅鎳的針尖作为陰極，并用强度較小的紫外綫照射它。由于光电效应，一秒鐘內約有  $10^7$  个电子从尖端飞出，它們被外加電場所加速，而射到作为对陰極的薄鋁箔上，当每个电子射到鋁箔上时，就辐射出倫琴脉冲。鋁箔同时作为电容器的極板，在电容器的電場中懸浮着鋁的微塵。觀察这些微塵指出：微塵的电荷平均每30分鐘改变一次，因为鋁箔辐射出的倫琴脉冲引起光电效应，电子就从微塵中逸出。可以从脉冲發出的那点作一个数量級为  $10^{-6}$  球面度的立体角內看到微塵。如果假設倫琴脉冲是以球面波傳播的，那么，要从鋁的微塵中拉出电子所需要的能量就应当依靠积蓄，一直到积蓄的能量等于逸出功的數值为止。在脉冲很稀少(如同實驗中所做的那样)的情况下，要积蓄这些能量是不可能的。由此得出結論：微塵是在由对陰極辐射出的量子恰好沿着微塵的方向飞行时才失去电子的。

可以認為这个實驗是倫琴射綫与物質互相作用的量子性的有

力的証明。

C. H. 瓦維洛夫观察弱光源的亮度起伏的实验証实了可見光的量子性。起伏就是：一个物理量与它的某种平均值的偶然的偏离。用光源辐射的光脉冲的方向性，也就是辐射的量子性，已經能够解释亮度的起伏。

#### 八、康普頓現象

用單色倫琴射綫照射薄金屬片、炭、石蠟以及某些其他的物体时，除了观察到电子从这些物体逸出以外，还观察到射綫的散射。这时发现散射綫的频率較小，而且频率的减小与散射物质无关，只与射綫散射时所作的角度有关。这个現象，以发现者的名字命名，称为康普頓現象。

利用光的波动理論来解释康普頓現象是不可能的，只有利用量子（光子）的概念才能得到闡明，与其它粒子（如电子、原子、分子等）一样，把光子認為不仅是具有能量，而且还具有动量的粒子，同时还要假設光子可以作彈性碰撞。康普頓現象的本質也是射綫的散射，这种散射是由于光子与散射物质中的自由电子或联系微弱的电子之間的彈性碰撞而产生的。这种現象只有在光子的能量超过电子的逸出功好几千倍的情况下才能观察到。因此，用光学的射綫①照射各种物体时，并不能观察到康普頓現象。

我們現在以比較簡單的形式来研究康普頓現象的理論，同时应用能量守恒定律和动量守恒定律。§ 15 中研究光压現象时导出的公式(15-5)可以用来确定光子的动量。

频率为  $\nu$ ，能量为  $h\nu$  而动量为  $\frac{h\nu}{c}$  的倫琴射綫的量子，成一細束射到圖 184 上的薄片  $M$  的  $O$  点。电子从  $O$  点飞出，譬如說与入射量子  $h\nu$  的方向作  $\varphi$  角飞出。讓飞出的电子的速度为  $v$ 。与电子同时从同一点  $O$  飞出的还有能量为  $h\nu'$  的散射量子，它与

① 光学的射綫是指光学电子激發后所发出的光綫，包括红外綫、可見光和紫外綫——譯者。

入射量子的方向成  $\theta$  角。

由能量守恒定律得出

$$\hbar\nu = \hbar\nu' + \frac{mv^2}{2}。 \quad (23-8)$$

把 (23-8) 变换形式，并在等式两边各乘以  $m$  后，我們得

到：

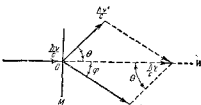


圖 184. 康普頓現象的理論說明

$$m^2 v^2 = 2\hbar\Delta\nu \cdot m, \quad (23-9)$$

式中  $\Delta\nu = \nu - \nu'$  ① 是散射时频率的改变。

由动量守恒定律得出，飞出的电子的动量等于入射量子的动量与散射量子的动量的几何差，亦即

$$\overline{mv} = \frac{\hbar\nu}{c} - \frac{\hbar\nu'}{c}.$$

从圖 184 得出

$$(mv)^2 = \frac{\hbar^2\nu^2}{c^2} + \frac{\hbar^2\nu'^2}{c^2} - \frac{2\hbar^2\nu\nu'}{c^2} \cos\theta. \quad (23-10)$$

把量  $\nu'$  等于  $\nu - \Delta\nu$  代入上式得：

$$m^2 v^2 = \frac{\hbar^2}{c^2} (\nu^2 - 2\nu\Delta\nu + \Delta\nu^2 + \nu^2 - 2\nu^2 \cos\theta + 2\nu\Delta\nu \cos\theta). \quad (23-11)$$

上式右边包含  $\Delta\nu$  的各项可以忽略不計，因为这些项比包含  $\nu^2$  的各项小得多。結果我們得到：

$$m^2 v^2 = \frac{\hbar^2}{c^2} 2\nu^2 (1 - \cos\theta). \quad (23-12)$$

(23-9) 式与 (23-12) 式的左边相等，把这两个式子的右边也相等起来，并以  $2 \sin^2 \frac{\theta}{2}$  替換  $1 - \cos\theta$ ，再变换形式后，就得到确定散射时频率损失的公式：

$$\Delta\nu = \frac{2\hbar\nu^2}{mc^2} \sin^2 \frac{\theta}{2}. \quad (23-13)$$

① 原文为  $\nu_1$ ，系  $\nu'$  之誤——譯者。

倘若在(28-13)式中,以 $\frac{c}{\lambda}$ 代替 $\nu$ , $\frac{c\Delta\lambda}{\lambda^2}$ 代替 $\Delta\nu$ ,就求得康普頓現象的波長改变为:

$$\Delta\lambda = \frac{2h}{mc} \sin^2 \frac{\theta}{2}. \quad (28-14)$$

从(28-14)看出,散射时波長的改变与散射物质的种类无关,同时,也与入射线的波長无关。

(28-14)式已在实验上得到很准确的証实,这就証实了辐射的量子性。

## § 24. 放射性

1896年初,法国物理学家安尼·貝克勒耳發現,鉈及其化合物会不断地放出射線,这些射線可以通过某些对可見光是不透明的物体。这些射線能对照相底片發生作用,能激發某些物体的熒光,并能使空气电离。在这些性質上,它們和1895年末發現的伦琴射線相类似,不同的是这些射線不需要消耗任何能量来激發,显然,不要消耗能量就能产生射線是这个現象引起人們巨大兴趣的主要原因之一。

全世界許多学者立刻致力于寻找那些放出类似的射線的物体,并对这些射線进行研究。法国学者皮尔·居里和他的妻子瑪麗亞·居里·斯克拉柴芙斯卡雅的工作特別富有成果。他們發現兩种放射同样射線的新元素,但射線的强度胜过鉈的射線許多倍。这兩种元素中有一种称为鐳,它的放射性比鉈的放射性大百万倍。他們还發現,在弱磁場作用下,这些射線部分發生偏轉,根据偏轉的情况表明,这部分射線是由帶负电的粒子組成的。

盧瑟福發現,在居里的实验中,不被弱磁場偏轉的那部分射線,在强磁場作用下,又分解为兩部分,一部分射線仍旧保持原来的方向,而另一部分却發生偏轉。从偏轉的方向表明,这些射線是由帶正电的粒子組成的。

这就說明放射性物体放出的射綫流是由三种类型的射綫組成的，它們分別称为  $\alpha$  射綫， $\beta$  射綫和  $\gamma$  射綫。

圖 185 簡略地表明这些射綫流在磁場中进行的情况，磁場的方向从觀察者指向圓面。放射質  $R$  放在鉛塊鑽出的小溝的底部。射綫不能通过厚層的鉛。从小溝發出的射綫流被分解为如前所述的三部分。

对这些射綫的研究指出， $\alpha$  射綫是質量为氳原子核的質量的四倍，所帶正电为电子电荷的兩倍的粒子（即氢原子核）流； $\beta$  射綫是电子流，它們以各种速度飞行着，有时达到光速的 0.99。因此， $\beta$  射綫与陰極射綫的区别仅在于粒子的速度不同。 $\gamma$  射綫是波長很短的电磁波，其波長在几十分之一埃到几千分之一埃的范围内。 $\gamma$  射綫的最軟部分的性質与硬倫琴射綫相同。

可以用各种方法來研究放射質的辐射。

放射性辐射对照相底片發生作用。根据放在样品附近的照相底片的变黑，可以判断样品有放射性存在。

照相底片可以用来計数  $\alpha$  粒子。射到底片上的每个粒子使光敏層的溴化銀分解，因而在底片上留下痕迹（一点）。

放射性辐射能使空气电离。因此，放射性物体出現时，带电的驗电器就要失去电荷。根据电荷减少的速度，可以測定这些物体的放射性。

$\alpha$  粒子激發硫化鋅的熒光。每个粒子，射到塗着硫化鋅的屏的表面时，就产生一点闪光。这样來，就可以數出从放射性物体飞来的粒子数。这些闪光称为閃爍（Сцинтилляция）。改变屏到放射質的距离，就能确定粒子在空气中的徑迹的長度，因为飞行的粒子在途中使許多空气分子电离，在电离过程中要消耗能量，因此就能近似地計算出粒子的能量。

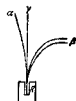


圖 185. 放射性  
辐射被磁場分  
解为三部分

利用圖 186 所示的威耳孙云室，可以測量粒子徑迹的長度，因而就能測定它們的能量。

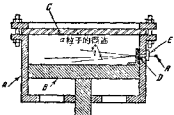


圖 186. 威耳孙云室的剖面圖：  
A—圓柱体，B—活塞，C—玻璃板，  
R—放射質，D—放射質放出的射線  
通入的小縫

云室的內壁与活塞上都塗着一層潤濕的明膠，因此，室中的空氣就被水汽所飽和。迅速地拉下活塞，由於絕熱膨脹而引起冷卻，室中的水汽變為過飽和狀態。如果打開小縫 D(平常是用活動蓋 E 蓋住的)，那麼，在  $\alpha$  粒子與  $\beta$  粒子飛行的路線上，空氣分子受到電離。這些離子可以作為過飽和蒸氣的凝結中心，因此，在云室中，飛入的粒子的徑迹 (След) 就成霧狀條紋 [這種由霧滴形成的線有時稱為徑迹 (Трек) ①]。可以通過玻璃板 C 把它們拍成照片。根據徑迹的形狀可以確定徑迹是由什麼粒子形成的，根據徑迹的長度可以判斷飛入的粒子的能量。

粗而連續的線是  $\alpha$  粒子形成的，而細的、彎曲而斷續的線是  $\beta$  粒子形成的。在書末引入的圖 XII 中，可以看到這兩種粒子的徑迹。在表示  $\alpha$  粒子的徑迹的圖 XIII 中，看到“分支”——徑迹的分叉，這表示一個  $\alpha$  粒子與氮的原子核發生彈性碰撞，因為這些徑迹的粗細都是相同的。

圖 XIII 表示放射針與派生 (Производный) 鈈 ② 放出的  $\alpha$  粒子所形成的徑迹。在照片中有六條長度不同的徑迹。由此可以作出結論：在這些放射質放出的  $\alpha$  粒子流中，有六種  $\alpha$  粒子，它們飛行的能值各不相同。

П. Я. 卡比察院士與 Д. В. 斯科貝爾翠院士在威耳孙云室中應用磁場，這是他們所作的最重要的改進。正如電學中所熟知的，

① След 与 Трек 都譯為徑迹。

② 派生鈈是放射性鈈經放射後轉變而成的一一種者。

带电粒子在方向与其速度垂直的磁场中会沿着圆周运动。圆周的半径决定于粒子的电荷、质量以及速度。根据粒子径迹的照片来测定径迹的曲率半径，因而可以计算这些量中的任何一个量，只要其余的量为已知。

盖革-弥勒计数器是一种较好的计数 $\alpha$ 粒子与 $\beta$ 粒子的仪器，它简略地如图187所示。计数室是一个金属圆筒，它的两个底都是由绝缘体 $E$ 制成的。有导线 $D$ 沿圆筒的轴穿过。在导线与圆筒的器壁之间建立电场。如果计数器用来计数 $\alpha$ 粒子，那么，在板 $E$ 上开个小窗，贴上一薄片云母箔， $\alpha$ 粒子可以从这里通过。如果板 $E$ 够薄的话，那么，对于快速的 $\beta$ 粒子来说，小窗是不需要的，因为它们可以直接通过板 $E$ 。室内的小孔 $B$ 与抽气机连通，利用抽气机可以使室内的气压恰好是带电粒子穿入室中时能够引起离子崩（Лавины ионов）所必需的压强。这些粒子射入室中时，就在室内产生初级的电离。所形成的离子在自由程内受到电场的加速，以致中性分子被碰撞电离，因而在室中形成离子崩。在这种情况下，电池组、电阻 $R$ 、导线 $D$ 、室中电离的气体以及圆筒 $A$ 所构成的电路中就有电流通过。当电路中有电流时，把电阻 $R$ 两端产生的电压引入放大器，再使放大了的电压作用于记录粒子的计数机构上。

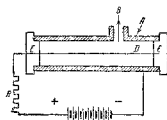


图187. 盖革-弥勒计数器线路图

$\gamma$ 射线可以用研究伦琴射线的方法来进行研究。

对天然放射性元素的研究指出，无论是在实验室所能达到的最高温度和最低温度的情况下，不管压强达到多么高，或是这种元素以什么形式化合，都不会影响放射性辐射的强度与性质。

已经确定，放射性元素的原子的自破衰变是放射性辐射的原因。有一些放射性元素只放射 $\alpha$ 粒子，而另一些元素只放射 $\beta$ 粒

子。在某些情况下，既放射 $\alpha$ 粒子，又放射 $\beta$ 粒子。在大多数情况下，也同时放出 $\gamma$ 射线。由于 $\alpha$ 粒子与 $\beta$ 粒子飞出，一种元素的原子转变为另一种放射性元素的原子，这样就形成放射性元素連續轉變的整个系列。到不久以前还只知道三个放射系：一个是鈾系，其次是銅鈾系，第三个是鈀系。每一系的終結的元素都是鉛的無放射性同位素。最近又發現了第四个放射系——鎔系。这个系开始于人造的超鈾元素錫而結束于鎔的同位素。鎔是这个系中壽命最長的元素。

放射衰变时，在每一段非常短促的时间内，未衰变的原子中有一定分数的原子發生衰变，衰变的分数正比于这段時間間隔，亦即

$$dN = -\lambda N dt, \quad (24-1)$$

式中 $N$ 是該放射性元素的原子数，亦即未衰变的原子数； $dN$ 是在时间 $dt$ 內衰变的原子数，亦即在这段時間內， $N$ 中减少的原子数； $\lambda$ 是衰变恒量，表征該元素衰变的速度。衰变恒量对大多数放射質來說都是很小的分数。

负号表示，負的 $dN$ 与正的 $dt$ 相对应①。

从方程式(24-1)得出

$$\frac{dN}{N} = d(-\lambda t) \quad (24-2)$$

或

$$d \ln N = d \ln e^{-\lambda t}$$

解此方程得

$$N = Ce^{-\lambda t}. \quad (24-3)$$

常数 $C$ 可由下面的条件决定，当 $t=0$ 时，未衰变的原子数为 $N_0$ ，因此得到 $C=N_0$ 。將此值代入(24-3)，就得到放射衰变定律

$$N = N_0 e^{-\lambda t}, \quad (24-4)$$

式中 $N$ 是在 $t$ 时刻的未衰变的原子数， $N_0$ 是 $t=0$ 时的未衰变的原子数。

① 意即：时间增加时( $dt$ 为正)，未衰变的原子数减少( $dN$ 为負)——譯者。

假設一秒鐘內衰變了  $N_1$  個原子，衰變後剩下  $N_0 - N_1$  個未衰變的原子。把  $N = N_0 - N_1$  代入(24-4)，得到：

$$N_0 - N_1 = N_0 e^{-\lambda},$$

因此，

$$e^{-\lambda} = 1 - \frac{N_1}{N_0}.$$
 (24-5)

對上式取對數，并把右邊展為級數，我們得到：

$$-\lambda = \ln\left(1 - \frac{N_1}{N_0}\right) = -\frac{N_1}{N_0} - \frac{1}{2}\left(\frac{N_1}{N_0}\right)^2 - \frac{1}{3}\left(\frac{N_1}{N_0}\right)^3 - \dots$$

對大多數放射質來說， $\frac{N_1}{N_0}$  都是一個很小的量，因此，等式右邊的第二項以及後面的各項都可以忽略不計，我們就得到：

$$\lambda = \frac{N_1}{N_0}.$$
 (24-6)

因此，衰變恒量定義為：一秒鐘內衰變的原子數與衰變前的原子數的比值。對於衰變很快的物質來說，這個公式是不適用的。這時，還應該考慮上述級數的序數較大的各項。

為了估計放射質衰變的速度，有時也利用衰變恒量的倒數，這個量稱為放射質的平均壽命。因此，平均壽命

$$\tau = \frac{1}{\lambda}.$$
 (24-7)

人們也常用半衰期來表征衰變的速度，半衰期就是放射質的原子衰變了一半所需時間。當  $N = \frac{1}{2} N_0$  時，把(24-4)式對時間求解，就可以確定半衰期。因此，半衰期  $T$  決定於方程

$$\frac{1}{2} = e^{-\lambda T}.$$

從這方程的解得出半衰期與衰變恒量的關係如下：

$$T = \frac{\ln 2}{\lambda}.$$
 (24-8)

例如，從實驗確定，一克的鎳在一秒鐘內有  $3.71 \times 10^{10}$  個原

子衰变。氢原子的质量为  $\frac{1}{6.02 \times 10^{23}}$  克。镭的原子量为 226，因此，镭的原子的质量是氢原子的质量的 226 倍。因此，一克镭中的原子数为  $\frac{6.02 \times 10^{23}}{226}$  个。

从(24-6)得出，镭的衰变恒量

$$\lambda = \frac{3.71 \times 10^{10} \times 226}{6.02 \times 10^{23}} = 1.39 \times 10^{-11} \text{ 1/秒}.$$

镭的平均寿命

$$\tau = 7.19 \times 10^{10} \text{ 秒} = 2.28 \times 10^3 \text{ 年}$$

$$\text{半衰期 } T = \frac{0.6931}{1.39 \times 10^{-11}} = 4.98 \times 10^{10} \text{ 秒} \approx 1580 \text{ 年}.$$

放射衰变中的第二条规律称为位移定则。它把发生放射衰变的同位素的整数原子量(不计零头)与衰变后产生的同位素的原子量联系起来。这些整数称为质量数，以后就会看到，质量数决定组成原子核的基本粒子(核子)的数目。根据位移定则，当  $\alpha$  衰变时，质量数减少四个单位，原子序数移前两位。当  $\beta$  衰变时，质量数不变，原子序数移后一位。

位移定则是由  $\alpha$  粒子与  $\beta$  粒子的性质导出的。卢瑟福用实验证明过， $\alpha$  粒子是氦的原子核，其质量数为 4，原子序数为 2，而  $\beta$  粒子是  $\beta$  衰变时从核中飞出的电子。当飞出  $\beta$  粒子时，质量数并不改变，因为电子的质量相对说来是很小的——差不多比最轻的原子(氢原子)的质量小 1840 倍，但原子序数移后了一位，因为电子带一个单位的负电荷。根据电荷守恒定律，这时核得到一个单位的正电荷。

四个放射系的放射性转变的简图如图 188a 与 188b 所示。图中横轴表示元素的原子序数，纵轴表示质量数与原子序数之差。

铂系开始于放射  $\alpha$  粒子的铂 I，它的质量数为 238，原子序数为 92。U I 的半衰期约为  $4.5 \times 10^9$  年。飞出的  $\alpha$  粒子的速度的数量级约为 14000 千米/秒，能量约为  $4 \times 10^6$  尔格。由于放射衰

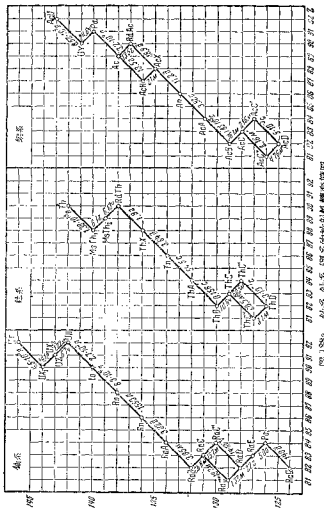


图 188a. 铀系、钍系、锕系的放射性链变简图

变的结果, UI 转变为  $UX_1$ 。它的原子序数为 90, 质量数为 234, 半衰期为 24.1 日。

$UX_1$  放出  $\beta$  粒子而衰变。衰变的原子有 0.8% 变成  $UZ$  原子, 而其余的 99.7% 变为  $UX_2$  原子。这里我们得到双衰变的情况。这时, 衰变的产物具有相同的质量 234, 相同的原子序数 91,

而仅仅是半衰期不同。前者  $T=6.7$  小时，后者  $T=1.22$  分鐘。

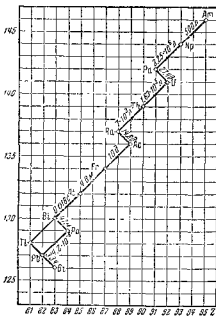


圖 1886. 銀系的放射性轉變簡圖

这两种元素都放出  $\beta$  粒子而轉变为 U III，它的原子序数为 92，質量数为 234，而半衰期为 270,000 年。

U III 放出  $\alpha$  粒子而轉变为銳(Нюшт), 銳經  $\alpha$  衰变又轉变为原子序数 88，質量数 226 的鐸。鐸衰变时放出  $\alpha$  粒子，而轉变为放射性的惰性气体氡，氡又称为鐸射氣(Эманация радиа)。氡的半衰期  $T=8.825$  日。氡轉变为鐸 A，鐸 A 轉变为鐸 B，鐸 B 轉变为鐸 C。鐸 C 放出  $\beta$  粒子时轉变为鐸 C'，而鐸 C 放出  $\alpha$  粒子时則轉变为鐸 C''。这里又發生第二种双衰变，况且衰变的产物不仅半衰期不同，而且原子序数与質量数也不一样。

鐸 C' 以半衰期  $T=1.4 \times 10^{-4}$  秒而衰变，同时放出速度很大 (19950 千米/秒) 的  $\alpha$  粒子。其中很少的一部分 (約占  $23 \times 10^{-5}$ )  $\alpha$  粒子的速度达到 22470 千米/秒。鐸 C'' 放出  $\beta$  粒子，其半衰期  $T=1.82$  分鐘，而与鐸 C' 一样地轉变为鐸 D。

鐸 D 轉变为鐸 E，鐸 E 轉变为鐸 F(鉢)，而鐸 F 轉变为鐸 G，它是沒有放射性的鉛的同位素。鉢放射系就是以这个元素为終結的。

以簡圖 188a 与 1886 表示放射系中連續的轉变。輻射的形式可以用連接小圓圈的直線的斜度来决定，这些小圓圈旁边标着元

素的符号。向右倾斜表示 $\beta$ 衰变，向左倾斜表示 $\alpha$ 衰变。

$\alpha$ 衰变时，飞出的 $\alpha$ 粒子的速度有一定的数值，这些数值可以作为每一种放射性同位素的特征。 $\beta$ 粒子的速度可以有各种可能的值，而以飞出的 $\beta$ 粒子的最大速度作为放射性元素的特征。原子核衰变时，除了从核飞出的电子以外，还可以发现在 $\gamma$ 射线作用下从壳层飞出的电子。这时，有类似于光电效应与康普现象的现象发生。

除了铀系、铀-锕系与钍系中的天然放射性元素之外，质量数为40的钾的同位素，质量数为148的钐的同位素，质量数为87的铷的同位素以及质量数为176的镭的同位素都具有放射性。它们的半衰期分别为 $10^9$ ， $10^{11}$ ， $6 \times 10^{10}$ 与 $7 \times 10^{10}$ 年。

天然放射质在某些科学与技术的领域中得到实际的应用。如果假设含铀矿石中质量数为206的铅的稳定同位素是由于铀的連續放射性转变而形成的，那么，根据铅的含量就可以确定它们的年龄。放射质可以用来制造在黑暗中发光的颜料，用它们塗在飞机上与轮船上的仪器的标度上，钟表的指针和字盘上以及罗盘的指针上。放射质还应用于医学上。 $\gamma$ 射线，也与伦琴射线一样，可以用来发现铸件中的缺陷。

### § 25. 原子核的人为转变与原子核的結構

#### A. 核物理中常用的一些物理量的基本概念与单位

在描写本节所述的现象时，会遇見某些物理量的新概念与特殊的单位。因此，我們首先詳細地說明这些概念的内容，并确定以后所涉及的单位的大小。

在§ 21中，我們已經熟悉原子的核模型，在§ 24中，又知道了天然放射性现象，即自發地从一种元素的原子轉变为另一种元素的原子的现象。因为核电荷决定电子壳层的結構，所以，原子的轉变归根到底是原子核的轉变。由此可見，核电荷是表征化学元

素的性质的基本量。如果核电荷用基元电荷的数目来表示，亦即采用电子的电荷作为单位，那么，核电荷就可以用 A. I. 門捷列夫元素周期系中化学元素的顺序排列的序数来决定。

“原子量”是第二个表征化学元素的量，它以惯用的单位来决定原子的质量，这个单位等于天然氧的原子的平均质量的  $\frac{1}{16}$ ，天然氧是三种同位素的混合物。用这种方法决定的原子的质量组成原子质量的化学的标度。在核物理中，通常采用另一种标度——物理的标度，它采用氧的最轻而又最普遍的同位素的质量的  $\frac{1}{16}$  作为单位。在天然氧中，原子量为 16, 17 及 18 的同位素的比例为 506:0.204:1。因此，按照物理的标度，天然氧的原子质量为  $\frac{506 \times 16 + 0.204 \times 17 + 1 \times 18}{506 + 0.204 + 1} = 16.0044 \text{ AEM}$ <sup>①</sup>，而按照化学的标度，它等于 16.0000 AEM。以克为单位的原子质量等于以惯用单位表示的原子质量除以阿伏伽德罗数，按照物理的标度，阿伏伽德罗数等于  $6.025 \times 10^{23}$ 。原子核的质量比原子的质量小些，所差的等于构成壳层的电子的质量。可以用近代确定离子荷质比的方法从实验上来测定原子的质量准确到六位有效数字。测量的结果表明，所有的原子的质量，若以原子质量的物理标度的惯用单位来表示，就是一些与整数相差百分之几的数目。因此，在许多情况下，并不采用原子质量的准确值，而用与其接近的整数值（不计零头）。如前所述，这些整数称为质量数。

必须再一次地提醒，质量数是原子核的很重要的特征，因为以后我们会看到，质量数决定组成核的基本粒子的数目，亦即决定核子（质子与中子）的数目。

以后我们所遇到的原子核、电子、光子以及其他微观粒子的能量，通常都以电子伏特来量度。我们还记得，1 eV（电子伏特）等于

① AEM 是 Атомная Единица Массы 的缩写，译为原子质量单位。

在电势差为 1 伏特的电场中飞行的电子所获得的能量。因此， $1 \text{ eV} = 4.8022 \times 10^{-10} \times \frac{1}{300} = 1.6018 \times 10^{-12}$  尔格。 $1 \text{ MeV}$  (兆电子伏特)  $= 10^6 \text{ eV} = 1.6018 \times 10^{-6}$  尔格。

在下面所要講到的某些現象中，应当考慮 § 20 中講過的質量与能量之間的关系 (20-13)；在这种情况下，有时用能量的單位來量度質量，有时也用質量的單位來量度能量。根据已知的关系可以得出，从原子質量單位变换到以兆电子伏特表示的能量單位的变换因数等于 931.15 兆电子伏特/AEM。

### E. 原子核的人為轉變

1919 年，盧瑟福用鐳  $\text{O}'$  的  $\alpha$  粒子轰击化学純的氮，这些  $\alpha$  粒子以 19200 千米/秒的速度从鐳  $\text{O}'$  的原子核中飞出，而且具有能量 7.68 兆电子伏特。在标准大气压下，这些粒子在空气中的平均行程等于 6.87 厘米。然而，在离开  $\alpha$  粒子源 28 厘米的硫化鋅的屏上，还可以觀察到闪光（閃爍）。显然，引起閃爍的粒子不是  $\alpha$  粒子。从閃爍的式样以及用磁场使飞行的帶電粒子偏轉的补充实验都得出这样的結論：閃爍是質子引起的，这些質子是  $\alpha$  粒子射入氮时从氮核抛射出来的。这时还有一种粒子形成，就是質量数为 17 的氧的同位素的核。把电量守恒定律以及質量守恒定律应用到这个現象上，就可以得出上述的結論。用这两条定律可以确定核反应方程如下式：



标在化学元素右上角的指数是質量数，而标在化学符号的左下角的是原子序数。因为原子序数决定核电荷，所以，从电量守恒定律應該得出：在这方程兩邊，原子序数的总和應該相等，而从質量守恒定律應該得出，方程兩邊質量数总和也應該相等，因为質量数是参与反应的原子的質量的近似值。

除此以外，正如前面提到过的，質量数决定構成核的基本粒子的数目。这些粒子在核反应时既不会消灭，也不能創造，因而它們

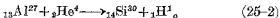
的数目應該保持不变。

当 $\alpha$ 粒子在充满氮的威耳孙云室中的徑迹分支的立体照片作成以后，前述的盧瑟福实验的解释就得到徹底的証实。根据在不同平面內的兩張“分支”的照片，可以决定分支的实际大小以及它們之間的夾角。經測量表明，其中一条分支是質量数为 17 的氧的同位素的核的徑迹，而另一条分支是質子的徑迹，这就是說，核反应方程式(25-1)在实验上得到証实。

在書末的圖 XV 上，引入一張类似的照片。那条粗的、稍微弯曲而向右的徑迹是氧原子形成的，那条細直的而从分支偏向左的徑迹是質子的徑迹。其余的徑迹是 $\alpha$ 粒子的。从圖中看到，不同粒子所形成的徑迹粗細不同。

应当指出，所描述的氮核轉变的反应是很少見的現象，因为在 $10^6$  个 $\alpha$ 粒子中大約只有 20 个射中氮核而使其“分裂”。

以后利用 $\alpha$ 粒子所进行的实验証明，可以人为地使从硼到鉀的所有輕元素（炭与氧除外）的核分裂。在所有的情况中，核反应都可以用类似于(25-1)的方程式来描述。例如，当用 $\alpha$ 粒子轰击鋁时，就得到硅和氫：



在 § 25 E 中，我們会談到一些能使質子获得很大的能量的裝置。質子的質量是 $\alpha$ 粒子的質量的四分之一，而电荷是 $\alpha$ 粒子的电荷的一半。因此，在很多情况下，質子是比 $\alpha$ 粒子更有效的炮彈。由此可見，当質子接近核时，对它作用而使它偏轉的庫侖力是 $\alpha$ 粒子接近核时所受的庫侖力的一半。

在用質子轰击各种核时观察到的許多核反应中，轰击質量数为 7 的锂核所得到的反应最使人感到兴趣。在这个反应中，当質子穿入锂核时，可以看到有兩個 $\alpha$ 粒子形成：



用这种方法得到的 $\alpha$ 粒子，每个都以 8.6 兆电子伏特的能量从锂

核中飞出。但轰击的质子的能量只有 0.125 兆电子伏特。参与这个反应的原子的质量(“静止质量”)的准确值可由下面的数据来确定：

$${}_3^{\text{Li}} + {}_1^{\text{H}} = 7.01822 + 1.00812 = 8.02634 \text{ 原子质量单位}$$

$$2 \times {}_2^{\text{He}} = 2 \times 4.00400 = 8.00800 \text{ 原子质量单位}$$

$$\text{差} = 0.01834 \text{ 原子质量单位}$$

因此，静止质量减小了 0.01834 原子质量单位，有  $981.15 \times 0.01834 = 17.077$  兆电子伏特的能量与这质量相联系。而粒子增加的动能也等于这个值，因为  $2 \times 8.6 - 0.125 = 17.075$  兆电子伏特。

在前述的计算中，我们采用原子的质量的值，而没有采用原子核的质量，因为我们没有引入的壳层中电子的质量的修正，对于等式(25-3)的每一部分来说它们都是相同的。

前面的计算无可怀疑地证实了由(20-9)或(20-13)式决定的质量与能量的关系。在这个反应中，一部分核能转变为所形成的 $\alpha$  粒子的动能。

按(25-3)式的核反应清楚地表明质量与能量的联系对质量平衡方程以及能量平衡方程的形式的影响。

从质量守恒定律导出质量平衡的等式：

$$m_{0, \text{Li}} + m_{0, \text{H}} + \frac{W_1}{c^2} = 2m_{0, \text{He}} + \frac{W_2}{c^2}, \quad (25-4)$$

式中  $m_{0, \text{Li}}$ ,  $m_{0, \text{H}}$  与  $m_{0, \text{He}}$  分别表示锂核, 质子以及 $\alpha$  粒子的“静止质量”； $W_1$  是质子的动能， $W_2$  是两个 $\alpha$  粒子的动能。从(25-4)可以得出结论：当核反应时，物质的“静止质量”的改变与运动的改变有关，亦即与 $\alpha$  粒子的动能的出现有关。

从能量守恒与转换定律导出能量平衡的等式：

$$m_{0, \text{Li}} \cdot c^2 + m_{0, \text{H}} \cdot c^2 + W_1 = 2m_{0, \text{He}} \cdot c^2 + W_2, \quad (25-5)$$

式中  $m_{0, \text{Li}} \cdot c^2$ ,  $m_{0, \text{H}} \cdot c^2$  与  $m_{0, \text{He}} \cdot c^2$  分别表示与锂核, 质子以及 $\alpha$

粒子联系的能量。从(25-5)式得出结论：有一部分能量转变为 $\alpha$ 粒子的动能。

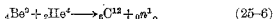
1929年已经发现，用 $\alpha$ 粒子轰击铍以及某些轻元素（硼、氟、锂）时，出现贯穿本领很大的射线，它超过镤C''的最软的 $\gamma$ 射线的贯穿本领好几倍。约里奥-居里夫妇应用电离室重新研究所发现的射线。他们确定：如果在电离室前放置着石蜡或其他含氢物质，电离室中的电流就剧烈地增加。更进一步的研究指出，这种射线从石蜡中打出质子，因此，这种射线不可能是 $\gamma$ 射线，因为光子不可能给予重粒子（质子）足够电离的速度。

查得威克从观察质子的速度的实验出发来确定“铍”射线（当时对这种射线的称呼）的性质，根据计算指出，这些射线是由质量几乎与质子相等而不带电的粒子组成的。这些粒子称为中子。中子的巨大的贯穿本领可以解释如下：原子的电场不能对中子发生作用，当中子直接轰击原子核时，可以将若干动量传给原子，给它足以使电离室内的气体电离的速度。由此可见，电离室内发生的电离，并不是中子引起的，而是那些与中子作弹性碰撞时获得动能的原子核所引起的。

中子的发现促使原子核由质子与中子构成的假设出现。这种假设首先由J. D. 依凡年科提出，从前假设原子核是由质子与电子构成的，但这个假设导致矛盾的结果，就被依凡年科的假设所代替了。原子核的质子——中子结构的假设被大量的实验数据所证实。原子序数为Z，质量数为A的原子核是由Z个质子与A-Z个中子组成的。例如铝<sub>13</sub>Al<sup>27</sup>的原子核是由13个质子与27-13=14个中子组成的，铀<sub>92</sub>U<sup>238</sup>的原子核是由92个质子与238-92=146个中子组成的，而铀的同位素<sub>92</sub>U<sup>235</sup>是由92个质子与235-92=143个中子组成的。

我们引入一些有中子飞出的核反应式作为例子。在这些反应中，用符号 $\nu n^1$ 表示中子。

用 $\alpha$ 粒子轰击质量数为9的铍时，就形成中子以及质量数为12的碳原子核：

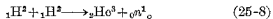


在这个反应中，通常采用氦作为 $\alpha$ 粒子源，把氦充满在装有铍的玻璃管中。

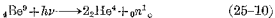
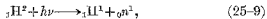
用 $\alpha$ 粒子轰击质量数为7的锂时，得到中子与质量数为10的硼核：



用氢的同位素的核（称为氘核）轰击重氢（氚）时，得到中子与质量数为3的氦的同位素的核：



用钍 $\text{C}''$ 的 $\gamma$ 射线照射某些原子也可以得到中子。我們引用两个这种反应：



在第一个反应中，氘核轉变为质子与中子，在第二个反应中，质量数为9的铍核轉变为两个 $\alpha$ 粒子与一个中子。

用中子轰击不同的原子，可以引起各种各样的核轉变。当中子射入任何原子核时，就形成质量数比原来的核大一个單位的同位素，例如：



然而，在这类反应中，并不是在任何情况下都可以得到受击核的稳定同位素的。最常见的是形成新的不稳定的核，后来新的核又发生轉变。这些現象后面將会談到。

在中子發現后不久，在研究宇宙射線（参考§26）时，又發現一些新粒子。美国物理学家安德遜，把威耳孙云室放在強磁场之中，从云室中得到的照片表明，这是一种质量与电子相等且带正电的

粒子的徑迹。这种粒子称为正电子。在安德遜以前，苏联学者 A. B. 斯科贝尔琴，首先应用威耳孙云室来研究宇宙射线时，在所得的照片上就已經觀察到这样的徑迹。

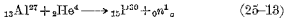
圖 189 表示正电子的徑迹，在途中放置着一塊鉛板。鉛板下面那部分徑迹弯曲得厉害些。这就表明，粒子由上向下飞行，通过鉛板时，消耗了一部分能量。

以后在一些与宇宙射线無关的实验中也發現正电子。看来它們是在具有人为放射性（参考 B 节）的核的一系列衰变时出现的。

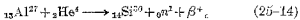
書末的圖 XVI 表示放在磁場內的威耳孙云室中的电子与正电子的徑迹的照片。這張照片是用  $\alpha$  粒子轟击鎂时得到的。从圖中看出，在这种情况下出現的核反应，同时有电子与正电子飞出，它們在磁場中运动时向兩邊偏轉。

### B. 人为放射現象

約里奧-居里用  $\alpha$  粒子轟击鋁时得到中子。在这种情况下，核反应不仅按方程式(25-2)进行，而且也按下式



进行。鋁与  $\alpha$  粒子源都放在有磁場的威耳孙云室中。在某些照片上可以發現正电子的徑迹。約里奧-居里把正电子的出現解釋为：当用  $\alpha$  粒子轟击鋁时，核反应不仅可以按(25-2)式以及按(25-13)式进行，而且还可以按下式：



进行，式中  $\beta^+$  是正电子的符号。

比較(25-2)及(25-14)的反应，可以作出結論：原子核中有一个質子轉变为中子；轉变时作隨着出現正电子。然而在其他的反应中（我們沒有引入这些反应），中子轉变为質子，同時出現電子。

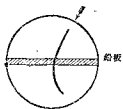


圖 189. 正电子在磁場中通過鉛板運動的徑迹

由此作出結論：可以把質子与中子看作是处在不同状态下的同一种粒子（核子）。在中性状态时，它們是中子，在帶正电的状态时，它們是質子。

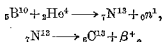
約里奧-居里發現，不仅用 $\alpha$ 粒子轟击鋁时有正电子飞出，而且在停止轟击后若干时间內还有正电子飞出。这个現象解釋为：从鋁获得正电子的核反应是分兩個阶段进行的。第一个阶段相應于方程式(25-13)。在这个反应中，得到質量数为 30 的磷的原子核。磷核是不稳定的，它們按照反应



衰变。

人为放射現象就是这样發現的。人工获得的放射磷的半衰期等于 3 分鐘。

在类似的硼的實驗中，获得質量数为 13 的氮的放射性同位素。“放射性氮”的半衰期約为 10 分鐘。我們引入下面的核反应式，反应时形成氮的同位素，并作放射正电子的衰变：



費密發現另一种形式的人为放射現象，即：放射时放出电子。例如，当用中子轟击鋁时放出 $\alpha$ 粒子，并形成質量数为 24 的鈉的放射性同位素如下式



放射性鈉一面放出电子，一面轉变为放射性鎂，如下式



式中 $\beta^-$ 是电子的符号。放射鈉的半衰期約为 15 小时。

人为放射現象發現以后，又获得了許多种人为放射質，現在，人为放射質的数目已經有好几百种。在大多数的情况下，它們具有电子或正电子的放射性，但也遇到其他类型的放射性，例如所謂 K 俘获。这种类型的放射性的本質是电子壳層的 K 層的电子被

核俘获。在这种情况下，原子序数减少一个单位，而质量数保持不变。

稳定元素的放射性同位素在用“示踪原子”法来研究各种物理过程、化学过程以及生物过程时得到广泛地应用。如果把放射性同位素加入其稳定同位素内，那么，混合物的所有原子在大多数过程中是相同的，它们之间的不同仅仅表现在：放射性原子逐渐地衰变，并发现它放出电子或正电子的辐射以及 $\gamma$ 射线。用计数器来研究这种辐射不仅能够发现放射性原子的出现，而且还能确定它们的数量。“示踪原子”就是以此为基础的。

我们现在举几个应用示踪原子法的实例。

为了确定铅的自扩散系数，亦即铅原子在铅中的扩散系数，我们在一张铅箔上复盖着一薄层铅的放射性同位素(RaD)。经过相当长的时间以后，用化学腐蚀的方法，从薄片上把铅一层层的溶下，并测定所得的溶液的放射性。根据这些数据，可以计算扩散系数。

为了阐明有机化学中某些反应的机构，在研究参加反应的原子时，人们常采用包含这种原子的放射性同位素的分子。在反应结束以后，研究反应的产物的放射性就能确定：究竟“示踪原子”是从所研究的分子走出而进入其他的分子或是变为自由态。

把稳定元素的放射性同位素加到这种元素内，并将其引入生物体内，就可以看到有机体的新陈代谢，并确定这种元素储藏在那里。例如，已经确定，碘在甲状腺内集中了3~4%，当甲状腺患病时，由于患病的性质不同，在甲状腺内储藏的碘的数量就不同了。研究用混有放射磷的磷盐的水溶液来灌溉的植物表明，磷集中在植物的根、花以及芽蘖处。

“示踪原子”在考古学中也得到应用。大气中经常有着微量的质量数为14的碳的放射性同位素，它是由于宇宙射线引起核反应时，在大气中生成的中子轰击氮的核反应所形成的。中子引起的

反应按下列式进行



碳的这种同位素衰变的半衰期为 5700 年，衰变时放出  $\beta$  粒子。氧化后，它变为二氧化碳，与空气中含有碳的稳定同位素的二氧化碳同时参加植物的光合作用而储藏在木质内。比较由不同年代形成的木质所得到的等量的碳的放射性，就能够确定它的年龄。这个方法能确定许多木质埋藏的日期准确到几十年。

对于各种科学与技术领域中的研究来说，“示踪原子”法可能的应用决不仅限于上述的例子。虽然这种方法刚刚开始发展，但它有着广阔的发展前途。

### I. 核的分裂与超铀元素

1939 年，发现核的人为转变的新型式，称为核的分裂。这种现象的本质是：当中子穿入某些重核时，它们就分裂为两个几乎相同的部分。核的“碎片”是一些原子序数在 I. II. 门捷列夫元素周期系的中部的元素的原子核。在用中子轰击铂的实验中，发现轰击结果出现钡原子以及一些其他元素的原子。几年后，用带电粒子和极高能的光子来轰击一些稍轻的核，例如铋核，使它们分裂也成功了。

同一年，苏联学者 I. B. 弗辽洛夫与 K. A. 彼得沙克发现铂核的自发分裂。铂核天然分裂的半衰期的数量级为  $5 \times 10^{15}$  年，也就是说没有外界作用时铂核的分裂是很罕见的现象。

铂核的分裂伴随着释放大量的能量，因为核的“碎片”以极大的速度飞散。除此以外，当核分裂时，还有好几个中子飞出。从这个事实得出结论，当核可以分裂的原子聚集到足够的数量时，若其中一个原子分裂，可以预料到这些核全部都会作链式的分裂。

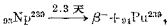
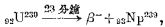
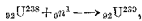
链式分裂是按下列的方式进行的。中子引起第一个核的分裂，这时又放出好几个中子。其中一部分中子射入另一些核内，引起一个或好几个核分裂，依此类推。如果在这个过程中，中子繁殖起

来，亦即受分裂的核的数目不断地增加，那么，就发生链式分裂。

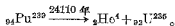
用核的人为转变的各种方法来寻找可以分裂的核。用中子与带电粒子轰击重元素时，得到电荷大于 92 的核，亦即不在 I. II. 門捷列夫周期表内的元素的核，但可以把它列在周期表中 鈾的后面，这些元素称为超鈾元素。到现在已经得到 8 种超鈾元素❶，每种元素都有好几种同位素。所有同位素都是放射性的。这些元素都属于锕族的。在它们的原子的电子壳层的 Q 层中都有两个电子。不同的元素在 P 层中的电子数不同。这些元素的化学符号、名称与原子序数如下表所示：

符 号	名 称	Z	符 号	名 称	Z
Np	镎	93	Bk	锫	97
Pu	钚	94	Cf	锎	98
Am	镅	95	Ath	锿	99
Cm	锔	96	Ot	镄	100

在讨论获得某些超鈾元素的同位素的反应以前，应该指出，在大多数的情况下，反应的进行是有赖于用来轰击的粒子的能量的。例如，当快中子射入质量数为 238 的鈾的最普遍同位素的核时，就发生核的分裂。质量数为 235 的鈾的同位素的核不仅在俘获快中子时发生分裂，而且在俘获慢中子时也发生分裂。这种中子穿入同位素 238 时，就使它转变为同位素 239 的核，由于  $\beta^-$  衰变的结果，它又转变为镎与钚的同位素的核。核反应的连续的进程由下列方程式来决定。在这些方程式中的箭号上面，标示着半衰期的值：

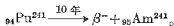


❶ 近年来又发现原子序数为 101 与 102 的两种新元素。



钚的核与铀 235 的核一样，在慢中子作用下也有发生分裂的性质，由于  $\alpha$  衰变的结果，钚核转变为铀 235 的核。

用能量为 40 兆电子伏特的  $\alpha$  粒子轰击铀 238，就有中子飞出，并形成质量数为 241 的钚的同位素，在  $\beta^-$  衰变以后，它又按下列式子转变为镅



用同样的  $\alpha$  粒子轰击前面提到的质量数为 239 的钚的同位素的核时，有三个中子从核中飞出，并形成质量数为 240 的锔的同位素，由于  $\alpha$  衰变的结果，它又转变为钚的一种同位素。

#### A. 原子核的結構及其轉變的機構。核能

許多与原子核的天然轉變及人为轉变有关的現象，都可以用能量守恒定律及核的質子-中子結構來解釋。核內的粒子之間，有特別的互相吸引的核子力作用着，虽然它們的性質到現在還沒有得到完全的闡明。除了核子力以外，質子之間还有服从庫侖定律的静电斥力作用着。

核子在核內的結合能是表征核的一个很重要的量，結合能就是形成核时所放出的能量，或者說是把核完全分解为質子和中子所应消耗的能量。这个量符号与核能相反，而大小与核能相等，核能是由：(1)核子互相吸引的核子力所引起的势能，(2)質子互相排斥的电力所引起的势能以及(3)核子在核內的动能等三种能的代数和决定的。

如果粒子相隔無限远，那么，互相作用的粒子的势能就等于零。如此可見，如果势能是由于粒子的引力所引起的，那么互相靠近的粒子的能量是負的。如果粒子互相排斥，那么互相作用的粒子的势能就是正的。存在于自然界的原子核的能量永远是負的，

因为具有正的能量的核是不可能形成的。核子在核内的结合能与核能的区别仅在于符号的不同，它永远是正的。结合能与质量数的比值，亦即每一个核子占有的结合能，表征核的稳定性。它愈大，核状态愈稳固。不从外界得到能量而进行的所有核转变，只有当这个比值增加时才能实现，亦即只有当核转变时在能量上是有利的情况下才能实现。要引起结合能减小的核反应就应当从外界给予核为此所需的能量。

在星球内部进行的原子核形成的过程中，有能量放出，因此，核的静止质量就小于组成核的质子与中子的静止质量之和。把质量守恒定律、能量守恒定律以及质量与能量联系的定律应用到这个过程中，再根据放出的能量，就能够计算出质量的减少。从(20-9)得到，质量的减少数值上等于放出的能量除以光速的平方。由此可见，粒子在核内的结合能正比于形成核的质子和中子的质量之和与核的质量之间的差值，亦即决定于下式：

$$_z^A\gamma = k [Zm_p + (A-Z)m_n - M_0], \quad (25-16)$$

式中  $_z^A\gamma$  是由  $Z$  个质子与  $A-Z$  个中子组成的核的结合能， $M_0$  是核的质量， $m_p$  是质子的质量， $m_n$  是中子的质量而  $k$  是比例系数，它的数值与质量和能量所采用的单位有关。如果质量用原子质量单位( $AEM$ )来量度(在本节开始时谈过它)，而能量以兆电子伏特( $M\text{eV}$ )为单位，那么  $k = 931.15 M\text{eV}/AEM$ 。

因为在手册中一般只有原子量，而没有核的质量，因此，要计算结合能，用下式来代替(25-16)式是比较便利的。

$$_z^A\gamma = 931.15 \frac{M\text{eV}}{AEM} [Zm_H + (A-Z)m_n - M], \quad (25-17)$$

式中  $m_H$  是氢原子的质量，而  $M$  是原子量。本来应该引入的壳层电子质量的修正，由于它们在方括号中第一项和第三项中的符号相反，因而互相抵消了。

为了计算一个核子所占有的结合能(正如前面说到的，它表征

核的稳定程度),有时利用质量亏损(即原子量与质量数之差)的概念以及这个量和质量数的比值。这个比值称为散集系数或散集率。因此,质量亏损  $\Delta = M - A$ ,而散集系数  $f = \frac{\Delta}{A} = \frac{M}{A} - 1$ 。把这两个量引入(25-17)式中,并加以整理,我们得到核内一个核子的结合能的表达式:

$$W = \frac{z^2 A}{A} = 931.15 \left[ (m_n - 1) - \frac{Z}{A} (m_n - m_H) - f \right]. \quad (25-18)$$

把原子量  $M = 14.00753 AEM$  的氮  $N^{14}$  的  $A$  及  $f$  计算的结果作为例子。取  $m_H = 1.00813 AEM$  而  $m_n = 1.00898 AEM$ , 我们得到: 质量亏损  $\Delta = 0.00758 AEM$ , 散集系数  $f = 0.000538 AEM/\text{核子}$ , 核结合能  $N^{14} = 104.643 MeV$ , 而一个核子的结合能  $W = \frac{N^{14}}{A} = 7.47 MeV$ 。

图 190 表示一个核子的结合能与质量数的关系曲线。这条曲线是比较平坦的,而且并不通过与所有自然界存在的稳定核和放

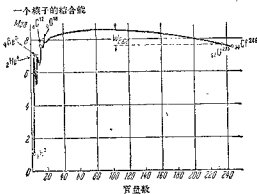


图 190. 核内核子的结合能与质量数的关系图

射性核相对应的各点,在这些核中,有很大一部分核其电荷不同,但具有相同的质量数。这些核称为同量异位素。相应于同一质量数的那些同量异位素的结合能并不一样,也就是说在图 190 上同

一横坐标可以相应地有好几个縱坐标。因此，大規模地繪圖結合能与質量数的关系圖時，得到帶狀條紋來代替圖上所示的曲線。圖中引入的曲線大致是順着帶狀條紋的上邊緣而通过与最稳定且是最普遍的同位素相对应的各点。

我們來把本节与前节描述的實驗事實与圖 190 的曲線作一比較。

核內的核子之間有引力作用，質子之間有电性的斥力。在形成核时，引力比斥力重要，因为前面已經講过，核能是一个負量，而結合能是一个正量。

研究帶電粒子与中子受核的散射就得出結論：核的引力只有在很短距离（与核的大小同数量級）才發生作用。在盧瑟福的 $\alpha$  粒子受氳散射的實驗中，根据散射角不同的 $\alpha$  粒子数可以确定： $\alpha$  粒子受氳核排斥的力到  $3 \times 10^{-13}$  厘米还服从庫侖定律。如果 $\alpha$  粒子的能量相当大，以致它們可以接近氳核到更小的距离，那么，就發現排斥力比庫侖定律得出的數值小了。由此得出結論：核力作用的極限距离的数量級为  $3 \times 10^{-13}$  厘米。这些實驗还确定：核的体积正比于質量数，核的半徑正比于質量数的立方根。这就表明所有的核的密度都相同（数量級为  $10^{14}$  克/厘米<sup>3</sup>），而核力具有饱和性，亦即每个核子只与有限數目的核子（与其直接相鄰的核子）有着核力的作用。

分析圖 190 的曲線也得到同样的結論。与質量数从 40 到 120 的核相对应的那一段曲線几乎是水平的，这就表示这些核的每一个核子的結合能的值近似地相等，而且核的總結合能与質量数成比例。如果这些核子与核內所有核子都發生作用的話，那么結合能就要正比于核內核子數兩兩組合的數目，也就是要正比于  $\frac{A(A-1)}{2}$ 。但实际的情况恰如上面所指出的，中等質量数的核的結合能近似地正比于質量数的一次方。

質子的数目隨質量數的增加而变大，在圖 190 中对应于重核

部分的曲线下降的原因是由于质子的电性斥力的正能量所起的作用的增长。电性力作用的距离远远地超过核的大小，因此电性力使每一对质子互相排斥，也就是说每一个质子与其余的每个质子都有互相作用。由此可见，电性力的作用所引起的正势能近似地正比于核内质子数两两组合的数目，亦即正比于  $\frac{Z(Z-1)}{2}$ 。

随着质量数的增大，质子互相作用的电能所起的作用愈来愈大，这就可以说明核内质子与中子所占的百分比的改变。在轻的稳定核中，中子的数目与质子的数目相等。在较重的核中，中子的数目超过质子的数目，而且核愈重，超过得愈多。例如，钒<sub>23</sub>V<sup>51</sup> 的中子数为质子数的 122%，碘<sub>53</sub>I<sup>127</sup> 为 189%，铋<sub>83</sub>Bi<sup>209</sup> 为 152%，而那些最重的，都是放射性的核，例如<sub>92</sub>U<sup>238</sup> 达到 159%。稳定核中质子与中子的百分比要求它们以该百分比组合时能量最“有利”，也就是要求当核子是这个百分比时，核的结合能尽可能接近其最大值。

在图 190 上对应于最轻的那些核的那一部分曲线陡峻的升高可以解释为：当核内核子数较少时，虽然这时每个核子都与核内所有的核子互相作用，但核力还没有达到饱和。

这部分曲线的几个“尖峰”，对应于质量数为 4 的整数倍的核，这表示形成  $\alpha$  粒子的两个质子与两个中子结合得特别牢靠。可以用质子与中子以及电子都具有固有动量矩（称为自旋）来阐明这件事。电子的自旋在 § 21 中叙述原子的电子壳层的构造时已经提过。自旋是一个矢量，对质子、中子与电子来说都等于  $\frac{1}{2} \frac{\hbar}{2\pi}$ 。由这些粒子形成的系统的自旋只能等于这些粒子的自旋的代数和，因为它们的自旋矢量只能互相平行或反平行地取向。互相平行时，自旋是算术地相加起来，在反平行时是相减。因此，由偶数个核子形成的原子核的自旋等于零或  $\frac{\hbar}{2\pi}$  的整数倍。由奇数个核子组成的核的自旋是“奇数的”，亦即其值只能等于  $\frac{1}{2} \frac{\hbar}{2\pi}$  的奇数倍。用高分辨率的仪器来研究光谱可以确定核的自旋，并测量与自旋

关联的磁矩。在核子形成原子核时，核子的自旋所起的作用如下所述。

核內的核子，也与在原子壳層內的电子一样，是按壳層分布的，这些壳層相應于不同的能級。在原子的电子壳層的  $k$  層內，可以容納的电子不超过兩個。因为它们只能以兩個可能的自旋的取向來區別，而根据泡利原理，在核內的最低能級可以容納四个核子，它们是以电荷或以自旋的取向來互相區別的。这样一來，核內最低的能級被兩個自旋取向相反的質子以及兩個自旋亦反向的中子所填滿，因此， $\alpha$  粒子是很稳定的核。在自然界中还没有碰到过由三个質子和一个中子組成的核或一个質子与三个中子組成的核，因为核子这样組合是極不稳定的。也沒有碰到过質量数为 5 的核。鋰的稳定同位素及氦的放射性同位素的核的質量数都是 6。前者的一个核子的結合能比后者大些。

我們談过了核的“壳層”結構，虽然这种結構的研究并不完备，而仅为了說明核子組成原子核时，核的粒子的自旋所起的作用时才用到它。

計算核的自旋可以看出核由質子与电子組成的假說是無能为力的，这个假說在中子發現以前一直被采用着。按照这个假說，氮核是由 14 个質子与 7 个电子組成的，亦即由 21 个具有半个自旋的粒子組成的。在这种情况下，核的自旋應該等于  $\frac{1}{2} \frac{\hbar}{2\pi}$  的奇数倍，而测量的結果，它却等于  $\frac{\hbar}{2\pi}$ 。这个矛盾称为“氮的灾难”，只有在 Д. Д. 伊凡年科提出核由質子与中子組成的假說以后，才成功地消除了这个灾难。按照伊凡年科的假說，氮核是由 7 个質子与 7 个中子組成的，亦即由 14 个具有半个自旋的粒子組成的。偶數个半个自旋的代数和得到整数个  $\frac{\hbar}{2\pi}$ ，这点已經由研究氮光譜的超精细結構所确定了。

比較由一种核轉变为另一种核时結合能的变化，就能確定任

何放射性轉變的能量方面的問題。例如，對  $\alpha$  衰變來說，方程式 (25-17) 導致下面的關係式：

$$\begin{aligned} {}_{Z}^{A} - {}_{Z-2}^{A-4} &= 931.15 \frac{M\omega}{AEM} [Zm_H + (A-Z)m_n - M_1 \\ &\quad - (Z-2)m_H - (A-4-Z+2)m_n + M_2] \\ &= 981.15 \frac{M\omega}{AEM} [2m_H + 2m_n - (M_1 - M_2)], \end{aligned} \quad (25-19)$$

式中  $M_1$  是核轉變前的原子量，轉變後成為原子量為  $M_2$  的原子的核。

由質量守恒定律以及質量與能量的關係得出：

$$M_1 - M_2 = M_{He} + \frac{W_\alpha}{\frac{931.15}{AEM} M\omega}, \quad (25-20)$$

式中  $M_{He}$  是氦的原子量，它的核就是  $\alpha$  粒子，而  $W_\alpha$  是衰變的能量，亦即飛出的  $\alpha$  粒子的動能與  $\alpha$  粒子飛出的核所獲得的推動（反沖）的動能之和。原子殼層中的電子的質量的修正沒有引入，因為在 (25-19) 與 (25-20) 中，它們都互相抵銷了。以 (25-20) 的質量差代入 (25-19) 得到：

$$\begin{aligned} {}_{Z}^{A} - {}_{Z-2}^{A-4} &= 931.15 \frac{M\omega}{AEM} [2m_H + 2m_n - M_{He}] - W_\alpha = \\ &= {}_{Z}^{A} - W_\alpha, \end{aligned} \quad (25-21)$$

因為方括號內的量就是  $\alpha$  粒子的結合能。

因此，當衰變時，放出  $\alpha$  粒子的核的結合能與衰變後形成的核的結合能之差值等於  $\alpha$  粒子的結合能與衰變能量之差。例如鑄  ${}_{88}^{226}\text{Ra}$  原子的質量為  $226.0968 AEM$ ，其核作  $\alpha$  衰變後轉變為氫  ${}_{86}^{222}\text{Rn}$  的核。氫原子的質量  $M_2 = 222.0847 AEM$ 。如果按照 (25-17) 來計算鑄、氫及  $\alpha$  粒子的結合能，並把所得的值代入 (25-21)，就能決定  $\alpha$  衰變的能量： $W_\alpha = 28.28 - 1731.7 + 1708.3 = 4.88 M\omega$ ，這個數值與測量飛出的  $\alpha$  粒子的能量而求得的值相

符合。

我們來大略地研究一下某些核轉變的機構。

大多數具有  $\alpha$  放射性的核，在衰變時放射出同樣能量的  $\alpha$  粒子，這能量可以作為這種核的特徵，但可以觀察到某些放射性核並非放射出一群速度相同的粒子，而是放射出好幾群速度不同的粒子。在這種情況下， $\alpha$  衰變伴隨著輻射光子，亦即輻射  $\gamma$  射線；光子的能量等於相應於不同的  $\alpha$  粒子群的衰變能量之差。我們還記得，衰變能量就是  $\alpha$  粒子的動能與反衝核的動能之和。

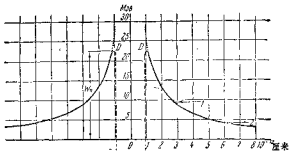


圖 191. 在原子核場中  $\alpha$  粒子的勢能曲線

可以用  $\alpha$  粒子的勢能與它到核中心的距離的關係曲線（勢能曲線）來解釋上述的事實。鈾核的勢能曲線如圖 191 所示，圖中橫坐標軸表示距離，縱坐標軸表示  $\alpha$  粒子的能量。鈾核半徑的數量級為  $9 \times 10^{-13}$  厘米。前面已經談到，核力的作用從核表面算起不遠於  $3 \times 10^{-13}$  厘米，因此，勢能曲線是離核中心超過  $1.2 \times 10^{-13}$  厘米的雙曲線，因為在這個距離時， $\alpha$  粒子的勢能是正的，這是電力作用引起的。核內所有核子的勢能都是負的；這是核子引力造成的，這些核子都處在“勢阱”中。在圖 191 上，“勢阱”習慣上以平行於縱坐標軸的虛線表示，其“底”遠在橫坐標軸下面。核內勢能曲線實際的情況是不知道的，因為核力與距離的關係的規律還沒有弄清楚。

除了势能以外，核子还有动能。在放射性核中，个别粒子的总能量可以是正的，但在任何情况下，都不能大于“势垒”的高度（在图 191 上以水平线  $DD'$  表示），这势垒把粒子包围在核内。根据古典理论，在这种情况下，要使一个带电粒子从核内飞出而不消耗能量，是永远不可能的。然而在  $10^{10}$  个铀核中，在一年内却有一个  $\alpha$  粒子飞出。由此可见，铀的放射性衰变虽是很罕见的现象，但它的发生毕竟是与古典力学的规律相违背的。

铀核内势垒的存在以及总能量小于势垒高度的粒子能够穿过势垒，可以从下述的实验结果得到证实；能量为  $8.8 \text{ MeV}$  的  $\alpha$  粒子被铀核所散射，而铀核在放射性衰变时抛出的  $\alpha$  粒子的能量为  $4.4 \text{ MeV}$ ，这表示这些粒子的能量无疑地是低于势垒的高度。这两种  $\alpha$  粒子的能级在图 191 上分别以箭号 1 与 2 表示。

在 § 11 末了，我们提到过的波动力学或量子力学，可以说明这个现象。量子力学从实验所证实的微观粒子存在波动性这一概念出发，导出这样的结论：核内的粒子具有某种几率可以通过高度比粒子总能量大的势垒。势垒愈低，粒子的质量愈小，则穿过势垒的几率就愈大。由此可见，如果从核内飞出的  $\alpha$  粒子的能量愈大，则衰变的几率也愈大，半衰期就愈小。对各种放射性核的  $\alpha$  衰变的研究已证实了这个结论。

前面说过，原子核仅由质子与中子组成。因此，核内是没有  $\alpha$  粒子的，它们是  $\alpha$  衰变时由核内的核子形成的。从一定的放射性核（多半是在  $\alpha$  衰变时观察到的核）飞出的  $\alpha$  粒子的速度都相等。这表明  $\alpha$  衰变时核所给出的能量是一定的。至于为什么飞出的是  $\alpha$  粒子，而不是质子、中子或它们的别种组合，这一点可以用  $\alpha$  衰变的能量最有利来解释。 $\alpha$  粒子的结合能是非常大的。

$\beta$  衰变时，有电子（通常又称为  $\beta$  粒子）从放射性核内飞出，这些粒子的速度从最小的速度到标志该放射性核的某一个最大速度都有。如果把衰变时从核内飞出的  $\beta$  粒子的最大速度引入平衡方

程式內，那么， $\beta$  衰变前后的能量是平衡的。因而就發生這樣的問題：在衰变时，飞出的大多数  $\beta$  粒子的能量与  $\beta$  粒子的最大能值之差的这部分能量消耗到那里去了？

当  $\beta$  粒子飞出时，質量数并不改变，因而“偶数的”自旋不可能变为“奇数的”自旋，反过来也同样不可能。研究光学光譜就証实了这一点。从而就發生第二个問題：怎样把这个事实与动量矩守恒定律結合起来呢？

要闡明  $\beta$  衰变，还应当回答第三个問題：正如我們所知道的，如果原子核仅由質子与中子組成，而核内并没有电子的話，那么， $\beta$  粒子是从那里来的呢？

借下面的假設可以回答前兩個問題，这个假設是：当  $\beta$  衰变时，还有一种粒子与  $\beta$  粒子同时飞出，这种粒子帶走了能量与动量矩。这种粒子是中性的，也就是說它不帶电荷，而且它的質量是非常微小的。因此，在觀察时，它被忽略过去。这种粒子称为中微子，假設它的自旋等于  $\frac{1}{2} \cdot \frac{\hbar}{2\pi}$ 。

中微子的存在已为實驗所証实，这些實驗的概念是苏联学者 A. H. 阿里罕揚与 A. H. 列依普恩斯基提出的。在这些實驗中，利用了  $K$  俘获現象（本节的 I 中已談到）。这个現象的本質是：核俘获一个  $K$  壳層的电子。这时核电荷减少一个單位，而核的自旋保持不变，因为質量数沒有改变。核吸收电子以后，中微子就从核内飞出。可以測定中微子飞出时傳給核的速度，借此以証实中微子的存在，并且确定其質量远較电子的質量为小。

在  $\beta$  衰变时， $\beta$  粒子的形成解釋为：核内一个中子轉变为一个質子。在正电子衰变时（这种衰变在某些人为放射性核衰变时可以觀察到），一个質子轉变为中子。这种轉变是在放射性衰变时完成的。

放射性核的  $\gamma$  辐射是能級較高的放射性核过渡到較低的能級的結果。

用核的液滴模型可以解释核的分裂，这个模型是1939年苏联学者Я. И. 弗倫克尔提出的。

按照这个模型，原子核是球形的“核液”滴。核似液滴的概念的基础是：所有的核的密度都相同，而且密度与核的大小无关。在这种情况下，核与液滴相似。在核表面的核子，也与在液滴表面的分子一样，处在指向核内的力作用之下。核内有短程的核力作用，而液滴内则有短程的分子力作用。它们的区别是作用半径的大小不同。核力的作用半径的数量级为 $10^{-12}$ 厘米，而分子力的作用半径为 $10^{-8}$ 厘米。

核分裂为几部分就增加了处在表面的核子数，由于表面增加，使核子的结合能比分裂前的核的结合能减小，这在能量上是不利的。另一方面，核分裂为几部分就增加了核内核子之间的距离，因而结合能增加，亦即能量变得有利了。这样一来，核内的核子的“表面能”与质子之间的库仑斥力所引起的能力同时发生改变，表面能与库仑斥力势能对分裂前核的结合能转变为“碎片”的结合能所起的作用是相反的。例如，若表面能较库仑斥力势能占优势（在质子数较少的轻核内就是这种情况）则不是核分裂对能量有利，而是核结合对能量有利。若库仑斥力势能较表面能大，则核分裂在能量上较有利，这在重核分裂时可以看到。

然而，某些在能量上有利的反应却很少自发地完成，因为这些反应的几率很小。前面提到的铀核的天然分裂就可以作为这种自发分裂的例子。如果用中子轰击铀核而把若干“激活能”传给铀核，那么核就放出能量而分裂，放出的能量要比原来的激活能大得多。通常核分裂为两个新核——“碎片”，它们的电荷与质量都不相同，而且分裂时还放出二、三个中子。观察各核分裂的两块碎片的质量比，发现这个比值对各个核来说常不相同，但大多数情况是其中一块碎片的质量比另一块碎片的质量大约大半倍。由于碎片核内有过剩的中子，因此这些核是放射性的，经一连串的 $\beta$ 衰变

之后轉变为稳定核。比較鈾核与其碎片的結合能，在理論上就可以計算出分裂时放出的能量。根据實驗数据，鈾核分裂时放出的能量約为  $200 \text{ MeV}$ 。很容易算出，1克鈾分裂时放出的能量几乎与燃燒三吨煤所得的能量一样。

核的人为分裂是获得核能的一种方法。这个方法在原子彈与鈾“堆”中得到实际的应用，利用鈾堆消耗核能来获得人为放射性元素并放出热量，这些热量可以用来获得电能。第一座原子核能发电站已經在苏联建立起来了。

原子彈爆炸时，鈾  $^{235}_{92}\text{U}$  的核或钚  $^{239}_{94}\text{Pu}$  的核（它們是当各种速度的中子穿入时能够發生分裂的核），要發生鏈式的分裂反应。某一个核分裂时放出的中子射入别的核内，引起这些核的分裂，同时又伴随着放出中子，这些中子又引起另一些核的分裂，依此类推。如果这种过程雪崩似地扩展起来，遍及鈾的整个質量，那么，就發生爆炸。若中子被散射到周圍的空間，或被杂质吸收，因而不發生中子的“繁殖”的話，則鏈式反应就不可能进行下去，分裂过程也陷于停頓。因此，如果要使分裂过程扩展起来，就必须使鈾的質量不小于某个临界的質量，并尽量减少吸收中子而阻碍核分裂的杂质的核。所以，在原子彈中，采用不掺杂  $^{238}_{92}\text{U}$  的純淨鈾的同位素  $^{235}_{92}\text{U}$  与  $^{239}_{94}\text{Pu}$ ，这是因为  $^{238}_{92}\text{U}$  的核只有当中子以一定速度射入时才能分裂，而以其他速度射入时并不分裂的緣故。在原子彈爆炸前，使“原子燃料”的整个質量分成几部分，每一部分都小于临界值。若要使它爆炸，把这几部分合成一个整体就行了。

鈾“堆”是由一些鉛塊構成的，在鉛塊之間放置着中子減速剂。可以用石墨、鎔与某些其他物質作为減速剂。中子与減速剂的核碰撞时，受到彈性碰撞，因而速度减低。把鎔制的隔板放在包有減速剂的鈾的各部分之間，隔板的位置决定中子繁殖的强度与鈾堆所能發揮的功率。鎔能够吸收中子，因而它就从某种稳定同位素轉变为另一种稳定同位素。把鎔制的隔板插入时，可以使鈾堆的

功率减小，如果它使中子不繁殖，就可以使铀堆停止工作。

依靠輕核結合成較重的核來放出核能，在太陽和星球上都可發生，這些天體的溫度都非常高，這樣放出的核能是它們輻射能量的泉源。使質子與中子結合成 $\alpha$ 粒子，亦即使氫轉變為氦，就可以獲得這樣的能。形成一個 $\alpha$ 粒子可以放出 $28.8 \text{ MeV}$ 的結合能。

只有在非常高的溫度下（數量級為百萬度）才發生的核反應稱為熱核反應。由氫的較重的同位素：氘( ${}^2\text{H}^2$ )與氚( ${}^3\text{H}^3$ )的核結合成氦就是熱核反應。氫彈爆炸時也發生類似的反應，所需的高溫由氫原子弹或鈾原子弹爆炸來獲得，這時原子弹起着“爆管”的作用。要使上述的核反應遍及氫彈中全部的濃縮氫及氚所需的高溫，可以由反應



放出的高能中子來得到。

我們還要談一談核完全分解為質子與中子的現象，蘇聯學者 A. II. 日丹諾夫利用厚層乳膠片的方法發現了這個現象。這個方法的概念是 J. B. 梅索夫斯基提出的，A. II. 日丹諾夫仔細地研究這個方法，並首先將它應用於宇宙射線的研究。這個方法歸根到底是对帶電粒子在照相乳膠上留下的徑迹作微觀的研究。根據徑迹的樣子，如同根據威耳孫云室中的徑迹一樣，可以判斷粒子的性質，而根據徑迹的長度，可以判定粒子的能量。在書末的圖 XVII 上，以鉑的 $\alpha$ 粒子在溴化銀的照相乳膠上的徑迹的照片作為例子。

只有當能量比核內核子的結合能大得多的粒子射入核內時，才發生核的完全分裂。宇宙射線中就有這種高能粒子。書末的圖 XVIII 是銀核在能量為 $3.5 \times 10^9 \text{ eV}$ 的宇宙粒子撞擊下面完全分裂時所飛出的質子的徑迹的高倍放大照片。徑迹的數目等於核內的質子數。中子，是不帶電的粒子，在照相乳膠上不留下徑迹。

最後還要指出，不僅可以用方程式來標記核反應（這種方程式

我們已采用过),而且还可以用更簡便的表示法。例如反应(25-13)可以写为:  $\text{Al}^{27}(\alpha, n)\text{P}^{30}$ 。第一个化学元素的符号表示受轰击的核,而后面那个化学符号表示反应后得到的核,两个化学符号之間的括号內表示飞入核內的粒子与从核內飞出的粒子。

### E. 带电粒子加速的方法

利用帶电的重粒子,如質子、氘(或氚)核和 $\alpha$ 粒子,以及中性粒子,如中子和高能光子来轰击核的方法,就可以实现上述的各种核反应。动能小的帶正电的粒子不可能引起核反应,因为它們要被核所排斥,不能胜过圍繞核的“勢壘”。最初的核反应是利用天然放射性元素輻射的 $\alpha$ 粒子来进行的。这种粒子的能量約为几个  $M_{\mu e}$ (百万电子伏特)。 $\text{ThC}'$  的長程  $\alpha$  粒子的能量最大达到  $10.5 M_{\mu e}$ 。利用这种  $\alpha$  粒子获得的核反应的数量是很少的,而且这些反应的“产量”(被轉变的核的数量)也是微不足道的。

只有当能够把很大的能量傳給輕元素的强大的正离子流(它們作为轰击核的“炮彈”)的装置建成以后,新的核反应的获得以及与其有关的,在核結構方面的研究的巨大进展才成为可能。現代已經运转的帶电粒子加速器能够获得能量为几百  $M_{\mu e}$  或更高的电子或正离子。最近造成的加速器可以使質子的能量达到  $2800 M_{\mu e}$  ①。

前面所熟知的,具有一个基本电荷  $e = 4.8 \times 10^{-10} \text{ C.G.S.E}_q$  的粒子,亦即电子或一次电离的原子,在电場中飞过  $U$  伏特的电势差时,就获得动能

$$W = U \times 10^6 = U \times 1.6 \times 10^{-12} \text{ 尔格} \quad (25-22)$$

二次电离的原子,例如  $\alpha$  粒子,在这种情况下获得兩倍的能量。

可以利用各种类型的加速器:直线式加速器及迴旋式加速器,来获得高能帶电粒子,它們的能量可达百万电子伏特,千万电子伏

① 1956 年苏联已建成能把質子加速至能量为  $10^4 M_{\mu e}$  (100 亿电子伏特)的加速器,現在正在設計 500 亿电子伏特的加速器——譯者。

特或亿电子伏特。在直线式的加速器中，粒子在一个两端（或个别区域）加上高电压的真空放电管中，沿着直线轨道加速地运动。粒子源放在管的一端，在管的另一端放着要轰击的靶。在迴旋式加速器中，粒子沿曲线轨道运动，它们或是在整个路程中受到加速，或是在某些个别的区域内受到加速。

现在来研究两种高压起电机（静电式起电机与脉冲式起电机），它们在直线式加速器中用到。

范德格喇夫静电起电机的简图如图 192 所示。它由两个铝制

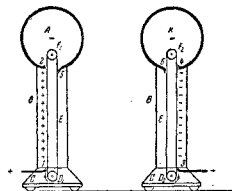


图 192. 范德格喇夫静电起电机简图

的空心球形电极（导体）*A* 与 *K* 组成，电极装置在夹布胶木（绝缘体）制的空心圆柱体上。在所示的起电机图中，电极的直径为两米。圆柱体装在小车 *C* 上，如果需要改变电极之间的距离的话，那么可以使小车

移动。在小车上装着附有滑轮 *D*<sub>1</sub> 与 *D*<sub>2</sub> 的电动机，它们拖动绕过滑轮 *F*<sub>1</sub> 与 *F*<sub>2</sub> 的丝带，滑轮 *F*<sub>1</sub> 与 *F*<sub>2</sub> 装在电极内部。在圆柱的底部，装有金属刷 1 与 3，它们从两极管整流器（图上没有画出）把电荷传给丝带，用工业用的变压器供给这个整流器 10~20 千伏。丝带把电荷带到刷子 2 与 4。再把电荷传给两个电极。电极 *A* 充正电，而电极 *K* 充负电。这时，电极的电势不断增加，可以达到相对于地球为 ±2.5 百万伏特❶。因此，从这种起电机所能得到的电势差，亦即能加于放电管的电势差可以达到 5 百万伏特。刷子 5 与 6 从两个电极把符号相反的电荷传给丝带，再带到刷子 1 与刷子 3，在那里这些电荷被整

❶ 原文为 *Moe*，是能量的单位，应改为百万伏特——译者。

流器傳來的電荷所中和。用這種起電機可以在放電管中获得好几毫安的电流，这是它的优点。如果要由放射性衰变来获得与这电流等价的 $\alpha$ 粒子流，那就需要几十公斤的镭才能达到。静电起电机的缺点是它的尺寸太大。例如，上述的起电机需要15米高的装置！

能够获得电压超过1千万伏特的静电起电机現在已經制成。这时，电極裝在盛有特种气体的室内，这种气体的絕緣强度比几个大气压下的空气大得多，这样就能够减小整个裝置的尺寸。

現在來研究如圖193所示的脉冲起电机的线路圖。

从变压器 $T$ 把电压加到由四个整流器組成的线路中的兩個接头 $M$ 与 $L$ ，电流只能从圖中标出的箭头的方向通过。电容器 $C_1, C_2, C_3 \dots$ 的上極板接到从整流器线路圖的 $B$ 点連向电極 $A$ 的电路上。电容器的下極板所接住的电路是接地的。在相鄰的电容器的相反的極板之間有火花隙 $d_1, d_2, d_3 \dots$ ，其中第一个火花隙比其余的都小些。許多高电阻 $r$ 与 $R$ 連接在线路圖內，而且 $R \gg r$ 。电極 $K$ 接地。

变压器供給的交变电流在 $L$ 点的电势高于 $M$ 点的电势的那

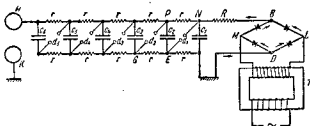


圖 193. 脉冲起电机的线路圖

个半周时，电流从 $L$ 流向 $B$ 点，而将电容器充电。在下半周时，电流从 $M$ 点流向 $B$ 点，也把电容器充电。当 $N$ 点与 $E$ 点之間的电

压增高到有电火花通过  $d_1$  时, 电容器  $C_1$  与  $C_2$  就变成串联。由于电阻  $r$  相当大, 以致电容器  $C_1$  来不及通过  $r$  而放电, 则  $P$  点的电势变为  $N$  点的电势的两倍, 因而就有电火花通过  $d_2$ 。结果变成三个电容器串联, 依此类推。这样一来, 在很短的时间内(其数量级为供电的交变电流的周期的  $10^{-3}$  至  $10^{-4}$  倍), 电极  $A$  的电势就变为加于电容器的电压的好多倍, 这个倍数与并联的电容器的数目相等。要使脉冲起电机能正常的工作, 必须选用适当的电阻  $r$  及  $R$ , 使在脉冲的时间内电容器来不及通过它们而放电。

利用火花放电使电容器从并联自动地转换为串联的概念是 1914 年 B. K. 阿尔卡捷夫提出的。

迴旋式加速器与上述的直线式加速器比较起来, 有很大的优越性, 回旋式加速器可以不用很高的电压而使粒子获得很大的能量。

第一个回旋式加速器于 1913 年制成。这种类型的加速器称为回旋加速器, 其工作的本質可归結如下。

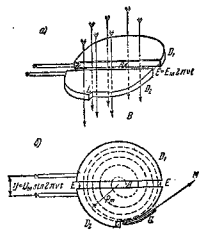


圖 194. 回旋加速器的 D 形电極的裝置  
与被加速的粒子的轨迹簡圖

定。粒子描画半圆周的时间间隔为

在两个半圆柱形的空盒(D 形电極)之间(如圖 194, a 所示), 建立频率为  $\nu$  的交变电場, 有磁感为  $B$  的恒定磁场与这电場垂直, 亦即与半圆柱体的母线平行。带电粒子(如质子、氘核或  $\alpha$  粒子)从粒子源射到电場中的  $A$  点(圖 194), 就被电場加速而射入 D 形电極  $D_1$ , 在电極內磁场使粒子沿圆弧运动, 其半径由 (21-19) 式决定。

$$\tau = \frac{\pi \rho}{v} = \frac{\pi m v c}{B q v} = \frac{\pi m c}{B q}。 \quad (25-23)$$

对所有荷質比  $q/m$  相同的粒子來說， $\tau$  都是一样的，而与粒子的速度無关。这样一来，如果電場改變的頻率  $\nu = \frac{1}{2\tau}$ ，則粒子走出電極  $D_1$  以后，就进入与圖 194,6 所示的箭号  $E$  反向的電場內，受到這電場的加速再进入 D 形電極  $D_2$ ，它們在  $D_2$  之內也描画半圓周，但半徑比較大些。經過  $\tau$  時間之后，電場又改變方向，粒子速度再增加，又飛入 D 形電極  $D_1$ 。这个粒子在它从  $D_2$  的  $L$  点飞出以前，一直是沿着开展的螺旋綫运动，在  $L$  点，利用附加電極  $G$  的電場，可以使粒子射向靶  $M$ 。

根据下面的見解可以确定从迴旋加速器的  $L$  点飞出的粒子的能量。假設帶电粒子在 D 形電極之間的電勢差  $U = U_* \sin 2\pi\nu t$  为最大值  $U_*$  时飞入電場內，在粒子沿螺旋綫运动的時間內，它通过 D 形電極之間的間隙  $N$  次。这样一来，粒子的能量等于

$$W_{\text{max}} = \frac{mv_*^2}{2} = NU_* q。 \quad (25-24)$$

另一方面，从 (21-18) 得到：动量  $L$

$$L = mv_* = \frac{qB\rho_*}{c}。 \quad (25-25)$$

这就是說粒子在迴旋加速器中所获得的动量正比于  $B\rho_*$ ，而与加于 D 形電極之間的電勢差無关。譬如說，如果粒子在飞入電場时，电压  $U = U_* \sin 2\pi\nu t < U_*$ ，那么粒子在 D 形電極中的曲率半徑变小，但在 D 形電極之間的間隙来回經過的次数增多了，而且粒子飞出迴旋加速器以前所經歷的路程的長度也变大了，因而动量的值仍然由 (25-25) 式决定，也就是說与前面的情况完全一样。然而，所有这些見解只有在粒子的質量不随速度变化的条件下才是正确的。反之，若粒子因速度增大而質量增加，則它們在周相上就逐渐地落后于場強的周相，从某一时刻起，当它們飞过電場时，就不再

是受到加速，而是受到制动。这样一来，由于微观粒子的质量随其速度的增加而按(20-6)式增大，还由于回旋加速器中电场与磁场并非绝对均匀，而且还必须应用这些不甚均匀的场来使带电粒子流聚焦成束，因此，应用回旋加速器来加速各种粒子就有一定的极限。

以动能  $W_{\text{kin}}$  飞行的粒子的质量的增量和它的静止质量的比值由下式决定：

$$\frac{\Delta m}{m_0} = \frac{W_{\text{kin}}}{m_0 c^2} \quad (25-26)$$

此式可由(20-9)导出。现在把各种粒子的  $\frac{\Delta m}{m_0}$  值计算的结果列于下表内作为例子。

粒子	静止质量 $m_0$ 以克为单位	粒子动能(以 $M\text{eV}$ 为单位)不同时质量的相对增量				
		0.1	1	10	100	1000
电子	$9.107 \times 10^{-31}$	0.1057	1.057	10.57	105.7	1057
质子	$1.673 \times 10^{-24}$	$1.065 \times 10^{-4}$	$1.065 \times 10^{-3}$	0.01065	0.1065	1.065
氘	$3.345 \times 10^{-21}$	$5.32 \times 10^{-5}$	$5.32 \times 10^{-4}$	$5.32 \times 10^{-3}$	0.0532	0.532

从上表看出，利用回旋加速器使电子的能量达到  $0.1 M\text{eV}$  也不可能，因为这时电子的质量几乎增加了 20%。用回旋加速器所能给予较重的粒子的极限能量，对质子来说大约为  $10 M\text{eV}$ ，对氘核来说为  $20 M\text{eV}$ 。只有对更重的粒子，才可能利用回旋加速器把更大的能量传给它们。例如在 40 年代初期，氧离子就被加速到  $118 M\text{eV}$  的能量。

为了获得动能更大的电子，人们采用另一类型的回旋式加速器——感应式加速器。利用电磁感应来加速带电粒子的概念虽然早已提出，然而第一架感应式加速器直至 1941 年才制造成功。电子的感应式加速器称为电子回旋加速器。它的工作原理可归结如下。

設有一金屬圓環，有電磁鐵產生的磁通量通過。當磁通量改變時，環內感生了電動勢，即有電流沿着圓環流動。如果以真空的環管替換金屬圓環，則管內感生電場。這時使電子流射入管內，電子在電場作用下沿着反電場方向加速地運動。電子的運動與變化的磁場垂直，因而它們又受到洛倫茲力的作用，而沿曲線軌道運動，其曲率半徑由(21-19)式決定。考慮到產生感應電場所增加的磁通量的方向與洛倫茲力的方向的關係就得出結論：電子將沿環狀真空管運動。把磁極靴製成適當的形狀，就能使管內磁感分布得使被加速的電子沿管內穩定的環形軌道運動，若電子稍許偏離軌道，仍會自動地回到這穩定的軌道上，不管與速度增大相關聯著的質量增加如何。

圖195,a簡略地表示加速電子的真空環管，它裝置在電磁鐵的兩極NS之間。圖195,b是真空環管的橫截面，圖195,c是其平面圖。若某一時刻被加速電子位於e點(圖195,c)，增加的磁通量必從觀察者指向195,c的“圓面”，則感生電場指向箭號E的方向，這電場對電子的作用力 $f = eE$ ，指向相反的方向( $E$ 是電場強度)。除此以外，還有洛倫茲力 $f_L$ 對電子作用，它指向用虛線表示的電子的穩定軌道(即“平衡”軌道)的中心。

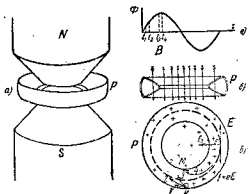


圖195. 感應式的電子迴旋加速器簡圖

們就沿着轨道 3 运动，这就射到管的内壁，而当磁感的值在某一微小的区间内时，电子就沿轨道 2 运动，而且“被引入”平衡轨道。由此可見，必須在磁通量<sup>①</sup>改变的第一个四分之一周期內的某段短暂的时间間隔  $t_2 - t_1$  之中（参考圖 195，*i*）使电子射入管內。在此四分之一周期末的  $t_4$  时刻，电子停止加速，而且在稍前的  $t_3$  时刻，电子就自動地射向靶 *M*。使电子离开平衡轨道的方法之一是：把磁極靴制成特殊的形狀，并在極靴的某些部分采用特殊的磁性材料，就能使这个周期內“工作部分”終了时的磁感的分布發生改變，这是因为極靴特制部分的磁性饱和的缘故。

这样，利用电子迴旋加速器，用多次短暂的脉冲可以获得高能的电子流。这些脉冲的久暫的数量級为微 ( $10^{-6}$ ) 秒或几分之一微秒，这仅为加于这个裝置的交变电压的周期的很小一部分 ( $\approx 0.0001$ )。

用电子迴旋加速器能获得的电子的最大能量的数量級为  $500 MeV$ 。这个極限是在电子速度接近光速时，由于电子以向心加速度运动，損失于电磁辐射的能量迅速地增加而引起的。J. J. 依几年科早已預見到这种“發光的电子”的現象的存在，H. J. 普麦蘭楚克与 J. A. 阿齊莫維奇并研究了这个現象的理論。若电子速度接近光速，则在被加速电子的轨道的切線方向可以觀察到發光。

这里，我們列举出 1943 年开始使用的电子迴旋加速器的某些数据于下，它能够使电子加速到  $100 MeV$  的能量。它的平衡轨道的半徑为 88 厘米，轨道上磁場的最大磁感为 4000 高斯，电場的最大場強为 1.26 伏特/厘米，加速時間內电子經過的路程的長度为 1250 公里，在这段時間內电子迴轉的圈数为 240000，电磁鐵的重量为 130 吨。

应用电子迴旋加速器来加速重粒子（例如質子）的效果并不大，因为重粒子質量較大，它們在一轉內所获得的加速度以及在磁

① 指  $t_1$  到  $t_2$  这段时间——譯者。

通量增加时它们所能绕的转数都变小了。

1944年 B. H. 維克斯勒發現迴旋式加速器中的粒子的“自动稳相”原理，利用这个原理为基础而工作的加速器，能够获得能量为几百兆电子伏特，甚至上千兆电子伏特的带电粒子。

为了了解作为这种新式迴旋加速器的基础的原理与概念，我們先回顾一下，决定带电粒子在迴旋加速器中通过半圆周的时间  $\tau$  的公式 (25-28)。我們还记得，要使粒子加速，就必须使加于 D 形电極的交变电压的频率  $\nu$  等于被加速粒子旋转的频率，亦即

$$\nu = \frac{1}{2\tau} = \frac{Bq}{2\pi mc} \text{。} \quad (25-27)$$

粒子的总能量，即其动能与其静止质量有关的能量  $m_0c^2$  之和，等于  $mc^2 = W$ 。因此，(25-27) 式变为：

$$\nu = \frac{1}{2\tau} = \frac{Bqc}{2\pi W} \text{。} \quad (25-28)$$

对于“相对論的”粒子（即速度接近光速的粒子）來說，由于总能量  $W$  增加，粒子飞入电場就落后了，时间  $\tau$  也增加了，因而等式 (25-24) 遭到破坏。因此，从某一时刻开始，粒子不再是受到加速，而是受到反向电場的制动。为了使粒子能量增加时等式 (25-28) 仍然有效，也就是說要使粒子轉圈的频率仍旧等于交变电場的频率，可以不断地增加磁場的磁感  $B$ ，减小加于 D 形电極的交变电压的频率  $\nu$  或者是两者并行。这种保持加速粒子轉圈的频率与使粒子加速的交变电压的频率之間共振的方法，是下面三种型式的共振迴旋加速器：同步加速器、稳相加速器以及同步稳相加速器的基础。

同步加速器用来加速电子与質子。电子运动所在的真空环管放在电磁鐵的环形極軌之間，电磁鐵是由工业用的频率的交变电流供电的。同步加速器中的磁場，与迴旋加速器中的磁場一样，仅使电子轉向，而不改变电子的能量。同步加速器的环管与迴旋加速器的环管的区别在于：同步加速器的环管的内表面有两个环形

銀帶，它們以一狹隙（數量級為 10 毫米）隔開，它們是兩個電極，在電極上加高頻的交變電壓。這電壓在狹隙間建立交變電場，電子飛過狹隙時就受到電場的加速。電子在管內其餘部分勻速地運動，因為在電子旋轉一圈內，磁感的增加非常微小，而且電子軌道所包圍的磁通量也很小。

假設能量為  $W_r$  的 N1 電子，在  $t_1$  時刻或  $t_2$  時刻飛過按正弦式變化（如圖 196 所示）的加速電場，這時電極之間的電壓等於  $U_r$ ，而周相為  $\varphi_1 = 2\pi\nu t_1$  或  $\varphi_2 = 2\pi\nu t_2$ 。設電子每次通過加速電場時，其能量的增量  $\Delta W_r$  都滿足共振條件，亦即電子旋轉一周內能量的增量與這段時間內磁場的磁感的增量  $\Delta B$  的關係能使旋轉周期保持不變而且等於加速的交變電壓的周期：

$$T_r = \frac{1}{\nu} = \frac{2\pi W_r}{Be_c} = \frac{2\pi (W_r + \Delta W_r)}{(B + \Delta B)ec}。 \quad (25-29)$$

如果在以後電子旋轉的各圈內，共振條件都能保持的話，那麼 N1 電子在每一轉內能量的增加等於  $eU_r$ ，因為這個電子在相應於同一周相的電壓時飛過加速電場。

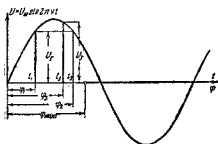


圖 196. 視聽同步加速器的工作作用圖

設有能量亦為  $W_r$  的 N2 電子，在  $t_3$  時刻（參考圖 196）飛入加速電場， $t_3$  相應於周相  $\varphi_3 = 2\pi\nu t_3$ ，這個電子受到電壓  $U_3 =$

$$= U_m \sin 2\pi\nu t_3$$

的加速，但  $U_3$  不等於  $U_r$ 。這時，N2 電子的能量增加了  $\Delta W_r$ ，它不等於  $\Delta W_r$ ，因而不對應於共振條件（25-29）。結果這個電子旋轉的週期不等於  $T_r$ ，而是隨著每一轉改變的。分析電子在這種情況下的運動就能得出結論：電子運動的特徵取決於電子飛入加速電場時加速電壓的周相。如果周相  $\varphi_3$  在兩個相當關的極限  $\varphi_{\min}$  與  $\varphi_{\max}$  之間，

那么，虽然电子每轉一圈所需的时间是随时改变的，但其旋转周期将在  $T_0$  附近振荡，因而电子的能量的增加，平均說來是与  $N=1$  电子一样的。如果周相  $\varphi_0$  在上述界限之外，那么，这个电子就失去同步性，因而在加速的整个周期終了时，它并不納入射到靶上的那束电子流内。这就是自动稳相的原理，由于这个原理，电子源（电子槍）可以在虽然很短，但不是“瞬息的”脉冲的時間內供应电子，这就能获得功率很大的被加速的电子流。

能把电子加速至能量为  $300 \text{ MeV}$  的同步加速器現在已經建成。

稳相加速器用来加速重<sup>①</sup>粒子（質子、氘核、 $\alpha$  粒子）。稳相加速器的構造与迴旋加速器相似，但在迴旋加速器中，加于 D 形电極之間的加速交变电压的頻率是不变的，而在稳相加速器中，这个頻率却随時間而减小。这种高頻电压的調变可以利用振荡电路中的可变电容器来达到，这个电路用来控制加于 D 形电極的交变电压的頻率。轉动电容器的动片使它的电容增加因而电压的振荡頻率就減小了。

現代建造的稳相加速器，可以使質子获得  $350 \text{ MeV}$  的能量。利用同步稳相加速器，可以获得能量大到几千  $\text{MeV}$  的帶电重粒子，在这种加速器中，加强使电子轉向的磁場并减小加速电場的頻率，就能使被加速粒子的旋转頻率与加速电場的頻率發生共振。現在，这种类型的，能够获得能量为  $2.3 \times 10^9 \text{ eV}$  的質子的加速器已經制成且已运转。这种加速器称为宇宙加速器，因为用它获得的質子的能量接近宇宙粒子的能量。被加速的粒子在真空环管中的軌道半徑約为 9 米，把質子放进真空管以前，要先把它用范德格喇夫起电机加速到能量为  $3 \sim 4 \text{ MeV}$ ，它们处在电子迴旋加速器的状态中加速到能量的数量級为  $50 \text{ MeV}$ ，亦即利用被軌道包围的磁通量的增加所引起的电磁感应來加速，只有当加速器作了这些工作

<sup>①</sup> 原文为輕粒子，应改为重粒子——譯者。

以后，才转入同步稳相加速器的状态。

最近几年来，使带电粒子加速的技术更显著的进步是很有指望的。现在正在建造  $10^{10}$  es 的迴旋式加速器①，而且还在研究新型的直线式加速器，这种加速器的基本特点是应用超高频的交变电压。

## § 26 宇宙射线

在二十世纪初叶，人们就已经注意到空气的天然电离（这种电离可以使验电器中的电荷损失）随高度而增加。因此就可以作出结论：空气电离的原因不仅由于地壳的放射性，而且还由于从宇宙空间射到地球的某些射线所引起的。这些射线称为宇宙射线，对这些射线的研究指出，它们在 35 公里高处的强度为在地球表面的海平面上的 50 倍。利用特殊的仪器已经确定，这些射线虽然已被显著地减弱了，但仍旧可以穿过几百米厚的水层，而在矿井内进行的实验也指出，这些射线也可穿过地壳层厚达 0.5 公里。

由于研究宇宙射线的特种仪器的发明与制成，并应用探察气球（近来还应用火箭）把测量仪器升高到超过 150 公里的高度，并用无线电自动地将仪器的数据播送回来，就能够弄清射线在不同高度的组成，也能够研究宇宙射线在大气中所引起的过程。

现在已经查明，宇宙射线是各种不同的粒子组成的，这些粒子是以其性质、能量、贯穿本领以及它们所引起的现象来区别的。把容易被大气吸收的，且能被 10 厘米厚的铅层完全吸收的那部分射线称为软性成分，而贯穿本领很大的那部分射线称为宇宙射线的硬性成分。

C. H. 魏尔诺夫，J. B. 斯科贝尔琴和他们的同事们近年来进行的研究指出，原宇宙粒子是由 95% 的质子与 5% 较重的核组

① 1958 年，苏联已经建成使质子加速至  $10^{10}$  es 的同步稳相加速器，现在正在设计加速质子至能量为  $5 \times 10^{10}$  es 的加速器——译者。

成的，它們几乎不能飞达海平面。这些粒子的能量平均为  $10^4 M\text{eV}$ ，但也有些粒子能量很大，达到  $10^{11} M\text{eV}$ 。当原宇宙粒子与原子核碰撞时，就發生独特的“爆叢”，結果飞出各种各样的粒子，这些粒子的性質不同，而且后来的命运也不一样。这些粒子可以归結为下列三类：(1)重粒子——質子、中子与輕元素的核，(2)輕粒子——电子、正电子与光子以及(3)質量小于質子但大于电子的粒子。这些粒子称为介子。原宇宙粒子的能量分配給“爆叢”后飞出的所有粒子。

当这样“爆叢”时，飞出的重粒子不止一个，而是好几个，每一个重粒子撞击核时又引起同样的“爆叢”，結果上述的那些粒子都飞出来了。新一代的重粒子与核碰撞时又引起“爆叢”，依此类推。因此就發生重粒子的“繁殖”以及一次次新核的“爆叢”过程。到“爆叢”时飞出的重粒子的能量小到那样的程度，以致它对核撞击时使核分裂所放出的質子与电子不能再引起新的分裂，而只能將其能量消耗于一般的电离时，上述的过程就停止了。伴随着重粒子的“爆叢”，还有其他兩类粒子释出，以后我們會看到，这些粒子也“被繁殖”，而且其数目亦不断地增加。結果在大气中形成遍及几千平方公里面积的“宇宙簇射”。測量宇宙簇射的所有粒子在地球表面上的总能量就得出結論：原宇宙粒子的能量可以达到前面所說的  $10^{11} M\text{eV}$  的值。

重粒子撞击核时飞出的电子与正电子的能量达到几百兆电子伏特，由于种种過程，它們把能量消耗了。

电子和正电子与原子核碰撞时，不能引起核的分裂，但可以把一部分能量傳給核，使核处于激發状态。

若正电子与电子發生碰撞，则它們立即轉变为两个光子，它們的能量等于电子和正电子的动能以及与它們的靜止質量相关联的能量  $2 \times 9.1 \times 10^{-23} \times 9 \times 10^{20}$  尔格 =  $1.02 M\text{eV}$  之和。这个过程是物質的一种形式（具有一定靜止質量的粒子）轉变为另一种形式，

即轉变为光子(靜止質量為零且只能以光速運動的粒子)的明顯的例証。

電子和正電子在原子核的電場中運動時受到制動，這時，因為它們以負加速度運動，所以它們就會消耗能量於輻射，亦即消耗於形成光子。

媒質的電离也是消耗電子的能量的一個原因，但是這個原因只有當電子以較小的速度運動時才占重要的地位。

在下列的過程中，光子都要消耗能量：

光电效应，亦即從原子的壳層內拉出電子的效應。在這種情況下，電子獲得光子的全部能量，還要減去這電子與核的聯繫的能量。這時，光子被吸收了。

康普頓現象，亦即把電子從原子的壳層內拉出，伴隨著產生光子的散射的現象。散射光子的能量小於引起這過程的光子的能量。

電子與正電子“偶”的形成。這個過程在靠近原子核處發生。光子轉變為電子與正電子，光子的全部能量中有  $1.02 MeV$  的能量轉變為與電子及正電子的靜止質量相關聯的能量，而其餘能量以動能的形式分配給電子，正電子及原子核，“偶”的形成就在此核的場內發生。這個過程以及電子和正電子合併時轉變為光子的過程都是宇宙簇射中輕粒子“繁殖”的原因，“偶”的形成過程一直進行到光子的能量小於  $1.02 MeV$  為止。能量小的光子不可能形成“偶”。

輕粒子所形成的“簇射”稱為級聯簇射。級聯簇射是更廣泛的所謂電子-核簇射的一部分，高能重粒子對電子-核簇射的形成起著主要的作用。輕粒子組成宇宙射線的軟性成分，因為它們幾乎完全要被厚為 10 厘米的鉛層所吸收。

宇宙射線的硬性成分是由介子組成的，介子就是我們把“它們”列為高能重粒子撞擊核而引起核的“爆叢”時飛出的粒子中的第三

类粒子。介子是1937年发现的，那时发现在宇宙射线中有质量为电子质量的200倍的带电粒子。后来的研究指出，在宇宙射线中还有质量为电子质量的300倍的粒子。前者称为 $\mu$ 介子，后者称为 $\pi$ 介子。1947年，还发表了苏联学者A. H. 阿里罕诺夫与A. H. 阿里罕扬和他们的同事发现宇宙射线中还有更重的粒子。在宇宙射线中发现质量为电子质量的600倍与900倍的粒子，现在已经得到证实。质量更大的粒子虽已发现，但还研究得不多。所有介子都是不稳定的，其半衰期为一秒的极小的份数。

近年来的研究得出结论：当核受高能重宇宙粒子撞击而引起核的“爆破”时，就有 $\pi$ 介子飞出。它的半衰期的数量级为 $10^{-8}$ 秒。 $\pi$ 介子衰变后转变为同符号的 $\mu$ 介子，这时还有轻的中性粒子——中微子飞出。 $\mu$ 介子的半衰期的数量级为 $10^{-6}$ 秒，它或者衰变为电子和中微子，或者衰变为正电子与中微子，这全取决于它们所带的电荷的符号。

负介子与核碰撞时会引起核反应。负 $\mu$ 介子与重元素( $Z > 10$ )的核碰撞时，就把中微子从核内打出，而当它与轻核碰撞时，就被核所吸收。负 $\pi$ 介子与核碰撞也要引起核的衰变。

上述的有关宇宙射线的知识是利用特殊的方法获得的，其中许多方法是苏联学者研究出来的，这些学者对宇宙射线的知识的发展起着重要的作用。

最初研究宇宙射线是用§24中提到的仪器——电离室与盖革-弥勒计数器来进行的，电离室就是有磁场的威耳孙云室，J. B. 斯科贝尔琴院士首先用它来研究宇宙射线。现在研究宇宙射线是利用大量的计数器的组合，有时也与威耳孙云室以及厚层乳胶底片法配合着应用。

我们介绍几个近年来研究宇宙射线的方法的例子。

在C. H. 魏尔诺夫的赤道探察中，应用了一些计数器的组合，这些计数器是完全一样的而且排列在一直线上。用探察气球把这

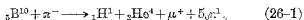
个計數器組合升到很高的地方。計數器的軸的指向与水平綫成 $30^{\circ}$ 角，但它们有的朝西，有的朝东。所有計數器同时工作的訊号自动地傳給裝在船舶上的無線电收訊机，并記錄在照相底片上。計算上述的朝东与朝西两个方向所記錄的粒子数指出，从东方穿过的宇宙粒子比从西方穿过的要大得多。考慮地球磁场对带电粒子的运动的影响，就可以确定原宇宙粒子是有正电荷的。

Д. В. 斯科貝爾琴，Н. А. 都卜洛欽，Г. Т. 查切平与他們的同事們在1945年及后几年內进行高山探察的时期中，利用許多計數器組成的复杂的組合 [称为岁仪 (Годоекоп)] 發現了电子-核簇射，并对这种簇射进行研究。在这些仪器中，有小氖气灯与每一个計數器联系着，当計數器工作时，氖气灯就發光。这些灯按照与它們联系的計數器那样的次序放在控制台上，当宇宙粒子通过計數器时，与計數器联系的灯就發光，于是整个控制台就自動地拍照。

А. П. 日丹諾夫研究出的厚層乳膠底片法是研究宇宙射綫最有效的方法。在上节末了我們已經提到过这个方法。对带电粒子留在照相乳膠上的徑迹进行微观的研究，就能确定粒子的性質及其能量。1949年，А. П. 日丹諾夫与 П. П. 茹吉爾斯基院士用这个方法發現中性介子。在高度为6公里处的一張被宇宙射綫照射的底片中，發現兩条徑迹以相反的方向分开，按其形狀看來是 $\mu$ 介子的徑迹。另外的一些徑迹并不与这两条徑迹的交叉点相衔接，由此可见， $\mu$ 介子是依靠中性粒子的衰变形成的。这种粒子不可能是中子，因为若是中子，则 $\mu$ 介子只会以中子飞行的方向飞出，不会向两个相反的方向分开。这些粒子也不可能光子，因为这时光子的能量会大得使人难以相信。余下的唯一的假設是：有中性介子在 $\mu$ 介子分开的那一点，發生了衰变以后也証实了自然界中的确存在着中性 $\mu$ 介子。

書末的圖 XIX 是 $\pi$ 介子射入硼原子时在照相乳膠上形成的徑迹的照片，可以作为用А. П. 日丹諾夫的方法来研究核反应的

一个例子。向上伸展的長徑迹是負 $\pi^-$ 介子的徑迹，向左的長徑迹是相應于形成的正 $\mu^+$ 介子的徑迹向右上伸展的斷續的短徑迹是質子的徑迹。向左下伸展的，几乎連續的短徑迹是 $\alpha$ 粒子的徑迹。這個反應可以用下列方程表之：



從方程中看出，在這個核反應中有五個中子飛出，它們在照相乳膠上沒有留下徑迹。

宇宙射線的起源以及原宇宙粒子具有巨大能量的來源問題，還沒有得到徹底解決。到現在已經提出了許多假設，但應當認為蘇聯學者 A. II. 捷爾列茨基的假設是最可能的，這個假設可歸結如下。

原宇宙粒子起源于我們的銀河系的星球的大氣中，太陽就是銀河系中的一個星球。這些粒子受交變的磁場所感生的電場加速，這與在電子迴旋加速器中的電子的情況相類似。磁軸與轉軸不一致的星球，太陽與星球的斑點（沿其軸有交變磁場存在），與宇宙粒子碰撞的運動着的分離的星际物質雲，以及具有交變磁矩的星球等，都可以作為這種宇宙感應加速器。例如，不久以前已經確定，某個星球表面的磁場以 9.8 日的周期從 +7800 高斯變化到 -6500 高斯。

在本節結束之前，讓我們將構成 A. H. 門捷列夫周期系中所有元素的原子的基本粒子以及由於核反應過程而出現的那些基本粒子列舉如下：

1. 質子——具有正的基本電荷的重粒子，是氫原子的核。質子的質量比氫原子的質量小一個電子的質量。
2. 中子——質量稍大于質子質量的中性重粒子。如果中子處於自由狀態（但不是處在核內），那麼，中子就是放射性的，而且大約以 20~30 分鐘的半衰期而衰變為質子與電子。

所有原子核都是由中子與質子構成的。

3. 电子——具有负的基本电荷的轻粒子。电子的质量为质子质量的  $\frac{1}{1840}$ 。

原子的壳层由电子构成。在  $\beta$  衰变时以及由光子形成“偶”时，就放出电子。

4. 正电子——具有正的基本电荷的轻粒子。正电子的质量等于电子的质量。在放射性核发生正电子衰变时以及由光子形成“偶”时，都放出正电子。

正电子与电子接近时就转变为光子。

5. 中微子——静止质量等于零或接近于零的中性轻粒子。

6. 各种质量的介子——不稳定的粒子；它们构成宇宙射线中贯穿力大的成分。 $\pi$  介子与  $\mu$  介子可以用下表所列的量值来验证。半衰期是对静止粒子而言的。对相对于仪器以速度  $v$  飞行的介子来说，半衰期应为  $\sqrt{\frac{1-v^2}{c^2}}$  倍（参阅 §20 的 2°）。

	电荷	质量	半衰期 以秒为单位	衰变的粒子
$\pi^+$ 介子	$+e$	$\sim 300 m_e$	$\sim 10^{-8}$	$\mu^+$ 介子与中微子
$\pi^-$ 介子	$-e$	$\sim 300 m_e$	$\sim 10^{-8}$	$\mu^-$ 介子与中微子
$\pi^0$ 介子	0	$\sim 300 m_e$	$\sim 10^{-14}$	两个 $\gamma$ 光子
$\mu^+$ 介子	$+e$	$\sim 200 m_e$	$\sim 10^{-6}$	$\beta^+$ 与 2 个中微子
$\mu^-$ 介子	$-e$	$\sim 200 m_e$	$\sim 10^{-6}$	$\beta^-$ 与 2 个中微子

7. 光子。

列举这些粒子并不取消以后研究中发现新粒子的可能性。

## § 27. 粒子与波

在 § 11 中已经指出，光在传播的现象中显示出波动性，而在与光吸收和辐射有关的现象中，显示出量子性，即粒子性。

在 § 21 中研究过光谱理论，在量子假说与牛顿力学的基本方

程的基础上,这个理論能够正确地計算出氢光譜的波長。然而把这个理論应用到比較复杂的光譜以及計算譜綫强度时,在許多場合,它都显示出無能为力。

在本世紀第二个二十五年的前夕,出現了微觀粒子的新理論,如果说这个理論还不是徹底的,那么,它至少在很大程度內消除了前述的光譜理論的不足,并能够解釋某些微觀現象,而更重要的是能够“警視”物質的最深处——“警視”原子核。这个理論能够解釋許多以前的旧理論所不能解釋的現象,它采用了某些新概念,后面对会加以闡明。除此以外,新理論还采用了一系列抽象的概念,而把它应用到各种特殊的情况时需要非常复杂的数学处理。所有这些都不可能在普通物理教程的範圍內加以闡明。然而我們仍然把新理論的某些基本觀点与概念介紹給讀者并指出它的困难性。

法国学者德布罗意認為:在具有波动性与微粒性這方面來說,光子(即电磁振蕩的量子)与自然界中任何粒子或物体都相类似,只要把波动性加于这些粒子或物体就行了。

如果在計算光量子的質量的公式

$$m = \frac{h\nu}{c^2} \quad (27-1)$$

中,以  $\frac{\nu}{\lambda}$  代替频率  $\nu$ ,那么就得到联系表征这一量子的波長与其質量  $m$  及速度——光速  $c$  的式子

$$\lambda = \frac{h}{mc}, \quad (27-2)$$

德布罗意假設这个公式可以应用于任何粒子,而且能够計算表征这粒子的某个波長。

倘若粒子的質量为  $m$ ,速度为  $v$ ,則这粒子的德布罗意波長决定于公式

$$\lambda = \frac{h}{mv}. \quad (27-3)$$

从这个式子得出:波長反比于粒子的質量与速度。除此以外,

还应当记得，按照相对论的推论，质量本身是与速度有关的。

波长可以用粒子的动能来表示。从古典力学动能的式子

$$W_{\text{kin}} = \frac{mv^2}{2}$$

来确定粒子的动量  $mv$ ，我们得到

$$mv = \sqrt{2W_{\text{kin}}m}。 \quad (27-4)$$

把这个值代入 (27-3) 式，就得出计算德布罗意波长的第二个式子

$$\lambda = \frac{\hbar}{\sqrt{2mW_{\text{kin}}}}。 \quad (27-5)$$

所得到的式子 (27-3) 和 (27-5)，都是以微观粒子和微观过程的新理论为基础的，这个新理论称为 **波动力学** 或 **量子力学**。后一名称表示，在用式子表示从新理论的观点来描述的力学现象中的数量关系时，必须使某些量 **量子化**。“量子化”这个术语意味着在公式中只容许某些不连续的值，而不是任何量的任意值都容许的，这就是说必须假设这个量与玻尔第一个假设中电子在轨道上的动量矩相类似。

顺便指出，在古典力学研究的某些现象中，也会有这样的情况。这时某些量必须“量子化”。例如，弦振动时的泛音<sup>①</sup>的频率以弦的基音频率的整数倍来决定。响亮的弦振动是许多互相叠加的驻波，其波节间的距离等于弦长的  $\frac{1}{2}, \frac{1}{3}, \frac{1}{4}, \dots$  一般是  $\frac{1}{n}$  倍。其他的波长的驻波不可能在弦上形成，因而每一个泛音的频率都不可能不是基频的整数倍。

如果形式上与驻波一样地来研究氢原子内的轨道上的电子的德布罗意波的话，那么，只有那些是电子波长的整数倍的轨道才是许可轨道的长度。换句话说，第  $n$  个许可轨道应为电子的波长的  $n$  倍，由此得到

<sup>①</sup> Дополнительный тон 及 Обертон 都译为泛音——译者。

$$2\pi r = n \frac{h}{mv} \quad (27-6)$$

簡單地变换等式 (27-6)，就导出氢光谱理论的第一个假設的表式 (21-2)

$$mvr = n \frac{h}{2\pi}$$

这样一来，利用德布罗意波可以把第一个假設的起源闡明到某种程度。然而这些波的性质还没有彻底弄清楚。从一系列的实验可以看出，电子与其他微观粒子都具有波动性質。

1927 年，戴維孙与蓋謀觀察电子束从鎳晶体的反射。这时反射线的强度在某些方向有着非常明显的極大。当改变电子束的速度与电子束和晶体表面間的夹角时，这些極大的位置就發生改变。被粉末所散射的电子束在照相底片上所形成的圖像与倫琴射线得到的圖像相似，这一点只要比較倫琴射线通过薄銀層得到的圖 XX, a (在書末) 与电子束通过同一銀層得到的圖 XX, b 就可以看到。只有認為电子的繞射完全符合于决定与电子运动有关的波長的公式 (27-8)，这些实验中所發現的现象才能从量与質兩方面都得到闡明。

这些实验經許多学者多次地重复过，而且实验結果与理論完全一致。氫原子、重氫原子与氮原子的波的繞射已被觀察到。較重的原子的繞射圖样是比较坏些的，这正是所期待的，因为与重原子运动有关的波的波長是很短的。

这样，就可以認為在实验上証实了微观粒子的波动性的存在。在现代，电子的繞射已在科学与技术中获得广泛的应用。它用来研究分子的結構，在机械加工后的金属表面層的結構，气体在固体表面上的吸附層，晶格的离子間的电場等等。电子显微鏡——利用电子流来研究小样品的仪器——的分辨本领的决定与表証电子流的波的概念有关。电子显微鏡的簡圖已如圖 134 所示。

量子力学与牛頓力学相反，它并不确定运动粒子的坐标，而确

定它在空间某一区域停留的“几率分布”。应该强调指出，只有在观察大量的粒子或連續进行大量同样的实验的情况下，才能在实验中观察到分布几率。

从古典力学的观点研究数学摆的振动来作为表明“几率分布函数”的例子。

数学摆的运动方程是最简单的谐振运动方程

$$y = a \sin 2\pi \frac{t}{T} \quad (27-7)$$

我们取初相为零。

摆的质点停留在  $y_1$  至  $y_2$  的区域内的几率决定于质点在这区域内的时间与半振动周期的时间间隔的比值。为了要确定这个量，我们从 (27-7) 式求出振动的周相

$$\frac{2\pi t}{T} = \arcsin \frac{y}{a} \quad (27-8)$$

微分上式得

$$\frac{2\pi dt}{T} = \frac{1}{a} \frac{dy}{\sqrt{1 - \frac{y^2}{a^2}}} \quad (27-9)$$

然后确定几率  $P$  的微分

$$dP = \frac{dt}{T/2} = \frac{1}{\pi \sqrt{a^2 - y^2}} dy \quad (27-10)$$

再在该极限内积分之得

$$P = \int_{y_1}^{y_2} \frac{dy}{\pi \sqrt{a^2 - y^2}} \quad (27-11)$$

图 197 表示与所研究的情况相对应的  $\frac{dP}{dy} = f(y)$  曲线。这曲线对纵坐标轴是对称的。曲线的两支逐渐地趋近于  $y = a$  与  $y = -a$  点处的纵坐标轴。摆的质点在  $y_1$  到  $y_2$  的区域内逗留的几率决定

① 原文为  $dP = \frac{dt}{T}$ , 应改为  $\frac{dt}{\frac{T}{2}}$  ——译者。

于圆上划斜线部分的面积与横轴，曲线以及在  $y=a$  和  $y=-a$  处的纵轴所包围的整块面积的比值， $y=a$  和  $y=-a$  这两点是摆的速度的方向反转的地方。

振动的弦与任何作谐振动的物体的位置的几率分布也由同一曲线来决定。

如果离子在结晶点阵中的振动与电子原子中的振动都服从古典力学定律，而且是在准弹性力，亦即与弹性力相似的力作用下而振动，那么，它们也可以用类似的曲线来表征。但是量子力学却给出别样的运动规律，因此，在量子力学中遇到的所有几率分布曲线都具有别种形式。

由关系式(27-5)与某些别的概念导出的微分方程(或方程系)可以确定粒子或粒子系在空间某一点发现的几率分布。

这样的方程在1924年由薛定谔提出。表示分布几率的函数是某些复数函数的乘积或其模数的平方，这个复数函数称为波函数。它就是这个方程的解。我们从谐振动在弹性媒质中传播的方程[参考(4-5)]出发，来处理外形与薛定谔方程相似的方程式。设有一个量，虽然还不知它是什么量，它可以按照正弦式的规律变化，如同质点作机械谐振动时离平衡位置的位移那样地变化。我们用  $\psi$  而不用  $y$  来表示这个量，是为了表明这个方程不仅可以应用于机械振动，而且也可以应用到任何形式的振动。因此

$$\psi = a \sin 2\pi \left( \frac{t}{T} - \frac{x}{\lambda} \right). \quad (27-12)$$

求  $\psi$  对  $x$  坐标的二次导数：

$$\frac{d^2\psi}{dx^2} = -\frac{4\pi^2}{\lambda^2} a \sin 2\pi \left( \frac{t}{T} - \frac{x}{\lambda} \right) \quad (27-13)$$

或者根据方程(27-12)，以  $\psi$  代替  $a \sin 2\pi \left( \frac{t}{T} - \frac{x}{\lambda} \right)$ ，我们得到

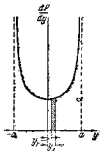


圖 197. 振动摆的几率对位置的导数与它离开平均位置的距离的关系圖

$$\frac{d^2\psi}{dx^2} = -\frac{4\pi^2}{\lambda^2} \psi. \quad (27-14)$$

根据公式(27-5), 把波長  $\lambda$  代入上式, 我們得到和以一个自由度平动的質点的薛定谔方程相似的方程:

$$\frac{d^2\psi}{dx^2} + \frac{8\pi^2 m}{h^2} W_{xmx} \psi = 0. \quad (27-15)$$

薛定谔方程常用于确定在空間的波函数。在这种情况下, 上式的第一項必須用对空間三个坐标的二阶偏导数之和来代替, 即

$$\frac{\partial^2\psi}{\partial x^2} + \frac{\partial^2\psi}{\partial y^2} + \frac{\partial^2\psi}{\partial z^2} + \frac{8\pi^2 m}{h^2} W_{xmx} \psi = 0. \quad (27-16)$$

用总能量与势能之差来代替动能, 且把方程中前三項之和(是拉普拉斯算符作用于  $\psi$  函数)以  $\Delta\psi$  表示, 就得到薛定谔方程的一般形式

$$\Delta\psi + \frac{8\pi^2 m}{h^2} (W - W_{nor}) \psi = 0. \quad (27-17)$$

解此方程并求出以复数形式表示的波函数的式子, 这个函数的模的平方, 或与它的共轭复数的乘积就是粒子在空間某一点逗留的几率分布。显然, 几率分布函数与質量  $m$  以及粒子的总能量  $W$  有关。由此可见, 波函数  $\psi$  表征粒子的运动, 同样也确定它的波动性。

理論指出, 在粒子的質量与动能为任意值时, (27-17) 型的微分方程都有解。这只有当粒子不在外力作用下运动时才是这样。

若有外力对粒子作用, 則势能就取决于坐标, 而且在运动时势能还会改变。在这种情况下, 在方程(27-17)中  $\psi$  前面的系数是一个变量。正如理論指出的, 并不是  $\psi$  前面的系数中的总能量为任意值时, 这个方程的解都有物理意义, 亦即解是有限, 單值与連續的, 而只有当粒子的总能量为一些一定的不連續的值时, 方程的解才有意义。特別是, 如果粒子处在彈性力作用下, 那么, 它的总能量就应该决定于式

$$W = \left(n + \frac{1}{2}\right)h\nu。 \quad (27-18)$$

如果粒子处于库仑力场中，正如氢原子中的电子那样，那么

$$W = -\frac{2\pi^2 m q^2 e^2}{h^2 n^2}; \quad (27-19)$$

在这些公式中， $n$  是任意的整数。在研究玻尔理论时，我们就已经遇到(27-19)式——公式(21-9)。然而，在这里它是在从薛定谔方程求函数  $\psi$  时自动得出的。

如果运动粒子的动能(即量  $W_{kin} = W - W_{pot}$ )为正，则在无场力时，方程(27-17)的解具有形式

$$\psi = A \sin \frac{2\pi x}{\lambda} + B \cos \frac{2\pi x}{\lambda}。 \quad (27-20)$$

把方程(27-20)对  $x$  微分两次以后，就很容易地验证这个结果。如果根据(27-5)把  $\lambda$  的值代入，结果我们得到(27-17)式。换句话说，相当于波函数  $\psi$  的波长，在数学上是与由(27-5)式决定的德布罗意波长一样的。

如果  $W_{kin} = W - W_{pot}$  为负，则方程的解为下式

$$\psi = C e^{-kx} + D e^{kx}, \quad (27-21)$$

式中

$$k = \frac{2\pi}{\hbar} \sqrt{2m(W_{pot} - W)}。 \quad (27-22)$$

式(27-20)与(27-21)中的系数  $A, B, C$  与  $D$  都是恒量，决定于终了条件与起始条件。

从古典力学的观点看来，负动能的概念是毫无意义的——宏观物体与微观粒子都不可能具有负动能。然而，在谈及微观粒子的波动性质时，波动力学却能够给薛定谔方程的解(27-21)式以物理意义。从古典力学的观点看来，微观粒子由于没有足够的动能而不可能穿入空间的某一区域，但波动力学却容许它们穿入这个区域，虽然几率很小。这个从薛定谔方程导出的结果已为实验所

証实。但只有在觀察大量粒子的情況下才能發現，因为波动力學的結論是統計的，亦即這些結論只对于大量粒子的集合或大量重複同一實驗時才是正確的。

我們現在闡明如下。

我們先轉到“勢阱”的概念，假設兩個粒子同時處於引力與斥力的作用下，但隨着距離的增加，斥力比引力減小得快些。例如引力反比於距離的平方，而斥力反比於距離的立方就是這樣。

在某一距離下，這兩力相等且彼此平衡。顯然，這些粒子無論是互相接近或是離開都要消耗能量。

因此，在這個距離下，每個粒子對另一粒子的勢能最小。在這種情況下，我們說：某一個粒子對另一個粒子來說是處在勢阱的底處。

圖 198 表示引力與斥力以及粒子的勢能對粒子間的距離的關係圖。粒子間的距離為  $r_0$  時，相應於勢能的最小值，亦即相應於粒子處在勢阱的底處。在這種情況下，可以讓其中一個粒子處在  $O$  点，而另一個粒子處在  $F$  点。

如果粒子還具有動能，這動能由圖上小於  $OK$  的綫段確定，亦即小於勢阱深度的話，那麼就可以說，這粒子對另一個粒子來說是處在勢阱之內。如果粒子的總能量高過於勢阱口，亦即能級高過於圖上的直線  $OL$ ，那麼，這兩個粒子就可以分開，而脫離互相吸引的區域。

在勢阱“底”的粒子的勢能  $W_{\text{nor}} = W_0$ ，在圖 198 上這能量是負的（在  $O$  点以下），因為通常都認為相隔無限遠的粒子勢能為

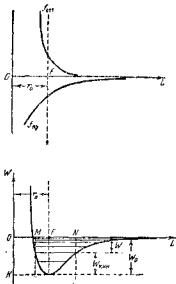


圖 198. “勢阱”

零。如果粒子还具有动能  $W_{\text{kin}}$ , 那么它将在  $M$  点与  $N$  点之间振动, 这两点与总能量  $W = W_{\text{pot}} + W_{\text{kin}}$  相对应。根据古典力学的规律, 粒子只能这样振动着。根据量子力学的规律, 这粒子却可以超越线段  $MN$  的边界, 对较大的粒子来说, 这个几率非常的小, 而对微观粒子来说, 具率可以取不太小的值。后者可以运动到稍微超过势阱“壁”构成的两个边界的距离。换句话说, 根据量子力学的规律, 总能量为  $W$  的粒子离开在  $O$  点的粒子的距离可以大于  $ON$ , 接近  $O$  点的距离可以小于  $OM$ 。根据古典力学的规律看来, 这是不可能的。

许多由量子力学方法解决的问题, 都可以归结为: 决定许可能级及对应于这些能级的波函数和几率分布函数。如果势能曲线的形式已知, 例如是与图 198 相似的曲线或以解析式表示的曲线, 那么, 方程 (27-15) 的解对于势阱内的区域来说是正弦型的函数 (27-20), 因为在势阱内动能是正的。对于势阱壁的边界以外的两个区域(右边和左边)来说, 方程的解是 (27-21) 型的指数函数。对其中的一个区域来说, 常数  $C$  等于零, 而对于另一区域来说,  $D$  等于零①, 然而, 仅仅在总能量为某些一定的间断的数值时, 所求的三个函数才能无尖点(峰值)地连接起来, 而其模的平方表示连续的几率分布函数。只有这样的数值才能给它物理的解释。

然而必须指出, 随着  $W$  的增加, 两相邻能级之差减小了, 趋向于形成连续的能量谱。

作为一个例子, 在图 199 上画出谐振子的几率分布曲线, 例如, 在正比于离平衡位置的位移的力作用下的电子, 就是这样的谐振子。谐振子的势阱是抛物线状的。按照古典力学的规律, 在这种情况下, 电子将在由它的总能量决定的界限内作谐振动。对电子来说, 总能量为任何值都是许可的。

量子力学的规律给出不同的结果。按照量子力学的规律, 电

① 原文为  $B$  等于零, 应改为  $D$  等于零——译者。

子保存的能量不能任意，而只能等于某些間断的值。这些值决定于量子条件，換句話說，它要求在电子运动的整个区域内以及無限处，几率分布函数是連續的和有限的。

对于在前述起始条件下为量子条件所容許的第六、第三、第二及第一能級，解方程 (27-17) 所得到的几率分布在圖 199 上以任意取的比例用蓋住陰影区域的連續線来表示。

虛曲线是按照古典力学得到的几率分布。鉛直的虛直线是古典的振动界限。

我們來分析一下画在圖 199 上的曲线。

从圖上可以看出，电子有穿过古典界限的几率，即陰影区有一部分在古典的界限之外。随着能級的升高，在古典界限之外發現电子的相对几率减小，比較圖 199,  $a$ ,  $b$ ,  $c$ ,  $d$  就可以得出这个結論，与圖 199,  $e$  比較，圖 199,  $a$  中只有較

圖 199. 諧振子的几率分布 小部分的陰影区域跑出古典界限之外。

如果不是电子，而是質量 1840 倍于电子的質子在振动，这个几率就会小到接近于零。我們來証明这点。

由等式 (27-21) 推出，对于在古典边界之外的陰影区域來說，波函数正比于  $e^{-kx}$ 。在这等式中，系数  $D$  应等于零，否則波函数不会隨距离的增加而減小。系数  $k$  可以按照 (27-22) 式来計算。假設电子的动能

$$W_{\text{kin}} = W_{\text{nor}} - W = 12g = 1.6 \times 10^{-12} \text{ 尔格},$$

这时，

$$k = \frac{2\pi}{6.6 \times 10^{-27}} \sqrt{2 \times 9 \times 10^{-26} \times 1.6 \times 10^{-12}} \approx 5 \times 10^7.$$

因此，能量为 1 尔格的电子透过古典边界到

$$x = 1 \text{ Å} = 10^{-8} \text{ 厘米}$$

的距离的几率决定于数值

$$|\psi^2| = (e^{-kx})^2 = (e^{-5 \times 10^7 \times 10^{-8}})^2 = e^{-1} = 0.36.$$

对于质量比电子大 1840 倍的质子， $e$  的指数大  $\sqrt{1840} = 43$  倍，因而质子进入古典边界之外的几率小了  $(e^{43})^2 = (10^{18})^2 = 10^{36}$  倍，就是说，这个几率实际上将等于零。由此可见，如果我们将应用量子力学的规律于任何的宏观物体，例如摆，那么，所得到的结果与根据古典力学得到的结果就不会有什么区别。摆超出古典界限之外的几率等于零。几率分布曲线实际上与图 197 中的曲线没有区别，因为对于质量远大于电子的摆来说，它的波长非常的小，而相邻能级之差与摆的总能量相比是微不足道的。这可由公式 (27-5) 推出。由图 199 可以看到，随着波数的增加，量子力学的几率分布曲线趋近于古典力学的曲线。

由同一图中也可以看出，随着能级的升高，处在由古典力学决定的振动质点运动界限之间的德布罗意波的数目也增加。同时，相邻的可能能级之差与振动质点的总能量相比小到不可测量。很明显，对于宏观物体来说，按照公式 (27-3) 或 (27-5) 计算的波长是很小的，这些能级实际上是连续地一个跟着一个。在这种情况下，量子化的必要性就不存在了。

回到粒子越过势阱的古典边界的問題，这就是說进入这个粒子的负动能区域，必须指出：即使在穿过的几率不等于零时，也只有在某些附加条件下才可能在这区域内发现粒子，这些条件使得粒子的能量为正。例如，如果势阱壁为势垒，在势垒之外粒子的动能仍然应当是正的，那么，在某些几率之下，粒子可能穿过势垒。在这种情况下，只可能在势垒之外发现粒子，在那里它的动能又成为

正的。

在 § 16,4\* 节的结尾，当考虑全反射现象时，我们曾提到过类似的光学现象。如果在玻璃内传播的光线应当在玻璃表面全反射，此表面与另一玻璃板以空气层隔开，即空气的壁障，那么光线可能部分地透过壁障而进入玻璃板中。这个现象只能在空气层的厚度，即“壁障宽度”很小时发现——数量级为几个波长。在这种情况下，光量子有一些透过空气壁障的几率，已不是“全”反射了。在原子核过程中也发生类似的现象，被核力保持在核内的质子，可以透过环绕核的势垒而跑到正能量的区域，在那里它被同号电荷间的库仑力排斥而离开原子核。

在  $\alpha$  衰变时也发生同样的情况，在 § 25,1 解释这个现象时已经谈到。回忆一下，实验确定在铂核周围的势垒高于  $8.8 M_{\text{eV}}$ ，因为具有这样能量的  $\alpha$  粒子被铂核所散射。另一方面，在铂的天然放射性衰变时，飞出能量为  $4 M_{\text{eV}}$  的  $\alpha$  粒子，亦即比势垒的高度还低。透过这个势垒是几率很小的事件，因为在  $10^{10}$  个铂核中一年

内仅有 1 个发生衰变。

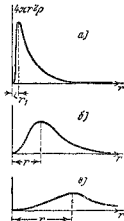


图 200 在相应于量子数为 1, 2 及 3 的壳层中发现电子的几率曲线

氢原子是由两个粒子组成的系统，一个重的是质子，一个轻的是电子，它们以库仑力互相吸引，如果应用量子力学的规律于氢原子，就得到由图 200 中曲线表示的几率。

在这个情况下，必须考虑核的球对称性。如果  $\rho$  是在指定方向上离核距离为  $r$  处发现电子的几率，那么，在同一半径的球面上发现电子的几率为  $4\pi r^2 \rho$ 。在图 200 中就是以这个量为纵坐标。所绘曲线的最大值相应于玻尔理论中头三个圆轨道。几

① 原文为  $4\pi r^2$ ，漏掉  $\rho$ ，应改为  $4\pi r^2 \rho$ ——译者。

率的值任意取的比例以縱坐标表示，而离原子核的距离用横坐标表示。

圖 200, a 中的曲綫相應于氬原子的正常能級，亦即量子數  $n=1$ 。

这条曲綫的極大處離原子中心的距離等於正常玻爾電子軌道的半徑。在圖 200, b 和 c 中表示第二、第三能級的，亦即對應於量子數  $n=2$  和  $n=3$  的能級的電荷分布。這些曲綫上的極大處離原子中心的距離也與玻爾的第二、第三圓軌道的半徑符合。由圖 200 中的曲綫可以看到，電子在氬原子內可以处在原子核周圍的空間中任意一點，但几率不同。

如此，德布羅意波的概念和薛定諤的理論從本質上改變了關於電子和原子的概念。代替沿着環繞核的軌道迅速轉動的帶負電粒子，產生了具有波動性質的粒子的概念，和在空間任意一點發現這個粒子的几率分布的概念。

這些概念的進一步發展消除了許多在研究比氬原子複雜的原子光譜時玻爾理論與實驗結果不符的情況，並解釋了各種光譜中和原子及原子核物理中許多令人不解之處。

利用  $\psi$  函數成功地解決了輻射的規律問題，並得到光譜中個別綫的強度問題的正確解答。

利用方程(27-17)於分子系統，可以建立它的理論，並說明包含幾個互相排斥的核和互相排斥的電子的分子為什麼是穩定的系統。可是，利用新的理論於各種特殊情況時，有時會遇到相當大的數學困難。

蘇聯學者 B. A. 傅克院士研究出在某些特殊情況下近似地解量子力學方程和確定波函數的有效方法。傅克的方法能以較其他方法大得多的準確度解決關於原子構造的一系列重要問題。

如此，每個粒子都具有波的性質，而每個攜帶能量的電磁波，都可以認為是具有質量和動量的粒子。但是粒子愈小，其波動性

表現得愈明显，而波的能量愈大，其粒子性愈显著。

量子力学的規律是微观世界的規律。普通牛頓力学的規律是宏观世界的規律，宏观物体由大量互相作用的粒子組成，并以比光速小得多的速度运动。高速运动的世界服从更普遍的相对論力学的規律。

宏观世界的力学規律是比较普遍的量子力学（即波动力学）規律和相对論力学（即建筑于相对性理論上的力学）規律的特殊情况。

## 某些物理恒量的数值

物 理 量	偶然誤差單位 与左列單位一 致 (参考注 1)
光速 $c = 2.997902 \times 10^{10}$ 厘米/秒	9
电子电荷 $e = 4.80228 \times 10^{-10}$ 静电系單位电荷	7
普朗克恒量 $\hbar = 6.62377 \times 10^{-37}$ 尔格·秒	18
电子的靜止質量 $m_e = 9.10721 \times 10^{-28}$ 克	25
电子的荷質比 $\frac{e}{m_e} = 1.76800 \times 10^7$ 静电系單位電荷 克	3
向伏伽德罗数(物理标度) $N_0 = 6.0254 \times 10^{23}$ $\frac{1}{\text{克分子}}$	1
法拉第常数(物理标度) $F = 9651.9 \frac{\text{静电系單位电荷}}{\text{克分子}}$	1
普通气体恒量 $R = 8.3144 \times 10^7 \frac{\text{尔格}}{\text{克分子·度}}$	4
玻耳兹曼恒量 $k = 1.3806 \times 10^{-16} \frac{\text{尔格}}{\text{度}}$	6
20 度卡路里的热功当量 $J = 4.1822 \times 10^7 \frac{\text{尔格}}{\text{卡}}$	4
15 度卡路里的热功当量 $J = 4.1855 \times 10^7 \frac{\text{尔格}}{\text{卡}}$	4
升 $= 1000.028$ 厘米 <sup>3</sup>	2
标准大气压 $a_{\text{std}} = 1.013247 \times 10^5$ 巴	4
溫度的絕對零度 $0^\circ \text{K} = -273.16^\circ \text{①}$	1
水的最大密度 $\rho_0 = 0.999972$ 克/厘米 <sup>3</sup>	2
标准重力加速度 $g = 980.655$ 厘米/秒 <sup>2</sup>	参考注 2
标准状态下的水銀密度 $\rho_{\text{Hg}} = 13.59504$ 克/厘米 <sup>3</sup>	6
15 度卡路里卡 $= 1.0010$ 卡	1 参考注 3
平均的卡路里卡 $= 1.0020$ 卡	1 参考注 3
普朗克定律[參閱 § 14]中的恒量	
$c_1 = 3.740 \times 10^{-5} \frac{\text{尔格} \cdot \text{厘米}^2}{\text{秒}}$	1
$c_2 = 1.43868$ 厘米·度	6

① 应加 C (攝氏温标)

(接)

物理量	偶然誤差單位 与左列單位一致 (参考注 1)
斯忒藩-玻耳茲曼定律中的恒量 $\sigma = 5.6699 \times 10^{-5}$ 尔格 厘米 <sup>2</sup> ·秒·度 <sup>4</sup>	9
辐射第一定律 (参阅 § 14) 中的恒量 $C = 0.289757$ 厘米·度 <sup>4</sup>	12
${}_1H^1$ 的里德伯恒量 $R_H = 109677.591$ 厘米 <sup>-1</sup>	10
無限大的質量的里德伯恒量 $R_\infty = 109737.828$ 厘米 <sup>-1</sup>	10
質子的質量 $1.6726 \times 10^{-24}$ 克	3
氫原子的質量 $1.6754 \times 10^{-24}$ 克	3
$\alpha$ 粒子的質量 $6.044 \times 10^{-24}$ 克	1
相應于一个原子量單位的質量 $1.66025 \times 10^{-24}$ 克	31

## 原子量 (参考注 4)

	物理标度	化學标度	偶然誤差
原子量單位	1	0.999728	5
	1.000272	1	5
${}_8O^{20}$	16.0000	15.9956	1
${}_8O^{17}$	17.0045	16.0000	1 参考注 5
${}_8O^{18}$	18.0049	18.0000	1
O	16.00436	16.0000	1
${}_1H^1$	1.00813	1.00786	2
${}_1H^2$	2.01473	2.01418	2
H	1.00828	1.00800	2
${}_2He^4$	4.00889	4.00280	7
${}_6C^{12}$	12.00386	12.00059	4
${}_6C^{13}$	13.0076	13.0041	2
C	12.0147	12.0174	2
${}_7N^{14}$	14.00753	14.00372	5
${}_7N^{15}$	15.0149	15.0008	2
N	14.0112	14.0074	3
Cl	—	35.457	1
Ag	—	107.880	2
电子	$5.486 \times 10^{-4}$	$5.485 \times 10^{-4}$	2

(續)

	物理标度	化学标度	偶然误差
质子	1.0076	—	—
中子	1.0089	—	—

注:

- 要计算最大误差，就应当把表内列举的偶然误差增大为 4.5 倍。
- 在纬度 45° 的海平面上，重力加速度为  $g = 980.616$  厘米/秒<sup>2</sup>。
- 根据 OCT 6250，以千卡路里(千卡)为热量的基本单位，一千卡等于使 1 千克的水从 10.5°C 加热到 20.5°C 时所消耗的热量。卡路里(卡) = 0.001 千卡。以前曾采用 15° 的卡路里(卡<sub>15</sub>)，等于使 1 克水从 14.5°C 加热到 15.5°C 时所消耗的热量。
- 在现代，原子量采用两种标度——物理的标度与化学的标度。物理标度的基础是把氧的最初同位素的原子量取为 16，化学标度的基础是把由三种同位素组成的天然氧的原子量取为 16。
- 天然氧是三种同位素按百分比  $^{16}\text{O}^{15.998\%}; ^{17}\text{O}^{0.002\%}; ^{18}\text{O}^{0.0001\%}$  ( $16.00 \pm 0.01$ ):1:( $0.204 \pm 0.008$ ) 组成的。

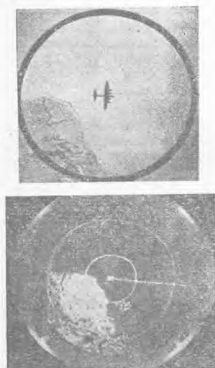


圖 I. 飛機上拍攝的地域照片和這地域在飛機上的雷達的屏上的  
照片(參閱 § 19)

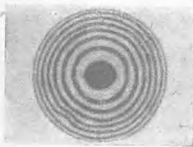


圖 II. 牛頓環的照片(參閱 § 17, B)

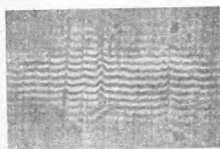


圖 III. 層得不好的規塊表面上的干涉條紋的照片 (參閱 § 17, I)



圖 IV. 小圓孔繞射圖樣的照片 (參閱 § 18, A)

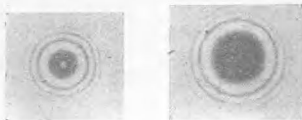
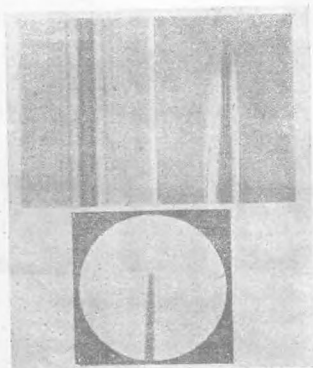


圖 V. 小圓屏的影像照片 (參閱 § 18, A)



■ VI. 針尖的影像照片(參閱 § 18, A)

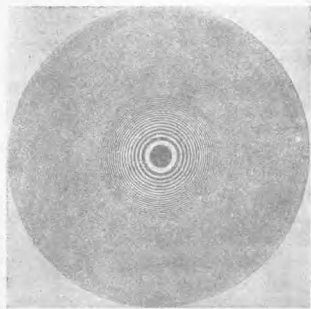


圖 VII. “波帶片”照中(參閱 § 18, Δ)

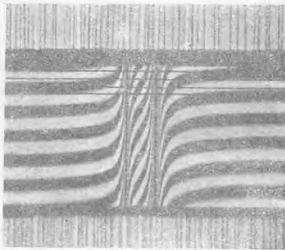


圖 VIII. D. C. 羅日捷文斯基研究鈉蒸氣的反常色散時  
獲得的光譜圖(參閱 § 18, Γ)

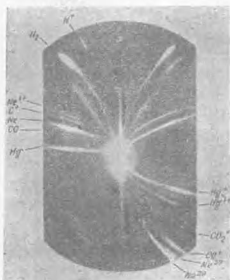


圖 IX. 錫姆孫儀器中正離子形成的拋物線  
(參閱 § 21)



圖 X. 質譜 (參  
閱 § 21)

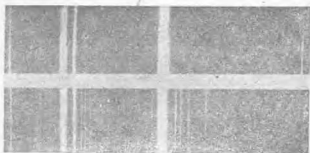


圖 XII. 直接从小钢灯得到的光谱(上圖)及經四氯化碳散射后获得的光谱(下圖)(參閱 § 28, B)



圖 XIII.  $\alpha$  粒子与  $\beta$  粒子在威耳孙云室中的径迹(參閱 § 24)



圖 XIV.  $\alpha$  粒子与氮原子核的碰撞(參閱 § 24)

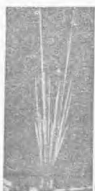


圖 XIV. 放射性鉛在威耳孙云室中形成的徑迹(參閱 § 24)

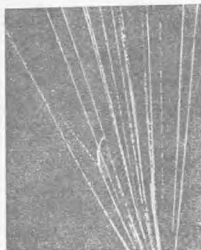


圖 XV.  $\alpha$  粒子撞擊氯核時在威耳孙云室中的徑迹照片(參閱 § 25, B)

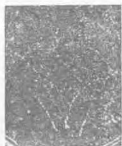


圖 XVI. 电子与正电子在有磁場的威耳孙云室中的徑迹(參閱 § 25, B)



圖 XVII. 钷的  $\alpha$  粒子在溴化銀乳膠中的徑迹(參閱 § 25, A)

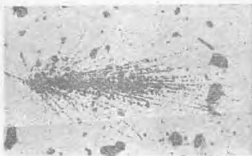


圖 XVIII. 銀核在能量为  $3.5 \times 10^{20} eV$  的宇宙粒子撞击下衰变为質子的徑迹(參閱 § 25, A)



圖 XIX.  $\pi$  介子射入核原子核时在感光层获得的径迹的微观照片  
(參閱 § 20)

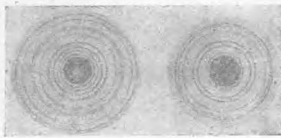


圖 XX. a—通过薄铝层的伦琴射线形成的繞射圆样,  
b—通过薄铝层的电子束形成的繞射圆样(參閱 § 27)

# 索引

## 二 划

人为放射现象	Искусственная радиоактивность	301
力	Сила	
弹性力	Упругие силы	1
准弹性力	Квазиупругие силы	1
核子力	Ядерные силы	306
几率分布	Распределение вероятностей	340

## 三 划

干涉	Интерференция	
光之干涉	Интерференция света	165
偏振光的干涉	Интерференция поляризованных лучей	219
干涉仪	Интерферометр	181
迈克耳孙干涉仪	Интерферометр майкельсона	182, 231
林尼克干涉仪	Интерферометры линника	183
卫星	Спутники, спутниковая линия	276

## 四 划

不变式	Инвариантные уравнения	230
中子	Нейтроны	299
中微子	Нейтрино	315
介子	Мезоны	331, 333, 336
分子光谱	Молекулярный Спектр	124
什马柯夫	П. В. Шмаков	85
开普勒	Кеплер	98, 163
无线电定位	Радиолокация	81
反射	Отражение	
全反射	Полное внутренне отражение	150
选择性反射	Избирательное отражение	

系数	коэффициент отражения	122
反射系数	коэффициент отражения	137, 211

反常色散	Аномальная дисперсия	121, 197
夫兰金土基	Б. А. Франкин	84
巴耳末	Бальмер	240
巴耳末公式	Формула Бальмера	240
巴甫洛夫	В. И. Павлов	209
巴尔托林(巴尔托里努斯)	Бартолини	
(Бартолинус)		93
日丹诺夫	А. Н. Жданов	318, 334
孔径角	Апертурный угол	205
火花放电	Искровой разряд	71
牛顿	Ньютона	45, 99, 164, 174
牛顿环	Кольца Ньютона	174
牛顿望远镜	телескопа Ньютона	164
牛顿的光的理论	теория света Ньютона	99
牛顿声速公式	формула скорости звука	
	Ньютона	45
双石英片	Бикварц	228
什马柯夫	П. В. Шмаков	85

## 五 划

牛衰期	Период полураспада	200
卡比契	П. З. Капичи	287
卡塔耶夫	С. В. Катайев	85, 88
可隙圆	Перег симметрии	51
尼科耳	Николь	217
尼科耳棱镜	Призма Николя	217
本生	Бунзен	101
布格	Буге	103
布京德雷	Бредли	107
布喇格	Брэгг	264
布喇格法	Брэгг метод	264

布儒斯特定律	Закон Брюстера	211	电磁波	Электромагнитные волны	68	
平均寿命	Средняя продолжительность жизни	290	电磁波的波长	Электромагнитные волны, длина	90	
正交检流法	метод перекрестных приёмов	197	电磁波的传播	Электромагнитные волны, распространение	90	
正电子	Позитрон	301	电磁波的速度	Электромагнитные волны, скорость	66	
瓦维洛夫	С. И. Вавилов	105, 274, 275, 283	电磁波的激發	Электромагнитные волны, возбуждение	63	
用光激發原子	Возбуждение Атома Светом	271	电磁波带	Электромагнитные волны, полоса	92	
用电子撞击激發原子	Возбуждение Атома электронными ударами	269	电磁振蕩	Электромагнитное колебание	63	
白熾灯	Лампа накаливания	181	电磁振蕩周期	Период электромагнитных колебаний	69	
石英补偿器	Кварцевый компенсатор	228	电磁場	Электромагнитное поле	65	
石英稳频器	Кварцевый стабилизатор	73	弗倫克尔	Л. И. Френкель	316	
示波器	Оscиллограф		弗倫克尔核模型	Модель ядра Френкеля	316	
电子示波器	Электронный осциллограф	81	弗洛夫	Г. П. Флеров	304	
逐线示波器	Шлейфовый осциллограф	56				
示踪原子	Меченные Атомы	203				
电子	Электрон					
发光的电子	Светящийся электрон	326	夏里士多德	Аристотель	97	
电子加速器	Бетатрон	324	亚稳能级	Метастабильный уровень	274	
电子倍增器	Электронный умножитель	88	交流回响	Резонанс	60	
“电子-正电子偶”的形成	Образование «пары»	322	廿几年前	Д. Д. Иваненко	299, 311, 326	
电子管放大器	Ламповый усилитель	80	光	Свет		
电子管检波器	ламповый детектор	78		齐林科夫光	Свечение Черенкова	275
电子管振蕩發生器	Ламповый генератор	72		偏振光	Поляризованные лучи	207
电子显微鏡	Электронный микроскоп	206	光子	Фотон	138	
电弧	Электрическая дуга	138	光量子	Кванты света	104, 288	
电势	Электрический потенциал			光量子的动量	Квантъ света, количества движения	188, 283
电离电势	Потенциал ионизации	247	光纖	Оптические лучи		
中性电势	Критический потенциал	270	寻常光纖	Обыкновенный луч	216	
			非常光纖	Необыкновенный луч	216	
			光滤, 光通量	Световой поток	135	
			光学量	Световые величины	134	
			光測高溫計	Оптический цирометр	131	

## 六划

光速的测定	Определение скорости света	100	外光电效应	Внешний фотoeffект	277
罗波法	Определение скорости света способом ремера	100	内光电效应	Внутренний фотoeffект	277
奔左法	Определение скорости света способом флюо	108	光谱效应的红限	Красная граница фотoeffекта	278
佛科法	Определение скорости света способом фуко	100	选择光电效应	Селективный фотoeffект	279
迈克耳孙法	Определение скорости света, способом майклсона	111	光电摄像管	Иконоскоп	85
光的吸收系数	Коэффициент поглощения света	122	全反射	Полное внутренне отражение	150
光的反射和折射定律	Закон отражения и преломления света	144	共振	Резонанс	17
光的幅振	Поляризация света	207	冰洲石	Исландский шпат	215
光的并合散射	Комбинационное рассеяние света	275	列别捷夫	А. А. Лебедев	185, 207
光的色散	Дисперсия света	113	列别捷夫	П. Н. Лебедев	54, 63, 141
光的干涉	Интерференция света	165	列维特士卡娅	М. А. Левитская	93
光的绕射	Дифракция света	196	列依普恩斯基	А. И. Лейпунский	315
光的双折射	двойное лучепреломление	215	各向同性媒质	Изотропная среда	31
光强	Сила света	125	各向异性媒质	Анизотропная среда	31
光压	Давление света	188	同位素	Изотопы	254
光驻波	Оптические стоячие волны	208	同步加速器	Синхротрон	327
光行差	Астрономическая aberrация	107	同步稳相加速器	Синхрофазotron	329
光谱	Спектр		多普勒原理	Принцип доплера	41, 259
	原子光谱	123	多普勒现象	Явление доплера	41, 259
	分子光谱	124	宇宙射线	Космические лучи	330
	线光谱	128	宇宙加速器	Космotron	329
	线光谱的發生	128	宇宙辐射	Космические линии	331
	线光谱的分类	240	安德逊	Anderson	300
	带光谱	124	扫描	Изображение развертки	86
	连续光谱	124	发光的电子	Светящийся электрон	326
	光谱系	123	发光效率	Световая отдача	136
	光谱项	245	灰度体	Серое тело	180
	光谱的种类	123	米哈里孙	В. А. Михельсон	104, 127
	光电管, 光电池	280	自动摄影	Автоматическая фотография	20
	光电效应	277	自旋	Спин	249, 310, 315

	121, 197	
正常色散	Нормальная Дисперсия	119
色像差	Хроматическая Аберрация	158
色温度	Цветовая Температура	180
·压电效应	Пьезоэлектрический эффект	
·正压电效应	Прямой Пьезоэлектрический эффект	62, 78
·逆压电效应	Обратный Пьезоэлектрический эффект	61, 73
齐林科夫	И. А. Черепков	275
齐林科夫光	Свечение Черепкова	275
齐尔涅楚夫	Н. Я. Черепков	84
安尼·贝克勒耳	Анри Беккерель	285
爱德蒙特·贝克勒耳	Эдмонд Беккерель	
	108	
毕奥	Бао	102, 224
毕奥偏振面旋轉定律	Био закон о вращении плоскости поляризации	
	224	

## 七 划

伯努利方程	Уравнение Бернулли	53
伽利略望远鏡	Видительная труба Галилея	98
位移定則	Правило Смещения	291
位移模量	Модуль смещения	1, 16
克尔現象	Повление Керра	222
别爾哥川德法	Метод Бергштранда	112,
	223	
别洛普利斯基	А. А. Белопольский	259
利薩如图形	Фигуры Лиссажу	11
吸收	Поглощение	
·声的吸收	Поглощение звука	60
·选择吸收	Небраторное поглощение	121
吸收系数	Коэффициент Поглощения	
	122, 126	
光的吸收系数	Коэффициент поглощения света	122
声	Звук	

声强	Сила звука	47
声速	Скорость звука	44
声压	Акустический Давление	48
声谱	Акустический Спектр	57
声下	Инфразвук	44
超声	Ультразвуки	48, 61
声的吸收	Поглощение звука	60
声波的传播	Распространение звуковой волны	44, 58
完全辐射体	Полный излучатель	126
折射率	Показатель преломления	36
沙敏折射仪	Рефрактометр жемчуга	181
灵敏色	Чувствительная окраска	229
灵敏度	Чувствительность	
·黑暗之灵敏度	Чувствительность 148	
·眼睛		
补色	Дополнительные цвета	171
迈克耳孙干涉仪	Интерферометр Майклсона	182, 281
迈克耳孙实验	Опыт Майклсона 231	
里德伯恒量	Постоянная Ридberga 245	

## 八 划

函数	Функция	
·波函数	Волновая Функция	341
·普朗克函数	Функция Планка	128
势能曲线	Потенциальная Кривая	313
势阱	Потенциальная Яма	313, 344
势垒	Потенциальный барьер	314, 347
受迫振动	Вынужденные колебания	15
固有振动	Собственные колебания	2
固有振动周期	Период собственных колебаний	
季莫非耶夫	П. В. Тимофеев	85, 88
定律	Закон	
布儒斯特定律	Закон Брюстера	211
爱光衰减定律	Закон затухания света	
	274	
基尔霍夫定律	Закон Кирхгофа	126
马吕斯定律	Закон Мадюса	219

放射衰变定律	Закон радиоактивного распада	289	法拉第现象	Явление Фарадея	227
斯托克斯定律	Закон Стокса	271	泛音	Обертоны	55, 388
牛顿定律	Закон Ньютона	224	泡利原理	Принцип Паули	249
居里	Кюри		波	Волна	
玛丽亚·居里	Мария-Кюри	285	波长	Длина Волны	22
皮尔·居里	Пир-Кюри	285	波面	Волновая Поверхность	31
约里奥·居里	Жорж-Кюри	299, 302	波前, 波阵面	Фронт Волны	31
彼得沙克	К. А. Петрак	304	波函数	Волновая Функция	341
彼得洛夫	В. В. Петров	103, 183, 275	波动力学	Волновая Механика	105, 314, 337
拉曼	Раман	276	驻波	Стоячие Волны	27
拉姆齐尔特	Ламберт	102	驻波波腹	Пучности Стоячих Волны	29
拉普拉斯声速公式	Формула Лапласа		驻波波节	Узлы Стоячих Волны	29
速度	Скорости звука	46	波的反射与折射定律	Закон отражения и преломления волн	33
拍	Блеск	8	波动方程	Уравнение волны	24
拍的周期	Период блеска	8	波带片	Пластинка зон	189
放大率	Увеличение		波波夫	А. С. Попов	76
鏡放大率	Увеличение Зеркала	147	波高列柯	И. А. Погорелко	84
透镜放大率	Увеличение линзы	157	空间点阵	Пространственная решетка	263
显微镜放大率	Увеличение микроскопа	161, 206	罗日捷文斯基	Д. С. Рождественский	121, 181, 197
望远镜放大率	Увеличение телескопа	163, 203	罗日捷文斯基钩形法	Метод Крюков	
放大器	Усилитель		Д. С. Рождественского		200
电子管放大器	Ламповый Усилитель	80	罗德金	А. И. Лодгин	133
放射性	Радиоактивность	285	罗津格	В. А. Розинг	90
人为放射现象	Искусственная Радиоактивность	296	罗蒙诺索夫	М. В. Ломоносов	101, 163
放射系	Радиоактивные ряды	289	罗蒙諾索夫望远镜	Телескоп Ломоносова	163
放射衰变	Радиоактивный Распад	288	門捷列夫元素周期系	Периодическая система элементов	
放射衰变定律	Закон Радиоактивного распада	289	Д. И. Менделеева	Д. И. Менделеева	249, 252
放射衰变恒量	Постоянная Радиоактивного распада	289	金斯	Джинс	104
放射性辐射研究法	Метод исследования Радиоактивных Распадах	296	金属检波器	Катодер	76
明朗透镜	Прозрачные линзы	186	近点	Ближняя точка	160
林尼克	В. И. Линник	183	阻尼	Декремент затухания	14
林尼克干涉仪	Интерферометры Линника	183	阻尼振动	Затухающие колебания	12
			阻尼系数	Коэффициент затухания	18

阿里罕诺夫 А. И. Алиханов	333	洛伦兹 Лоренц	103, 138, 266
阿里罕诺夫 А. И. Алиханов	315, 333	流明 Люмен	125
阿特别尔格 В. Я. Альтберг	54	玻尔 Н. Бор	242
阿尔卡捷夫 В. К. Аркадьев	322	玻尔理论 Теория Бора	243
阿尔马奇 Армати	97	玻尔假设 Постулаты Бора	243
阿基米德 Архимед	96	玻耳兹曼恒量 Постоянная Больцмана	126
阿齐莫维奇 Л. А. Ацимович	326	相干性 Коherence	167
阿斯顿法 Метод Астона	258	相对论力学 Релятивистическая Механика	238, 350
劳厄法 Метод Лоуэ	265		
非常光线 Необыкновенный Луч	216		
<b>九 划</b>			
亮度 Яркость	135		
复心射线 Гомоцентрический Пучок	149		
速涅雷克 В. К. Зверькин	86		
威尔孙云室 Камера Вильсона	287		
带光谱 Ионоситый Спектр	124		
带电粒子的加速 Ускорение Заряженных Частиц	319		
恒量 Постоянная			
普朗克恒量 Постоянная Планка	104, 243, 273		
放射衰变恒量 Постоянная Радиоактивного Распада	289		
黑德伯恒量 Постоянная Ридберга	245		
玻耳兹曼恒量 Постоянная Больцмана	129		
显微镜 Микроскоп	161		
·电子显微镜 Электронный Микроскоп	206		
显微镜的放大率 Увеличение Микроскопа	161, 206		
显微镜的分辨率 Разрешающая Способность Микроскопа	202		
标致伦琴射线 Характеристические Рентгеновские Лучи	260		
欧几里得 Евклид	96		
欧拉 Л. Эйлер	101		
<b>十 划</b>			
倒像棱镜 Обратная Ирисма	151		
伦琴射线 Рентгеновские Лучи	259		
标准伦琴射线 Характеристические Рентгеновские Лучи	260		
伦琴射线谱 Рентгеновский Спектр	262		
伦琴射线的衍射 Дифракция Рентгеновских Лучей	268		
伦琴射线半减弱层 Слой половинного ослабления Рентгеновских Лучей	262		
伦琴管 Рентгеновская Трубка	260		
电子式伦琴管 Электронная Рентгеновская Трубка	260		
离子式伦琴管 Ионная Рентгеновская Трубка	261		
原子 Атом			

示踪原子	Меченные Атомы	803	模型	Модель Ядра	316
原子光谱	Атомный Спектр	128	格拉温列娃·阿尔卡季耶娃	Гравин-Левина-Аркадьевна	94
原子核裂变	Модель Атомы	241	格列本斯奇科夫	И. В. Гребенщикова	185
原子結構	Строение Атомы	241, 248			
原理	Причины		哥利馬里	Гримальди	98
多普勒原理	Причины Доплера		氧化亚铜整流器	Купрокисльный Выпрямитель	281
		41, 259	浸没系統	Иммерсионная Система	205
泡利原理	Причины Паули	249	消色差透镜	Ахроматическая Линза	159
叠加原理	Причины Суперпозиции	5	消色差线条	Ахроматическая Полоса	167, 169
惠更斯原理	Причины Гюйгенса				
		81, 87	烏利夫	Г. Ф. Ульф	264
費馬原理	Причины Ферма	25	烏利夫-布喇格公式	Формула Ульфа-Брагга	264
射线	Лучи				
宇宙射线	Космические Лучи	330	烏莫夫	Н. А. Умов	65, 227
伦琴射线	Рентгеновские Лучи	259	烏莫夫实验	Опыт Умова	227
铍射线	Берилиевые Лучи	299	热辐射	Лучеиспускание	124
射线方程	Уравнения Лучей	24	热核反应	Термоядерная Реакция	318
庫利	А. Р. Коми	103	索科洛夫	С. И. Соколов	61
庫別茨基	Л. А. Кубецкий	85, 88	能量	Энергия	
振动, 振荡	Колебания		结合能	Энергия Связи	306
受迫振动	Вынужденные Колебания		与质量相关的能量	Энергия, Взаимодействие с массой	286, 298
		15	茹古尔斯基	П. И. Рожумский	279, 334
阻尼振动	Затухающие Колебания	12	起伏	Флюктуации	276, 283
调幅振荡	Модулированные Колебания		遥控加速器	Циклотрон	322
		74	调制示波器	Шлейфовый Осциллограф	56
固有振动	Собственные Колебания	2	选择吸收	Избирательное Поглощение	121
振动频率	Частота Колебаний	22	闪烁	Сцинтиляция	288
振动振幅	Амплитуда Колебаний	2	马吕斯	Малюс	102, 219
振动周期	Фаза Колебаний	2	马吕斯定律	Закон Малюса	219
振动叠加的矢量圖法	Векторный Метод		马尔茨	Марци	98
叠置	Сложение Колебаний	8	马克苏塔夫	Д. Д. Максутов	164
振荡器	Вибратор		马克苏塔夫等月球远端	Максутовы	
电子管振荡器	Ламповый Генератор	78	高里钦	Б. Б. Галичий	259
赫兹振荡器	Вибратор Герца	71			
核子	Нуклоны	302, 307			
核子力	Ядерные Силы	306			
核的結構	Строение Ядра	209, 206, 311			
核的分裂	Деление Ядра	304			
核的电液滴模型	Электроионизация				

光的偏振	Поляризация Света	207	望远镜的放大率	Увеличение Телескопа	163, 203
偏振光	Поляризованные Лучи	207	梅索夫斯基	Л. В. Мысовский	318
偏振光的干涉	Интерференция Поляризованных Лучей	219	球面像差	Сфериическая Аберрация	138
偏振光的获得	Получение Поляризованных Лучей	210, 212	眼睛的分辨本领	Разрешающая Способность Глаза	143
偏振片	Полароиды	210	眼睛的灵敏度	Чувствительность Глаза	143
偏振面	Плоскость Поляризации	209	笛卡儿	Декарт	98
偏振面的旋转	Вращение Плоскости Поляризации	224	紫外光	Ультрафиолетовые Лучи	94
假设	Постулаты		荷质比的测定	Определение Отношения заряда к массе	253
玻尔假设	Постулаты Бора	243	莫塞莱公式	Формула Мозеса	267
爱因斯坦假设	Постулаты Эйнштейна	283	规板	Мерные Штанги	182
勒(克斯)(前光)	Люкс	125	透镜	Линза	151
基尔霍夫	Кирхгоф	126	消色差透镜	Ахроматическая Линза	139
基尔霍夫定律	Закон Кирхгофа	126	透镜的光轴	Отическая Ось Линзы	132
寂静地带	Зона Молчания	59, 92	透镜的放大率	Увеличение Линзы	137
康普顿现象	Явление Комптона	283	速光谱	Спектр Скорости	124
强迫振荡器	Резонансный генератор	88	瑞利层	Запифайций Слои	281
敏化荧光	Сенсибилизированная Флюoresценция	272	邵卜洛钦	Шуберт	294
爱因斯坦	А. Эйнштейн	105, 233, 278	邵卜朝拉伏夫	Н. И. Добротин	282
爱因斯坦方程	Уравнение Эйнштейна	278	麦克斯韦	Максвелл	103
爱因斯坦假说	Постулаты Эйнштейна	233	<b>十二划</b>		
曼纳史塔姆	Л. И. Мандельштам	276	博克	Б. А. Фок	238, 349
望远镜	Телескоп		媒质	Среда	
开普勒望远镜	Телескоп Кеплера		各向同性媒质	Изотропная Среда	31
		98, 126	各向异性媒质	Анизотропная Среда	31
罗蒙諾索夫望远镜	Телескоп Ломоносова	163	寻常光线	Обыкновенный Луч	216
马克苏托夫望远镜	Телескоп Максутова	164	惠更斯	Гюйгенс	31, 100
牛顿型望远镜	Телескоп Ньютона	164	惠更斯原理	Принцип Гюйгена	31, 37
望远镜的分辨率	Разрешающая Способность телескопа	201	惠更斯的光的理论	Теория Света Гюйгена	100
			捷列宁	А. Н. Терентьев	185, 273
			捷尔列茨基	Я. П. Терлецкий	335
			散射	Рассеяние	
			$\alpha$ 粒子的散射	Рассеяние $\alpha$ -Частиц	
					241

光的干涉散射	Комбинационное Рас- сеяние света	275	超声	Ультразвуки	43, 61
斯奈耳	Снелль(Снеллью)	98	超声波探测器	Ультразвуковая Дефе- нитивная	62
斯托贝耳摩	Д. В. Скобельцын	287,	超声探头	Ультразвуковые шумы	62
		301, 330, 334	超敏元素	Трансуранные Элементы	305
斯托克斯	Стокс	102, 271	量子数	Квантовые числа	243
斯托克斯定律	Закон Стокса	271	雅卜洛奇柯夫	И. Н. Яблочкин	133
斯托列托夫	А. Г. Столетов	84,	黑度	Степень Чёрноты	182
		103, 213, 277	弹性力	Упругий Силы	1
斯忒藩-玻耳兹曼定律	Закон Стефана- Больцмана	126	弹性波的传播	Распространение Упру- гих Волн	20
普朗克	Планк	104, 123	弹性振动的传播	Распространение	
普朗克恒量	Постоянная Планка	104,		Упругих Колебаний	20
		243, 278	弹性脉冲	Упругие Свободные Волны	27
普朗克函数	Функция Планка	128			
普朗克的量子理论	Теория Квантов				
普朗克	Планк	104			
普图劳姆	Птолемей	97			
普茨麦楚克	И. Л. Померанци	326			
晶体生长面	Граница Сечение Кристал- ла	215			
晶体光轴	Оптическая Ось Кристалла	215			
瑞利孙公式	Формула Томсона	70			
瑞利孙实验	Опыт Томсона	254			
瑞利孙原子模型	Модель Атома Томсона	241			
痛觉门	Порог болевого Ощущения	51			
攀倾条纹	Несоосные равнотные Наклона	176			
等厚条纹	Полосы различной Толщины	169			
结合能	Энергия Связи	206			
绝对黑体	Абсолютно Чёрное Тело	126			
氮的灾难	Ледяная Катастрофа	311			
非涅耳	Френеля	22, 27, 102, 167, 211, 226			
非涅耳反射公式	Формулы Отражения				
非涅耳	Френеля	212			
非涅耳带	Зоны Френеля	27, 186			
费马原理	Принцип Ферма	85			

## 十三划

**十四划**

像差 Аберрация	157
色像差 Хроматическая Аберрация	158
球面像差 Сферическая Аберрация	159
像散現象 Астигматизм	160
慣性計算系統 Инерциальные Системы	
Отсчета	220
階梯(亮度單位) Ступень	136
熒光 Флюоресценция	271
敏化熒光 Сенсибилизированная	
Флюоресценция	272
熒光定律 Закон Флюоресценции	
274	
卷相加透器 Фалотрон	329
繞透耳實驗 Опыт Винора	203
維克斯勒 В. И. Векслер	337
維恩 威爾	128, 129
維恩位移定律 Законемещения Вина	129
赫茲 Герц	66, 78, 93
赫茲振蕩器 Вибратор Герца	71
赫茲實驗 Опыт Герца	63
益革-強勃計數器 Счетчик Гейгера-Мюллера	288

**十五划**

德萊波爾 Дренер	103
數值孔徑 Числовая Апертура	205
綫光譜 Линейчатый Спектр	123
調幅振動,調幅振蕩 Модулированные	
колебания	74
調節,調視 Аккомодация	160
質子 Протон	242
質量 Масса	
与能量关系的質量 Масса, Взаимосвя- зь с энергией	236, 298
質量數 Массовое Число	291, 296
質量亏损 Дefект Массы	208

質譜 Спектр Масс	250
質譜仪 Масс-Спектрограф	259
駐波 Сточные Волны	27
光駐波 Оптические Сточные Волны	208
彈性駐波 Упругие Сточные Волны	27
駐波的波腹 Пульсации Сточных Волн	29
駐波的波節 Узлы Сточных Волн	29

**十六划**

噪音 Шумы	43
磷光 Фосфоресценция	271, 275
磷光質 Фосфоры	275
盧瑟福 Резерфорд	241, 285, 291, 296
糖量計 Сахариметр	228
諧音,諧波 Гармоники	53
諧振動 Гармоническое Колебательное	
Движение	1
諧振動的疊加 Сложение Гармонических Колебательных Движений	5
諧振子 Гармонический Осциллятор	345
輻射本領 Интенсивность Излучения	125
积分輻射本領 Интенсивность Интег- рального Излучения	125
單色輻射本領 Интенсивность Монох- роматического Излучения	125
輻射溫度 Радиационная Температура	
	130
輻透(厘米-熒光) Фот	135

**十七划**

散集率 Упаковочный Множитель	303
檢波器 Детектор	
電子管檢波器 Ламповый Детектор	78
金屬屑檢波器 Катодер Детектор	76
檢波接收器 Детекторный Приемник	78
薛定得方程 Уравнение Шредингера	342

## 十八划

戴维孙-革末实验	Опыт Дэви-Сона и
Джермера	889
繞射	Дифракция
39, 144, 186, 268, 280	
光的繞射	Дифракция Света
平行光的繞射	Дифракция в параллельных Лучах
会聚光的繞射	Дифракция входящих
	186
伦琴射线的繞射	Дифракция Рентгеновских Лучей
电子, 原子, 分子的繞射	Дифракция
Электронов, Атомов, Молекул	389
繞射光谱	Дифракционные Спектры
	195
繞射光栅	Дифракционная Решетка
	192
繞射对分辨率的影响	Дифракция,
Влияние на разрешающую способность	
	200

魏尔霍夫 C. H. Верхов

880, 883

## 十九划

谐振系公式	Соризанская Формула	246
透镜的宽度	Ширина Спектральных	
шерни	шерни	269
放大率	Увеличение Зеркала	147
鏡的光軸	Ось Оптическая Зеркала	
		145

## 其 他

$\alpha$ 射线	$\alpha$ -Лучи	286
$\alpha$ 粒子的散射	$\alpha$ -Частицы, рассеяние	
		241
$\beta$ 射线	$\beta$ -Лучи	286
$\gamma$ 射线	$\gamma$ -Лучи	286
$k$ 波数	$k$ -Запат	302, 315